

UNIVERSIDAD NACIONAL DE LA PLATA
FACULTAD DE CIENCIAS NATURALES Y MUSEO

Biodiversidad, relaciones filogenéticas y aspectos
biogeográficos de Rhyparochromidae (Lygaeoidea:
Heteroptera) con especial referencia al género *Neopamera*
Harrington 1980

Tesista: Lic. Pablo Matías Dellapé

Director: Dra. María del Carmen Coscarón

Contenido

Resumen	5
Agradecimientos	8
Introducción	9
Materiales y Métodos	13
Recolección de material	13
Relevamiento de colecciones	14
Observación de caracteres exo y endosomáticos	15
Descripción de la morfología	19
Morfología externa	19
<i>Genitalia</i> masculinos	22
Resultados	26
Análisis filogenético	26
Listado de caracteres	28
Resultados del análisis	34
Descripción y redesccripción de géneros y especies	36
<i>Neopamera</i> Harrington	36
Clave para la determinación de las especies de <i>Neopamera</i>	38
<i>Neopamera bilobata</i> (Say)	38
<i>Neopamera albocincta</i> (Barber)	52
<i>Neopamera insularis</i> (Barber)	58
<i>Neopamera hondurana</i> (Bergroth).....	61
<i>Incertae sedis</i>	64
<i>Neopamera pagana</i> (White)	64
<i>Neopamera platana</i> (Bergroth)	64
<i>Neopamera recincta</i> (Breddin).....	65
<i>Paromius</i> Fieber	65
<i>Paromius procerulus</i> (Berg) nueva combinación	66
Estadios inmaduros de <i>Paromius procerulus</i>	70
<i>Gen.A</i>	75
<i>Gen.A mumfordi</i> (Van Duzee) nueva combinación	77
<i>Gen.B</i>	78
<i>Gen.B intermedia</i> (Barber) nueva combinación.....	80
<i>Gen.C</i>	83
Clave para la determinación de las especies del <i>Gen.C</i>	84

<i>Gen.C brachialis</i> (Stål) nueva combinación	85
<i>Gen.C n.sp1</i>	88
<i>Gen.C n.sp2</i>	92
<i>Gen.C n.sp3</i>	95
<i>Gen.C n.sp4</i>	97
<i>Gen.D</i>	99
Clave para la determinación de las especies del <i>Gen.D</i>	102
<i>Gen.D costalis</i> (Stål) nueva combinación	104
<i>Gen.D serripes</i> (Walker) nueva combinación	108
<i>Gen.D neotropicalis</i> (Kirkaldy) nueva combinación	111
<i>Gen.D tineodes</i> (Burmeister) nueva combinación	115
<i>Gen.D n.sp5</i>	118
<i>Gen.D n.sp6</i>	121
<i>Gen.D n.sp7</i>	123
<i>Gen.D n.sp8</i>	126
<i>Gen.D n.sp9</i>	128
<i>Gen.D n.sp10</i>	131
<i>Gen.D n.sp11</i>	133
<i>Gen.D n.sp12</i>	135
<i>Gen.D n.sp13</i>	137
<i>Gen.D n.sp14</i>	140
<i>Gen.D n.sp15</i>	143
<i>Gen.D tuberculata</i> (Osborn) nueva combinación	145
<i>Gen.D crassicornis</i> (Stål) nueva combinación	147
Aspectos biogeográficos	150
Biodiversidad de Rhyparochromidae de la Argentina	154
Bibliografía	169
Láminas A a F	190
Tabla 1: Matriz básica de datos	196
Fig. 1 Cladogramas	197
Figs. 2-5 <i>Neopamera bilobata</i> (Say)	198
Figs. 6-9 <i>Neopamera albocincta</i> (Barber)	199
Figs. 10-13 <i>Neopamera insularis</i> (Barber)	200
Figs. 14-16 <i>Neopamera insularis</i> (Barber)	201
Figs. 17-20 <i>Neopamera insularis</i> (Barber)	202
Figs. 21-24 <i>Neopamera hondurana</i> (Bergroth)	203

Figs. 25-28 <i>Paromius procerulus</i> (Berg) nueva combinación	204
Figs. 29-32 <i>Paromius procerulus</i> (Berg) nueva combinación	205
Figs. 33-36 <i>Paromius procerulus</i> (Berg) nueva combinación	206
Figs. 37-39 <i>Paromius procerulus</i> (Berg) nueva combinación	207
Figs. 40-43 <i>Paromius procerulus</i> (Berg) nueva combinación	208
Figs. 44-46 <i>Paromius procerulus</i> (Berg) nueva combinación	209
Figs. 47-49 <i>Gen.A mumfordi</i> (Van Duzee) nueva combinación	210
Figs. 50-53 <i>Gen.B intermedia</i> (Barber) nueva combinación	211
Figs. 54-56 <i>Gen.C brachialis</i> (Stål) nueva combinación	212
Figs. 57-60 <i>Gen.C brachialis</i> (Stål) nueva combinación	213
Figs. 61-64 <i>Gen.C n.sp1</i>	214
Figs. 65-68 <i>Gen.C n.sp2</i>	215
Figs. 69-72 <i>Gen.C n.sp3</i>	216
Figs. 73-76 <i>Gen.C n.sp4</i>	217
Figs. 77-80 <i>Gen.D costalis</i> (Stål) nueva combinación	218
Figs. 81-84 <i>Gen.D serripes</i> (Walker) nueva combinación	219
Figs. 85-90 <i>Gen.D neotropicalis</i> (Kirkaldy) nueva combinación	220
Figs. 91-94 <i>Gen.D neotropicalis</i> (Kirkaldy) nueva combinación	221
Figs. 95-100 <i>Gen.D tineodes</i> (Burmeister) nueva combinación	222
Figs. 101-104 <i>Gen.D tineodes</i> (Burmeister) nueva combinación	223
Figs. 105-108 <i>Gen.D n.sp5</i>	224
Figs. 109-112 <i>Gen.D n.sp6</i>	225
Figs. 113-116 <i>Gen.D n.sp7</i>	226
Figs. 117-120 <i>Gen.D n.sp8</i>	227
Figs. 121-124 <i>Gen.D n.sp9</i>	228
Figs. 125-128 <i>Gen.D n.sp10</i>	229
Figs. 129-132 <i>Gen.D n.sp11</i>	230
Figs. 133-136 <i>Gen.D n.sp12</i>	231
Figs. 137-140 <i>Gen.D n.sp13</i>	232
Figs. 141-144 <i>Gen.D n.sp14</i>	233
Figs. 145-148 <i>Gen.D n.sp15</i>	234
Figs. 149-150 <i>Gen.D crassicornis</i> (Stål) nueva combinación	235
Figs. 151-184. Fotografías	236
MAPAS 1-7.....	242

Resumen

La superfamilia Lygaeoidea se ubica en el infraorden Pentatomomorpha y comprende 15 familias (Henry, 1997), de las cuales 12 están presentes en la región Neotropical y 11 han sido registradas de la Argentina. Estas son Berytidae, Blissidae, Colobathristidae, Cymidae, Geocoridae, Lygaeidae, Ninidae, Oxycarenidae, Pachygronthidae, Piesmatidae y Rhyparochromidae.

La familia Rhyparochromidae, con más de 2000 especies, es la más diversa; se las conoce comunmente como “chinchas de las semillas” ya que la gran mayoría se alimentan sobre semillas maduras (Sweet, 1964), excepto los miembros de la tribu Cleradini que se nutren de sangre de sus hospedadores vertebrados (Schuh & Slater, 1995). Un gran número de especies vive sobre el suelo y se alimentan de las semillas que caen, mientras que algunas ascienden a las plantas cuando aún están en ellas (Slater, 1977). Hay un variado grado de especificidad con respecto al hospedador y grandes diferencias en preferencia de hábitat (Slater & Baranowski, 1990).

Muchas son mirmecomórficas, y debido a que tienen los fémures anteriores muy agrandados se pensó que serían predadoras (al menos en parte) de hormigas, pero toda la evidencia indica que estas se alimentan estrictamente de semillas, y los fémures anteriores, más que ser usados para capturar y sujetar animales de presa, son utilizados para manipular semillas u otras sustancias vegetales (Schuh & Slater, 1995).

Actualmente, de acuerdo al análisis filogenético realizado por Henry (1997) y a la clasificación propuesta por este, la familia está constituida por 2 subfamilias, Phlintisinae y Rhyparochrominae; esta última posee 14 tribus, 8 citadas del Neotrópico y 4 de la Argentina (Antillocorini, Lethaeini, Myodochini y Ozophorini); entre éstas, la tribu Myodochini es el grupo dominante de rhyparochromidos en la región Neotropical.

La tribu Myodochini incluye 67 géneros con 307 especies distribuidos en todas las regiones biogeográficas (Schuh & Slater, 1995).

Harrington (1980) realiza una revisión genérica y un análisis cladístico de los Myodochini del mundo, y crea al género *Neopamera* para ubicar a las veinte especies del nuevo mundo, esencialmente elementos neotropicales, que se

encontraban ubicadas hasta ese momento en el género polifilético *Pachybrachius* Hahn (antes *Pamera*).

En el presente trabajo se realiza un tratamiento sistemático completo de las especies del género *Neopamera*, la delimitación y redescrición de sus especies, con aportes de morfología, especialmente de los *genitalia* masculinos, y de distribución geográfica. Se realizaron campañas de colecta a la ciudad de Tandil (Buenos Aires), Col. C. Pellegrini (Corrientes), Ituzaingó, Reserva Santa María (Corrientes) y Galarza (Corrientes); asimismo se efectuaron colectas periódicas en los alrededores de la ciudad de La Plata. Para la obtención de las chinches se utilizaron redes de arrastre, redes de golpe, trampas de caída, trampa Malaise, embudos Berlese y trampas de luz (de vapor de mercurio y mezcla). Se examinó material del Museo de Ciencias Naturales de La Plata y del Museo Argentino de Ciencias Naturales “Bernardino Rivadavia”, de 14 Instituciones extranjeras y de 2 colecciones particulares. Se examinó material tipo de 13 especies. En total se examinaron más de 3500 ejemplares de *Neopamera* y géneros afines.

Como resultado de este estudio se establecieron 3 sinonimias: se considera a *N. sororcula* sinónimo de *N. procerula*, a *N. vivida* de *N. bilobata*, y a *N. vicaria* de *N. intermedia*, y se describen 15 nuevas especies para la ciencia. Asimismo se construyó una matriz básica de datos de 33 taxa por 30 caracteres, y se utilizó el programa Pee-Wee 3.0 para hallar la hipótesis filogenética más parsimoniosa. Utilizando una concavidad de 3 se obtuvieron 5 árboles con un *fit* (ajuste) de 246.3, un *fit* relativo de 69% y una longitud de 69. Se calculó el consenso estricto y se realizó un Jackknife como una medida de confianza de los clados. Se define la monofilia del género *Neopamera* manteniendo a 4 especies en el: *N. albocincta*, *N. bilobata*, *N. hondurana* y *N. insularis*, y a 3 *incertae sedis*: *N. pagana*, *N. platana* y *N. recincta*; y se crean 4 géneros nuevos: *Gen.A* para ubicar *N. mumfordi*, *Gen.B* para *N. intermedia*, *Gen.C* para *N. brachialis* y 4 nuevas especies y *Gen.D* para *N. neotropicalis*, *N. costalis*, *N. crassicornis*, *N. serripes*, *N. tineodes* y *N. tuberculata* y 11 nuevas especies. Por último, se asigna a *N. procerula* al género *Paromius*: *Paromius procerulus* Berg (nueva combinación), y se describen e ilustran sus huevos y sus cinco estadios ninfales.

Se tomaron fotografías de todas las especies en vista dorsal y se dibujaron las estructuras de mayor importancia, especialmente las relacionadas con los *genitalia* masculinos. Con los datos de distribución geográfica obtenidos a partir del material examinado se confeccionaron bases de datos con coordenadas decimales mediante el programa Diva-Gis 4, y se mapearon las distribuciones utilizando el programa Arc-View 3.1; además, se comentan los aspectos zoogeográficos más relevantes.

Como aporte para el conocimiento de la biodiversidad de Rhyparochromidae en la República Argentina se brinda una lista actualizada con todas las especies citadas hasta el momento de el país con su distribución geográfica, así como primeras citas. En la presente tesis se reconocen en total 24 géneros y 35 especies.

Agradecimientos

Quiero agradecer profundamente a mi esposa y a mis padres.

A mi directora, la Dra. María del Carmen Coscarón, por su apoyo y guía durante esta etapa de mi formación de postgrado.

A todas las instituciones que gentilmente me enviaron material para su estudio. Al Dr. Diego J. Carpintero y al Dr. James A. Slater por el préstamo de ejemplares de sus colecciones particulares

A mis compañeros de laboratorio y de la División Entomología, quienes en todo momento me brindaron su apoyo.

Al Dr. C. Ituarte por permitirme utilizar el equipo óptico de la División Zoología Invertebrados.

A Jorge Williams por los especímenes colectados con trampa de luz.

También quiero agradecer a las siguientes personas, que con sus comentarios y consejos han contribuido a enriquecer este trabajo: Sixto Coscarón, Axel O. Bachmann, Diego L. Carpintero, Marta Fernández, Analia Lanteri, Francisco Brusa, Daniel Giuliano, Diego Gutierrez.

Introducción

La superfamilia Lygaeoidea se ubica en el infraorden Pentatomomorpha (Schuh & Slater, 1995; Henry, 1997), sus miembros se caracterizan por poseer ocelos, excepto en las formas braquípteras, por presentar búculas bien desarrolladas, antenas localizadas debajo de una línea media imaginaria que pasa a través de la mitad del ojo, y alas anteriores con 4 o 5 nervaduras en la membrana. Comprende 15 familias (Henry, 1997), de las cuales 12 han sido registradas en la región Neotropical y 11 en la Argentina. Estas son Berytidae, Blissidae, Colobathristidae, Cymidae, Geocoridae, Lygaeidae, Ninidae, Oxycarenidae, Pachygronthidae, Piesmatidae y Rhyparochromidae.

La familia Rhyparochromidae, con más de 2000 especies, es la más diversa; sus miembros usualmente son de colores castaños, sin brillo, con manchas castañas, negras o blancas, frecuentemente con tricobotrios cefálicos y profémures agrandados y armados ventralmente con 2 hileras de espinas, los esternos abdominales IV y V están fusionados, su unión generalmente curvada hacia delante, y no alcanza el margen dorsal del abdomen. Se las conoce comúnmente como “chinchas de las semillas”, ya que la gran mayoría se alimenta sobre semillas maduras (Sweet, 1964), excepto los miembros de la tribu Cleradini que se nutren de sangre de sus hospedadores vertebrados (Schuh & Slater, 1995). Un gran número de especies vive sobre el suelo y se alimenta de las semillas caídas, mientras que algunas ascienden a las plantas cuando hay semillas disponibles (Slater, 1977). Hay un variado grado de especificidad con respecto al hospedador, y ciertamente grandes diferencias en preferencia de hábitat (Slater & Baranowski, 1990).

Muchas son mirmecomórficas, y debido a que tienen los fémures anteriores muy agrandados se pensó que serían predadoras (al menos en parte) de hormigas, pero toda la evidencia indica que se alimentan estrictamente de semillas, y los fémures anteriores, más que ser usados para capturar y sujetar animales presa, son utilizados para manipular semillas u otras sustancias vegetales (Schuh & Slater, 1995).

La familia fue establecida por Amyot & Serville (1843) como Rhyparochromides; fue llamada Myodochina por Stål (1872), Pachymeriidae por Uhler (1860), Aphanini por Puton (1887), y Megalonotinae por Slater (1957). La separación básica en tribus la realizó Stål (1872), quien reconoció los Lethaeini, Drymini, Myodochini, Rhyparochromini, y Gonianotini. Stål (1874) posteriormente adicionó los Cleradini, y Gulde (1936) los Stygnocorini. Scudder (1957) discute las relaciones tribales, colocando algunas de las tribus de Stål como subtribus, y expande el concepto de los Stygnocorini. Slater (1957) separa los Megalonotini de los Rhyparochromini. Slater y Sweet (1961) establecen los Plinthisini. Ashlock (1964) reconoce la naturaleza polifilética de los Lethaeini y remueve a los Antillocorini y Targaremini como tribus distintas. Sweet (1964) reconoce a los Ozophorini y posteriormente Sweet (1967) estudia la clasificación superior en detalle y remueve los Udeocorini de los Myodochini. Slater y Woodward (1982) establecen los Lilliputocorini.

Actualmente, de acuerdo al análisis filogenético realizado por Henry (1997) y a la clasificación propuesta por este, la familia está constituida por 2 subfamilias, la Phlintisinae y la Rhyparochrominae, esta última incluye 14 tribus, 8 citadas del Neotrópico y 4 de la Argentina (Antillocorini, Lethaeini, Myodochini y Ozophorini) (en el presente trabajo de Tesis se cita por primera vez a la tribu Udeocorini de la Argentina); entre estas, la tribu Myodochini es el grupo dominante de rhyparochromidos en la región Neotropical.

La tribu Myodochini incluye 67 géneros con 307 especies, distribuidos en todas las regiones biogeográficas (Schuh & Slater, 1995). Presentan el cuerpo de forma variada que va desde cortos y robustos (menores de 3 mm) a elongados y delgados (más de 10 mm), desde pequeños a muy grandes, a menudo mirmecomórficos; presentan los márgenes del pronoto redondeados, no carenados, usualmente con un distintivo collar anterior en el pronoto, espiráculos abdominales 2-4 localizados dorsalmente y laterotergitos internos ausentes; sus ninfas presentan el límite entre los tergitos III y IV en forma de "Y", y glándulas repugnatorias que abren dorsalmente entre los tergos abdominales III/IV, IV/V y V/VI.

Harrington (1980) realiza una revisión genérica y un análisis cladístico de los Myodochini del mundo, y crea al género *Neopamera* para ubicar a las veinte especies del nuevo mundo, esencialmente elementos neotropicales, que se encontraban ubicadas hasta ese momento en el género polifilético *Pachybrachius* (antes *Pamera*). Estas son: *Neopamera albocincta* (Barber 1953), *N. bilobata* (Say 1831), *N. brachialis* (Stål 1858), *N. costalis* (Stål 1874), *N. crassicornis* (Stål 1874), *N. hondurana* (Bergroth 1914), *N. insularis* (Barber 1925), *N. intermedia* (Barber 1924), *N. mumfordi* (Van Duzee 1935), *N. neotropicalis* (Kirkaldy 1909), *N. pagana* (White 1879), *N. platana* (Bergroth 1894), *N. procerula* (Berg 1892), *N. recincta* (Breddin 1901), *N. serripes* (Walker 1872), *N. sororcula* (Berg 1892), *N. tineoides* (Burmeister 1835), *N. tuberculata* (Osborn 1904), *N. vicaria* (Barber 1954) y *N. vivida* (Distant 1882). De estas 20 especies, 5 han sido citadas de la Argentina (Slater, 1964; Slater & O'Donnell, 1995). Este género reviste especial interés ya que Schuh & Slater (1995) lo mencionan como plaga de cultivos de frutilla, Sweet (1960) en cultivos de arroz y frutilla, en tanto que Costa Lima (1940) lo refiere atacando cultivos de tabaco en la República Argentina.

Harrington (1980) caracteriza al género por poseer cutícula con textura pruinoso, mesoepímero emergente, vertex de la cabeza aplanado, punteado del clavo formando 4 o más hileras, unión de las búculas en forma de "V", espinas sobre los fémures anteriores en una doble hilera, machos sin espinas en las tibias anteriores, y por carecer de una región del cuello distintiva por detrás de los ojos. Harrington no encontró sinapomorfias satisfactorias para este grupo de especies, y señala que podría no ser monofilético.

Dado el escaso conocimiento que se tiene sobre este importante grupo de especies, el objetivo del presente trabajo de tesis es delimitar y redescubrir las especies del género *Neopamera* y proponer una clasificación de acuerdo a sus afinidades filogenéticas, definiendo correctamente al género sobre la base de caracteres sinapomórficos. Asimismo, contribuir para el conocimiento acerca de la biodiversidad de las Rhyparochromidae en la Argentina, brindando una lista actualizada con todas las especies conocidas en el país, así como primeras citas, dado que el último listado de las especies

de la Argentina y su distribución geográfica fue realizado por Pennington (1921).

Materiales y Métodos

Recolección de material: Se realizaron campañas a Tandil (Buenos Aires), Col. C. Pellegrini (Corrientes), Ituzaingó, Reserva Santa María (Corrientes) y Galarza (Corrientes); asimismo se efectuaron colectas periódicas en los alrededores de la ciudad de La Plata. Para la obtención de las chinches se utilizaron redes de arrastre, redes de golpe, trampas de caída, trampa Malaise, embudos Berlese y trampas de luz (de vapor de mercurio y mezcla); los ejemplares colectados se colocaron en alcohol 70°GL, y se montaron en el laboratorio para su posterior estudio.

Métodos de colecta:

Redes de arrastre: se utilizaron redes de un diámetro de 35 cm para colectar en la vegetación herbácea y arbustiva de menos que 1 metro de altura.

Redes de golpe: se utilizaron redes de un diámetro de 90 cm; se colocaron debajo de arbustos y de árboles, cuyas ramas eran agitadas y golpeadas con una vara rígida para que los insectos cayeran en la red.

Trampas de caída: se colocaron en transectas de 90 metros con 10 estaciones equidistantes; en cada estación se instalaron 3 trampas en un radio de un metro aproximadamente; dentro de las trampas se utilizó ácido acético 10°GL o agua saturada con sal con 10 ml de detergente por litro.

Trampa Malaise: se colocó en lugares con suaves corrientes de aire entre las plantas y se recolectó el material a diario.

Embudos Berlese: Se tomaron 20 muestras de hojarasca por campaña, las cuales se colocaron en embudos de plástico de 20 centímetros de diámetro, debajo del cual se colocó un recipiente de plástico con alcohol 70°GL; se mantuvieron durante una semana y posteriormente se examinó el material colectado.

Trampa de luz: se colocó una sábana blanca por detrás de la fuente lumínica (generalmente una lámpara a vapor de mercurio de 150 W) y se colectaron los ejemplares que en ella se posaban mediante aspiradores o pinzas entomológicas.

Relevamiento del material de colecciones: Se estudió el material de Rhyparochromidae depositado en el Museo Argentino de Ciencias Naturales “Bernardino Rivadavia” (MACN) y en el Museo de Ciencias Naturales de La Plata (MLP), tanto el material montado como el depositado en camas de algodón.

Asimismo, se solicitó en préstamo material de *Neopamera* y géneros afines a las siguientes instituciones extranjeras:

- American Museum of Natural History, Department of Entomology, New York, USA (AMNH).
- Bishop Museum, Honolulu, USA (BM).
- California Academy of Sciences, Department of Entomology, San Francisco, USA (CAS).
- Canadian National Collections of Insects, Arachnids and Nematodes, Ottawa, Canadá (CNC).
- Cornell University Insect Collection, Department of Entomology, Ithaca, USA (CUIC).
- Frost Entomological Museum, Department of Entomology, Pennsylvania, USA (FEM).
- Museu de Zoologia da Universidade de São Paulo, Brasil (MZUSP).
- Natural History Museum of Los Angeles County, Los Angeles, USA (NHMLAC).
- Ohio State University, Collection of Insects and Spiders, Ohio, USA (OSUC).
- Smithsonian Institution, National Museum of Natural History, Washington D.C., USA (NMNH).
- Snow Entomological Museum, Snow Hall, The University of Kansas Natural History Museum, Lawrence, USA (SEM-UKANS).
- Swedish Museum of Natural History, Department of Entomology, Stockholm, Suecia (SMNH).
- The Natural History Museum, Department of Entomology, London, Gran Bretaña (NHM).
- University of Michigan, Museum of Zoology, Insect Division, Ann Arbor, USA (MZUM).

También se estudió la colección de Rhyparochromidae del Dr. Diego J. Carpintero (CDC) (Argentina) y del Dr. James Slater (JSC) (Estados Unidos).

-Se examinó el siguiente material tipo:

- Orthaea ferruginosa* Barber 1924 (Holotipo) (AMNH)
- Orthaea insularis* Barber 1925 (Holotipo) (AMNH)
- Pachybrachius albocinctus* Barber 1953 (12 Paratipos) (NMNH)
- Pachybrachius vicarius* Barber 1954 (Holotipo) (NMNH)
- Pamera costalis* Stål 1874 (Lectotipo; 5 Paralectotipos) (SMNH)
- Pamera procerula* Berg 1892 (Holotipo) (MLP)
- Pamera sororcula* Berg 1892 (Holotipo) (MLP)
- Pamera tuberculata* Osborn 1904 (Holotipo) (OSUC)
- Pamera vivida* Distant 1882 (Lectotipo) (NHM)
- Ptochiomera caeca* Van Duzee 1935 (Holotipo) (BM)
- Rhyparochromus (Plociomerus) brachialis* Stål 1858 (Lectotipo) (SMNH)
- Rhyparochromus (Plociomerus) vicinus* Stål 1874 (Lectotipo) (SMNH)
- Rhyparochromus serripes* Walker 1872 (Neotipo) (NHM)

Para el presente trabajo de tesis se examinaron más de 3500 ejemplares de *Neopamera* y géneros afines.

Caracteres exo y endosomáticos: Para la observación de los caracteres somáticos y la realización de las ilustraciones se utilizó un estereomicroscopio Wild M-5, con tubo de dibujo. Las fotografías de microscopía electrónica se tomaron de ejemplares montados sobre tacos metálicos y metalizados con oro y paladio, los que se estudiaron con un JEOL T-100 SEM del Museo de La Plata. Los datos merísticos se obtuvieron mediante el uso de un ocular milimetrado. Las fotografías se tomaron por medio de una cámara digital Olympus C-4000 adaptada a un estereomicroscopio Leica Wild M3Z.

Para el estudio de los *genitalia* masculinos, se colocaron los ejemplares en cámara húmeda; una vez ablandados se extrajo el pigóforo, y se lo dejó en hidróxido de potasio (NaOH) 10°GL durante el tiempo necesario, aproximadamente 24 hs, para aclarar las estructuras y así poder estudiarlas; se consideró suficiente cuando el pigóforo permitía ver las estructuras internas por transparencia; luego se lavó el pigóforo con agua durante cinco minutos para eliminar la potasa y se colocó en glicerina; en este medio se diseccionaron las piezas genitales, las cuales se ilustraron y describieron. Para lograr la evaginación del edeago se utilizó la metodología del “shock osmótico” propuesta por Ashlock (1957), pasando alternadamente el edeago por una solución de NaOH 10 % y agua destilada para ayudar al proceso de evaginación; en caso de ser necesario, se presionó suavemente por debajo del reservorio eyaculatorio y se tiró suavemente del *processus gonopori*. En aquellos casos en que el edeago era demasiado pequeño para observar con detalle las estructuras, se realizaron preparaciones microscópicas temporarias. Las piezas genitales se conservaron en glicerina en un tubo porta-genitalia que se colocó en el mismo alfiler con el ejemplar.

- Se tomaron las siguientes medidas (Láminas A y B):

Longitud total (LT) – en vista dorsal, desde el ápice del clipeo hasta el extremo de los hemiólitros; en aquellas especies en que el abdomen sobrepasa los hemiólitros se tomó hasta el extremo del abdomen.

Longitud de la cabeza (LC) – desde el ápice del clipeo hasta el margen posterior de la cabeza; dado que la cabeza puede estar en diferente posición en los especímenes medidos y puede tener distinto grado de curvatura en las distintas especies, se tomó la longitud en vista dorsal acomodando el ejemplar de modo de hacer foco en un punto medio equidistante de los extremos.

Longitud preocular de la cabeza (LP) – desde el ápice del clipeo hasta el margen anterior del ojo (utilizando el mismo criterio que en la medida anterior).

Ancho de la cabeza (AC) – en vista dorsal, a la altura de los ojos.

Ancho del ojo (AO) - en vista dorsal, se tomó el ancho máximo y se ubicó la cabeza de modo tal que la medida tomada fuera la misma para ambos ojos.

Espacio interocular (EI) – en vista dorsal la menor distancia entre los ojos, con la cabeza en la misma posición que en la medida anterior.

Espacio interocelar (EIO) – en vista dorsal, con la cabeza en la misma posición que en la medida anterior.

Distancia postocular (DP) – en vista dorsal, distancia entre el borde posterior del ojo y el margen anterior del pronoto.

Relación de los segmentos antenales – se midieron los segmentos antenales (LSA1-LSA4) y se calculó la proporción de la longitud de los segmentos II, III, y IV con respecto a la longitud del primer segmento.

Relación de los segmentos del rostro – se midieron los segmentos del rostro (LSR1-LSR4) en vista lateral y se calculó la proporción del mismo modo que para la antena.

Longitud del rostro – se obtuvo sumando las medidas de los segmentos.

Ancho del collar pronotal (ACP) – en vista dorsal.

Ancho del lóbulo anterior del pronoto (ALAP) – el ancho máximo en vista dorsal.

Ancho del lóbulo posterior del pronoto (ALPP) – el ancho máximo en vista dorsal.

Longitud del collar pronotal (LCP) – Se midió en la línea media.

Longitud del lóbulo anterior del pronoto (LLAP) – Se midió en la línea media.

Longitud del lóbulo posterior del pronoto (LLPP) – Se midió en la línea media.

Longitud abdominal (LA) – en vista lateral desde el margen posterior de la metapleura hasta el extremo del abdomen.

Ancho abdominal – el ancho máximo en vista ventral.

Para la elaboración de los mapas de distribución de los géneros y especies se creó una base de datos con la información de cada espécimen estudiado, y se asignaron coordenadas geográficas a los datos de captura mediante la utilización del programa DIVA-GIS, el mapeo se realizó con el programa Arc-View. Cuando existe más de una localidad con el mismo nombre, no se asignaron coordenadas. De aquellas especies para las cuales su distribución

incluye a los Estados Unidos (*Neopamera albocincta*, *N. bilobata*, *N. neotropicalis* y *N. tineodes*), sólo se ilustra la distribución en América Central y del Sur.

Descripción de los caracteres más importantes de la morfología de la tribu Myodochini

Morfología externa

(Láminas C, D, E y F)

Textura

Textura de la cutícula.- Las especies analizadas presentan una textura pruinosa (Figs. 87, 96), término utilizado por Harrington (1980) para aquellos taxones que presentan una superficie opaca, producida por una minúscula pilosidad no visible bajo la magnificación del estereomicroscopio, pero que es revelada en el microscopio electrónico.

Parches del lóbulo anterior del pronoto (Figs. 162, 171-173).- muchas de las especies aquí estudiadas presentan 2 parches glabros irregulares y simétricos sobre el disco pronotal, que presentan un aspecto distinto del resto de la superficie del lóbulo. Esto es visible en algunos especímenes y no en otros, dependiendo del estado de conservación y posiblemente de secreciones del insecto; el estudio por medio de microscopía electrónica de barrido ha revelado que en general no hay diferencia alguna entre estas zonas y el resto del pronoto, y que ambas presentan los microtriquios que caracterizan la pruinosis. *Neopamera insularis*, exhibe una textura granulada en estas regiones (Figs. 11-13).

En la revisión del género *Pseudoparomius* Harrington (Dellapé & Coscarón, en evaluación), el estudio por medio del microscopio electrónico de barrido reveló diferencias de textura en esta zona entre las especies del género; sin embargo, su inclusión en un mismo género está bien sustentado por un conjunto de caracteres. Son necesarios estudios de microscopía electrónica de barrido más extensos para determinar si es un carácter que permite delimitar taxones supraespecíficos.

Cabeza

(Láms. C, D a,c y F a-c)

Antenas (an).- Presentan 4 segmentos y es común encontrar ejemplares oligoméricos. La mayoría de los géneros de la tribu tiene antenas filiformes con el cuarto segmento fusiforme; todas las especies estudiadas aquí presentan antenas de este tipo.

Ojos compuestos (oc) y ocelos (oce).- Los ojos compuestos de la mayoría de las especies de Myodochini son redondeados, a veces algo ovales (esto es notable en especies mirmecomórficas); en relación a su posición pueden ser laterales o estar altos en la cabeza, a veces subpedunculados. Los ocelos están siempre presentes, a excepción de las especies del género *Cnemodus* Herrich-Schaefer y de *N. mumfordi*.

Yugo (yu).- En muchos géneros de la tribu el yugo presenta un reborde o costilla (yuc), esta condición se encuentra en la mayoría de las especies aquí analizadas. Esta característica parece haberse desarrollado varias veces en forma independiente en los Myodochini, posiblemente en relación con su mirmecofilia (Harrington, 1980).

Rostro (ro).- Presenta 4 segmentos. Su longitud y las longitudes relativas de los segmentos son útiles, en algunos casos, para identificar especies.

Búculas (Lám. F a-c).- De acuerdo con Harrington (1980) los géneros de la tribu considerados primitivos presentan las búculas prolongadas sobre la mayor parte de la superficie ventral de la cabeza y encerrando una área gular, su unión es redondeada o en forma de "U". En algunos géneros esta unión es redondeada y cercana a la base del rostro. La mayoría de las especies analizadas aquí presentan una unión de las búculas en forma de "V" (ub).

Tórax

Pronoto (Láms. C y D a).- el pronoto de los Myodochini está formado por un lóbulo anterior (lap) y un lóbulo posterior (lpp), separados por una constricción transversa (su), ambos con los márgenes laterales redondeados.

El lóbulo anterior forma un collar anterior (co) delimitado posteriormente por un surco; los géneros considerados primitivos en la tribu no suelen tener un collar claramente delimitado (Harrington, 1980). La forma, la pilosidad y el punteado difieren en cada parte del pronoto, dependiendo de la especie o género.

Hemiélitros (Láms. C y F d-e).- Las formas macrópteras presentan hemiélitros con solo 4 o 5 venas (ven) en la membrana (me), la porción coriácea se divide en un clavo (cla) y un corio (cor), este último dividido en un endocorio (enc) y un exocorio (exc) por la “sutura” corial (suc). De acuerdo con Harrington (1980), en los géneros considerados primitivos el clavo presenta 3 hileras de puntos, mientras que en la mayoría de los géneros hay puntos adicionales que esbozan una cuarta y una quinta hilera (Lam F d-e). La pilosidad y la disposición de los puntos son variados e importantes a nivel específico y genérico. El margen corial externo (mc) puede ser aserrado (Figs. 88, 96), lo que sugiere un aparato estridulatorio.

Patas (Lám. C).- La mayoría de los Myodochini presentan las procoxas con una espina, que puede estar más desarrollada en los machos. Las especies de *Neopamera* (resultantes del presente trabajo) exhiben dimorfismo sexual, los machos poseen 2 espinas y las hembras solo una; adicionalmente los machos presentan 1 o 2 pequeñas espinas sobre los protrocánteres.

La mayoría de los Myodochini tienen 2 hileras de espinas sobre la superficie ventral de los profémures (fe), algunas especies poseen pequeñas espinas dispuestas entre estas 2 hileras; en tanto que las espinas en *N. mumfordi* se encuentran restringidas al tercio distal interno.

Las tibias anteriores (ti) de los machos también pueden presentar espinas (Fig. 170). Si bien la presencia o ausencia de espinas sobre las protibias de los machos ha sido usada tradicionalmente como carácter genérico (Harrington, 1980; 1987), parecería que en ciertos casos puede haber diversidad intragenérica (Dellapé, 2003).

Los mesofémures de los machos presentan, en algunas especies, espinas dispuestas en 1 o 2 hileras.

Los tarsos (ta) son trisegmentados, y el pretarso porta un par de uñas con pulvillo y paraempodia (Fig. 90).

Abdomen

(Láms. D a-b y F f-g)

El abdomen de los Myodochini presenta los espiráculos abdominales II, III, y IV dorsales (ead) y el resto ventrales (eav). Los géneros considerados primitivos por Harrington (1980) presentan una estriación en la unión de los segmentos II-III, el cual puede notarse también en las uniones entre los segmentos III-IV, y IV-V en algunos géneros (Lám. F f-g).

Genitalia masculinos

Pigóforo (Lám. E a-b) y segmentos asociados: Los segmentos abdominales VIII a XI forman parte o están asociados a los *genitalia* masculinos y se encuentran retraídos dentro del segmento VII (cuando el insecto no está copulando). El segmento VIII forma un anillo indiferenciado. El pigóforo o cápsula genital se desarrolla a partir del esternito abdominal IX y contiene el edeago y los parámetros, es redondeado y presenta una abertura dorsal que está cubierta por el *proctiger* en el cual desemboca el ano rodeado por los segmentos X y XI reducidos.

Parámetros (Lám. E c-d): Los Lygaeoidea presentan un par de parámetros o *claspers*, piezas esclerotizadas, simétricas, que se ubican dentro del pigóforo y ayudan a la fijación del macho en el momento de la cópula. En los parámetros pueden reconocerse 2 porciones: una porción basal o ancla (bp), la cual está unida a la pared del pigóforo por medio del *basis parameri* o zona de unión (zu) (Dupuis, 1955) y puede presentar proyecciones internas (pi) y/o externas (pe), y en una porción distal o espada (esp), la cual generalmente es elongada y algo curva. La superficie del parámetro lleva generalmente pelos, que probablemente tienen una función sensorial (Ashlock, 1957). En los Myodochini la morfología de los parámetros es muy útil para delimitar especies, y en algunos casos géneros y grupos de géneros.

Edeago (Lám. E e): está formado por una porción basal, la falobase, y una distal, el endosoma, este último puede dividirse en 2 áreas: una conjuntiva proximal (con) y una vejiga distal (ve). La conjuntiva está delimitada distalmente en el edeago inflado por la base del reservorio eyaculatorio (re) y puede tener lóbulos, espinas o lóbulos con espinas. La vejiga incluye al reservorio eyaculatorio y puede presentar lóbulos, espinas o prolongaciones aserradas; termina en una extensión aplanada y esclerotizada que forma una hélice o espiral llamada por Ashlock (1957) proceso helicoidal (ph).

El reservorio eyaculatorio (re) está compuesto por un cuello, un cuerpo y alas (Bonhag & Wick, 1953). El cuello se conecta con el conducto seminal de la conjuntiva, el cuerpo es generalmente redondeado u ovalado y comprimido dorsoventralmente, las alas (are) son un par de estructuras simétricas y generalmente aplanadas que se originan de la superficie dorsal del cuerpo.

El conducto seminal (ds) corre por dentro del endosoma, la porción de la conjuntiva es más delgada y menos esclerotizada que la de la vejiga. La parte distal del conducto seminal que está libre de la vejiga es llamada *processus gonopori* (pg) (Ashlock, 1957).

El término “escleritos de sujeción” (Figs. 5, 9) fue establecido para escleritos pares unidos al cuerpo del reservorio eyaculatorio por Sweet (1967), quien considera que estas estructuras sirven para anclar la parte basal de la vejiga en el vestíbulo genital de la hembra.

Harrington (1980), en su análisis cladístico de los Myodochini del mundo, pone especial énfasis en caracteres del edeago, principalmente de la conjuntiva, vejiga y reservorio eyaculatorio, y establece 4 tipos básicos de edeago sobre la base de los que conforma 4 grupos de géneros: Grupo 1: reservorio eyaculatorio bien desarrollado con alas dirigidas hacia adelante, escleritos de sujeción largos y delgados, y conjuntiva y vejiga generalmente sin espinas. Grupo 2: reservorio eyaculatorio con alas grandes dirigidas atrás, sin escleritos de sujeción, conjuntiva con 2 grandes espinas fuertemente esclerotizadas, y vejiga con prolongaciones y diminutas espinas. Grupo 3: reservorio eyaculatorio reducido, sin escleritos de sujeción, conjuntiva con numerosas espinas, y vejiga sin espinas. Grupo 4: reservorio eyaculatorio bien desarrollado con alas amplias, escleritos de sujeción cortos

y anchos, vejiga y conjuntiva sin espinas; Harrington señala que las pequeñas espinas que se encuentran en la conjuntiva en algunos géneros son muy distintas, y probablemente no homólogas con las del Grupo 3.

La gran diversidad de morfología evidenciada en el edeago de las especies estudiadas en el presente trabajo de tesis, evidencia que este es una valiosa fuente de caracteres, y los agrupamientos en 4 tipos básicos propuestos por Harrington debe ser revisado y ampliado a fin de establecer con mayor sustento la filogenia de la tribu.

Abreviaturas de las láminas C, D y E

aac = área acetabular
 aap = apertura anterior del pigóforo
 ac = ápice corial
 ad = apertura dorsal del pigóforo
 ae = área evaporatoria
 agr = apertura de la glándula repugnatoria
 an = antena
 are = ala del reservorio eyaculatorio
 bp = base del parámero
 bu = búcula
 cc = comisura claval
 cgr = cicatriz de la glándula repugnatoria
 cl = clipeo
 cla = clavo
 co = collar
 con = conjuntiva
 cor = corio
 cox = coxa
 ds = ducto seminal
 ead = espiráculo abdominal dorsal
 eav = espiráculo abdominal ventral
 enc = endocorio
 epi = espina de la proyección interna
 es = escutelo
 esp = espada
 exc = exocorio
 fe = fémur
 hem = hemiélitro
 la = labro
 lap = lóbulo anterior del pronoto
 le = laterotergito externo
 lpp = lóbulo posterior del pronoto
 ma = mandíbula
 maa = margen anterior de la abertura dorsal del pigóforo

map = margen posterior de la abertura dorsal del pigóforo
max = maxila
mc = margen corial
me = membrana
mes = mesoepímero
mi = membrana intersegmental
mpp = margen posterior del pigóforo
oc = ojo compuesto
oce = ocelo
pa = parámero
pe = proyección externa
pg = *processus gonopori*
ph = proceso helicoidal
pi = proyección interna
pig = pigóforo
pl = proyecciones laterales (*parandria*)
re = reservorio eyaculatorio
rs = rostro
sc = sutura claval
sr1 = segmento rostral 1
su = surco pronotal
suc = sutura corial
ta = tarso
tea = tergo abdominal
ti = tibia
tu = tubérculo antenífero
tr = tricobotrio
ub = unión de las búculas
ve = vejiga
ven = vena
ver = vertex
yu = yugo
yuc = reborde del yugo
zu = zona de unión del parámero
II-IX = segmentos abdominales II a IX

Análisis filogenético

Doce de las 20 especies reconocidas actualmente en el género *Neopamera* y 15 nuevas especies se utilizaron para realizar el análisis filogenético. *N. pagana*, *N. platana* y *N. recincta* no fueron incluidas en el análisis ya que no se pudo examinar material y la información brindada en las descripciones originales es demasiado escueta e incompleta como para extraer los estados de sus caracteres. De *N. crassicornis* y *N. tuberculata* solo se examinó el holotipo, en el caso de *N. crassicornis* este se encuentra en muy mal estado de conservación (solo conserva la cabeza, tórax y algunas patas), y el holotipo hembra de *N. tuberculata* no permitió la inclusión de los caracteres relacionados a los *genitalia* masculinos y al desarrollo de las espinas en las patas; dado la gran cantidad de datos faltantes, estos 2 taxones no fueron incluidos en la matriz. Asimismo, en el presente trabajo de tesis, se considera a *N. sororcula* sinónimo de *N. procerula*, *N. vivida* de *N. bilobata*, y a *N. vicaria* de *N. intermedia* por lo que no se incluyeron en el análisis.

Se seleccionaron representantes de otros géneros para ser utilizados como grupos externos: *Cholula lymphra* Brailovsky 1981 se usó para enraizar el árbol, y *Prytanus* sp., *Froeschneria multispinus* Stål 1874, *Heraeus coquilletti* Barber 1914, *Pseudoparomius linearis* Stål 1874 y *Orthaea consuta* Dallas 1852 para evaluar su relación con las especies del género.

Caracteres y estados de caracteres se obtuvieron por observación directa del material, y se codificaron de acuerdo con el formato requerido para Pee-Wee 3.0 (Goloboff, 1993). Se construyó una matriz básica de datos de 33 taxa por 30 caracteres (Tabla 1). Estados desconocidos de caracteres fueron codificados usando un signo de interrogación (?). Se consideraron a todos los caracteres desordenados. Para hallar la hipótesis filogenética más parsimoniosa se utilizó la constante de concavidad 3 (aunque las demás concavidades también fueron exploradas), y se realizó una búsqueda heurística con adición de secuencias al azar y “swapping” por TBR “tree-bisection reconnection” (mult*100) y TBR de los árboles encontrados con mult*100 (max*). Finalmente se realizó un Jackknife como una medida de soporte de los clados; los valores se calcularon utilizando la información

disponible en el archivo JAK.RUN, y se utilizó el programa FQ.EXE para calcular el árbol de consenso de mayoría (Goloboff, 1998_{a, b})

Listado de caracteres

Morfología externa

1- Longitud total: (0) menor que 7 mm; (1) mayor que 7,5 mm.

Si bien el tamaño es variado entre los miembros de una misma especie, y particularmente entre sexos, se puede marcar una clara diferencia entre las especies: *O. consuta*, *N. neotropicalis*, *N. costalis*, *N. tineodes*, *N. serripes*, *nsp5*, *nsp6*, *nsp7*, *nsp8*, *nsp9*, *nsp10*, *nsp11*, *nsp12*, *nsp13*, *nsp14* y *nsp15*, cuyo tamaño es siempre mayor que 7,5 mm, y el resto, que no superan los 7 mm.

2- Posición de la cabeza: (0) inclinada hacia adelante (Fig. 2 b); (1) recta (Fig. 57 b).

Prytanus sp, *H. coquilletti*, *O. consuta*, *N. brachialis*, *N. intermedia*, *nsp1*, *nsp2*, *nsp3* y *nsp4* presentan una cabeza prorecta, a diferencia de las demás especies en las cuales la cabeza se inclina hacia adelante.

3- Grado de elongación de la cabeza: (0) región postocular corta, sin cuello (Fig. 2 a); (1) región postocular alargada formando un incipiente cuello (Fig. 57 a).

Si bien ninguna de las especies aquí analizadas tiene un verdadero cuello como ocurre en otros myodoquinos, como por ejemplo en *Pephyssena* Distant, *Dushinckanus* Brailovsky o *Myodocha* Latreille, existe un incipiente cuello en las especies *H. coquilletti*, *N. brachialis*, *nsp2*, *nsp3* y *nsp4*.

4- Reborde del yugo: (0) ausente; (1) presente (Lám. D c).

La mayoría de especies aquí analizadas presenta el yugo con un reborde o costilla, que parece haberse desarrollado varias veces en forma independiente en los

Myodochini. *Orthaea consuta*, *P. linearis*, *N. albocincta*, *N. bilobata*, *N. costalis*, *N. insularis*, *N. neotropicalis*, *N. procerula*, *N. serripes*, *N. tineodes*, *nsp5*, *nsp6*, *nsp7*, *nsp8*, *nsp9*, *nsp10*, *nsp11*, *nsp12*, *nsp13*, *nsp14* y *nsp15* presentan el mencionado reborde.

5- Unión de las búculas: (0) amplia, en forma de “U”; (1) corta, en forma de “V”; (2) corta, en forma de “U”. (Lám. F a-c)

La mayoría de las especies analizadas presentan una unión de las búculas en forma de “V”, a excepción de *Prytanes* sp., la cual presenta una unión en forma de “U” a corta distancia de la inserción labial, y de *C. lymphia* y *N. mumfordi* que presentan las búculas prolongadas sobre la mayor parte de la superficie ventral de la cabeza, encerrando una área gular, y su unión es redondeada o en forma de “U”, esta última condición es considerada primitiva por Harrington (1980).

6- Posición de los ojos compuestos: (0) ojos compuestos ubicados a los lados de la cabeza de forma que no interrumpen el perfil de la cabeza dorsalmente en vista lateral (Fig. 25); (1) ojos insertados “altos”, a veces subpedunculados, lo que interrumpe claramente el perfil de la cabeza dorsalmente (Fig. 91 b).

N. costalis, *N. neotropicalis*, *N. serripes*, *N. tineodes*, *nsp5*, *nsp6*, *nsp7*, *nsp8*, *nsp9*, *nsp10*, *nsp11*, *nsp12*, *nsp13*, *nsp14* y *nsp15* presentan los ojos insertados “altos” en la cabeza, en vista lateral claramente interrumpen el perfil de la cabeza dorsalmente; en las demás especies analizadas los ojos están insertados lateralmente y no interrumpen, o lo hacen levemente, el perfil de la cabeza en vista lateral.

7- Relación distancia interocelar/ancho de la cabeza: (0) mayor que $\frac{1}{4}$ del ancho de la cabeza; (1) menor que $\frac{1}{4}$ del ancho de la cabeza

La cabeza ancha y los ocelos situados relativamente cercanos entre si en las siguientes especies: *O. consuta*, *N. costalis*, *N. neotropicalis*, *N. tineodes*, *N. serripes*, *nsp5*, *nsp6*, *nsp7*, *nsp8*, *nsp9*, *nsp10*, *nsp11*, *nsp12*, *nsp13*, *nsp14* y *nsp15* da una

relación siempre menor que 0.25, mientras que en el resto de las especies analizadas esta relación arroja un valor mayor.

8- Ensanchamiento medio del collar: (0) ausente (Fig. 2 a); (1) presente (Figs. 26, 47).

N. procerula presenta un collar ensanchado en la parte media, carácter presente en las especies del género *Paromius* Fieber y en *P. linearis*. Este estado también está presente en *N. mumfordi*.

9- Punteado del lóbulo anterior del pronoto: (0) puntos grandes y profundos, como los del lóbulo posterior; (1) pequeños, a menudo inconspicuos, siempre menores que los del lóbulo posterior.

Un lóbulo anterior del pronoto con punteado fuerte y notorio es evidenciado por *N. mumfordi*, *C. lymphæ* y *Prytanes* sp., esto es considerado primitivo en el contexto de la tribu de acuerdo con Harrington (1980). El resto de las especies presenta el lóbulo anterior del pronoto con puntos suaves y poco notorios.

10- Mesoepímero: (0) encerrado (Fig. 29); (1) emergente (Fig. 14).

Cholula lymphæ, *Prytanes* sp, *F. multispinus*, *P. linearis*, *N. mumfordi*, *N. intermedia*, y *N. procerula* tienen el mesoepímero encerrado por el mesoepisterno y el metaepisterno; en el resto de las especies analizadas este es “emergente”, o no encerrado por los escleritos episternales.

11- Área evaporatoria: (0) extensa (Fig. 29); (1) reducida (Fig. 49).

Prytanes sp. y *N. mumfordi* presentan el área evaporatoria reducida a una pequeña porción de la metapleura rodeando la apertura de la glándula repugnatoria; el resto de las especies presentan una extensa área evaporatoria que abarca gran parte de la metapleura y la porción posterior de la mesopleura.

12- Espinas de las procoxas: (0) una espina en las procoxas en ambos sexos (a veces muy reducida); (1) dos espinas en los machos y una en las hembras.

La mayoría de los Myodochini presentan las procoxas con una espina, la que puede estar más desarrollada en los machos. Las especies: *N. albocincta*, *N. bilobata*, *N. hondurana* y *N. insularis* presentan dimorfismo sexual, en el que los machos ostentan dos espinas y las hembras solo una.

13- Espinas en los protrocánteres de los machos: (0) ausentes; (1) presentes

Los machos de las especies *N. albocincta*, *N. bilobata*, *N. hondurana* y *N. insularis* presentan una o dos pequeñas espinas sobre los protrocánteres; las demás especies analizadas tienen protrocánteres desprovistos de espinas.

14- Disposición de las espinas de los profémures: (0) formando 2 hileras completas; (1) con 2 hileras y con minúsculas espinas dispuestas entre estas 2 hileras; (2) con unas pocas espinas restringidas a la porción distal interna.

La mayoría de los Myodochini presentan 2 hileras de espinas sobre la cara ventral de los profémures, *nsp7* presenta pequeñas espinas dispuestas entre estas 2 hileras, en tanto que *N. mumfordi* posee las espinas restringidas al tercio distal interno.

15- Desarrollo de los profémures en relación con el sexo: (0) similar desarrollo en machos y hembras; (1) claramente más grandes y engrosados en los machos.

Las especies *H. coquilletti*, *N. albocincta*, *N. bilobata*, *N. hondurana* y *N. insularis* muestran un claro dimorfismo sexual en cuanto al tamaño de los profémures, siendo estos notablemente mayores en los machos. Esta condición no se evidencia en las restantes especies analizadas.

16- Espinas de las tibias anteriores de los machos: (0) ausentes; (1) con una hilera de espinas de similar tamaño; (2) con una hilera de espinas, de las que la espina proximal es de mayor tamaño que las demás.

La ausencia de espinas sobre las protibias de los machos es uno de los caracteres descritos por Harrington (1980) para caracterizar al género *Neopamera*; sin embargo algunas de las especies ubicadas hasta el presente análisis en este género presentan espinas en las tibias anteriores. *O. consuta*, *N. tineodes*, *N. serripes*, *nsp5*, *nsp6*, *nsp7*, *nsp8*, *nsp9*, *nsp10*, *nsp11*, *nsp13*, *nsp14* y *nsp15* presentan una hilera de espinas de similar tamaño sobre la cara interna de las protibias. Por otra parte *N. brachialis*, *nsp1* y *Prytanes* sp. también presentan espinas en las protibias, de las cuales la proximal, ubicada cerca de la parte media de la tibia, es más grande que las restantes.

17- Espinas sobre los mesofémures de los machos: (0) ausentes; (1) presentes.

Orthaea consuta, *N. tineodes*, *N. serripes*, *nsp5*, *nsp7*, *nsp8*, *nsp9*, *nsp10*, *nsp11*, *nsp13*, *nsp14* y *nsp15* presentan espinas sobre los mesofémures.

18- Hileras de puntos en el clavo: (0) con más de 3 hileras; (1) con 3 hileras. (Lám. F d-e)

Prytanes sp. y *N. mumfordi* tienen 3 hileras de puntos en el clavo. Las restantes especies evidencian 1 o 2 hileras más.

19- Margen corial externo: (0) liso en toda su longitud; (1) aserrado al menos en su mitad anterior (Fig. 96).

N. neotropicalis, *N. costalis*, *N. tineodes*, *N. serripes*, *nsp2*, *nsp5*, *nsp6*, *nsp7*, *nsp8*, *nsp9*, *nsp10*, *nsp11*, *nsp12*, *nsp13*, *nsp14* y *nsp15* presentan el margen corial externo aserrado, al menos en su mitad anterior; esto sugiere un *stridulitrum* y la existencia de un aparato estridulatorio; sin embargo no se hallaron en estas especies estructuras atribuibles a un *plectrum*.

20- Puntos del exocorio: (0) puntos poco notorios, generalmente a una distancia del margen corial en el tercio posterior de al menos el ancho de 4 puntos; (1) con puntos grandes, conspicuos, a una distancia del margen corial en el tercio posterior no mayor que el ancho de 3 puntos.

N. brachialis, *nsp1*, *nsp2*, *nsp3* y *nsp4* presentan puntos grandes, claramente delimitados y conspicuos sobre el exocorio, algunos de los cuales se encuentran cerca del margen corial externo, a una distancia no mayor que la suma del ancho de 3 puntos. El resto de las especies estudiadas poseen puntos menos notorios y alejados del margen corial por una distancia equivalente al ancho de al menos 4 puntos.

21- Estriación del esterno abdominal II: (0) presente; (1) ausente. (Lám. F f-g)

Los Udeocorini, considerados el grupo hermano de los Myodochini, presentan una estriación sobre la unión entre los esternitos abdominales II-III, la cual puede notarse también en las uniones entre los esternitos III-IV, y IV-V. *C. lymphæ*, *Prytanus* sp. y *N. mumfordi* presentan esta condición, la cual es considerada primitiva (Harrington, 1980).

Genitalia masculinos

22- Proyecciones en forma de lengüeta de los parámetros: (0) ausentes; (1) presentes (Fig. 38).

N. procerula presenta una delgada prolongación interna esclerotizada en la base de los parámetros; esta es característica de géneros como *Paromius* y *Pseudoparomius*, y posiblemente de otros géneros con el edeago tipo II de Harrington (1980).

23- Lóbulos de la conjuntiva: (0) ausentes (Fig. 124); (1) presentes, sin espinas (Fig. 39), (2) presentes, con varias espinas apicales (Fig. 128); (3) presentes, con una gran espina en el extremo (Fig. 136).

O. consuta presenta lóbulos desprovistos de espinas. *nsp10*, *nsp13* y *nsp14* presentan lóbulos con varias espinas apicales. *nsp12* presenta un par de lóbulos que terminan en una gran espina. Las restantes especies carecen de lóbulos en la conjuntiva.

24- Espinas en la conjuntiva: (0) ausentes (Figs. 108, 112); (1) con 2 grandes espinas (Fig. 39); (2) con más de 2 espinas (Figs. 128, 136, 140).

N. procerula y *P. linearis* presentan un edeago con 2 grandes espinas sobre la conjuntiva. *F. multispinus*, *N. costalis*, *N. serripes*, *nsp7*, *nsp10*, *nsp11*, *nsp12*, *nsp13* y *nsp14* poseen muchas espinas sobre la conjuntiva, a veces agrupadas en parches o en el extremo de los lóbulos. El resto de las especies no tienen espinas sobre la conjuntiva.

25- Escleritos de sujeción: (0) largos y delgados; (1) cortos y robustos (Figs. 20, 24); (2) reducidos y ubicados en la base de un par de lóbulos laterales (Fig. 72, 76); (3) ausentes (Fig. 39, 80, 115).

*C. lymph*a y *Prytan*es sp. presentan escleritos de sujeción largos y delgados. *H. coquilletti*, *N. albocinta*, *N. bilobata*, *N. hondurana*, *N. insularis* y *N. intermedia* tienen escleritos de sujeción cortos y robustos. En tanto que en *N. brachialis*, *N. neotropicalis*, *N. tineodes*, *nsp1*, *nsp2*, *nsp3*, *nsp4* y *nsp6* estos están reducidos. Las demás especies estudiadas no presentan escleritos de sujeción.

26- Espinas en la vejiga: (0) ausentes; (1) dispuestas sobre el par de lóbulos laterales (Fig. 112); (2) dispuestas en el extremo de un segundo par de lóbulos laterales formando una hilera (Fig. 80, 84).

H. coquilletti, *N. intermedia* y *nsp6* presentan pequeñas espinas, de irregular disposición, sobre el único par de lóbulos presente en la vejiga. *N. costalis* y *N. serripes* presentan 2 pares de lóbulos en la vejiga, y el par posterior con espinas alineadas en el extremo de cada lóbulo.

27- Proyecciones aserradas en la vejiga: (0) ausentes; (1) presentes (Fig. 39).

N. procerula y *P. linearis* presentan prolongaciones aserradas en la vejiga del edeago. Las demás especies carecen de estas proyecciones.

28- Desarrollo de las alas del reservorio eyaculatorio: (0) de diverso grado de desarrollo, pero nunca muy reducidas; (1) muy reducidas (Fig. 60).

N. brachialis y *nsp1* presentan las alas del reservorio eyaculatorio muy pequeñas.

29- Extremo de las alas del reservorio eyaculatorio replegado y apuntando hacia adelante: (0) ausente (Fig. 5 b); (1) presente (Fig. 94, 128).

Las alas del reservorio eyaculatorio se repliegan en su extremo y se dirigen hacia adelante en *N. costalis*, *N. neotropicalis*, *N. serripes*, *N. tineodes*, *nsp5*, *nsp6*, *nsp7*, *nsp8*, *nsp9*, *nsp10*, *nsp11*, *nsp13*, *nsp14* y *nsp15*.

30- Disposición de las alas del reservorio eyaculatorio: (0) laterales o levemente dirigidas hacia adelante; (1) dirigidas hacia atrás.

A diferencia del resto de las especies analizadas, *N. procerula* y *P. linearis* presentan alas anchas y dirigidas atrás, envolviendo lateralmente al cuerpo del reservorio eyaculatorio.

Resultados del análisis

Se obtuvieron 5 árboles con un *fit* (ajuste) de 246.3, un *fit* relativo de 69% y una longitud de 69; en la figura 1a se ilustra uno de esos árboles. Se calculó el consenso estricto (Fig.1b) que muestra los valores de Jackknife mayores que 50 %.

Dada la naturaleza polifilética del género *Neopamera*, el objetivo del presente análisis cladístico fue delimitar la correcta situación genérica de sus especies, por lo que las relaciones filogenéticas interespecíficas en cada género no están resueltas.

Sobre la base del análisis se define la monofilia del género *Neopamera* manteniendo a 4 especies en él: *N. albocincta*, *N. bilobata*, *N. hondurana* y *N. insularis*, y se crean 4 géneros nuevos: *Gen.A* para ubicar a *N. mumfordi*, *Gen.B* para *N. intermedia*, *Gen.C* para *N. brachialis* y 4 nuevas especies, y *Gen.D* para *N. neotropicalis*, *N. costalis*, *N. crassicornis*, *N. serripes*, *N. tineodes* y *N. tuberculata* y 11 nuevas especies. Por último, se asigna a *N. procerula* al género *Paromius*: *Paromius procerulus* Berg (nueva combinación). Para un análisis detallado de los caracteres ver la discusión de cada género.

Descripción y redesccripción de géneros y de especies

Neopamera Harrington 1980

Especie tipo.- *Pamera bilobata* Say 1831

Especies incluidas.-

Neopamera albocincta (Barber 1953)

N. bilobata (Say 1831)

N. hondurana (Bergroth 1914)

N. insularis (Barber 1925)

Incertae sedis

N. pagana (White 1879)

N. platana (Bergroth 1894)

N. recincta (Breddin 1901)

Redesccripción.- Cuerpo alargado, antenas y patas muy largas. Pruinoso. Cabeza levemente inclinada hacia adelante; con abundante pilosidad plateada, corta y decumbente hacia adelante, dorsalmente con pelos de mayor longitud, semierectos, esparcidos. Unión de las búculas en forma de “V” cerca de la inserción del labio. Yugo con un reborde desarrollado (excepto *N. hondurana*, que presenta un yugo redondeado, modificación posiblemente relacionada con su aspecto mirmecoide). Segmento antenal IV fusiforme. Pronoto: collar delimitado posteriormente por un surco; collar y lóbulo anterior con punteado suave; lóbulo posterior con puntos más fuertes. Márgenes laterales de ambos lóbulos redondeados. Clavo con más de 3 hileras de puntos. Margen corial liso. Mesoepímero emergente. Área evaporatoria extensa. Fémures engrosados y con 2 hileras de espinas sobre su cara interna, más robustos y con espinas mayores en los machos. Procoxas de los machos con 2 espinas, y hembras con solo 1. Protrocánteres de los machos con 1 o 2 pequeñas espinas, inermes en las hembras. Tibias anteriores de los machos inermes. Mesofémures inermes. Meso- y metatibias con pelos espiniformes. Margen anterior del esterno abdominal II no

estriado. Abdomen con abundante pilosidad plateada corta y decumbente, y con algunos pelos más largos ventralmente. *Genitalia* masculinos: Vejiga con escleritos de sujeción cortos y robustos; sin espinas. Conjuntiva sin espinas.

Discusión.- Al examinar las especies ubicadas en *Neopamera*, se pudo comprobar que la mayoría no estaban estrechamente relacionadas con la especie tipo del género, *N. bilobata*. Solo *N. albocinta*, *N. insularis*, *N. hondurana* y *N. vivida* son consideradas aquí cogenéricas con *bilobata*, y *N. vivida* se considera un sinónimo junior de *N. bilobata*. De esta manera el género *Neopamera* queda conformado por 4 especies, las que comparten los siguientes caracteres: machos con procoxas con 2 espinas, protrocánteres con 1 o 2 pequeñas espinas, y profémures generalmente muy robustos y con espinas grandes, en tanto que las hembras presentan solo una espina sobre las procoxas, protrocánteres inermes y fémures más delgados y con espinas de menor porte; las especies del género presentan un edeago con una vejiga sin espinas y con escleritos de sujeción cortos y robustos.

Sweet (1964), y posteriormente Rodríguez Sevilla (1998) describen el comportamiento de lucha entre 2 machos de *N. bilobata*: estos se enfrentan y cada macho se afirma sobre sus patas posteriores y se golpean repetidamente con sus patas anteriores. De acuerdo con Rodríguez Sevilla (1998) el comportamiento de lucha y el dimorfismo sexual sugiere que los fémures anteriores de *N. bilobata* pueden estar bajo selección sexual, y señala además que este comportamiento de lucha parece ser poco común.

De todo el material examinado (más de cien especies, distribuidas en alrededor de 30 géneros) sólo ejemplares colectados en Malasia y determinados como *Paraecosmetus* sp. presentan 2 espinas en las coxas anteriores de los machos, lo cual es considerado aquí como un paralelismo. Las especies de *Paraecosmetus* exhiben *genitalia* masculinos con prolongaciones aserradas en la vejiga y con 2 espinas fuertemente esclerotizadas en la conjuntiva (grupo II de Harrington).

Clave para la identificación de las especies de *Neopamera*

- 1- Pequeños, menores que 5 mm. Cabeza ancha, ojos ovales (Fig. 21 a-b). Mirmecomórficos, patrón de coloración del hemiélitro contrastante (Fig. 155).....*N. hondurana*
- 1'- De mayor tamaño, mayores que 5 mm. Ojos redondeados o levemente ovales (Fig. 2 a-b). No claramente mirmecomórficos. Coloración del hemiélitro no fuertemente contrastante (Figs. 151-154)2
- 2 – Con una banda clara sobre el cuarto segmento antenal. Metaepímero de similar coloración que el resto de la metapleura. Patrón de coloración del hemiélitro difuso (Fig. 153).....*N. albocincta*
- 2'- Cuarto segmento antenal de coloración uniforme. Metaepímero blanquecino, contrastando con el resto de las pleuras. Hemiélitro con patrón casi siempre definido (Figs. 151-152, 154).....3
- 3 – Coloración general castaña oscura; margen anterior de la apertura dorsal del pigóforo invaginado medialmente (Fig. 18 a) (Islas Galápagos) *N. insularis*
- 3'- Coloración general más clara; margen anterior de la apertura dorsal del pigóforo levemente cóncavo (Fig. 3 a) (Desde Estados Unidos hasta la Argentina).....*N. bilobata*

***Neopamera bilobata* (Say 1831)**

(Figs. 2-5, 151-152, mapa 1, 8)

Pamera bilobata Say, 1831: 334-335; Stål, 1865: 187 [= *Lygaeus (Plociomerus) servillei* Guérin-Ménéville], 1874: 150 [= *Plociomerus maculatus* Amyot & Serville, *Rhyparochromus (Plociomerus) ochroceras* Stål]; Uhler, 1876: 310, 1878: 388, 1886: 15, 1893b: 705, 1894a: 186, 1894b: 242; Berg, 1878: 232; 1884: 104; Distant, 1882: 207, 1893: 308-309 (= *Pamera dallasi* Distant); Johnson & Fox 1892: 60; Lethierry & Severin, 1894: 192; Van Duzee, 1907: 17, 1909a: 127; Banks, 1910: 66; Torre-Bueno, 1914: 91;

- Osborn & Drake, 1915: 537; Watson, 1919: 183; Campos, 1925: 59; Ogilvie, 1928: 18
- Plociomerus maculatus* Amyot & Serville, 1843: 255-256; Walker, 1872: 119
- Rhyparochromus lineatus*: Dallas, 1852: 575 (*non* Fabricius)
- Rhyparochromus scutellatus* Dallas, 1852: 575-576; Dohrn, 1959: 34; Walker, 1872: 90
- Lygaeus (Plociomerus) servillei* Guérin-Méneville, 1857: 399
- Rhyparochromus (Plociomerus) ochroceras* Stål, 1858: 39
- Rhyparochromus maculatus*: Dohrn, 1859: 34
- Rhyparochromus ochroceras* Stål, 1859: 245-246; Walker, 1872: 90
- Plociomerus bilobata*: Stål, 1862: 312
- Pachymera bilobata*: Rathvon, 1869: 549
- Rhyparochromus lineatus*: Walker, 1872: 89
- Plociomerus bilobatus*: Walker, 1872: 117
- Plociomerus ochroceras*: Walker, 1872: 118
- Plociomerus servillei*: Walker, 1873: 52
- Plociomerus bilobata*: Glover, 1876: 56, 58
- Pamera dallasi* Distant, 1882: 208; Uhler, 1886: 15; Osborn, 1904: 201; Osborn & Drake, 1915: 537; Herrera, 1917: 89
- Pamera vivida* Distant, 1882: 208; Lethierry & Severin, 1894: 194 [**n. syn.**]
- Pamera vincta*: Quaintance (*non* Say), 1897: 564-567
- Orthoea (sic) bilobata*: Kirkaldy, 1907: 121; Barber, 1923_a: 26-27; Torre-Bueno, 1946: 80-81
- Pamera bilobata scutellata* Van Duzee, 1909_b: 171
- Pamera lineata*: Banks (*non* Fabricius), 1910: 66
- Pamera servillei*: Barber, 1914_b: 514
- Orthaea bilobata*: Van Duzee, 1916: 22, 1917: 184; Pennington, 1921: 19; Barber, 1923_b: 12; Gowdey, 1926: 34; Blatchley, 1926: 402-403; McAtee, 1927: 276; Brooks *et al.*, 1929: 517; Watson, 1931: 87-88, 1939: 85; Gaines, 1933: 49; Wolcott, 1936: 168; Ballou, 1937: 521; Wilson, 1938: 28-29; Martorell & Salas, 1939: 236; Fife, 1939: 9; Glick, 1939: 23; Costa Lima, 1940: 106, 110; Watson & Tissot, 1942: 95-96; Wray & Brimley, 1943: 129;

- Froeschner, 1944: 662; Brooks & Kelsheimer, 1951: 28-29; Ruffinelli & Pirán 1959: 31; Quintanilla *et al.*, 1975-76: 121
- Orthaea dallasi*: Van Duzee, 1916: 22, 1917: 187; Blatchley, 1926: 398
- Orthaea servillei*: Gowdey, 1926: 34; Wolcott, 1936: 168
- Pachybrachius bilobatus*: Barber, 1939: 352-354; Beatty, 1944: 130; Wolcott, 1950: 205; Barber, 1953: 214-215, 1954_b: 337-338; Ashlock, 1957: 422; Gibson & Carrillo, 1959: 22; Sweet, 1960: 317; Slater, 1964: 1113; Froeschner 1981: 44; Fontes *et al.*, 1994:213
- Pachybrachius scutellatus*: Wolcott, 1941: 73, 1950: 205; Ramos, 1946: 27
- Orthoëa (sic) dallasi*: Torre-Bueno, 1946: 81
- Orthoëa (sic) servillei*: Torre-Bueno, 1946: 80
- Orthoëa (sic) bilobata*: Torre-Bueno, 1946: 81
- Orthaea biloba (sic)*: Hargreaves, 1948: 29
- Pachybrachius servillei*: Wolcott, 1950: 205
- Pachybrachius bilobatus scutellatus*: Barber, 1953: 215, 1954_a: 4, 1954_b: 338; Scudder, 1958: 146; Gibson & Carrillo, 1959: 22; Barber & Ashlock, 1960: 121; Slater, 1964: 1116
- Neopamera bilobata scutellata*: Ashlock & Slater, 1988: 232; Slater & O'Donnell, 1995: 151
- Neopamera vivida*: Harrington, 1980: 10
- Neopamera bilobata*: Harrington, 1980: 107; Ashlock & Slater, 1988: 231; Slater & Baranowsky, 1990: 148-153; Slater & O'Donnell, 1995: 150-151; Schuh & Slater, 1995: 29; Peña & Bennett, 1995: 331; Rodríguez Sevilla, 1996: 154-168, 1998: 837-840; Baranowski & Slater, 1998: 79, 87; Froeschner, 1999: 245; Slater & Brailovsky, 2000: 332; Costello *et al.* 2003: 305; Coscarón, 2003: 366; Melo *et al.*, 2004: 67
- Neopamera bilobata bilobata*: Ashlock & Slater, 1988: 231
- Neopamera bilobata lineata*: Slater & O'Donnell, 1995: 151

Redescripción.- (n=20) Longitud total: 5.06-6.77 (media 5.85). Cabeza castaña a castaña oscura, clipeo castaño con tonos rojizos en algunos ejemplares. Longitud de la cabeza: 0.78-1.17 (media 0.99). Longitud base de la antena-ápice del clipeo: 0.60-0.77 (media 0.69). Distancia postocular:

0.08-0.10 (media 0.09). Ancho de la cabeza: 1.03-1.18 (media 1.14). Tubérculos anteníferos paralelos. Ojos compuestos longitudinalmente ovales. Espacio interocular: 0.57-0.65 (media 0.60). Ocelos ubicados a la altura de una línea imaginaria que pasa por el límite posterior de los ojos compuestos (Fig. 2), más cerca del margen anterior del pronoto que de los ojos. Espacio interocelar: 0.27-0.33 (media 0.30). Rostro castaño a castaño claro, segmentos III y IV más oscuros en algunos ejemplares, ápice del segmento IV castaño oscuro; con pelos erectos cortos. Con el rostro en reposo el segmento IV se dispone sobre el mesoesternito. Proporción de la longitud de los segmentos del rostro: 1: 1.03: 0.72: 0.60. Antenas muy largas; segmentos I, II y III castaños claros, segmento IV castaño; con abundante pilosidad corta y decumbente, pilosidad más abundante sobre los segmentos III y IV. Proporción de la longitud de los segmentos de la antena: 1: 2.62: 2.27: 2.48.

Collar y lóbulo anterior del pronoto castaños; este último está más desarrollado en los machos (Fig. 2). La coloración del lóbulo posterior es variada, desde castaño con los márgenes laterales y los ángulos posterolaterales más oscuros, hasta la presencia de 4 bandas longitudinales castañas claras. Pronoto piloso, con pilosidad corta decumbente y con pelos largos erectos sobre el lóbulo anterior, en algunos ejemplares también sobre el posterior, aunque allí son de menor longitud. Margen posterior del lóbulo posterior cóncavo. Longitud del collar, lóbulo anterior y lóbulo posterior: 0.10-0.15 (media 0.12); 0.67-1.13 (media 0.86); 0.43-0.63 (media 0.53) respectivamente. Ancho del collar, lóbulo anterior y lóbulo posterior: 0.93-1.28 (media 1.11); 0.93-1.28 (media 1.11); 1.32-1.78 (media 1.59) respectivamente. Escutelo castaño a castaño oscuro, más claro hacia el ápice; punteado; con pilosidad corta decumbente y con pelos erectos largos como los del pronoto; carena con forma de Y, castaña oscura casi negra en algunos ejemplares. Hemiélitro con pilosidad corta y decumbente. Clavo con 3 hileras completas de puntos y una parcial sobre los 3/4 distales, entre la hilera media y la interna; castaño claro excepto el extremo anterior que es castaño oscuro, y el extremo posterior con 2 máculas castañas, las que pueden unirse y extenderse sobre todo el cuarto distal del clavo en algunos

ejemplares. Margen externo del corio levemente cóncavo. Corio castaño claro, con diseño castaño oscuro como sigue: con una amplia franja sobre la mitad distal que se continúa sobre el ápice del clavo, más ancha en la parte interna, en la cual encierra una mácula más clara, y que se comunica a través de una angosta franja adyacente a la membrana con el ápice del corio. En algunos ejemplares los tonos oscuros se extienden sobre una superficie mayor, pero el patrón antes descrito permanece distinguible. Membrana castaña de color no uniforme, generalmente con una mácula oval blanquecina sobre el margen posterior. Propleuras castañas, meso- y metapleuras castañas oscuras, áreas acetabulares blanquecinas, fuertemente contrastantes con la coloración oscura de las pleuras, más notorio en la metapleura; pilosidad escasa formada por pelos decumbentes cortos; proepímeron fuertemente punteado. Protrocánteres de los machos con 1 o 2 espinas pequeñas. Cara interna de las protibias con numerosos tubérculos muy pequeños sobre toda su longitud. Procoxas castañas con tonos rojizos, resto castaño; en algunos ejemplares los profémures y una franja distal sobre meso- y metafémures son más oscuros. Profémures con pilosidad semierecta; resto de las patas con pelos semierectos y decumbentes esparcidos, más abundantes sobre las tibias y tarsos.

Abdomen castaño a castaño oscuro, de color no uniforme. Longitud abdominal: 2.28-3.18 (media 2.89). Ancho abdominal: 1.00-1.57 (media 1.36). Pigóforo (Fig. 3): margen anterior de la abertura dorsal levemente cóncavo; proyecciones internas alargadas, más proyectadas atrás. En vista lateral: margen dorsal levemente inclinado hacia atrás; con 2 protuberancias basales posteriores. Parámeros (Fig. 4): espada larga, fuertemente curvada en el tercio superior; asta con una proyección interna con escasos pelos, y con un diente en la cara anterior; con una proyección externa con un pelo. Edeago (Fig. 5) con escleritos de sujeción robustos.

Distribución.- Argentina, Islas Bahamas, Isla Barbados, Belice, Isla Bermuda, Bolivia, Brasil, Guyana, Islas Caimán, Costa Rica, Cuba, Ecuador, El Salvador, Estados Unidos, Isla Grenada, Isla Guadeloupe, Guatemala, Guayana Francesa, Haití, Honduras, Jamaica, México, Isla Mona, Nicaragua,

Panamá, Paraguay, Perú, Puerto Rico, República Dominicana, Isla St. Vincent, Surinam, Trinidad y Tobago, Uruguay, Venezuela, Islas Vieques, Islas Vírgenes. **Primera cita.-** de Belice, Bolivia, El Salvador, Haití, Honduras, Paraguay, Perú, Surinam, Trinidad y Tobago.

Comentarios.- Si bien no he tenido acceso al tipo portanombre de la especie, el abundante material que he examinado, en muchos casos previamente determinado por especialistas en el grupo, y las numerosas descripciones y figuras que hay en la bibliografía, me permiten confiar en su correcta determinación. Esta especie tiene una amplia distribución geográfica (mapa 1) y los ejemplares exhiben diversidad en su coloración y tamaño corporal, inclusive entre aquellos colectados en una misma localidad; posiblemente este sea el motivo por el cual ha sido descrita con distintos nombres por varios autores (ver lista sinonímica). Se relevaron los caracteres de la morfología externa y se realizaron numerosas disecciones con el fin de estudiar los *genitalia* masculinos de ejemplares provenientes de distintos lugares, y no se hallaron diferencias significativas que permitan definir a más de una especie. Asimismo se examinó el material tipo de *Neopamera vivida* Distant, caracteres externos y de los *genitalia* masculinos, y se considera a *Neopamera vivida* Distant un sinónimo junior de *Neopamera bilobata* Say.

Material examinado

Material tipo.- Lectotipo ♂ (*Pamera vivida* Distant), San Gerónimo, Guatemala (designado por G. G. E. Scudder 1967: 284) (AMNH).

Otro material examinado.-

Argentina: FORMOSA.- 1 ♀, Formosa, 26°11'S 58°11'O, 2-XII-1952, L. E. Pena (SEM-UKANS); 1 ♀, Río Bermejo, e/ Zapallar y Roca, 19-X-1935, J. B. Daguerre (MACN); 1 ♀, Formosa, Guaycolec, II-1949, A. Martinez (MZUSP). MISIONES.- 1 ♂, 3 ♀♀, Pto Aguirre, 7-XI-1934, Hayward (MACN); 1 ♂, Pto. 17 de Octubre, X-1953 (MACN); 1 ♀, A. Uruguai km 30, Iguazú, 27°32'S 54°45'O, X-1954, R. N. Orfila (MACN); 1 ♂, Pto. Piray Km 18, IV/V-1951, A. Rivas (MACN). SALTA.- 2 ♂♂, 3 ♀♀, Santa María, Urundel, 23°55'S 64°42'O,

VII-1947, Gai & Soria (MACN), 3 ♂♂, 1 ♀, 21-III-1949, N. Kormilev (MACN), 3 ♀♀, 22-III-1949, N. Kormilev (MACN); 3 ♂♂, 1 ♀, Río Carapari, 30-III-1949, N. Kormilev (MACN); 2 ♂♂, 29-III-1949 (MACN); 2 ♂♂, 1 ♀, Toma Río Aguay, Vespucio, 26-IX-1953, Orfila (MACN); 9 ♂♂, Güemes, II-1945, A. Martínez (MLP). **Belice:** 8 ♂♂, 2 ♀♀, 17°21'N 88°43'O (CAS). STANN CREEK.- 1 ♀, Middlesex, 17°01'N 88°05'O, 29-VI-1964, E. C. Welling (NHMLAC). **Bolivia:** SANTA CRUZ.- 1 ♀, Nufla de Chavez, XI-1963, F. H. Waiz (SEM-UKANS). **Brasil:** 2 ♂♂, 6 ♀♀, 24-I-1957 (SEM-UKANS); 1 ♀, 18-VI-1957 (SEM-UKANS). AMAZONAS.- 1 ♀, Barcelos, 01°S 62°59'O, 18/22-II-1963, J. Bechyné (MZUSP); 1 ♀, Tapuruquara, Río Negro, 20/25-XI-1962, J. Bechyné (MZUSP). GOIAS.- 3 ♂♂, 7 ♀♀, Faz. Nova Orlandia, Jatai, I-1964, Martins, Morgante & Silva (MZUSP); 1 ♂, Aragarcas, XI-1965, Alvarenga (MZUSP). MARANHÃO.- 7 ♂♂, 5 ♀♀, Igarepé, Gurupi, 50 km E Canindé, 02°31'S 46°30'O, II-1966, B. Malkin (MZUSP), 1 ♂♂, 3 ♀♀, V-1963 (MZUSP). MATO GROSSO.- 1 ♀, Jacaré, Pq. Nac. Xingu, XI-1961, Alvarenga & Bokermann (MZUSP), 8 ♂♂, 8 ♀♀, XI-1965, M. Alvarenga (NHMLAC); 10 ♂♂, 9 ♀♀, Barra do Tapirapé, 21/31-XII-1965, B. Malkin (MZUSP). MINAS GERAIS.- 1 ♀, Ponte Nova, 20°03'S 46°08'O, 25-II-1962, J. Bechyné (MZUSP); 1 ♂, Mar de Espanha, 21°52'S 43°06'O, 1/2-III-1962, J. Bechyné (MZUSP). PARAIBA.- 1 ♀, Joazeirinho, Mun. Soledade, 06°48'N 38°03'O, 20-VIII-55, Paulino Lima (SEM-UKANS). PARA.- 1 ♂, 4 ♀♀, Baker (CAS); 1 ♀, Belém, 26-I-1969, C. W. & L. B. O'Brien, trampa de luz (SEM-UKANS); 1 ♂, Marituba, Belém, VIII-1964, E. Dente (MZUSP); 7 ♂♂, 1 ♀, Canindé, 02°34'S 46°31'O, Río Gurupi, 27-II-1966, B. Malkin (MZUSP), 4 ♂♂, 3 ♀♀, Canindé, Río Gurupi, XII-1964, B. Malkin (MZUSP), 1 ♂, Canindé, Río Gurupi, 27-II-1966, B. Malkin (MZUSP); 1 ♂, 1 ♀, Coraci, 15 km NO Canindé, Río Curupi, IV-1963, B. Malkin (MZUSP); 2 ♂♂, 4 ♀♀, Oriximá, 01°46'S 55°51'O, Río Trombetas, 11/15-I-1968, Exp. Perm. Amaz. (MZUSP); 4 ♀♀, Oriximá, 2/11-II-1967, Exp. Perm. Amaz. (MZUSP); 1 ♂, Faz. Taperinha, prox. Santarém, 1/11-IX-1968, Exp. Perm. Amaz. (MZUSP). PARANA.- 1 ♂, Bocainval, XII-1963, Plaumann (CNC). RIO DE JANEIRO.- 1 ♂, Rio de Janeiro, Guanabara, X-1962, M. Alvarenga (FEM). RORAIMA.- 6 ♂♂, 5 ♀♀, Surumu, IX-1966, M. Alvarenga & F. M. Oliveira (MZUSP). SÃO PAULO.- 1 ♂, São Paulo, 23°53'S 46°32'O, 13-IV-1967, A. N.

Alin (CNC); 1 ♂, 3 ♀♀, Piracicaba, 28-III-1965, W. E. & C. A. Triplehorn (OSUC), 1 ♂, 9-VIII-1964, W. E. & C. A. Triplehorn (OSUC), 1 ♀, 6-XII-1964, W. E. & C. A. Triplehorn (OSUC), 1 ♂, 22-I-1965, W. E. & C. A. Triplehorn (OSUC); 1 ♂, Barueri, 23°31'S 46°53'O, 12-VI-1966, K. Lenko (MZUSP); 1 ♀, Faz. Pau d'Alho, Itú, 23°16'S 47°19'O, 28/29-X-1965, Martins & Biasi (MZUSP). SANTA CATARINA.- 10 ♂♂, 8 ♀♀, Nova Teutonia, 27°03'S 52°24'O, 11-III-1958, F. Plaumann (SEM-UKANS). **Colombia:** CALDRAS.- 1 ♀, 05°24'N 75°10'O, 9-V-1914, J. R. de la Torre Bueno coll. (SEM-UKANS), 1 ♀, 14-V-1914, J. R. de la Torre Bueno coll. (SEM-UKANS), 1 ♀, 15-V-1914, J. R. de la Torre Bueno coll. (SEM-UKANS); CAUCA.- 2 ♀♀, La Cumbre, 01°54'N 76°57'O, 15-V-1914, J. R. de la Torre Bueno coll. (SEM-UKANS). **Costa Rica:** CARTAGO.- 3 ♂♂, 3 ♀♀, Turrialba, 09°54'N 83°41'O, 11-VII-1965, G. & K. Eickwort (SEM-UKANS), 1 ♀, 3-VII-1965, G. & K. Eickwort (SEM-UKANS). GUANACASTE.- 2 ♀♀, 3 mi. NO Liberia, 500', 12-VII-1974, O'Brien & Marshall (SEM-UKANS). PUNTARENAS.- 1(sin abdomen), 1 ♀, Península de Osa, 2,5 mi. SO Rincón, 08°42'N 83°29'O, 8/12-III-1967, OTS Adv. Zoo. Course (SEM-UKANS); 3 ♂♂, 4 ♀♀, 25 Km E. Palma Sur, 08°57'N 83°13'O, 21-VII-1964, C. D. Michener (SEM-UKANS); 1 ♀, Golfito, 10-VII-1957, Truxal & Menke (NHMLAC), 1 ♂, 15-VII-1957, A. Menke (NHMLAC), sin abdomen, 20-VII-1957, Truxal & Menke s/a (NHMLAC), 1 ♀, 24-VII-1957, Truxal & Menke (NHMLAC); 1 ♂, 2 ♀♀, Coto, Finca 47, 25-VII-1957, Arnold Menke (NHMLAC), 1 ♂, 3 ♀♀, 26-VII-1957, Arnold Menke (NHMLAC); 1 ♂, Rincón, Península de Osa, 08°07'N 83°48'O, III-1968, R. McDiarmid (NHMLAC); 1 ♀, cerca Villa Nelly, 5/11-VIII-1963, C. L. Hogue (NHMLAC). SAN JOSÉ.- 2 ♂♂, San Antonio de Escazú, 09°33'N 83°44'O, 14/8-III-1985, W. T. Waislo (SEM-UKANS), 1 ♂, 2 ♀♀, 25-III a 9-IV-1984, Sydney A. Cameron, trampa Malaise (SEM-UKANS); 1 ♂, 15 mi. O Alajuela, 10°01'N 84°21'O, 19-III-1985, W. Waislo (SEM-UKANS); 1 ♂, San Isidro de General, 09°23'N 83°42'O, 26-III-1964, F. S. Truxal (NHMLAC); 1 ♂, San José, 09°32'N 84°08'O, 13/16-VI-1968, C. L. Hogue (NHMLAC). **Cuba:** GRANMA.- 5 ♂♂, 2 ♀♀, Cayamas, 20°55'N 76°52'O, Baker (CUIC), 5 ♂♂, 5 ♀♀, Baker (CUIC). PINAR DEL RIO.- 10 ♂♂, 6 ♀♀, Anafe, 22°25'N 82°56'O, 10-XI-1946, Barro (SEM-UKANS). **Dominica:** 1 ♀, Springfield Est., 18-VI-1937, Chester Roys (SEM-UKANS). **El**

Salvador: 18 ♂♂, 13 ♀♀, 1 ninfa, 1 mi. S Los Planes, 22-VII-1956, J. R. Alcorn (SEM-UKANS). **Estados Unidos:** ARKANSAS.- 1 ♂, 1 ♀, Hope, 33°40'N 93°35'O, 11-VI-1954, J. W. Green, *Neopamera bilobata* (Say) det. J. E. O'Donnell 1997 (CUIC). FLORIDA.- 1 ♀, Hamingtone, 30-I-1923, Jenkins (SEM-UKANS); 1 ♂, 2 ♀♀, Pk. Key Largo, John Pennekamp St., 25°08'N 80°24'O, 20-VI-1965, C. W. O'Brien, trampa de luz (SEM-UKANS); 1 ♂, Seminole ST, Pk. Collier, 30°29'N 86°25'O, 22-VI-1965, C. W. O'Brien, trampa de luz (SEM-UKANS); 2 ♂♂, 3 ♀♀, Indian River Co., 3-XII-1970, C. W. & L. B. O'Brien (SEM-UKANS); 1 ♀, Bonita Beach Lee Co. Hwy. 865, 23-VI-1965, C. W. O'Brien (SEM-UKANS); 1 ♂, Highlands, Hammoch SP. Pk., 15-VI-1965, C. W. O'Brien (SEM-UKANS); 1 ♀, Collier, Seminole St. Pk., 26°13'N 80°09'O, 22-VI-1965, C. W. O'Brien, trampa de luz (SEM-UKANS); 1 ♀, Forest Grove, 29°44'N 82°32'O, Heidemann, luz eléctrica (CUIC); 2 ♀♀, Biscaine, 25°29'N 80°10'O, *Pachybrachius bilobatus* (Say) det. R. L. Hoffman (CUIC); 2 ♂♂, 2 ♀♀, Jacksonville, 30°19'N 81°19'O (CUIC), 1 ♂, Heidemann, *Pachybrachius bilobatus* (Say) det. R. L. Hoffman (CUIC); 1 ♂, 1 ♀, Florida (CUIC); 1 ♀, 1 sin abdomen, Ocala, 29°11'N 82°08'O, 8-XI-1938, *Orthaea bilobata* det. Barber (CUIC); 1 ♂, St. Petersburg, 27°47'N 82°38'O, 12-VIII-1910, J. C. Bradley (CUIC); 1 ♀, Florida, W. H. Ashmead, *Pachybrachius bilobatus* (Say) det. R. L. Hoffman (CUIC); 1 ♂, Dunedin, 28°01'N 82°47'O, 23-X-1930, W. S. Blatchey (CUIC); 1 ♂, 23-X-24 (CUIC); 1 ♀, Fort Myers, 26°38'N 81°51'O, 3/5-V-1908, E. P. VanDuzee coll. (CUIC); 3 ♀♀, Sandford, 26-IV-1908, E. P. VanDuzee coll. (CUIC); 1 ♂, 2 ♀♀, 7-Oaks, 1-V-1908, E. P. VanDuzee, VanDuzee coll. (CUIC); 1 ♂, 1 ♀, Crescent City, IV-1908, VanDuzee, VanDuzee coll. (CUIC); 1 ♂, Lake county, Leesburg, 28°48'N 81°52'O, 10-XII-1970, P. H. Arnaud Jr. (CUIC); 1 ♀, Highlands Co., Archbold Biol. Sta., 27°10'N 81°21'O, 13-X-1964, P. H. Arnaud Jr. (CUIC); 1 ♀, Key Largo, 5/6-XII-1961, Holland & Chillcott (CNC); 1 ♀, Clarabelle, 29°51'N 84°40'O, 22-V-1951, O. Bryant (CUIC). GEORGIA.- 1 ♂, C. U., 31°40'N 82°31'O (CUIC), 1 ♀, *Pachybrachius bilobatus* (Say) det. Hoffman (CUIC); 1 ♂, St. Simon Isl., 31°08'N 81°24'O, 23-IV/12-V-1911, J. C. Bradley (CUIC); 1 ♂, Thunderbolt, Savannah, 32°03'N 81°03'O, 21-IV-1911 (CUIC); 4 ninfas, Billy's Island, Okefenoke Swamp, VI-1912, *Pachybrachius bilobatus* Say det.

R. L. Hoffman (CUIC); 1 ♀, S. Simons Isl., 31°08'N 81°24'O (CUIC).
 LOUISIANA.- 1 ♀, Sabine R. Ferry, 31°29'N 93°27'O, 20-VI-1917 (CUIC).
 MARYLAND.- 1 ♂, Adenton, 39°04'N 76°42'O, 18-VII, N. Banks coll. (CUIC).
 MISSISSIPPI.- 1 ♂, Agricultural college, 12-IV-1915, Parshley, Parshley coll. (CUIC); 1 ♂, 1 ♀, Biloxi, III-1922, H. Osborn coll. (OSUC); 2 ♂♂, Gulfport, 30°22'N 89°05'O, 13-II-1922, H. Osborn coll. (OSUC), 1 ♀, 19-VIII-38, E. C. Diles, *Pachybrachius bilobatus* (Say) det. R. L. Hoffman (CUIC). MISSOURI.- 1 ♂, McDonald Co., Elk. River at Hwy. 59, 3 mi. N Noel., 36°35'N 94°28'O, 8-VIII-1967, Hugh B. Leech, *Neopamera bilobata* (Say) det. J. E. O'Donnell 1997 (CUIC). NORTH CAROLINA.- 1 ♂, 1 ♀, Ocean Isle Beach, Brunswick Co., 9-VII-1960, P. D. Ashlock (SEM-UKANS); 2 ♂♂, 1 ♀, Brunswick co., Shallote Point, 33°58'N 78°24'O, 11-VII-1960, P. D. Ashlock (SEM-UKANS); 1 ♀, Sneadsferry, Onslow Co., 34°33'N 77°24'O, 4-IX-1965, P. D. Ashlock (SEM-UKANS); 1 ♀, Southern Pines, 35°10'N 79°24'O, 22-IV-1915, A. H. Manee, Parshley coll. (CUIC), 3 ♂♂, 2 ♀♀, 22-II-1915, A. H. Manee, Parshley coll. (CUIC). SOUTH CAROLINA.- 1 ♀, Ridgeland, IX-1914, Parshley coll., *Pamera bilobata* det. Barber (CUIC). TEXAS.- 1 ♂, 3 ♀♀, Brazoria co., 8-XII-1928, R. H. Beamer (SEM-UKANS); 1 ♂, 3 ♀♀, Brownsville, 25°54'N 97°30'O, Van Duzee (SEM-UKANS), 1 ♂, 4 ♀♀, X-1942, H. S. Boss, *Neopamera bilobata* (Say) det J. E. O'Donnell 1997 (CUIC); 1 ♀, Giddings, 30°10'N 96°56'O, 9-V-1954, L. D. Beamer (SEM-UKANS); 1 ♂, Colorado Co., 32°23'N 100°51'O, 17-VI-1922, Mrs. Grace Wiley (SEM-UKANS); 2 ♂, 1 ♀, 3 ninfas, Plano, Collin Co., 33°11'N 96°49'O, 19-XI-1996, E. R. Hoebeke (CUIC); 5 ♂♂, 3 ♀♀, Texas, *Pachybrachius bilobata* det. R. L. Hoffman (CUIC). WASHINGTON D.C.- 1 ♀, Washington D. C., 38°54'N 77°01'O (CUIC). **Guatemala:**
 QUETZALTENANGO.- 1 ♂, Puente El Hato, El Progreso, 49,9 mi. NE de la ciudad de Guatemala, 14°55'N 89°54'O, 5-VIII-1966, U.K.M.E. (SEM-UKANS). RETALHULEU.- 1 ♂, Retalhuleu, 1,3 mi. E Champerico, 14°53'N 91°41'O, 17-VII-1966, U.K.M.E. (SEM-UKANS). ZACAPA.- 1 ♀, Los Amates, J.S. Hine (OSUC); 1 ♀, Gualan, 15°13'N 89°37'O, 13-II-1905, J. S. Hine (OSUC). **Guayana Francesa:** 1 ♂, 5 Km SO Kourou, 05°14'N 52°40'O, 20-II-1977, M. Winston & C. Michener (SEM-UKANS); 5 ♂♂, 3 ♀♀, Isla Royal, Islas Du Salut, 05°51'N 53°34'O, 29-VII-1977, C. D. Michener & T. Kubuk (SEM-

UKANS). **Guyana:** 1 ♀, Bartica, 05°47'N 57°38'O, 14-VI-1901, H. S. Parish, H. Osborn coll. (OSUC). **Haiti:** 1 ♀, 19°14'N 72°46'O (CUIC). **Honduras:** COMAYAGUA.- 1 ♂, 2 km E Siguatepeque, 14°36'N 87°50'O, 19-VII-1977, C. W. & L. B. O'Brien & Marshall (SEM-UKANS). FRANCISCO MORAZAN- 1 ♀, El Zamorano, 14°02'N 87°03'O, 4-VII-1965, P. H. Freitag & L. P. Gibson (OSUC). **Islas Bahamas:** 1 ♂, 1 ♀, Great Exuma-Simous Pt., 23°31'N 75°47'O, 27-II-1980, Stephen A. Teale (SEM-UKANS). **Islas Bermudas:** 1 ♀, Bermuda, 32°18'N 64°46'O, 5-VII-1940, Parshley coll. (CUIC), 1 ♂, V-1931, Mowbray, Davis coll. (CUIC); 1 ♂, 32°18'N 64°45'O, 7-VIII-1940, Creame Kelley, *Pachybrachius bilobata* det. Ashlock 1937 (SEM-UKANS); 1 ♀, St. George, 32°23'N 64°40'O, 2-VIII-1940, Creame Kelley (SEM-UKANS); 1 ♀, Kingston, I/IV-1906, Van Duzee, Van Duzee coll. (CUIC). **Islas Vírgenes:** 1 ♀, Charlotte Amalie, St. Thomas, 18°20'N 64°56'O, 11-VIII-1930, M. D. Leonard, *Orthaea bilobata* det. Barber (CUIC). **Jamaica:** 4 ♂♂, Discovery Bay, 18°46'N 77°40'O, 5-VII-1967, C. W. & L. B. O'Brien (SEM-UKANS); 2 ♀♀, 1 mi. O Discovery bay, 18°46'N 77°41'O, 5-VII-1967, C. W. & L. B. O'Brien (SEM-UKANS); 1 ♂, 1 ♀, Montego bay, 18°28'N 77°55'O, 4-VIII-1967, C. W. & L. B. O'Brien (SEM-UKANS); 1 ♂, Fort. Clarence, 7-XII-1975, W. & L. O'Brien & Marshall (SEM-UKANS); 2 ♂♂, 1 ♀, Baron Hill, 18°09'N 77°15'O, Lilly Perkins (SEM-UKANS); 1 ♂, Blue Mountains, 18°18'N 77°13'O, 22-III-1937, Chester Roys (SEM-UKANS); 1 ♂, St. Andrew Parish, Irish town, 738 m., 18°02'N 77°43'O, 2-VI-1985, C. Michener, *Neopamera bilobata* (Say) det. Ashlock 1987 (SEM-UKANS); 1 ♂, Claremont Beron, Hill Trelawny, 17°56'N 77°07'O, 24-XII-1928, L. G. Perkins, *Orthaea bilobata* det. H. G. Barber (SEM-UKANS); 1 ♀, Duncans, 18°47'N 77°53'O, 11-VIII-1966, Howden & Becker (CNC); 1 ♂, Boston Beach, 18°15'N 76°35'O, 9-VII-1966, E. C. Becker (CNC); 1 ♀, Hilton Head is., S. C., 12-VII-1965, A. T. Howden (CNC), 1 ♀, 17-VII-1965, A. T. Howden (CNC); 2 ♂♂, Orange Grove, 6 mi. E de St. Augustine (CNC); 1 ♀, Meramec. St. Pk., Mo, 30-VI-1968, L. A. Kelton (CNC). **México:** CHIAPAS.- 1 ♂, Gutierrez, 16°44'N 93°06'O, 22-VII-54, A. A. Alcorn (SEM-UKANS); 1 ♀, Tapalucha, 14°54'N 92°15'O, Crawford (CUIC); 1 ♂, Palenque, 17°31'N 91°58'O, 10-VIII-1969, L. A. Kelton (CNC); 1 ♂, 1 ♀, Rincón Chamula, 16°47'N 92°41'O, 7-VIII-1969, L. A. Kelton (CNC); 1 ♀, Puerto

Madero, 14°47'N 92°25'O, 6-VI-1969, H. J. Teskey (CNC). COLIMA.- 2 ♀♀, 3 mi. N de Manzanillo, 19°05'N 104°20'O, 23-VII-1956, R. E. Beer & Party (SEM-UKANS); 1 ♂, Manzanillo, 19°02'N 104°19'O, 21-VII-1956, R. E. Beer & Party (SEM-UKANS). GUANAJUATO.- 1 ♂, General Teran, Leon, 25°15'N 99°41'O, 10-VII-54 (SEM-UKANS). GUERRERO.- 2 ♂♂, 2 ♀♀, 1 sin abdomen, Acapulco, 16°51'N 99°54'O, 20-VIII-1938, L. J. Lipousky (SEM-UKANS), 1 ♂, 21-VIII-1936 (SEM-UKANS), 1 sin abdomen, *Pachybrachius bilobatus* Say det. Ashlock 1979 (SEM-UKANS); 1 ♀, 20 mi. O Acapulco, 16°57'N 100°11'O, 9-VIII-1962, N. Maratón (SEM-UKANS). HIDALGO.- 1 ♀, Epazoyucan, 8100', 20°02'N 98°38'O, 17-VI-1961, U.K.M.E., sobre flores de *Ipomoea* azul (SEM-UKANS). JALISCO.- 1 ♂, 15 mi. E de Guadalajara, 20°39'N 103°07'O, 9-XI-1938, L. J. Lipousky (SEM-UKANS); 1 ♀, 10 mi. E de Unión de Tula, 19°58'N 104°26'O, 16-XI-1938, L. J. Lipousky (SEM-UKANS); 2 ♂♂, Xilitla, 22-VII-54, U.K.M.E. (SEM-UKANS), 6 ♂♂, 8 ♀♀, 23-VII-54, U.K.M.E. (SEM-UKANS); 3 ♂♂, Puerto Vallarta, 20°36'N 105°14'O, 31-VII-1970, P. H. & M. Arnaud, *Neopamera bilobata* (Say) det. J. E. O'Donnell 1997 (CAS); 6 ♀♀, Guadalajara, 20°40'N 103°21'O, McConnell (CUIC). MAZATLÁN.- 1 ♀, Venadio, 27-VI-1918, J. A. Kusche (CUIC), 1 ♀, 5-VIII-1918, J. A. Kusche (CUIC). MICHOACÁN.- 1 ♂, 15 mi. O de Zitacuero, 19°24'N 102°10'O, 31-VIII-38, T. L. Lipousky (SEM-UKANS); 1 ♂, Real de Arriba, Temescaltepec, 8000 ft., 19°N 99°59'O, 9-VI-33, H. E. Hinton & R. L. Usinger (SEM-UKANS). MORELOS.- 1 ♀, Cuantla, 18°49'N 98°56'O, 28-VII-1938, L. J. Lipousky (SEM-UKANS); 1 ♂, 12 mi. E Cuernavaca, 4300 ft., 18°55'N 99°03'O, 14-VIII-1954 (SEM-UKANS); 1 ♀, Crawford (CUIC); 7 ♂♂, 5 ♀♀, Córdoba, Crawford (CUIC); 1 ♂, cerca de Cuernavaca, 18°55'N 99°13'O, Crawford, *Neopamera bilobata* (Say) det. J. E. O'Donnell 1997 (CUIC). NAYARIT.- 2 ♂♂, San Blas, 21°32'N 105°17'O, 18-VI-1955, B. Malkin (SEM-UKANS), 1 ♀, 19-XII-1963, C. W. & L. B. O'Brien (SEM-UKANS), 5 ♂♂, 2 ♀♀, San Blas Fort, 200', 18-XII-1963, C. W. & L. B. O'Brien (SEM-UKANS), 4 ♀♀, 24/26-IV-1961, Howden & Martin (CNC); 7 ♂♂, 4 ♀♀, 15 mi. N Tepic, 27-IV-1961, Howden & Martín (CNC). NUEVO LEÓN.- 1 ♂, Chipinque Mesa, cerca Monterrey, 25°40'N 100°19'O, 2-VII-1963 (CNC). OAXACA.- 1 ♂, Crawford (CAS); 1 ♂, 6 mi. NE de Juchitán, 16°25'N 94°57'O, 12-VII-1956, R. E. Beer

& Party, *Neopamera bilobata* (Say) Ashlock 1979 (SEM-UKANS); 1 ♂, E de Juchitán, 12-VII-1956, E. Beer & Party (SEM-UKANS); 1 ♀, 6 mi. SO de Cuetzalán (N. de Zacapoaxtla), 4100', 19-VI-1961, U.K.M.E. (SEM-UKANS); 1 ♂, 8 mi. O Tapaucopen, 400 ft., 10-XII-1958, U.K.M.E. (SEM-UKANS); 3 ♂♂, 1 ♀, El Tule, 29-VII-1969, L. A. Kelton (CNC). PUEBLA.-1 ♂, 3 mi. SO Cuetzalán, 4100', 19°59'N 97°31'O, 19-VI-1961, U.K.M.E. (SEM-UKANS); 2 ♂♂, 7 mi. N Izúcar de Matamoros, 450', 18°42'N 98°27'O, 19-VIII-1962, U.K.M.E. (SEM-UKANS). SAN LUIS POTOSÍ.- 20 ♂♂, 21 ♀♀, Huichihuayán, 21°29'N 98°57'O, 25-IX-1938, L. J. Lipovsky, *Neopamera bilobata* (Say) det. P. D. Ashlock 1986 (SEM-UKANS), 2 ♂♂, 1 ♀, 27-IX-1938, L. J. Lipovsky (SEM-UKANS), 1 ♂, 20-VIII-1938, L. J. Lipovsky (SEM-UKANS); 1 ♂, 4 ♀♀, El Salto, 22°09'N 100°59'O, 1600ft., 24-VIII-1954, U.K.M.E. (SEM-UKANS), 3 ♂♂, VI-9-1961, 1800', U.K.M.E. (SEM-UKANS), 1 ♂, 16-VI-1955, R. E. Beer & Party (SEM-UKANS), 1 ♂, 16-VIII-1956, R. E. Beer & Party (SEM-UKANS), 5 ♂♂, 1 ♀, 8-VI-1961, 1800', U.K.M.E. (SEM-UKANS), 1 ♀, 16-VI-1955, R. E. Beer & Party (SEM-UKANS); 1 ♂, Tamazunchala, 21°15'N 98°47'O, 22-VI-52, U.K.M.E. (SEM-UKANS), 2 ♀♀, 22-XII-1970, P. H. & M. Arnaud, *Neopamera bilobata* (Say) det. J. E. O'Donnell 1997 (CAS); 1 ♂, 25 mi. E Ciudad del Maíz, 2800 ft., 22°25'N 99°36'O, 23-VIII-54 (SEM-UKANS); 2 ♂♂, 1 ♀, El Bonito, 7 mi. S de Ciudad Valles, 300', 21°53'N 99°O, 20-XII-1970, P. H. & M. Arnaud, *Neopamera bilobata* (Say) det. J. E. O'Donnell 1997 (CAS), 1 ♂, 19-XII-1970, P. H. & M. Arnaud (CUIC). SINALOA.- 1 ♂, 8 mi. S Escuinapa, 100', 22°43'N 105°47'O, 18-XII-1963, C. W. & L. B. O'Brien (SEM-UKANS); 3 ♂♂, 1 ♀, Mazatlan, 9-V-1961, Howden & Martin (CNC), 1 ♀, R. I. Hamton (NHMLAC); 1 ♀, Culiacán, 22-X-1960, R. L. Westcott (NHMLAC). SONORA.- 1 ♀, Guirocoba, 11-XI-1933 (NHMLAC), 1 ♂, 30-VIII-1933 (NHMLAC). TABASCO.- 1 ♂, Villahermosa, 17°59'N 92°55'O, 8-VIII-1969, L. A. Kelton (CNC); 1 ♀, frontera Tab., 23-VI-1969, Bright & Campbell (CNC). TAMAULIPAS.- 5 ♂♂, 1 ♀, San José, 24°38'N 98°42'O, IV-1910, J. R. de la Torre Bueno coll. (SEM-UKANS); 1 ♂, 6,2 mi. S San Fernando, 24°45'N 98°09'O, 8-VI-1966, U.K.M.E. (SEM-UKANS); 1 ♂, 1 ♀, Güemes, 15 mi. N Ciudad Victoria, 23°58'N 99°10'O, 6-VI-1961, U.K.M.E. (SEM-UKANS); 1 ♀, San Fernandeno, 700 ft., 25°31'N 98°13'O, 27-VIII-1954, C. D. Michener &

Party (SEM-UKANS); 9 ♂♂, 8 ♀♀, Jalapa, Crawford (CUIC). VERACRUZ.- 1 ♂, Crawford (CUIC); 1 ♂, 22 mi. SE Jalapa, 1100 ft., 19°32'N 96°54'O, 29-VI-53, U.K.M.E. (SEM-UKANS); 3 ♂♂, 1 ♀, Tecolutla, 20°29'N 97°O, 19-VI-51, P. H. Hurd (SEM-UKANS); 1 ♂, 3 ♀♀, 1,5 mi. N Tecolutla, 15 ft., 20°29'N 97°01'O, 12-VI-1961, U.K.M.E. (SEM-UKANS); 1 ♂, Cotaxtla, 18°50'N 96°23'O, 28-VI-1962, D. H. Janzen, trampa de luz negra de 15 watts (SEM-UKANS), 1 ♂, VII-1959, N. L. H. Krauss (SEM-UKANS); 2 ♀♀, Fortin de Las Flores, 18°54'N 96°59'O, 24-XII-1963, C. W. & L. B. O'Brien (SEM-UKANS); 1 ♀, Tuxtla, 17 mi. NO San Andrés, 900 ft., 17°48'N 95°1'O, 29-VI-1961, U.K.M.E. (SEM-UKANS); 1 ♂, 1 mi. O Anton Lizardo, 19°03'N 95°58'O, 23-VII-1963, M. G. Naumann (SEM-UKANS); 1 ♀, 4 mi. SO Panuco, 22°N 98°13'O, 9-VI-1961, U.K.M.E. (SEM-UKANS); 1 ♂, 1 ♀, Boca del Rio, 19°07'N 96°07'O, 23-VI-1961, sobre flores de *Eupatorium* (SEM-UKANS); 1 ♂, "Dunas Costadas", 3 Km E Jct. Hwys, 2-I-1982, E. M. May (SEM-UKANS); 3 ♂♂, 2 ♀♀, Santecomapan, 10-IV-1969, J. E. H. Martin (CNC); 1 ♀, Exp. Station, Cotaxtla, 24-VI-1958, Howden (CNC); 1 ♀, cerca Tinajas, 15-VIII-1962, H. E. Milliron (CNC); 1 ♀, 7 mi. E de Tlapacoyán, 17-VIII-1958, H. Howden (CNC); 1 ♀, Catemaco, 18°25'N 95°07'O, 1-V-1969, H. J. Teakey (CNC), 1 ♂, Lago Catemaco, Catemaco, 27-VI-1965, P. H. Freitag & L. P. Gibson (OSUC). 4 ♀, Orzaba, Crawford (CAS); 1 ♂, 5 mi. S Monterrey, 14-VII-1963 (CNC), 1 ♂, 16-VII-1963 (CNC), 2 ♀♀, 19-VII-1963 (CNC), 5 ♂♂, 1 ♀, 22-VII-1963 (CNC), 1 ♀, 24-VII-1963 (CNC). **Montserrat (Reino Unido):** 2 ♂♂, 1 ♀, 1 ninfa, 23.3 WI (CAS); 1 ♂, Plymouth, 16°42'N 62°13'O, VI-1972, N. L. H. Strauss, *Pachybrachius bilobatus scutellatus* (Dallas) det. S. W. Hamilton 1977 (SEM-UKANS). **Nicaragua:** CHONTALES.- 1 ♂, Quinama, 10°N 84°56'O, 14/15-VI-1963, L. J. Bottimer (CNC). **Panamá:** PANAMÁ.- 1 ♀, isla Barro Colorado, zona del Canal, 09°09'N 79°49'O, 21-II-1956, C. W. & M. E. Rettenmeyer (SEM-UKANS); 1 ♂, lago Cerro Azul (Goofy Lake), 21-III-1973, D. Englemann (SEM-UKANS); 1 ♂, 5 km N Curundú, 09°01'N 79°33'O, 31-III-1981, R. W. Brooks (SEM-UKANS); 1 ♀, cerro Campana, 800 m, 8-V-1973, P. D. Ashlock (SEM-UKANS); 2 ♂, Altos de Majé, 08°40'N 78°35'O, 6/15-X-1975, D. S. Chandler (OSUC). COLÓN.- 1 ♂, Gatun, zona del canal, III-1930, plantación Tres Rios, Zschokke (CUIC); 1 ♂, zona del canal, 3 mi. NO Gamboa, 09°09'N

79°43' O, 21-IX-1967, Stockwell (CNC); 2 ♂♂, Porto Bello, 09°33' N 79°39' O, 04-II-1930, plantación xx, T. O. Zschokke (CUIC), 5 ♂♂, 1 ♀, II-15-1930, T. O. Zschokke (CUIC), 1 ♂, II-19-1930, T. O. Zschokke (CUIC); 1 ♂, Cristóbal, zona del canal, 09°21' N 79°54' O, 1-II-1930, Zschokke (CUIC). **Paraguay:** 1 ♂, 1 ♀, Independencia, XII-1950, L. E. Pena, *Pamera bilobata* det. Ashlock 1979 (SEM-UKANS). **Perú:** 1 ♀, 17-X-1937, E. G. Smyth, J. R. de la Torre Bueno coll. (SEM-UKANS). **República Dominicana:** 1 ♂, 14 Km E Stgo. Rodríguez, 27-V-1978, C. W. & L. O'Brien & Marshall (SEM-UKANS); 1 ♂, La Vega, 10 Km SE Jarabacoa, 19°06' N 70°38' O, 25-V-1978, C. W. & L. O'Brien & Marshall (SEM-UKANS); 1 ♂, 1 ♀, Santo Domingo, 18°46' N 69° O, 10-V-1937, Chester Roys, *Orthaea bilobata* det. Barber (SEM-UKANS). **Surinam:** BROKOPONDO.- 4 ♂♂, 2 ♀♀, Afobaka, 04°59' N 54°59' O, 29-VI-1969, C. W. & L. B. O'Brien (SEM-UKANS). **Trinidad y Tobago:** 11 ♂♂, 10 ♀♀, B. W. I. Salybia, 10°42' N 61°01' O, 31-XII-1971, C. D. Michener (SEM-UKANS); 1 ♂, 2 ♀♀, 7 km SO Maracas bay, 10°45' N 61°26' O, 2-II-1969, C. W. & L. B. O'Brien (SEM-UKANS); 1 ♂, 8 ♀♀, Trinidad, Chipman, E. P. Van Duzee coll. (CUIC); 4 ♂♂, 2 ♀♀, P. T. Antonio, I/IV-1906, Van Duzee, Van Duzee coll. (CUIC); 1 ♂, 1 ♀, Trinidad, Caroni Est., 2-III-1961, N. Gopaul (CNC); 1 ♀, Trinidad, M. T. Lambert, 15-II-1961, N. Gopaul (CNC). **Venezuela:** ARAGUA.- 2 ♀♀, Cagua, 28-VI-1961, Bordón (OSUC).

Neopamera albocincta (Barber 1953)

(Figs. 6-9, 153, mapa 1, 8)

Plociomera servillei: Stål, 1862: 312 (*non* Guérin)

Orthaea servillei: Van Duzee, 1916: 22, 1917: 184; Blatchley, 1926: 403; Brimley, 1938: 68; Glick, 1939: 24; Rainwater, 1941: 7; Wray & Brimley, 1943: 129; Froeschner, 1944: 662 (*non* Guérin)

Orthoeca (sic) servillei: Torre-Bueno, 1931: 135, 1946: 80 (*non* Guérin)

Pachybrachius servillei: Barber, 1939: 352, 354; Slater, 1952: 534 (*non* Guérin)

Pachybrachius albocinctus Barber, 1953: 216-218, 1954_b: 338; Scudder, 1958: 146; Slater, 1964: 1110

Neopamera albocincta: Harrington, 1980: 107; Ashlock & Slater, 1988: 231; Slater & Baranowsky, 1990: 144-148; Slater & O'Donnell, 1995: 151; Baranowski & Slater, 1998: 79, 87; Froeschner, 1999: 245; Slater & Brailovsky, 2000: 332; Coscarón, 2003: 366

Pachybrachius albocinctus: Froeschner, 1981: 43

Redescripción.- (n= 20) Longitud total: 5.06-6.14 (media 5.55). Cabeza castaña a castaña oscura. Longitud de la cabeza: 0.92-1.10 (media 1.02). Longitud base de la antena-ápice del clipeo: 0.62-0.73 (media 0.65). Distancia postocular: 0.09-0.13 (media 0.11). Ancho de la cabeza: 0.97-1.10 (media 1.04). Tubérculos anteníferos paralelos. Ojos compuestos redondeados. Espacio interocular: 0.50-0.68 (media 0.57). Ocelos ubicados por detrás de una línea imaginaria que pasa por el límite posterior de los ojos compuestos (Fig. 6), más cerca del margen anterior del pronoto que de los ojos. Espacio interocelar: 0.22-0.42 (media 0.29). Rostro castaño claro, ápice del segmento IV castaño oscuro; con pelos erectos cortos. Con el rostro en reposo el segmento IV se dispone sobre el mesoesternito. Proporción de la longitud de los segmentos del rostro: 1: 0.98: 0.75: 0.59. Antenas muy largas; segmentos I, II, y $\frac{3}{4}$ basales del III castaño claro, ápice del segmento III y el segmento IV castaño, este presenta una banda basal color de crema de $\frac{1}{3}$ de la longitud del segmento; con abundante pilosidad corta y decumbente, más abundante sobre los segmentos III y IV. Proporción de la longitud de los segmentos de la antena: 1: 2.16: 1.82: 2.30.

Lóbulo anterior del pronoto generalmente más desarrollado en los machos (Fig. 6). Pronoto castaño a castaño oscuro; lóbulo posterior con los ángulos posterolaterales con una mácula amarillenta rodeada por una zona más oscura que el resto del lóbulo. Piloso, con pilosidad corta decumbente y con pelos largos erectos sobre el lóbulo anterior y posterior, de menor longitud sobre este último. Longitud del collar, lóbulo anterior y lóbulo posterior: 0.10-0.15 (media 0.12); 0.65-0.92 (media 0.78); 0.42-0.58 (media 0.51) respectivamente. Ancho del collar, lóbulo anterior y lóbulo posterior: 0.82-0.99 (media 0.89); 0.98-1.22 (media 1.07); 1.42-1.67 (media 1.54) respectivamente. Escutelo castaño a castaño oscuro, más claro hacia el

ápice; punteado; con pilosidad decumbente corta y con pelos erectos tan largos como los del lóbulo anterior del pronoto. Hemiélitro con pilosidad corta y decumbente. Clavo con 3 hileras completas de puntos y una parcial sobre los 3/4 distales, entre la hilera media y la interna, algunos ejemplares presentan escasos puntos adicionales sobre la mitad distal, que esbozan una 5ª hilera; castaño claro, generalmente más oscuro hacia el ápice. Margen externo del corio levemente cóncavo. Corio castaño claro, con una amplia franja sobre la mitad distal, que encierra internamente una mácula oval más clara; en algunos ejemplares la franja es difusa y solo son conspicuos un par de manchas sobre los márgenes coriales externo e interno. Ápice corial castaño oscuro. Membrana castaña, de color no uniforme. Pleuras castañas, áreas acetabulares más claras; punteadas; pilosidad formada por pelos decumbentes cortos. Protrocánteres de los machos con una espina pequeña. Cara interna de las protibias con numerosos tubérculos muy pequeños sobre toda su longitud; además de estos los machos presentan un tubérculo con un pelo espiniforme sobre el ápice. Procoxas, mitad a 2/3 distales de los profémures, franja distal sobre meso- y metafémures, y ápice de las tibias castaños, resto castaño claro. Profémures con pilosidad semierecta y erecta, resto de las patas con pelos cortos, decumbentes, esparcidos, más abundantes sobre las tibias y tarsos.

Abdomen castaño de color no homogéneo. Longitud abdominal: 2.33-3.00 (media 2.71). Ancho abdominal: 1.17-1.68 (media 1.46). Pigóforo (Fig. 7): margen anterior de la abertura dorsal recto; proyecciones internas largas, más proyectadas atrás. En vista lateral: margen dorsal levemente inclinado hacia atrás; con 2 protuberancias basales posteriores. Parámetros (Fig. 8): espada larga, fuertemente curvada en la mitad de su longitud; asta con una proyección interna con varios pelos, y con una proyección externa con 2 pelos. Edeago (Fig. 9) con escleritos de sujeción robustos, que terminan dentro de 2 pequeños lóbulos de la vejiga.

Distribución.- Argentina, Belice, Bolivia, Brasil, Canadá, Costa Rica, Cuba, Islas Caimán, Ecuador, Estados Unidos, Isla Grenada, Guatemala, Haití, Honduras, Jamaica, México, Panamá, Perú, Puerto Rico, República

Dominicana, Trinidad y Tobago. **Primera cita.-** de la Argentina, Belice, Bolivia, Canadá, Costa Rica, Perú.

Comentarios.- *Neopamera albocincta* puede ser fácilmente distinguida de las demás especies del género por la franja clara presente sobre el cuarto segmento antenal.

Material examinado

Material tipo.- Paratipos: Estados Unidos: FLORIDA.- 1 ♀, Deerfield, 26-VII-1948, B. T. McDermott (NMNH); 1 ♀, Royal Palm. Pk., 25-VII-1948, E. L. Todd (NMNH). LOUISIANA.- 1 ♀, New Orleans, 22-V-1940 (NMNH), 1 ♂, 19-IX-1936 (NMNH). TEXAS.- 1 ♀, Bronwsville, 6-IV-1936 (NMNH); **Cuba:** 1 ♀, La, 9-IX-36, Cuba in grape...? (NMNH). **Ecuador:** GUAYAS.- 2 ♀♀, Guayaquil, 1940, C. L. Fayan (NMNH). **México:** 1 ♂, 8-22-1935 (NMNH). **Trinidad y Tobago:** 1 ♂, Trinidad, 25-VII-1936 (NMNH); 1 ♂, Trinidad, 21-VI-1948, Vanda Orchildleaf (NMNH); 1 ♂, Rio Pan, 5-VI-1912, A. Busck (NMNH).

Otro material examinado.-

Argentina: BUENOS AIRES.- 1 ♂, La Plata, 34°58'S 57°53'O, XI-2001, P. Dellapé (MLP), 1 ♂, 27-II-2002, C. Melo (MLP). CHACO.- 1 ♂, Resistencia, XI-1952, D. L. Carpintero (CDC); 5 ♂♂, 1 ♀, Río de Oro, XI-1961, Apóstol y Tonina (MACN). CORRIENTES.- 7 ♂♂, 3 ♀♀, Pellegrini, 28°32'S 57°10'O, 7-XII-2001, Exp. Iberá, trampa de Luz (MLP), 1 ♂, 6-XII-2001, Exp. Iberá, trampa de luz (MLP); 1 ♀, 15 km S Chavarría, 28°95'S 58°58'O, XII-2001, Exp. Iberá (MLP); 1 ♀, Paso de La Patria, 20 -I-1972, D. J. Brothers, at light (SEM-UKANS); 1 ♂, 1 ♀, Manantiales, colonia Inés, Apóstol, 1960 (MACN). FORMOSA.- 1 ♀, 2-XII-1954, M. Birabén (MLP). **Belize:** 1 ♂ (CAS). **Bolivia:** SANTA CRUZ.- 1 ♂, 1 s/a, Saavedra, Exp. Sta., 3-II-1960, R. Cumming (OSUC). **Brasil:** PARA.- 6 ♂♂, 6 ♀♀, Faz. Taperinha, prox. Santarém, 29-XII-1967/9-I-1968, Exp. Perm. Amaz. (MZUSP); 2 ♀♀, Santarém, 27/28-XII-1967, Exp. Perm. Amaz. (MZUSP), 1 ♂, 1/11-II-1967, Exp. Perm. Amaz. (MZUSP). SÃO PAULO.- 1 ♂, Piracicaba, 8-III-1965, W. & C. A. Triplehorn (OSUC). **Canadá:** ONTARIO.- 1 ♀, Virginia Giles Co., Pembroke, 1700 ft., 45°82'N 77°12'O, 4-VIII-1982, George W. Byers, trampa de luz (SEM-

UKANS); 2 ♀♀, Glen Echo, 6-9 Mol., *Orthaea servillei* det. Barber (CUIC).

Islas Caimán: 1 ♀, 19°30'N 81°38'O, 8-VIII-1938, G. B. Lewis & G. H. Thompson, trampa de luz, *Pachybrachius bilobatus* (Say) det. G. G. E. Scudder 1957 (NHM). **Costa Rica:** PUNTARENAS.- 1 ♂, Golfito, 08°39'N 83°09'S, 15-VI-1957, Truxal & Menke (NHMLAC). SAN JOSÉ.- 3 ♂♂, 5 ♀♀, San Antonio de Escazu, 25-III a 9-IV 1984, Sydney A. Cameron, trampa Malaise (SEM-UKANS). **Cuba:** GRANMA.- 2 ♂♂, Cayamas, 22°33'N 76°53'O, Baker (CAS). **Ecuador:** GUAYAS.- 1 ♂, 1 ♀, Guayaquil, 2-III-1964, P. D. Ashlock, trampa de luz (SEM-UKANS). **Estados Unidos:** ALABAMA.- 2 ♂♂, Wilson Dam., Colb. Co., 25-VII-1953, R. X. Schick (NHMLAC). ARKANSAS.- 1 ♂, Hope, 33°40'N 93°35'O, 11-VI-1954, J. W. Green, *Neopamera bilobata* (Say) det. J. E. O'Donnell 1997 (CAS). CONNECTICUT.- 4 ♀♀, Storrs, 41°49'N 72°15'O, 22-IX-1955, P. D. Ashlock (SEM-UKANS), 1 ♂, 18-IX-1955, H. Husllbolt (SEM-UKANS). DELAWARE.- 1 ♀, Norwark, 23-VII-1851, C. A. Triplehorn (OSUC). FLORIDA.- 1 ♀, Sandford, 28°47'N 81°16'O, 6-VII-39, C. O. Bare, *Neopamera albicincta* (Barber) det. P. D. Ashlock (SEM-UKANS), 1 ♂, 15-VII-1953, E. S. Ross, *Neopamera albocincta* (Barber) det. J. E. O'Donnell 1997 (CAS); 1 ♀, Collier, Seminole ST, 30°29'N 86°25'O, 22-VI-1965, C. W. O'Brien, trampa de luz negra (SEM-UKANS), 1 ♀, 12-IV-1965, G. C. Eickwort (SEM-UKANS); 1 ♀, Dade City, Homestead, 25°28'N 80°29'O, 20-VII-1948, R. T. McDermott (SEM-UKANS), 1 ♂, 12-VI-97, R. M. Baranowsky, *Neopamera bilobata* det. J. Brambilia 1998 (NHM); 1 ♂, Indian River County, 28°34'N 80°46'O, 9-IX-1974, J. H. Frank, Pres. I. Lansbury, trampa de luz U. V. (NHM); 1 ♀, 2 mi. N Wacissa, Jefferson Co., 11-V-1976, G. B. Marshall, luz U.V., *Neopamera albocincta* (Barber) det. J. E. O'Donnell 1997 (CAS); 1 ♀, Archbold Biol. Sta., Highlands Co., 27°10'N 81°21'O, 13-X-1964, P. H. Arnaud Jr. (CAS), 1 ♀, 8-X-1964, P. H. Arnaud Jr. (CAS), 1 ♂, 4 ♀♀, 12-X-1964, P. H. Arnaud Jr. (CAS), 10 ♂♂, 13 ♀♀, 17-XI-1958, S. W. Frost (FEM), 2 ♀♀, 12-XI-1958, S. W. Frost (FEM), 1 ♂, 7-IV-1962, S. W. Frost (FEM), 1 ♀, 3-IV-1962, S. W. Frost (FEM), 2 ♀♀, 6-IV-1962, S. W. Frost (FEM), 1 ♀, 17-III-1962, S. W. Frost (FEM); 2 ♀♀, Clewiston, 6-II-1944, H. Wright, *Orthaea servillei* Guérin det. J. C. Lutz (OSUC); 2 ♂♂, Crescent City, IV-1908, Van Duzee (CAS). GEORGIA.- 1 ♂, Clayton, 6-II-1940, Van Duzee coll. (CAS); 1 ♂,

Atlanta, V-1899, Van Duzee (CAS). INDIANA.- 3 ♂♂, 2 ♀♀, La Porte, 41°36'N 86°43'O, *Pachybrachius servillei* Guérin det. R. L. Hoffman (CUIC).

LOUISIANA.- 1 ♀, E. Baton Rouge Par., LSU Campus, 30°25'N 91°05'O, 17-V-1984, D. A. Rider, trampa de luz, *Neopamera albicincta* (Barber) det. P. D. Ashlock 1986 (SEM-UKANS). MARYLAND.- 1 ♂, Bladensburg, 38°56'N 76°55'O, *Orthaea servillei* det. Barber (CUIC); 1 ♂, MarshHall, *Orthaea servillei* det. Barber (CUIC); 1 ♀, Great Falls, Montgomery Co., 2-VIII-1963, D. C. & K. A. Rentz, *Neopamera bilobata* (Say) det. O'Donnell 1997 (CAS).

NORTH CAROLINA.- 1 ♂, Southern Pines, H. A. Maneo, 6-V-1910, Parshley (CAS). TEXAS.- 2 ♀♀, Brownsville, 25°54'N 97°30'O, Junio (SEM-UKANS), 1 ♂, X-1942, E. S. Boss, *Neopamera albocincta* (Barber) det. J. E. O'Donnell 1997 (CAS); 1 ♂, Devils Riv., 29°50'N 101°01'O, 16-VI-32, J. O. Martin (CAS). VIRGINIA.- 1 ♂, St. Elmo, 6-VI-1902, F. C. Pratt, *Orthaea servillei* det. Barber (CUIC). WASHINGTON D.C.- 1 ♂, 38°54'N 77°01'O, 28-VI-1959, P.D. Ashlock, a la luz (SEM-UKANS); 2 ♀♀, D. C., *Orthaea servillei* det. R. L. Hoffman (CUIC); 1 ♀, Rock Creek Cemetery, 38°57'N 77°02'O, 15-VII-1963, D. C. & K. A. Rentz, *Neopamera bilobata* (Say) det. J. E. O'Donnell 1997 (CAS).

Guatemala: RETALHULEU.- 1 ♂, Champerico, 14°18'N 91°55'O, Baker, *Pachybrachius albocinctus* det. Barber (CAS). **México:** COLIMA.- 1 ♂, Manzanillo, 21-VI-1956, R. E. Beer (SEM-UKANS). GUERRERO.- 1 ♀, Acapulco, 28-VI-1956, R. E. Beer & Party (SEM-UKANS). JALISCO.- 1 ♀, Puerto Vallarta, 20°36'N 105°14'O, 31-VII-70, P. H. & M. Arnaud (CAS).

MAZATLÁN.- 2 ♂♂, 1 ♀, Venadio, 27-VI-1918, J. A. Kusche (CAS), 1 ♂, 15-VI-1918, J. A. Kusche (CAS), 2 ♂♂, 25-VII-1918, J. A. Kusche (CAS), 2 ♀♀, 27-VII-1918, J. A. Kusche (CAS), 1 ♂, 5-VIII-1918, J. A. Kusche (CAS), 1 ♀, 10-VIII-1918, J. A. Kusche (CAS), 1 ♂, 15-1918, J. A. Kusche (CAS), 2 ♀♀, 9-V-1961, Howden & Martin (CNC). NAYARIT.- 2 ♀♀, Acaponeta, 22°29'N 105°22'O, 15-VIII-60, P. H. Arnaud Jr., E. S. Ross & D. C. Rentz, *Neopamera bilobata* (Say) det. J. O'Donnell 1997 (CAS). SAN LUIS POTOSÍ.- 1 ♂, El Salto, 1800', 8-VI-1961, U.K.M.E. (SEM-UKANS); 1 ♂, Huichihuayán, 25-IX-1938, L. J. Lipovsky (SEM-UKANS). SINOLOA.- 1 ♂, Los Mochis, 25°47'N 108°59'O, 20-VI-1922, C. T. Dodds (CAS), 1 ♂, 21-VI-1922, C. T. Dodds (CAS), 1 ♀, 27-VI-1922, C. T. Dodds (CAS), 1 ♀, VI-1922, C. T. Dodds (CAS).

SONORA.- 3 ♂♂, 1 ♀, cerca San José Beach, 40 mi. SO col. Obregón, 16/23-V-1961, Howden & Martin (CNC). VERACRUZ.- 2 ♂♂, 3 mi. O Cotzacoalcos, 26-VI-1971, O'Briens & Marshall (SEM-UKANS); 1 ♂, 7 mi. E of Tlapacoyan, 17-VIII-1958, H. Howden (CNC); 1 ♂, 5 mi. S Veracruz, 30-VI-1975, C. A., W. E. & B. W. Triplehorn, trampa de luz negra (OSUC); 1 ♀, Sta. Cotaxtla, 18°50'N 96°23'O, 28-VI-1962, D. H. Janzen, trampa de luz negra de 15 watts (SEM-UKANS). **Panamá:** PANAMÁ.- 1 ♂, Coco Solo Hospital, zona del canal, 16-V-1973, Ashlock, Ashlock coll. (SEM-UKANS), 1 ♀, 15-V-1973 (SEM-UKANS); 1 ♂, 1 mi. SO Cañita, 5 mi. NE El llano de Chepo, 4-VII-1974, C. W., L. B. O'Brien & G. B. Marshall, Ashlock coll. (SEM-UKANS). **Perú:** 1 ♀, 8-III-1937, E. G. Smyth, J. R. de la Torre Bueno coll. (SEM-UKANS).

Neopamera insularis (Barber 1925)

(Figs. 10-21, 154, mapa 2)

Orthaea insularis Barber, 1925: 246-248; 1934: 286; Linsley & Usinger, 1966: 134

Pachybrachius insularis: Slater, 1964: 1127; Ashlock, 1972: 98; Linsley, 1977: 11; Schaefer *et al.*, 1980: 46; Froeschner, 1981: 44

Neopamera insularis: Harrington, 1980: 107; Froeschner, 1985: 22; Slater & O'Donnell, 1995: 151

Redescripción.- (n=20) Longitud total: 5.57-7.03 (media 6.18). Cabeza castaña oscura, clipeo castaño con tonos rojizos. Longitud de la cabeza: 1.05-1.30 (media 1.18). Longitud base de la antena-ápice del clipeo: 0.68-0.83 (media 0.76). Distancia postocular: 0.08-0.10 (media 0.09). Ancho de la cabeza: 1.12-1.32 (media 1.22). Tubérculos anteníferos levemente divergentes. Ojos compuestos redondeados. Espacio interocular: 0.55-0.67 (media 0.61). Ocelos ubicados a la altura de una línea imaginaria que pasa por el límite posterior de los ojos compuestos (Fig. 10), a igual distancia del margen anterior del pronoto que de los ojos. Espacio interocelar: 0.27-0.37 (media 0.32). Rostro castaño, ápice del segmento IV castaño oscuro; con pelos erectos cortos. Con el rostro en reposo el segmento IV se dispone entre

las procoxas. Proporción de la longitud de los segmentos del rostro: 1: 1.10: 0.82: 0.49. Antenas muy largas; castañas claras; con abundante pilosidad corta y decumbente, pilosidad más abundante sobre los segmentos III y IV. Proporción de la longitud de los segmentos de la antena: 1: 1.97: 1.65: 1.80. Lóbulo anterior del pronoto (Fig. 11-13, 17) más desarrollado en los machos. Pronoto castaño oscuro con tonos rojizos; piloso, con pilosidad corta y decumbente, y con pelos largos erectos sobre el lóbulo anterior. Longitud del collar, lóbulo anterior y lóbulo posterior: 0.06-0.11 (media 0.08); 0.88-1.25 (media 1.03); 0.48-0.65 (media 0.56) respectivamente. Ancho del collar, lóbulo anterior y lóbulo posterior: 0.82-0.99 (media 0.92); 1.08-1.48 (media 1.24); 1.53-1.98 (media 1.72) respectivamente. Escutelo castaño oscuro, más claro hacia el ápice; punteado; con pilosidad corta y decumbente, y con pelos largos y erectos como los del pronoto; con una carena en forma de Y. Hemiélitro con pilosidad corta y decumbente. Clavo con 3 hileras completas de puntos y una parcial sobre los 3/4 distales, entre la hilera media y la interna, y con algunos puntos adicionales sobre la mitad distal, que esbozan una 5ª hilera; castaño claro excepto el extremo anterior, que es castaño oscuro y el extremo posterior que es castaño. Margen externo del corio levemente cóncavo. Corio castaño claro con una amplia franja sobre la mitad distal que se continúa sobre el ápice del clavo, esta es castaña oscura desde el margen corial hasta la "sutura" corial, y castaña hacia la comisura claval. Ápice corial y una delgada franja adyacente al margen corial adyacente a la membrana castaños oscuros. Membrana castaña clara de color no homogéneo. Pleuras castañas a castañas oscuras con tonos rojizos, áreas acetabulares (Fig. 14) generalmente más claras, metaepímero blanco o color crema, fuertemente contrastante con la coloración del resto de las pleuras; pilosidad escasa formada por pelos cortos y decumbentes; proepímeron fuertemente punteado. Protrocánteres de los machos con 2 tubérculos distales generalmente bien visibles, y en algunos ejemplares con pequeñas espinas o protuberancias en la parte media. Cara interna de las protibias (Fig. 15) con numerosas espinas o tubérculos muy pequeños sobre toda su longitud; adicionalmente los machos presentan sobre el tercio distal 3 o 4 pelos espiniformes, y 1 o 2 más apicales. Procoxas castañas rojizas,

trocánteres, meso- y metafémures (Fig. 16) castaños muy claros, resto de las patas castaño con los profémures generalmente más oscuros. Patas con pelos cortos y decumbentes, más abundantes sobre las tibias y sobre los tarsos.

Abdomen castaño de color no uniforme, con tonos rojizos. Longitud abdominal: 2.60-3.17 (media 2.99). Ancho abdominal: 1.40-1.67 (media 1.51). Pigóforo (Fig. 18): margen anterior de la abertura dorsal casi recto, invaginado medialmente; proyecciones internas largas, más proyectadas atrás. En vista lateral: margen dorsal levemente inclinado hacia atrás. Parámetros (Fig. 19): espada fuertemente curvada en la parte media; asta con una proyección interna con varios pelos, y con una proyección externa con 2 pelos. Edeago (Fig. 20) con escleritos de sujeción robustos.

Distribución.- Islas Galápagos.

Comentarios.- Esta especie es muy similar a *N. bilobata* y posiblemente se haya originado a partir de un lote de esta que colonizó las islas Galápagos. *N. insularis* se distingue de *N. bilobata* por su coloración general más oscura, el patrón de coloración más definido del hemiélitro y por caracteres de los *genitalia* masculinos.

Material examinado

Material tipo.-Holotipo: ♂, James I. S., April 4-23 (AMNH)

Otro material examinado.-

Islas Galápagos: ISLA PINTA.- 1 ♀, 2-XII-1971, Vaguolgyi, *Pachybrachius insularis* det. J. A. Slater 1976 (CAS). ISLA SAN SALVADOR.- 1 ♀, NO Slope, 600 m, 30-V-1964, D. Q. Cavagnaro (CAS). ISLA SANTA CRUZ.- 13 ♂♂, 8 ♀♀, Academy Bay, 00°29'S 90°26'O, 22-II-1964, P. D. Ashlock, trampa de luz, *Neopamera insularis* (Barber) det. P. D. Ashlock 1979 (SEM-UKANS), 1 ♂, 9-II-1964, P. D. Ashlock, trampa de luz (SEM-UKANS); 3 ♂♂, 1 ♀, Darwin Res. Sta., Academy Bay, 00°33'S 90°37'O, 18-II-1964, R. Q. Schuster (CAS), 1 ♂, 7-II-1964, E. G. Linsley, luz blanca (SEM-UKANS); 4 ♂♂, 5 ♀♀, Hornenan Farm, 220m, 00°33'S 90°37'O, 2-III-1964, D. Q. Cavagnaro (CAS), 2 ♂♂, 2

♀♀, 05-III-1964, D. Q. Cavagnaro (CAS), 1 ♂, 2 ♀♀, 10-III-1964, D. Q. Cavagnaro (CAS), 1 ♂, 3 ♀♀, 18-III-1964, D. Q. Cavagnaro (CAS), 1 ♀, 7-V-1964, D. Q. Cavagnaro (CAS), 1 ♀, 16-II-1964, D. Q. Cavagnaro & R. O. Schuster (CAS), 1 ♀, 24-I-1964, D. Q. Cavagnaro & R. O. Schuster (CAS), 1 ♂, 1 ♀, 27-I-1964, D. Q. Cavagnaro & R. O. Schuster (CAS), 1 ♂, 4-II-1964, R. O. Schuster (CAS), 2 ♀♀, 8-II-1964, D. Q. Cavagnaro & R. O. Schuster (CAS), 1 ♂, 11-II-1964, D. Q. Cavagnaro & R. O. Schuster (CAS), 1 ♂, 20-II-1964, D. Q. Cavagnaro & R. O. Schuster (CAS), 2 ♂♂, 7 ♀♀, 22-II-1964, R. O. Schuster (CAS); 1 ♀, Bella Vista, 00°41'S 90°19'O, 220 m, 28-I-1964, G. Kuschel (SEM-UKANS); 1 ♂, 2 ♀♀, 00°33'S 90°37'O, Table Mtn 440 m, 16-IV-1964, D. Q. Cavagnaro (CAS); 1 ♂, E. Slops, 160 m, 00°33'S 90°37'O, 16-IV-1964, D. Q. Cavagnaro (CAS); 2 ♀♀, 5-V-1932, M. Willows Jr., Templeton, Crecker Exped. 1932 (CAS). ISLA SANTA MARÍA.- 2 ♀♀, 1 ninfa, 14-V-1932, M. Willows Jr., Templeton, Crecker Exped. 1952 (CAS); 1 ♀, 300 m, 17-II-1964, G. Kuschel (SEM-UKANS); 1 ♀, Whitmer's Farm, 15-XI-1964, R. L. Usinger (SEM-UKANS).

Neopamera hondurana (Bergroth 1914)

(Figs. 21-24, 155, mapa 1)

Pamera hondurana Bergroth, 1914: 74

Pahybrachius honduranus: Slater, 1964: 1126

Neopamera hondurana: Harrington, 1980: 107; Slater & O'Donnell, 1995: 151

Redescripción.- (n= 9) Aspecto mirmecoide. Longitud total: 4.37-4.62 (media 4.48).

Cabeza ancha, castaña rojiza a castaña oscura. Longitud de la cabeza: 1.02-1.13 (media 1.07). Longitud base de la antena-ápice del clipeo: 0.63-0.70 (media 0.67). Distancia postocular: 0.05. Ancho de la cabeza: 1.05-1.08 (media 1.07). Tubérculos anteníferos paralelos a levemente convergentes. Ojos compuestos longitudinalmente ovales. Espacio interocular: 0.58-0.63 (media 0.60). Ocelos ubicados por delante de una línea imaginaria que pasa

por el límite posterior de los ojos compuestos (Fig. 21), más cerca de los ojos que del margen anterior del pronoto. Espacio interocelar: 0.33-0.40 (media 0.37). Rostro castaño, ápice del segmento IV castaño oscuro; con pelos erectos cortos; con el rostro en reposo el segmento IV se dispone entre las mesocoxas. Proporción de la longitud de los segmentos del rostro: 1: 1.09: 0.83: 0.65. Unión de las búculas justo por detrás de la inserción del rostro. Antenas largas, filiformes; castañas claras, ápice de los segmentos II, III y el segmento IV más oscuros; con abundante pilosidad corta y decumbente, pilosidad más abundante sobre los segmentos III y IV. Proporción de la longitud de los segmentos de la antena: 1: 2.55: 2.13: 2.63.

Pronoto castaño rojizo a castaño oscuro; piloso, con pilosidad decumbente corta y con pelos erectos largos sobre los lóbulos anterior y posterior. Longitud del collar, lóbulo anterior y lóbulo posterior: 0.06-0.11 (media 0.08); 0.72-0.87 (media 0.82); 0.47-0.52 (media 0.49) respectivamente. Ancho del collar, lóbulo anterior y lóbulo posterior: 0.82-0.99 (media 0.92); 0.92-1.03 (media 0.96); 1.27-1.43 (media 1.33) respectivamente. Escutelo castaño a castaño oscuro, más claro hacia el ápice; con pilosidad corta decumbente y con pelos largos erectos como los del pronoto; punteado; con una carena en forma de "Y" desprovista de puntos y pelos. Hemiélitro con pilosidad corta y decumbente. Clavo con 3 hileras completas de puntos y una parcial sobre los 3/4 distales, entre la hilera media y la interna, esbozada por unos pocos puntos; castaño a castaño oscuro con una franja media castaña clara entre la hilera media y la externa, la cual se extiende hacia adelante en algunos ejemplares; algunos ejemplares presentan además una mácula castaña muy clara sobre el ápice. Margen externo del corio levemente cóncavo. Corio con patrón de coloración crema y castaña oscura fuertemente contrastante, con una amplia franja media, ápice corial, margen adyacente a la membrana y 2/3 del margen corial interno castaños oscuros, resto color crema. Membrana castaña clara, algunos ejemplares presentan sobre el margen distal una mácula oval blanquecina. Pleuras castañas rojizas a castañas oscuras, áreas acetabulares más claras, metaepímero castaño claro contrastando con la coloración general de las pleuras; pilosidad formada por pelos decumbentes cortos. Cara interna de

las protibias con numerosos tubérculos muy pequeños sobre toda su longitud. Coxas castañas a castañas rojizas, meso-, metatrocánteres, tarsos y parte proximal de meso- y metafémures castaños claros, resto de las patas castaño oscuro. Profémures con pelos erectos abundantes, resto con pelos cortos decumbentes esparcidos, más abundantes sobre las tibias y tarsos. Abdomen castaño a castaño oscuro de color no uniforme. Longitud abdominal: 1.83-2.13 (media 1.98). Ancho abdominal: 1.03-1.17 (media 1.09). Pigóforo (Fig. 22): abertura dorsal ancha, margen anterior recto; proyecciones internas largas, más proyectadas atrás. En vista lateral: margen dorsal no inclinado hacia atrás. Parámetros (Fig. 23): espada curvada; asta con una proyección interna con varios pelos, con una espina sobre su cara anterior y con una proyección externa con 3 pelos. Edeago (Fig. 24) corto, con escleritos de sujeción robustos y fuertemente esclerotizados en el margen posterior.

Distribución.- Belize, Costa Rica, Panamá, Trinidad y Tobago, Venezuela.

Primera cita.- de Costa Rica, Panamá, Trinidad y Tobago, Venezuela.

Comentarios.- Los ejemplares de *N. hondurana* son pequeños y semejantes a hormigas, y recuerdan externamente a especies mirmecomórficas de otros géneros como *Dushinckanus* Brailovsky.

Material examinado.-

Costa Rica: PUNTARENAS.- 1 ♂, 2,5 mi. SO Rincón, Península de Osa, 08°42'N 83°29'O, 8/12-III-1967, OTS Adv. Zoo. Course, *Neopamera hondurana* det. P.D. Ashlock 1985 (SEM-UKANS). **Panamá:** COLÓN.- 1 ♂, Barro Colorado, 09°11'N 79°56'O, 10-VIII-1981, R. B. Kimsey (SEM-UKANS). PANAMÁ.- 1 ♂, Las Cumbres, 09°03'N 79°39'O, 26/27-VII-1971, M. Daykip (SEM-UKANS). **Trinidad y Tobago:** 2 ♂♂, 1 ♀, 3 mi. SO Valencia, 10°39'N 61°12'O, 1-II-1969, C. W. & L. B. O'Brien (SEM-UKANS). **Venezuela:** ARAGUA.- 1 ♂, El Limón, 450 m, 23-VII-1976, F. Fernández, luz de mercurio (JSC); COJEDES.- 1 ♀, El Baúl, 1/3-III-1981, F. Fernández (JSC). MONAGAS.- 1 ♀, Caripito, 10-IV-1964, R. Ronderos (MLP).

Incertae sedis

Desafortunadamente no he tenido acceso a material de las siguientes tres especies; Harrington (1980) las ubica en *Neopamera*, pero solo examinó ejemplares de *N. recincta*. Las descripciones son insuficientes para analizar su ubicación taxonómica, por lo que las mantengo en el género *Neopamera*.

Neopamera pagana (White 1879)

Pamera pagana White, 1879: 483

Pachybrachius paganus: Slater, 1964: 1137

Neopamera pagana: Harrington, 1980: 107; Slater & O'Donnell, 1995: 151

Comentario: White describe esta especie sobre un ejemplar macho colectado en el río Solimões (Brasil), y comenta que es cercana a *Pamera bilobata*, pero se distingue de esta por su menor tamaño y diferente coloración del rostro, hemiélitros y antenas, presentando estas últimas una amplia banda pálida sobre el cuarto segmento. Lo antes expuesto sugiere que se trata de una especie semejante a *N. albocincta* Barber, pero debido a que muchos importantes caracteres no son mencionados en la descripción de White, y a que otras especies presentan la banda clara sobre el cuarto segmento antenal, es imposible analizar su situación taxonómica.

Neopamera platana (Bergroth 1894)

Pamera platana Bergroth, 1894: 166

Pachybrachius platanus: Slater, 1964: 1139

Neopamera platana: Harrington, 1980: 107; Slater & O'Donnell, 1995: 151

Comentario: Bergroth describe a esta especie en su trabajo "Liste de quelques Hémiptères de La Plata", al examinar a una hembra, y la refiere próxima a *P. longula* (*Paromius longulus*) y *P. brachialis* (*Gen.C. brachialis*).

Con solo los caracteres de la descripción de Bergroth no he podido ubicar a esta especie, o confirmar su validez.

Neopamera recincta (Breddin 1901)

Pamera recincta Breddin, 1901: 59

Pachybrachius recinctus Slater, 1964: 1140

Neopamera recincta Harrington, 1980: 107; Slater & O'Donnell, 1995: 151

Comentario: esta especie es descrita por Breddin de Ecuador; los caracteres mencionados en la descripción son insuficientes para analizar su ubicación taxonómica.

Paromius Fieber

Especie tipo.- *Stenocoris gracilis* Rambur 1839

Especies incluidas.- *Paromius apicatus* (Stål)

P. australis Malipatil

P. attenuatus (Dallas)

P. carvalhoi Slater

P. dohrnii (Guérin)

P. excelsus (Bergroth)

P. exiguus (Distant)

P. gracilis (Rambur)

P. jejenus (Distant)

P. limbatus (Stål)

P. longulus (Dallas)

P. pallidus (Montrouzier)

P. paraclypeatus Scudder

P. piratoides (Costa)

P. procerulus (Berg) **(n. comb.)**

P. trivialis (Stål)

Diagnosis: Abdomen de mayor longitud que la suma de las longitudes de la cabeza y el pronoto. Collar pronotal más ancho medialmente. Hemiélitro castaño claro uniforme. Vejiga del edeago con prolongaciones aserradas, conjuntiva sin espinas. Escleritos de sujeción ausentes. Mesoepímero encerrado. Area evaporatoria extensa.

Discusión: *Paromius procerulus* (Berg) (nueva combinación) presenta todos los caracteres antes mencionados. *Paromius* es uno de los pocos géneros de Myodochini que se encuentran en más de un continente; de las 15 especies reconocidas previamente en el género, solo 3 son Neotropicales y una de ellas también se distribuye en la región Neártica: *Paromius dohrnii* (Cuba e islas del Caribe), *P. longulus* (desde el sur de América del Norte hasta la Argentina) y *Paromius trivialis* (Colombia). La información bibliográfica y el estudio de ejemplares de *P. longulus* depositados en el Museo de La Plata permiten afirmar que *P. procerulus* es distinta de las 3 especies antes mencionadas.

En el análisis cladístico, *P. procerulus* aparece como grupo hermano de *Pseudoparomius linearis*; las especies del género *Pseudoparomius* se caracterizan por presentar una amplia franja transversal castaña oscura sobre la porción distal del hemiélitro, y por ser más robustas que las del género *Paromius*.

Paromius procerulus (Berg 1892), nueva combinación

(Figs. 25-46, 156, mapa 3, 8)

Pamera procerula Berg, 1892: 75-76; Lethierry & Severin, 1894: 193;

Coscarón, 2003: 46

Pamera sororcula Berg, 1892: 77; Lethierry & Severin, 1894: 194 [**n. syn.**]

Orthaea procerula: Pennington, 1921: 19

Orthaea sororcula: Pennington, 1921: 19

Pachybrachius procerulus: Slater, 1964: 1139

Pachybrachius sororculus: Slater, 1964: 1142

Neopamera procerula: Harrington, 1980: 107; Slater & O'Donnell, 1995: 151; Melo *et al.*, 2004: 67

Neopamera sororcula: Harrington, 1980: 107; Slater & O'Donnell, 1995: 151

Redescripción.- Cuerpo elongado, cutícula pruinosa, antenas y patas muy largas. Longitud total: 5.76-7.09 (media 6.56).

Cabeza no inclinada hacia adelante (Fig. 25, 33), castaño oscura, con abundante pilosidad plateada, corta y decumbente hacia adelante; dorsalmente presenta también pelos de mayor longitud, semierectos, esparcidos. Longitud de la cabeza: 0.98-1.15 (media 1.05). Longitud base de la antena-ápice del clipeo: 0.48-0.68 (media 0.54). Distancia postocular: 0.08-0.10 (media 0.09). Ancho de la cabeza: 0.97-1.15 (media 1.10). Yugo con un reborde desarrollado. Tubérculos anteníferos levemente divergentes. Ojos compuestos longitudinalmente ovales, grandes. Espacio interocular: 0.58-0.70 (media 0.67). Ocelos ubicados a la altura de una línea imaginaria que pasa por el límite posterior de los ojos compuestos (Fig. 26, 33), a igual distancia del margen anterior del pronoto que de los ojos. Espacio interocelar: 0.33-0.43 (media 0.39). Rostro castaño claro, ápice del segmento IV castaño oscuro; con pelos erectos más abundantes sobre los segmentos II y III; el segmento I sobrepasa la cabeza y alcanza al collar pronotal, con el rostro en reposo el segmento IV alcanza al abdomen. Proporción de la longitud de los segmentos del rostro: 1: 0.98: 0.60: 0.54. Unión de las búculas en forma de "V" a la altura del tubérculo antenífero. Antenas muy largas; segmentos I, II, y 2/3 basales del segmento III castaños claros, resto del segmento III y el segmento IV castaños, este último presenta una banda castaña muy clara de posición basal, de 1/3 a 1/2 de la longitud del segmento; con abundante pilosidad corta y decumbente, pilosidad más abundante sobre los segmentos III y IV. Proporción de la longitud de los segmentos de la antena: 1: 2.57: 2.12: 2.64.

Collar y lóbulo anterior del pronoto castaños oscuros; lóbulo posterior castaño a castaño oscuro, con la mitad anterior de los márgenes laterales y 4 bandas irregulares longitudinales castañas claras, estas últimas poco

notorias en algunos ejemplares. Pronoto piloso, con pilosidad corta y decumbente, y con pelos largos y erectos sobre el lóbulo anterior; microescultura del pronoto como vemos en las figuras 27 y 28. Longitud del collar, lóbulo anterior y lóbulo posterior: 0.17-0.20 (media 0.18); 0.70-0.93 (media 0.81); 0.45-0.65 (media 0.58) respectivamente. Ancho del collar, lóbulo anterior y lóbulo posterior: 0.72-0.87 (media 0.81); 1.10-1.28 (media 1.19); 1.33-1.75 (media 1.57) respectivamente. Escutelo castaño a castaño oscuro, más claro hacia el ápice; punteado; con pilosidad corta y decumbente; con una carena en forma de Y. Hemiélitro con pilosidad corta y decumbente. Clavo con 3 hileras completas de puntos, y 2 parciales sobre los 2/3 distales entre la hilera media y la interna; castaño, excepto el margen externo y ápice castaños claros; algunos ejemplares presentan una banda clara proximal entre las hileras media y externa de puntos. Margen externo del corio levemente cóncavo, con los 3/4 proximales aserrados. Corio castaño excepto regiones castañas muy claras como sigue: extremo anterior, márgenes laterales que se interrumpen antes de una mácula subapical con forma de "U" y una mácula alargada entre las 2 hileras internas de puntos. Membrana castaña de color no uniforme, con una pequeña mácula clara adyacente al ápice corial. Pleuras castañas oscuras, áreas acetabulares y metaepímero más claros; punteadas y pilosas, con abundante pilosidad plateada, corta y decumbente. Mesoepímero (Fig. 29) encerrado. Área evaporatoria (Fig. 29-31) extensa. Procoxas con una espina; protrocánteres inermes; profémures (Fig. 32) elongados y débilmente engrosados, con una doble hilera de espinas sobre su cara interna; cara interna de las protibias con 5 o 6 espinas o tubérculos, de las que parte un pelo, aproximadamente equidistantes, y numerosos tubérculos muy pequeños sobre toda su longitud; mesofémures de los machos con 5 o 6 dientes o espinas. Coxas castañas rojizas, resto de las patas castaño claro, con el ápice de las tibias y mitad distal de meso- y metafémures generalmente más oscuros. Patas con pelos decumbentes y semierectos esparcidos, más abundantes sobre la porción distal de las tibias y sobre los tarsos, y con pelos erectos sobre los profémures.

Abdomen castaño a castaño oscuro de color no uniforme, con tonos rojizos en algunos ejemplares; con abundante pilosidad plateada corta y decumbente. Longitud abdominal: 2.67-3.80 (media 3.39). Ancho abdominal: 1.33-1.75 (media 1.54). Pigóforo (Fig. 34) con 3 depresiones dorsales posteriores; apertura dorsal con el margen anterior redondeado y con 2 proyecciones internas aguzadas hacia el extremo. Parámetros (Fig. 35) con la espada ancha y plana fuertemente curvada cerca del extremo, con una proyección interna amplia, similar a una lengua, débilmente esclerotizada, y con una proyección externa con 2 largos pelos. Edeago (Fig. 36): conjuntiva con 2 lóbulos pequeños débilmente esclerotizados y con 2 espinas muy esclerotizadas; reservorio eyaculatorio con alas bien desarrolladas; vejiga con 3 proyecciones: la inferior pequeña y con 3 o 4 pequeñas espinas; la media sin dientes, y la superior formada por 2 largas prolongaciones aserradas unidas en su base.

Distribución.- Argentina, Uruguay.

Comentarios.- Berg describe a *Pamera procerula* y a *Pamera sororcula* en 1892 y señala que esta última puede ser fácilmente confundida con la especie precedente sin un análisis detallado, pero no brinda caracteres diagnósticos que permitan distinguirlas. Después de examinar el material tipo de ambas especies y el material de colección, se considera que son una misma especie, y tomando a *P. sororcula* sinónimo de *P. procerula* (ambas especies fueron publicadas en la misma obra, por lo que se sigue el Principio del primer revisor (Art. 24) del Código Internacional de Nomenclatura Zoológica).

Los únicos datos acerca de la distribución geográfica son los señalados por Berg de la provincia de Buenos Aires (partidos de Chacabuco y Almirante Brown), por lo que el registro de esta especie en las provincias de Chaco, Corrientes, Entre Ríos, Misiones y Santa Fe amplía notablemente su distribución geográfica conocida.

Material examinado

Material tipo.- Sintipos: 1 ♂, 1 ♀, (*Pamera procerula* Berg), Argentina, Buenos Aires (MLP); 1 ♀, Argentina, Buenos Aires, Chacabuco (34°38'S 60°28'O), F. Lynch (MLP). **Holotipo:** ♀, (*Pamera sororcula* Berg), Argentina, Chacabuco, F. Lynch (MLP).

Otro material examinado.-

Argentina: BUENOS AIRES.- 2 ♂♂, La Plata, 34°58'S 57°53'O, 27-II-2002, C. Melo (MLP). CORRIENTES.- 16 ♂♂, 22 ♀♀, Galarza, 28°05'S 56°43'O, 17-XI-2000, P. M. Dellapé (MLP), 2 ♂♂, 7 ♀♀, 16/18-XI-2000, A. P. Martínez (MLP); 1 ♂, 1 ♀, Pellegrini, 28°32'S 57°10'O, 16-XI-2000, P. M. Dellapé (MLP), 1 ♂, 9-V-2002, P. M. Dellapé (MLP); 2 ♀♀, cerca de Chavarría, 10-V-2002, P. Dellapé (MLP); 8 ♂♂, 12 ♀♀, Ituzaingó, Santa María, 27°36'S 56°41'O, IV/V-2003, P. M. Dellapé (MLP). CHACO.- 1 ♀, (MACN); 1 ♂, Río Bermejo, 19-X-1935, J. B. Daguerre (MACN). ENTRE RÍOS.- 1 ♀, La Paz, 30°75'S 59°65'O, I-1953 (MACN); 5 ♂♂, 1 ♀, Concordia, 31°24'S 58°02'O, 1938, Hayward (MACN); MISIONES.- 1 ♂, Río Cuñapirú, 27°07'S 54°55'O, II-1964, C. Bonino (MACN). SANTA FE.- 6 ♂♂, 2 ♀♀, Villa Ana (F.C.P.S.F.), 28°29'S 59°37'O, 4/8-XI-1933, Hayward (MACN); 2 ♀♀, Rosario de Santa Fe, 32°57'S 60°40'O, A. Stévenin (MACN).

Aspectos de la biología y descripción de los estadios preimaginales de *Paromius procerulus*.

La colecta de huevos y ninfas, junto con ejemplares adultos, se realizó en la localidad de Galarza (Corrientes) entre los días 15 y 25 de noviembre de 2000, sobre la espiga de *Andropogon selloanus* (Hackel) (Poaceae), la que es abundante en ambientes disturbados como las banquinas de los caminos. Slater (1977) menciona que algunas especies geófilas ocasionalmente suben a las plantas para alimentarse cuando las semillas maduran, este es el caso de *P. procerula*, que además de alimentarse sobre la espiga de *A. selloanus* (Hackel), también ovipone y se desarrolla sobre esta.

Los huevos se ubican sueltos sobre la espiga con su eje mayor perpendicular al suelo y la cabeza del embrión hacia arriba, aparentando ser semillas de la planta. De los 167 huevos colectados, se halló uno parasitoidizado por un

microhimenóptero (Figs. 40-41) y se capturó un macho adulto junto a las puestas, que fue determinado como una especie inédita del género *Telenomus*, en el grupo de especies de *Telenomus floridanus* (Scelionidae: Proctotrupoidea: Hymenoptera) (Cecilia Margaria, com. pers.).

Huevo

(Figs. 37-41)

Castaño claro, alargado (Figs. 37, 40-41). Corion con esculturación formada por pequeñas protuberancias (Fig. 38). Polo cefálico con siete procesos micropilares dispuestos en círculo (Fig. 39).

Ninfa V (n=10)

(Fig. 46)

Cuerpo elongado. Longitud total: 5.90-6.40 (media 6.24). Cabeza castaña, ojos castaños oscuros a negros. Longitud de la cabeza: 0.98-1.12 (media 1.06). Ancho de la cabeza: 0.97-1.24 (media 1.23). Antenas elongadas, segmento IV fusiforme; castañas claras, más oscuras hacia el extremo; pilosas. Longitud de las antenas: 3.12-3.70 (media 3.44). Proporción de la longitud de los segmentos de las antenas: 1: 2.7: 2: 2.9. Rostro castaño oscuro, supera a las mesocoxas pero no alcanza a las metacoxas. Longitud del rostro: 4.12-4.45 (media 4.37). Proporción de la longitud de los segmentos del rostro: 1: 0.98: 0.77: 0.68. Región ventral de la cabeza, pro-, meso- y metaesterno con una quilla media longitudinal de color de crema.

Pronoto castaño, lóbulo posterior más oscuro. Collar más ancho en la parte media y delimitado posteriormente por un surco; bordes laterales replegados castaños claros con el margen externo negro; impresión transversa bien delimitada, diferenciando 2 lóbulos. Longitud del collar, lóbulo anterior y lóbulo posterior: 0.15-0.16 (media 0.16); 0.88-0.93 (media 0.90); 0.20-0.23 (media 0.22) respectivamente. Ancho del collar, lóbulo anterior y lóbulo posterior: 0.91-0.92 (media 0.92); 1.54-1.59 (media 1.56); 1.57-1.64 (media 1.59) respectivamente. Esbozos alares castaños, con bordes laterales

"aplanados" de color castaño claro. Longitud de los esbozos alares: 1.73-1.87 (media 1.78). Escutelo castaño. Pleuras castañas. Profémures agrandados con espinas en su cara ventral.

Abdomen, dorsal: castaño a castaño oscuro, últimos segmentos tergaes rojizos; con una franja transversal amarillenta o color de crema que abarca la mitad posterior del segmento III y el tercio anterior del segmento IV, la cual se continúa ventralmente para formar un anillo completo, resto del abdomen ventral castaño. Poros de las glándulas repugnatorias presentes en 3 pares, entre los segmentos III/IV, IV/V y V/VI, rodeados por una mácula negra. Unión doble entre segmentos III y IV, la cual se bifurca en forma de "Y".

Ninfa IV (n=10)

(Fig. 45)

Cuerpo elongado. Longitud total: 4.76-4.94 (media 4.88). Cabeza castaña a castaña clara; ojos oscuros con el borde rojo. Carena ventral igual a la de la ninfa V. Longitud de la cabeza: 1.03-1.10 (media 1.06). Ancho de la cabeza: 1.17-1.30 (media 1.23). Antenas elongadas, segmento IV fusiforme; castañas claras, segmento IV más oscuro hacia el extremo distal; pilosas. Longitud de las antenas: 2.27-2.45 (media 2.34). Proporción de la longitud de los segmentos de las antenas: 1: 1.42: 2.14: 2.2. Rostro castaño a castaño claro, alcanza las mesocoxas. Longitud del rostro: 2.04-2.23 (media 2.14). Proporción de la longitud de los segmentos del rostro: 1: 0.75: 1.01: 0.47. Pronoto castaño; collar delimitado posteriormente por un surco; bordes laterales replegados, amarillentos con el borde externo negro; impresión transversa bien delimitada; lóbulo posterior castaño oscuro a negro. Longitud del collar, lóbulo anterior y lóbulo posterior: 0.09-0.10 (media 0.10); 0.65-0.73 (media 0.70); 0.10-0.12 (media 0.11) respectivamente. Ancho del collar, lóbulo anterior y lóbulo posterior: 0.80-0.83 (media 0.82); 1.10-1.12 (media 1.11); 1.11-1.12 (media 1.11) respectivamente. Esbozos alares castaños, bordes laterales aplanados, amarillentos con el borde externo negro. Longitud de los esbozos alares: 0.87-0.96 (media 0.92).

Pleuras castañas a castañas claras. Patas castañas a castañas claras, tarsos más oscuros; profémures agrandados con algunas pequeñas espinas en su cara ventral.

Abdomen: poros de las glándulas repugnatorias como en la ninfa V; coloración general castaña clara o crema con zonas más oscuras como sigue: dorsalmente, segmento I con 2 manchas castañas submediales, segmento II y 2/3 anteriores del segmento III castaño, segmento IV con una amplia franja transversal castaña, más ancha en la parte media, segmentos IV, V, VI, VII y VIII castaños en los laterales, segmento VIII con una mácula negra medio-anterior, segmentos IX y X oscuros. Ventralmente con una franja más clara en forma de arco sobre los segmentos IV y V, la cual se continúa dorsalmente; segmentos VIII, IX y X oscuros.

Ninfa III (n= 10)

(Fig. 44)

Cuerpo elongado, ovoide, coloración general castaña clara. Longitud total: 3.28-3.52 (media 3.44). Cabeza castaña clara con el vertex y parte posterior más oscura. Longitud de la cabeza: 0.66-0.75 (media 0.70). Ancho de la cabeza: 0.79-0.82 (media 0.80). Antenas filiformes, segmento IV fusiforme, más oscuro hacia la porción distal. Longitud de las antenas: 1.65-1.79 (media 1.74). Proporción de la longitud de los segmentos antenales: 1: 1.9: 1.81: 3.18. Rostro castaño claro, ápice del segmento IV oscuro; el rostro alcanza las mesocoxas. Longitud del rostro: 1.37-1.44 (media 1.42). Proporción de la longitud de los segmentos del rostro: 1: 0.98: 0.75: 0.8. Pronoto castaño, con una franja anterior oscura en algunos ejemplares; collar vagamente delimitado; bordes laterales replegados; impresión transversa insinuada; margen posterior recto, delineado de negro. Longitud del pronoto: 0.55-0.60 (media 0.58). Ancho del pronoto 0.86-0.89 (media 0.88). Esbozos alares muy cortos. Longitud de los esbozos alares: 0.34-0.41 (media 0.38).

Abdomen castaño claro con tonalidades rojizas, difiere entre los ejemplares, glándulas repugnatorias igual a las de la ninfa V; ventralmente castaño claro con 2 manchas rojizas laterales sobre el segmento 4.

Ninfa II (n= 10)

(Fig. 43)

Cuerpo elongado, ovoide. Longitud total: 2.36-2.54 (media 2.44). Cabeza castaña oscura. Longitud de la cabeza: 0.53-0.58 (media 0.56). Ancho de la cabeza: 0.62-0.67 (media 0.64). Antenas amarillentas, segmento IV rojizo. Longitud de las antenas: 1.32-1.41 (media 1.38). Proporción de la longitud de los segmentos de las antenas: 1: 2.11: 1.67: 3.2. Rostro castaño claro; alcanza las mesocoxa. Longitud del rostro: 0.82-0.90 (media 0.86). Proporción de la longitud de los segmentos del rostro: 1: 1.09: 0.81: 1. Pronoto castaño oscuro, subcuadrangular, sin collar delimitado y sin impresión transversa delimitando 2 lóbulos; bordes laterales aplanados. Longitud del pronoto: 0.43-0.52 (media 0.47). Ancho del pronoto 0.74-0.77 (media 0.76). Meso- y metanoto castaños oscuros a castaños, con tonos rojizos en los laterales, márgenes laterales aplanados. Con una línea media amarillenta que corre sobre el tórax y se continúa en la cabeza, se bifurca en el vertex y llega al borde anterior del ojo. Pleuras castañas, rojizas dorsalmente.

Patas castañas claras, fémures levemente dilatados carentes de espinas.

Abdomen amarillento, con tonos rojizos del segmento 5 en adelante.

Aperturas de las glándulas repugnatorias iguales a las de la ninfa V.

Ninfa I (n= 10)

(Fig. 42)

Cuerpo ovoide. Longitud total: 2.00-2.09 (media 2.02). Cabeza castaña, amarilla ventralmente. Longitud de la cabeza: 0.41-0.45 (media 0.43). Ancho de la cabeza: 0.45-0.47 (media 0.46). Antenas amarillentas, segmento IV rojizo. Longitud de las antenas: 1.04-1.11 (media 1.07). Proporción de la

longitud de los segmentos de las antenas: 1: 1.92: 1.77: 3.53. Rostro castaño claro; alcanza las mesocoxas. Longitud del rostro: 0.80-0.85 (media 0.83). Proporción de la longitud de los segmentos del rostro: 1: 0.91: 0.87: 0.83. Línea media amarillenta que corre sobre el tórax y se continúa en la cabeza, se bifurca en el vertex y llega al borde anterior del ojo. Longitud del pronoto: 0.52-0.54 (media 0.53). Ancho del pronoto 0.23. Pro-, meso-, y metanoto castaños, con tonos rojos en los laterales del meso- y metanoto. Pleuras castañas, amarillentas dorsalmente, con tonos rojizos. Esternos amarillos. Patas castañas, pilosas. Abdomen amarillento, con tonos rojizos desde el segmento 4 hasta el extremo distal.

Gen.A, género nuevo

Especie tipo.- *Ptochiomera mumfordi* Van Duzee 1935 (nuevo nombre para *Ptochiomera caeca* Van Duzee 1932, preocupado)

Descripción.- Cuerpo subovoide (Fig. 47, 157), brillante. Cabeza levemente inclinada hacia adelante. Yugo redondeado. Unión de las búculas en forma de “V” extendiéndose sobre gran parte de la superficie ventral de la cabeza. Los ojos compuestos no interrumpen el perfil de la cabeza en vista lateral. Pronoto aplanado en vista lateral (Fig. 48); collar delimitado posteriormente por un surco; lóbulo anterior con puntos notorios como los del lóbulo posterior; márgenes laterales de ambos lóbulos redondeados. Clavo con 3 hileras completas de puntos. Margen corial liso. Esternos con una quilla media. Mesoepímero encerrado. Área evaporatoria reducida (Fig. 49). Patas con espinas reducidas; procoxas de la hembra sin espinas; profémures con espinas restringidas a la porción distal. Abdomen: unión entre los segmentos II y III estriado, unión entre los segmentos III/IV, y IV/V con estriado leve.

Discusión.- Si bien el ejemplar tipo de *mumfordi* no permite el análisis de caracteres genéricos del macho, principalmente los referidos a los *genitalia* masculinos, los caracteres antes mencionados justifican la creación de un

nuevo género. *Gen.A mumfordi* corre hasta la dicotomía 15 en la clave de Harrington (1980) para los géneros de Myodochini del mundo, en donde se identifica al género *Kolenetrus*, el que presenta una unión de las búculas en forma de “U” y no tiene collar; la otra alternativa caracteriza a géneros con collar no demarcado posteriormente por un surco, superficie ventral de la cabeza acanalada, y unión de las búculas en forma de “U” cercana a la inserción labial; *Gen.A mumfordi* presenta un collar demarcado posteriormente por un surco, la unión de las búculas es en forma de “V”, lejos de la inserción labial, y la superficie ventral de la cabeza no es acanalada.

Gen.A es fácilmente reconocido, ya que es el único género entre los Myodochini con 3 hileras de puntos en el clavo, y una área evaporatoria reducida, que tiene un collar demarcado posteriormente, y que carece de ocelos.

Van Duzee (1932) describe a *Ptochiomera caeca* en “New Hemiptera Heteroptera from the Marquesas”, a la cual considera en un primer momento una forma braquíptera de *P. castanea*, especie que describe en la misma obra: “At first I was inclined to consider this a brachypterous form of *castanea*”. Scudder (1970) transfiere a ambas especies al género *Pachybrachius*. Harrington (1980) revalida al género *Remaudiarena* Hoberlandt (sinonimizado con *Pachybrachius* por Malipatil en 1978) y ubica en este a 18 especies, entre las cuales coloca a *P. castanea*, y transfiere a *P. mumfordi* a *Neopamera*.

El género *Remaudiarena* se caracteriza por presentar un angosto collar impunteado, numerosos pelos largos y erectos sobre el cuerpo, la unión de las búculas en forma de “V”, profémures con una hilera de espinas sobre el margen interno, y con solo una espina en la región media sobre el margen externo, y una área evaporatoria extensa. Dado que ninguno de estos caracteres está presente en *P. mumfordi*, y que Harrington no vio material tipo, se supone que *R. castanea* muy probablemente deba ser ubicada taxonómicamente cerca de *Gen.A mumfordi*.

Gen.A *mumfordi* Van Duzee 1935, nueva combinación
(Figs. 47-49, 157)

Ptochiomera caeca Van Duzee, 1932: 187

Ptiochiomera (sic) mumfordi Van Duzee, 1935: 174 (nuevo nombre para
Ptochiomera caeca Van Duzee 1932, preocupado)

Ptochiomera mumfordi: Slater, 1964: 1168

Pachybrachius mumfordi: Scudder, 1970: 102

Neopamera mumfordi: Harrington, 1980: 107; Slater & O'Donnell, 1995: 151

Redescripción.- del *Holotipo* hembra: Coloración general castaña, brillante. Longitud total: 3.99.

Cabeza recta; castaña; con abundante pilosidad plateada, corta y decumbente. Longitud de la cabeza: 0.75. Longitud base de la antena-ápice del clipeo: 0.42. Distancia postocular: 0.03. Ancho de la cabeza: 0.80. Tubérculos anteníferos paralelos. Ojos compuestos pequeños, redondeados. Espacio interocular: 0.52. Ocelos ausentes. Rostro castaño claro, segmento IV más oscuro, ápice del segmento IV castaño oscuro; con pelos erectos, cortos y esparcidos. Proporción de la longitud de los segmentos del rostro: 1: 1.00: 0.84: 0.60. Antenas: segmento I castaño, longitud 0.50 (resto perdido). Pronoto castaño, collar y lóbulo posterior más claros; glabro. Lóbulo anterior subcuadrangular en vista dorsal (Fig. 47, 157); lóbulo posterior corto. Longitud del collar, lóbulo anterior y lóbulo posterior: 0.15; 0.57; 0.25 respectivamente. Ancho del collar, lóbulo anterior y lóbulo posterior: 0.68, 1.07; 1.15 respectivamente. Escutelo castaño; glabro; fuertemente punteado. Hemiélitro coleopteroide, clavo y corio fusionados, con vestigios de membrana (Fig. 157); castaño claro irregularmente manchado; glabro. Corio fuertemente punteado, margen externo fuertemente convexo. Pleuras castañas; glabras, punteadas. Esternos castaños. Procoxas sin espinas, profémures con solo 3 pequeñas espinas sobre el $\frac{1}{4}$ distal interno. Tarsos con uñas grandes y curvas. Patas castañas; con pilosidad corta, más abundante sobre las tibias y tarsos.

Abdomen castaño; con abundante pilosidad corta y decumbente. Longitud: 1.95.

Distribución.- Islas Marquesas.

Material examinado

Material tipo.- Holotipo: ♀, *Ptochiomera caeca* Van Duzee, Marquesas, Oomu Nukuhiva, 3400 ft., XI-II-29, Munford & Adamson, Pacific Entomological Survey, beating on *Weinmania parviflora* (BM)

Gen.B, género nuevo

Especie tipo.- *Orthaea intermedia* Barber 1924 (nuevo nombre para *Orthaea ferruginosa* Barber 1923, preocupado)

Descripción.- Cuerpo elongado, pruinoso. Cabeza no inclinada. Yugo redondeado, sin un reborde desarrollado. Unión de las búcúlas en forma de “V”, cerca de la inserción del labio. Los ojos compuestos, en vista lateral, no interrumpen el perfil dorsal de la cabeza. Segmento antenal IV fusiforme. Pronoto: collar impunteado, delimitado posteriormente por un surco; lóbulo anterior con puntos suaves; márgenes laterales de ambos lóbulos redondeados. Clavo con más de 3 hileras de puntos. Margen corial externo liso. Exocorio con puntos poco notorios, generalmente a una distancia del margen corial en el tercio posterior de al menos el ancho de 4 puntos. Mesoepímero encerrado. Área evaporatoria extensa. Fémures engrosados y con 2 hileras de espinas sobre su cara interna, de similar desarrollo en machos y hembras; protrocánteres inermes; tibias anteriores de los machos inermes; mesofémures inermes; meso- y metatibias con pelos espiniformes. Margen anterior del esterno abdominal II no estriado. Abdomen con abundante pilosidad plateada corta y decumbente, y con algunos pelos más largos y erectos ventralmente. *Genitalia:* Vejiga con escleritos de sujeción robustos y con 2 lóbulos con espinas dispuestas sobre sus caras externas. Conjuntiva sin espinas.

Discusión.- *Gen.B intermedia* corre hasta la dicotomía 41 de la clave para los géneros de la tribu Myodochini (Harrington, 1980), las alternativas son: “impresión transversa del pronoto poco profunda, obsoleta medialmente” o impresión transversa completa, angosta y profunda”. *Gen.B. intermedia* presenta una impresión transversa poco profunda y poco marcada, pero completa. En la primera opción se identifica al género *Perigenes*, y las 2 especies conocidas de este género tienen el edeago con una conjuntiva con numerosas espinas curvas formando grupos característicos, parámetros truncados, y profémures con solo unas pocas espinas sobre el margen interno. Si continuamos por la otra opción (y asumimos una impresión transversa angosta y profunda) llegamos hasta la dicotomía 43, que identifica a *Humilocoris*, un género monotípico, de distribución Oriental, con edeago de tipo I, un collar no demarcado posteriormente, y profémures con unas pocas espinas sobre el margen interno.

Gen.B intermedia presenta un collar demarcado posteriormente por un surco, el mesoepímero encerrado, edeago con 2 lóbulos fuertemente esclerotizados (considerados escleritos de sujeción) y con pequeñas espinas dispuestas sobre la cara externa de los lóbulos. Entre los myodochinos con escleritos de sujeción cortos y robustos, siete géneros presentan el mesoepímero encerrado: *Ashlockaria* Harrington, *Zeropamera* Barber, *Cnemodus* Herrich-Schaeffer, *Pseudopamera* Distant, *Erlacda* Signoret, *Pseudocnemodus* Barber y *Xenidryum* Poppius & Bergroth. *Gen.B* puede distinguirse fácilmente de estos: *Ashlockaria*, *Zeropamera* y *Cnemodus* tienen la superficie del cuerpo con pequeñas protuberancias en forma de roseta (“shagreened” de Harrington). *Pseudopamera* y *Erlacda* presentan un *estridulitrum* abdominal acompañado por un *plectrum* sobre los metafémures. *Pseudocnemodus* tiene un *estridulitrum* sobre la propleura y el *plectrum* sobre los profémures, y *Xenidryum* es muy similar a una hormiga, con los tubérculos antenales muy expandidos, que les dan la apariencia de mandíbulas.

Gen.B intermedia (Barber 1924), nueva combinación

(Figs. 50-53, 158, mapa 4)

Orthaea ferruginosa Barber, 1923_b: 4-5

Orthaea intermedius Barber, 1924: 136; Wolcott, 1936: 168 (nuevo nombre para *Orthaea ferruginosa* Barber 1923, preocupado)

Pachybrachius intermedius: Barber, 1939: 351, 353, 1954_b: 338; Wolcott, 1950: 204-205; Scudder, 1958: 146; Barber & Ashlock, 1960: 121; Slater, 1964: 1127

Pachybrachius vicarius Barber, 1954_b: 339-340; Barber & Ashlock, 1960: 121; Slater, 1964: 1143 [n. syn.]

Neopamera intermedia: Harrington, 1980: 107; Slater & O'Donnell, 1995: 151; Baranowski & Slater, 1998: 79, 87

Neopamera vicaria: Harrington, 1980: 107; Slater & O'Donnell, 1995: 152; Baranowski & Slater, 1998: 80

Redescripción.- (n= 8) Longitud total: 4.30-5.44 (media 4.62). Cabeza castaña; con abundante pilosidad plateada, corta y decumbente hacia delante; dorsalmente presenta también pelos de mayor longitud, semierectos, esparcidos. Longitud de la cabeza: 0.68-0.93 (media 0.81). Longitud base de la antena-ápice del clipeo: 0.45-0.50 (media 0.48). Distancia postocular: 0.05. Ancho de la cabeza: 0.77-0.97 (media 0.85). Tubérculos anteníferos levemente divergentes. Ojos compuestos redondeados, con numerosos pelos entre los ommatidios. Espacio interocular: 0.38-0.50 (media 0.45). Ocelos relativamente grandes, ubicados a la altura de una línea imaginaria que pasa por el límite posterior de los ojos compuestos (Fig. 50), más cerca del margen anterior del pronoto que de los ojos. Espacio interocelar: 0.22-0.32 (media 0.26). Rostro castaño claro, ápice del segmento IV castaño oscuro; con pelos semierectos cortos. Con el rostro en reposo el segmento IV se dispone entre las mesocoxas. Proporción de la longitud de los segmentos del rostro: 1: 0.98: 0.75: 0.59. Antenas largas, filiformes; segmentos I y II castaños claros con el ápice castaño, segmento III castaño claro con el tercio distal castaño, segmento IV castaño;

con abundante pilosidad decumbente y pelos semierectos y erectos esparcidos, pilosidad más abundante sobre los segmentos III y IV. Proporción de la longitud de los segmentos de la antena: 1: 2.16: 1.82: 2.30. Collar castaño claro; lóbulo anterior castaño con tonos rojizos, lóbulo posterior castaño claro de color no uniforme, con 2 máculas redondeadas sobre el disco, y los márgenes laterales color crema. Piloso, con pilosidad corta decumbente y con pelos largos erectos sobre los lóbulos anterior y posterior, sobre este último menos abundantes y de menor longitud. Longitud del collar, lóbulo anterior y lóbulo posterior: 0.07-0.08 (media 0.08); 0.52-0.62 (media 0.59); 0.37-0.53 (media 0.43) respectivamente. Ancho del collar, lóbulo anterior y lóbulo posterior: 0.63-0.73 (media 0.68); 0.80-1.12 (media 0.94); 1.23-1.65 (media 1.36) respectivamente. Escutelo castaño; punteado; con pilosidad decumbente corta y con pelos erectos largos como los del lóbulo anterior del pronoto. Hemiélitro con pilosidad corta, decumbente y semierecta. Clavo con 3 hileras completas de puntos y una cuarta parcial, con puntos desalineados, sobre los 3/4 distales, entre la hilera media y la interna; castaño claro. Margen externo del corio levemente cóncavo. Corio castaño claro, excepto una pequeña mácula sobre la porción anterior, región media del margen corial externo, que internamente se continúa en una zona más oscura difusa, y ápice, castaños. Membrana castaña de color no uniforme. Cara interna de las protibias con numerosos tubérculos muy pequeños sobre toda su longitud. Pleuras castañas, áreas acetabulares, pro- y metaepímero más claros; pilosidad formada por pelos decumbentes cortos. Coxas, mitad anterior de los profémures y una franja distal sobre metafémures castaños, resto de las patas castaño claro; en algunos ejemplares se distingue una franja distal más oscura sobre los profémures. Profémures con pilosidad semierecta y erecta, resto de las patas con pelos cortos, semierectos y decumbentes esparcidos, más abundantes sobre los tarsos.

Abdomen castaño de color no uniforme. Longitud abdominal: 2.00-3.30 (media 2.45). Ancho abdominal: 1.23-1.77 (media 1.40). Pigóforo (Fig. 51): margen anterior de la abertura dorsal levemente curvo; proyecciones internas largas, más proyectadas atrás. En vista lateral: margen dorsal

inclinado hacia atrás. Parámetros (Fig. 52): espada levemente curvada; asta con una proyección interna, con varios pelos que se continúan en la parte basal de la espada, con una espina sobre su cara anterior; y con una proyección externa con 2 pelos. Edeago (Fig. 53): vejiga con 2 grandes lóbulos con espinas, los que presentan escleritos de sujeción que parten del reservorio eyaculatorio.

Distribución.- Islas Bahamas, Islas Caimán, Cuba, Guadeloupe, Haití, Puerto Rico. **Primera cita.-** de Guadeloupe.

Discusión.- Barber (1954_b) describe a *P. vicarius* basándose sobre 2 hembras; en la discusión de la especie plantea que “...*P. varius* (*sic*) is quite closely related to *intermedius* Barber, but is considerably larger and relatively wider...”. Dado que las hembras son generalmente de mayor tamaño que los machos, y que en especies en las que se cuenta con abundante material se observa diversidad de tamaño de iguales o mayores proporciones, y que este es el único carácter para distinguir estas 2 especies, se considera aquí a *N. vicaria* sinónimo junior de *N. intermedia*.

Material examinado

Material tipo.- Holotipo: ♂, *Orthaea ferruginosa* Barber 1923, Mayaguez P. R., 24/29-VII-1914 (AMNH). **Holotipo:** ♀, *Pachybrachius vicarius* Barber 1954, Sierra de los Órganos, al sur de R. Mundito, Feb. 17/46. J. Acuña y J. Ferrás colectores (NMNH).

Otro material examinado.-

Islas Caimán: 1 ♂, 19°30'N 81°38'O, 30-IV-1938, G. B. Lewis & G. H. Thompson, trampa de luz, *Pachybrachius intermedius* det. G. G. E. Scudder 1957 (NHM). **Puerto Rico:** 3 ♂♂, 1 ♀, Carib Nt. For., Luquillo, Div. El Yunque Rec. Ar., 18°18'N 65°47'O, 26-V-1986, E. G. Riley & D. A. Rider, trampa de luz de mercurio y luz negra, *Neopamera intermedia* (Barber) det. P. D. Ashlock 1987 (SEM-UKANS). **Guadeloupe:** 1 ♀, Rue des Mamelles, 4-II-1969, C. W. & L. B. O'Brien, Ashlock coll. Bequest (SEM-UKANS).

Gen.C, género nuevo

Especie tipo.- *Rhyparochromus (Plociomerus) brachialis* Stål 1858

Especies incluidas.-

Gen.C brachialis (Stål 1858) **(n. comb.)**

Gen.C n.sp1, especie nueva

Gen.C n.sp2, especie nueva

Gen.C n.sp3, especie nueva

Gen.C n.sp4, especie nueva

Descripción.- Cuerpo alargado, pruinoso. Cabeza no inclinada hacia adelante, con un incipiente cuello (Fig. 54). Yugo redondeado, sin un reborde desarrollado. Unión de las búculas en forma de “V”, cerca de la inserción del labio. Ojos compuestos redondeados, no interrumpen el perfil de la cabeza en vista lateral. Segmento antenal IV fusiforme. Pronoto (Fig. 54): collar delimitado posteriormente por un surco; lóbulo anterior con puntos suaves; márgenes laterales de ambos lóbulos redondeados. Clavo con más de 3 hileras de puntos. Margen corial liso o aserrado. Exocorio con puntos grandes, conspicuos, a una distancia del margen corial en el tercio posterior no mayor que el ancho de 3 puntos. Mesoepímero emergente, área evaporatoria extensa. Procoxas con una espina en ambos sexos; protrocánteres inermes; profémures (Fig. 55) engrosados y con 2 hileras de espinas sobre su cara interna; tibias anteriores de los machos con o sin espinas. Mesofémures inermes. Meso- y metatibias con pelos espiniformes. Margen anterior del esterno abdominal II no estriado. Abdomen con abundante pilosidad plateada corta y decumbente, y con pelos semierectos, de mayor longitud ventralmente. *Genitalia*: Vejiga con 2 grandes lóbulos laterales, con escleritos de sujeción reducidos a su base; reservorio eyaculatorio reducido; conjuntiva sin espinas.

Discusión.- Las especies de *Gen.C* presentan una cabeza alargada, no inclinada hacia delante, lo cual recuerda a las especies del género *Heraeus*;

sin embargo un carácter diagnóstico de *Heraeus* es el peculiar collar pronotal que se prolonga hacia adelante ventralmente, carácter ausente en las especies de *Gen.C*. El edeago de las especies de *Gen.C* presenta 2 grandes lóbulos en la vejiga con escleritos de sujeción reducidos a su base y un reservorio eyaculatorio reducido (Figs. 60, 64, 68, 72 y 76). La especie de *Heraeus*, en cambio, presentan escleritos de sujeción robustos y un par de lóbulos laterales con pequeñas espinas (se realizaron disecciones de los *genitalia* de *H. coquilletti*, *H. eximius* y *H. plebejus*). Asimismo los machos de las especies de *Heraeus* presentan fémures notablemente más desarrollados que las hembras, en tanto que las especies de *Gen.C* exhiben fémures de similar desarrollo en ambos sexos.

No todas las especies actualmente ubicadas en *Heraeus* presentan los caracteres antes citados para el género, por lo que su situación taxonómica debe ser revisada.

Gen.C brachialis presenta 4 espinas alineadas sobre la cara interna de las protibias de los machos, con la espina proximal de mayor tamaño.

Se describen 4 nuevas especies que son ubicadas en este nuevo género, sobre la base del grado de elongación de la cabeza, el punteado del hemiélitro, y caracteres de los *genitalia* masculinos. Esto provoca que la presencia/ ausencia de espinas en las tibias anteriores de los machos y un margen corial aserrado (presente en *Gen.C n.sp2*) deban ser consideradas variantes intragenéricas.

Clave para la identificación de las especies de *Gen.C*

- 1 – Protibias de los machos con una hilera de espinas y con la espina proximal mucho mayor que las demás, alas del reservorio eyaculatorio muy reducidas (Fig. 60) 2
- 1´- Protibias de los machos inermes o con una hilera de espinas de similar tamaño, alas del reservorio eyaculatorio de distinto grado de desarrollo, nunca muy reducidas (Fig. 68, 72, 76) 3
- 2 – Segmento antenal IV con una banda clara conspicua; meso- y metafémures con una franja distal castaña oscura (Figs. 159,160) .. *brachialis*

- 2' - Segmento antenal IV de coloración uniforme o con una banda clara difusa; cuarto distal de meso- y metafémures más oscuros, pero sin una conspicua franja (Figs. 161,162) *n.sp1*
- 3 - Margen corial externo con la mitad anterior aserrada. Pigóforo: margen anterior de la abertura dorsal levemente cóncava; proyecciones internas sin espina anterior (Fig. 66 a) *n.sp2*
- 3' - Margen corial externo liso. Pigóforo: margen anterior de la abertura dorsal levemente cóncava o redondeada; proyecciones internas con una espina anterior (Figs. 70 a, 74 a) 4
- 4 - Fémures moteados. Pigóforo: margen anterior de la abertura dorsal redondeado (Figs. 70 a) *n.sp.3*
- 4' - Fémures de coloración uniforme, castaños a castaños claros. Pigóforo: margen anterior de la abertura dorsal levemente cóncavo (Fig. 74 a) *n.sp4*

Gen.C *brachialis* (Stål 1858), nueva combinación

(Figs. 54-60, 159-160, mapa 5, 8)

Rhyparochromus (Plociomerus) brachialis Stål 1858: 39-40

Plociomerus brachialis: Walker 1872: 119

Pamera brachialis: Stål 1874: 150; Lethierry & Severin 1894: 192

Pachybrachius brachialis: Slater, 1964: 1117

Neopamera brachialis: Harrington 1980: 107; Slater, 1995: 151

Redescripción.- (n= 20) Longitud total: 5.76-7.09 (media 6.53). Cabeza castaña a castaña oscura con tonos rojizos, clipeo castaño; con abundante pilosidad plateada, corta y decumbente hacia adelante; dorsalmente presenta además pelos de mayor longitud, semierectos y esparcidos. Longitud de la cabeza: 1.13-1.42 (media 1.30). Longitud base de la antena-ápice del clipeo: 0.53-0.67 (media 0.61). Distancia postocular: 0.25-0.28 (media 0.27). Ancho de la cabeza: 1.08-1.20 (media 1.14). Tubérculos anteníferos levemente divergentes. Ojos compuestos levemente ovales, con algunos pelos entre los ommatidios. Espacio interocular: 0.53-0.62 (media 0.59). Ocelos ubicados por detrás de una línea imaginaria que pasa por el

límite posterior de los ojos compuestos (Fig. 54, 57), más cerca de estos que del margen anterior del pronoto. Espacio interocelar: 0.30-0.33 (media 0.32). Rostro castaño de color no uniforme; ápice del segmento IV castaño oscuro; con pelos erectos esparcidos. Con el rostro en reposo el segmento IV se dispone sobre el mesoesternito, pudiendo alcanzar las mesocoxas en algunos ejemplares. Proporción de la longitud de los segmentos del rostro: 1: 1.13: 0.88: 0.64. Antenas largas; segmentos I, II, y 2/3 basales del segmento III castaños claros, resto del segmento III y el segmento IV un poco más oscuros, este último presenta una banda amarillenta que abarca la mitad o más de la longitud del segmento; con abundante pilosidad corta decumbente y pelos erectos esparcidos. Proporción de la longitud de los segmentos de la antena: 1: 1.98: 1.59: 1.86.

Collar y lóbulo anterior del pronoto castaños oscuros; lóbulo posterior irregularmente manchado con tonos castaños, con los márgenes laterales y los ángulos posterolaterales generalmente castaños claros, en algunos ejemplares se distinguen 4 bandas irregulares longitudinales castañas claras. Pronoto piloso, con pilosidad corta y decumbente, y con algunos pelos largos y erectos sobre el lóbulo anterior, el cual está más desarrollado en la mayoría de los machos. Longitud del collar, lóbulo anterior y lóbulo posterior: 0.12-0.15 (media 0.14); 0.75-1.02 (media 0.87); 0.52-0.67 (media 0.60) respectivamente. Ancho del collar, lóbulo anterior y lóbulo posterior: 0.70-0.80 (media 0.76); 1.17-1.33 (media 1.24); 1.67-1.88 (media 1.78) respectivamente. Escutelo castaño a castaño oscuro; punteado; con pilosidad corta y decumbente y con pelos largos y erectos como los del lóbulo pronotal anterior; con una carena en forma de "Y" levemente abultada en el centro y una angosta franja longitudinal media sin puntos ni pelos. Hemiélitro con pilosidad muy corta decumbente. Clavo con 3 hileras completas de puntos y una parcial sobre la mitad distal, entre la hilera media y la interna; castaño de color no uniforme, ápice castaño claro. Margen externo del corio levemente cóncavo. Corio castaño de color no uniforme, con la mitad anterior de los márgenes laterales y con una mácula subapical castañas claras. Membrana castaña, irregularmente manchada. En algunos ejemplares el hemiélitro no cubre completamente el abdomen,

dejando expuesto dorsalmente parte del segmento VII. Pleuras castañas oscuras, áreas acetabulares y metaepímero más claros, este último presenta tonos rojizos en algunos ejemplares; punteadas y pilosas, con abundante pilosidad plateada, corta y decumbente. Detalle del área evaporatoria en la figura 56.

Cara interna de las protibias con numerosos tubérculos muy pequeños sobre toda su longitud; además los machos presentan 4 espinas o tubérculos, en las que se inserta un pelo, aproximadamente equidistantes sobre la mitad distal, la primera de estas es de mayor tamaño. Coxas castañas oscuras con tonos rojizos, demás segmentos con zonas castañas oscuras como sigue: una ancha banda sobre los profémures, que ocupa $2/3$ de su longitud; en algunos ejemplares los profémures son moteados en distinto grado y la franja está menos definida; ápice y una franja distal sobre meso- y metafémures y el ápice de las tibias; el resto de las patas es castaño claro con pretarsos y una angosta franja proximal sobre meso- y metatibias más oscuros. Patas con pelos decumbentes, más abundantes sobre la porción distal de las tibias y sobre los tarsos, y con pelos semierectos esparcidos.

Abdomen castaño a castaño oscuro, de color no uniforme. Longitud abdominal: 3.07-3.60 (media 3.23). Ancho abdominal: 1.62-1.93 (media 1.71). Pigóforo (Fig. 58): margen anterior de la abertura dorsal redondeado; proyecciones internas subtriangulares. En vista lateral: margen dorsal levemente inclinado hacia atrás; con 2 suaves protuberancias basales posteriores. Parámetros (Fig. 59): espada corta y débilmente curvada; asta con una proyección interna con pelos que se continúan en la parte basal de la espada, y con una proyección externa con 3 pelos. Edeago (Fig. 60) desprovisto de espinas; vejiga con 2 grandes lóbulos irregularmente esclerotizados; reservorio eyaculatorio con alas muy pequeñas, vejiga y porción superior de la conjuntiva débilmente esclerotizadas.

Distribución.- Argentina, Brasil. **Primera cita.-** de la Argentina.

Comentarios.- Los machos suelen presentar un mayor desarrollo del lóbulo anterior del pronoto, en estos el rostro, en posición de reposo, llega al límite

anterior del mesoesternito, mientras que en los machos de menor desarrollo pronotal, y en las hembras, el rostro puede alcanzar a las mesocoxas.

Material examinado

Material tipo.- Lectotipo: ♀, Brazil, designado por G. G. E. Scudder (1977:30) (SMNH).

Otro material examinado.-

Argentina: BUENOS AIRES.- 1 ♂, 2 ♀♀, Punta Lara, 34°49'S 57°59'O, VI-2002, D. L. Carpintero (MLP); 4 ♂♂, 2 ♀♀, Est. Pereyra, La Plata, 34°58'S 57°53'O, 9-XI-2000, P. M. Dellapé (MLP); 1 ♀, Tandil, 37°14'S 59°13'O, 22/24-XI-2002, D. L. Carpintero (MLP); 1 ♀, Delta del Paraná, 6-I-1948, A. O. Bachmann (MACN); 1 ♂, Zelaya, 34°21'S 58°52'O, VII-1935, Pereyra (MACN); 1 ♀, Isla Martín García, 14/19-III-1932, M. J. Viana (MACN); 1 ♂, Pereyra, 34°50'S 58°06'O, X-1962, D. L. Carpintero (CDC); 2 ♂♂, 2 ♀♀, Dique Luján, VI-1938, J. Viana (CDC); 1 ♂, 1 ♀, 1 ninfa, Mar del Plata, Lag. de los Padres, 37°56'S 57°34'O, VI-2000, A. Cicchino (CDC), 1 ♂, 2 ♀♀, VII-2000, A. Cicchino, trampa de caída (CDC), 2 ♂♂, 1 ♀, 3 ninfas, V-2001, A. Cicchino, trampa de caída (CDC); 2 ♂♂, 2 ♀♀, Villa Tesei, 1999, D. L. Carpintero, trampa de luz (CDC). CÓRDOBA.- 1 ♂, La Paz (Dep. de San Javier), 24°S 64°59'O, 1/20-I-1929, C. Bruch (MACN). ENTRE RÍOS.- 1 ♂, 15-II-1948 (MACN); 1 ♂, Concordia, 31°24'S 58°01'O, 1938, Hayward (MACN); 2 ♀♀, Delta, río Chaná, 19-I-1919, E. E. Blanchard (MACN). JUJUY.- 1 ♂, 1 ♀, 1 ninfa, Las Capillas, 24°01'S 64°59'O, XII-1988, D. L. Carpintero (CDC). MISIONES.- 1 ♂, Pto. Piray Km 18, 18-IX-1951, A. Rivas (MACN); 1 ♂, Arroyo Uruguái Km 30, Iguazú, 27°34'S 54°34'O, X-1954, R. N. Orfila (MACN). **Brasil:** SANTA CATARINA.- 1 ♂, 1 ♀, Nova Teutonia, V-1948, Fritz Plaumann (MZUSP).

Gen.C n.sp1, especie nueva

(Figs. 61-64, 161-162, mapa 5, 8)

Descripción- del *Holotipo macho*: Longitud total: 5.89. Cabeza castaña oscura con tonos rojizos, clipeo castaño; con abundante pilosidad plateada,

corta y decumbente hacia adelante; dorsalmente presenta además pelos de mayor longitud, semierectos y esparcidos. Longitud de la cabeza: 1.15. Longitud base de la antena-ápice del clipeo: 0.53. Distancia postocular: 0.17. Ancho de la cabeza: 1.08. Tubérculos anteníferos levemente divergentes. Ojos compuestos redondeados, con algunos pelos entre los ommatidios. Espacio interocular: 0.53. Ocelos ubicados a la altura de una línea imaginaria que pasa por el límite posterior de los ojos compuestos (Fig. 61), más cerca de estos que del margen anterior del pronoto. Espacio interocelar: 0.30. Rostro castaño de color no uniforme, segmentos II y III más claros, ápice del segmento IV castaño oscuro; con pelos erectos esparcidos. Con el rostro en reposo el segmento IV se dispone sobre el mesoesternito. Proporción de la longitud de los segmentos del rostro: 1: 1.08: 0.76: 0.53. Antenas largas, filiformes; castañas, el segmento IV presenta una banda más clara con tonalidad rojiza; con abundante pilosidad corta decumbente, y pelos erectos esparcidos. Proporción de la longitud de los segmentos de la antena: 1: 1.98: 1.67: 2.08.

Collar y lóbulo anterior del pronoto castaños oscuros; lóbulo posterior irregularmente manchado con tonos castaños, con 4 bandas irregulares longitudinales, y los ángulos posterolaterales castaños claros. Con pilosidad corta y decumbente, y con pelos largos, erectos, sobre el lóbulo anterior. Longitud del collar, lóbulo anterior y lóbulo posterior: 0.13; 0.88; 0.50 respectivamente. Ancho del collar, lóbulo anterior y lóbulo posterior: 0.73; 1.15; 1.67 respectivamente. Escutelo castaño; punteado; con pilosidad corta y decumbente y con pelos largos y erectos como los del lóbulo pronotal anterior; con una carena en forma de "Y" levemente abultada en el centro. Hemiélitro con pilosidad muy corta decumbente. Clavo con 3 hileras completas de puntos y una parcial sobre los 4/5 distales, entre la hilera media y la interna, y con algunos puntos adicionales sobre la mitad distal, que esbozan una 5ª hilera; castaño de color no uniforme. Margen externo del corio levemente cóncavo. Corio castaño de color no uniforme, márgenes laterales castaños claros, que se ensanchan formando una pequeña mácula subapical. Membrana castaña de color no uniforme, venas claras. En algunos ejemplares el hemiélitro no cubre completamente el abdomen

dejando expuesto dorsalmente parte del segmento VII. Pleuras castañas oscuras, áreas acetabulares y metaepímero castaños; punteadas y pilosas, con abundante pilosidad plateada, corta y decumbente. Cara interna de las protibias con numerosos tubérculos muy pequeños sobre toda su longitud; los machos presentan además tubérculos portando pelos espiniformes sobre la mitad distal; el primer tubérculo es más grande y el pelo más robusto. Coxas castañas oscuras con tonos rojizos, profémures con una ancha banda castaña que ocupa $2/3$ de su longitud; en algunos ejemplares los profémures son moteados en distinto grado y la franja está menos definida, el resto de las patas es castaño claro, con el $1/4$ distal de meso- y metafémures y pretarsos más oscuros. Patas con pelos decumbentes más abundantes sobre la porción distal de las tibias y sobre los tarsos, y con pelos semierectos esparcidos.

Abdomen castaño de color no uniforme. Longitud abdominal: 2.93. Ancho abdominal: 1.75. Pigóforo (Fig. 62): margen anterior de la abertura dorsal redondeado; proyecciones internas subtriangulares. En vista lateral: margen dorsal levemente inclinado hacia atrás; con 2 suaves protuberancias basales posteriores. Parámetros (Fig. 63): espada corta y débilmente curvada; asta con una proyección interna con pelos que se continúan en la parte basal de la espada, y con una proyección externa con 3 pelos. Vejiga del edeago (Fig. 64) con 2 grandes lóbulos irregularmente esclerotizados; reservorio eyaculatorio con alas reducidas, vejiga y porción superior de la conjuntiva débilmente esclerotizadas.

Paratipos: (n= 20) Longitud total: 5.76-7.09 (media 6.55). Longitud de la cabeza: 1.07-1.27 (media 1.18). Longitud base de la antena-ápice del clipeo: 0.48-0.62 (media 0.55). Distancia postocular: 0.15-0.18 (media 0.17). Ancho de la cabeza: 1.08-1.20 (media 1.14). Espacio interocular: 0.50-0.62 (media 0.55). Espacio interocelar: 0.28-0.33 (media 0.30). Proporción de la longitud de los segmentos del rostro: 1: 1.05: 0.77: 0.58. Proporción de la longitud de los segmentos de la antena: 1: 2.04: 1.66: 2.09. Longitud del collar, lóbulo anterior y lóbulo posterior: 0.12-0.17 (media 0.14); 0.75-1.00 (media 0.88); 0.47-0.68 (media 0.60) respectivamente. Ancho del collar, lóbulo anterior y

lóbulo posterior: 0.68-0.87 (media 0.80); 1.08-1.40 (media 1.29); 1.58-2.10 (media 1.91) respectivamente. Longitud abdominal: 2.87-3.54 (media 3.23). Ancho abdominal: 1.37-2.00 (media 1.77).

Distribución.- Argentina

Comentarios.- Las protibias de las hembras sólo presentan tubérculos muy pequeños. Algunos ejemplares presentan una coloración general más oscura, con el pronoto, pleuras y abdomen castaños oscuros. Otros ejemplares presentan una banda clara bien definida sobre el IV segmento antenal, particularmente estos últimos pueden ser fácilmente confundidos con *Gen.C brachialis*. Dada la gran semejanza externa y de los *genitalia* masculinos con *G. brachialis*, la separación en una nueva especie es discutida.

Ambas especies son simpátridas en gran parte de su distribución geográfica conocida (mapa 5). En las áreas de simpatria se han colectado individuos asignables a una u otra especie, nunca mezclados, machos y hembras, y en distintas épocas del año.

Gen.C n.sp1 puede distinguirse de *Gen.C brachialis* por la coloración de las patas (*Gen.C brachialis* presenta los meso y metafémures con una banda subapical castaña oscura contrastando con la coloración más clara del resto de los fémures, en tanto que *Gen.C n.sp1*, presenta los meso y metafémures más oscuros en el tercio distal), por la pilosidad del pronoto (*Gen.C n.sp1* tiene pelos largos y erectos sobre el pronoto en mayor cantidad) y por tener una cabeza menos elongada con una distancia postocular menor que *Gen.C brachialis*.

Material tipo.- Holotipo: ♂, Argentina, Entre Ríos, Colón (32°13'S 58°08'O), Ruinas del viejo molino, 06-II-2003, Grandinetti-Cichino, trampa de luz (MLP).

Paratipos: 1 ♀, Argentina, Buenos Aires, delta del Paraná, Arroyo Antequera, 3-III-1946, Bohmerwald (MACN); 1 ♂, Argentina, Buenos Aires, Punta Indio (35°16'S 57°57'O) (MACN); 1 ♀, Argentina, Buenos Aires, Tigre (34°25'S 58°34'S) (MACN); 2 ♂♂, 2 ♀♀, Argentina, Buenos Aires (MACN); 1 ♀,

Argentina, Buenos Aires, San Nicolás (34°36´S 57°57´O), 1949, Sonia Rivas (MACN); 1 ♂, Argentina, Buenos Aires, Bella Vista (33°14´S 59°53´O), XII-1950, M. Gallardo (MACN); 1 ♂, Argentina, Buenos Aires, Bella Vista (33°14´S 59°53´O), (MACN); 2 ♀♀, Argentina, Buenos Aires, 8-II-1936, S. Venturi (MACN); 3 ♂♂, 1 ♀, Argentina, Buenos Aires, City Bell, 13-II-2002, P. M. Dellapé (MLP); 1 ♀, Argentina, Buenos Aires, La Plata (34°58´S 57°53´O), X-2002, C. Melo (MLP); 1 ♀, Argentina, Buenos Aires, Quilmes, (34°44´S 58°16´O), I-2002, D. L. Carpintero, trampa de luz (CDC); 2 ♂♂, 7 ♀♀, Argentina, Buenos Aires, Verónica, (35°39´O 57°34´S), XII-1998, D. L. Carpintero, trampa de luz (CDC); 1 ♀, Argentina, Buenos Aires, Berisso, XII-1987, D. L. Carpintero (CDC); 1 ♂, Argentina, Buenos Aires, Dique Luján, VI-1938, Viana (CDC); 1 ♀, Argentina, Buenos Aires, Punta Piedras, XI-1998, D. L. Carpintero (CDC); 1 ♀, Argentina, Buenos Aires, San Pedro (33°40´S 59°41´O), X-2003, D. L. Carpintero (CDC); 1 ♂, 1 ♀, Argentina, Buenos Aires, Coronel Suárez, Villa Arcadia (37°08´S 61°55´O), III-2004, M. Ronderos, trampa de luz (MLP); 9 ♂♂, 10 ♀♀, Argentina, Entre Ríos, Riachuelo, Río Uruguay, 1930, A. Stevenin (MACN); 2 ♂♂, 5 ♀♀, Argentina, Entre Ríos, Colón, Ruinas del viejo molino (32°13´S 58°08´O), 06-II-2003, Grandinetti-Cichino, trampa de luz (MLP); 2 ♂♂, 1 ♀, Argentina, Entre Ríos, Colón, 2002, D. L. Carpintero (MLP); 3 ♀♀, Argentina, Entre Ríos, Brazo Largo (33°19´S 59°09´O), XII-1999, D. L. Carpintero (CDC); 1 ♂, Argentina, Santa Fe, Rosario de Santa Fe (32°56´S 60°38´O), A. Stevenin (MACN).

Gen. C n.sp2, especie nueva

(Figs. 65-68, 163, mapa 5)

Descripción.- del *Holotipo macho*: Longitud total: 6.46.

Cabeza castaña oscura, clipeo castaño; con abundante pilosidad plateada, corta y decumbente hacia adelante; dorsalmente presenta además pelos de mayor longitud, semierectos y esparcidos. Longitud de la cabeza: 1.17. Longitud base de la antena-ápice del clipeo: 0.58. Distancia postocular: 0.20. Ancho de la cabeza: 1.08. Tubérculos anteníferos levemente divergentes. Ojos compuestos levemente ovales. Espacio interocular: 0.55.

Ocelos ubicados por detrás de una línea imaginaria que pasa por el límite posterior de los ojos compuestos (Fig. 65), más cerca de estos que del margen anterior del pronoto. Espacio interocelar: 0.30. Rostro castaño claro de color no uniforme, ápice del segmento IV castaño oscuro; con pelos erectos esparcidos. Con el rostro en reposo el segmento IV se dispone sobre el mesoesternito alcanzando las mesocoxas. Proporción de la longitud de los segmentos del rostro: 1: 1.02: 0.91: 0.56. Antenas largas; segmentos I, II, y 2/3 basales del segmento III castaños claros, resto del segmento III y el segmento IV un poco más oscuros, este último presenta una banda basal amarillenta que abarca aproximadamente la mitad de la longitud del segmento; con abundante pilosidad corta y decumbente. Proporción de la longitud de los segmentos de la antena: 1: 2.06: 1.90: 2.21.

Collar y lóbulo anterior del pronoto castaños oscuros; lóbulo posterior irregularmente manchado con tonos castaños, con 4 bandas irregulares longitudinales castañas claras. Piloso, con pilosidad corta y decumbente, y con pelos largos erectos sobre el lóbulo anterior. Longitud del collar, lóbulo anterior y lóbulo posterior: 0.10; 0.62; 0.60 respectivamente. Ancho del collar, lóbulo anterior y lóbulo posterior: 0.72; 1.13; 1.75 respectivamente. Escutelo castaño oscuro; punteado; con pilosidad corta y decumbente y con pelos largos y erectos como los del lóbulo pronotal anterior. Hemiélitro castaño, con los $\frac{3}{4}$ anteriores del margen corial y una mácula subapical castaños claros; con pilosidad corta y decumbente. Clavo con 3 hileras completas de puntos y una parcial, con puntos desalineados, sobre los $\frac{3}{4}$ distales, entre la hilera media y la interna. Margen externo del corio levemente cóncavo con la mitad anterior aserrada. Membrana castaña de color no uniforme. Pleuras castañas oscuras, áreas acetabulares, proepímero y metaepímero más claro; punteadas y pilosas, con abundante pilosidad plateada, corta y decumbente. Coxas castañas oscuras con tonos rojizos (patas anteriores faltan, excepto las coxas); resto castaño claro, excepto una banda subapical sobre los mesofémures y el tercio apical de los metafémures, que son castaños. Patas con pelos decumbentes, más abundantes sobre la porción distal de las tibias y sobre los tarsos, y con pelos semierectos esparcidos.

Abdomen castaño. Longitud: 3.07. Ancho: 1.52. Pigóforo (Fig. 66): margen anterior de la abertura dorsal levemente cóncavo; proyecciones internas más dilatadas posteriormente. En vista lateral: margen dorsal no inclinado hacia atrás. Parámetros (Fig. 67): espada corta y débilmente curvada; asta con una proyección interna con pelos, que se continúan en la parte basal de la espada, y con una proyección externa con 4 pelos. Edeago según figura. 68.

Paratipos.- Patas anteriores: Profémures castaños oscuros excepto en los extremos, que son castaños claros; protibias y protarsos castaños claros. Profémures engrosados y con una doble hilera de espinas sobre su cara ventral; protibias con numerosos tubérculos sobre su superficie interna. Profémures con pelos semirectos.

Medidas de los paratipos.- (n= 2) Longitud total: 6.33-6.84. Longitud de la cabeza: 1.18-1.23. Longitud base de la antena-ápice del clipeo: 0.58-0.63. Distancia postocular: 0.19-0.22 (media 0.20). Ancho de la cabeza: 1.08-1.12. Espacio interocular: 0.53-0.55. Espacio interocelar: 0.28-0.30. Proporción de la longitud de los segmentos del rostro: 1: 1.16: 0.86: 0.58. Proporción de la longitud de los segmentos de la antena: 1: 2.02: 1.87: 2.24. Longitud del collar, lóbulo anterior y lóbulo posterior: 0.12; 0.62-0.65; 0.60-0.65 respectivamente. Ancho del collar, lóbulo anterior y lóbulo posterior: 0.75-0.78; 1.12-1.20; 1.72-1.87 respectivamente. Longitud abdominal: 3.17-3.50. Ancho abdominal: 1.60-1.87.

Distribución.- Brasil

Comentarios.- Esta especie es fácilmente reconocible por su margen corial aserrado.

Material tipo.- Holotipo: ♂ y **Paratipos:** 2 ♀♀, Brasil, Matto Grosso, Serra Caraça (12°21'S 51°O), 1390 m, XI-1961, Kloss, Lenko, Martins & Silva (MZUSP).

Gen. C n.sp3, especie nueva
(Figs. 69-72, 164, mapa 5, 8)

Descripción.- del *Holotipo macho*: Longitud total: 6.33. Cabeza castaña oscura, cípeo castaño; con abundante pilosidad plateada, corta y decumbente hacia adelante; dorsalmente presenta además pelos largos, erectos y esparcidos. Longitud de la cabeza: 1.17. Longitud base de la antena-ápice del cípeo: 0.55. Distancia postocular: 0.23. Ancho de la cabeza: 1.05. Tubérculos anteníferos levemente divergentes. Ojos compuestos levemente ovales, con algunos pelos entre los ommatidios. Espacio interocular: 0.53. Ocelos ubicados por detrás de una línea imaginaria que pasa por el límite posterior de los ojos compuestos (Fig. 69), más cerca de estos que del margen anterior del pronoto. Espacio interocelar: 0.25. Rostro: segmentos I y II castaños claros, segmentos III y IV castaños; con pelos erectos esparcidos. Con el rostro en reposo el segmento IV se dispone sobre el mesoesternito. Proporción de la longitud de los segmentos del rostro: 1: 1.07: 0.82: 0.59. Antenas largas; castañas claras; con abundante pilosidad, segmentos II y III con pelos semierectos y erectos, segmento IV con pelos semierectos y abundante pilosidad corta y decumbente. Proporción de la longitud de los segmentos de la antena: 1: 1.93: 1.50: 1.82.

Collar y lóbulo anterior del pronoto castaños, lóbulo posterior irregularmente manchado con tonos castaños claros, con los ángulos posterolaterales más oscuros. Piloso, con pilosidad corta y decumbente, y con pelos largos, erectos, sobre el lóbulo anterior. Longitud del collar, lóbulo anterior y lóbulo posterior: 0.12; 0.58; 0.60 respectivamente. Ancho del collar, lóbulo anterior y lóbulo posterior: 0.72; 1.08; 1.78 respectivamente. Escutelo castaño; punteado; con pilosidad corta decumbente, y con pelos largos y erectos como los del lóbulo pronotal anterior. Hemiélitro castaño claro, ápice del corio más oscuro; con pilosidad corta decumbente. Clavo con 3 hileras completas de puntos y una parcial sobre la mitad distal, entre la hilera media y la interna. Margen externo del corio levemente cóncavo. Membrana castaña, de color no uniforme. Pleuras castañas oscuras, áreas acetabulares, proepímeron y metaepímero más claros; punteadas y pilosas, con abundante pilosidad

plateada, corta y decumbente. Cara interna de las protibias con numerosos tubérculos muy pequeños sobre toda su longitud. Coxas castañas oscuras con tonos rojizos; fémures, tibias y tarsos castaños claros; fémures moteados. Patas con pelos semierectos y erectos, más abundantes sobre la porción distal de las tibias y sobre los tarsos.

Abdomen castaño. Longitud abdominal: 3.34. Ancho abdominal: 1.68. Pigóforo (Fig. 70): margen anterior de la abertura dorsal redondeado; proyecciones internas con una espina anterior, más proyectadas atrás. En vista lateral: margen dorsal levemente inclinado hacia atrás. Parámetros (Fig. 71): espada afinándose gradualmente hacia el extremo, débilmente curvada; asta con una proyección interna con pelos, que se continúan en la parte basal de la espada, y con una proyección externa con 2 pelos largos. Edeago según figura 72.

Medidas de los paratipos.- (n= 5) Longitud total: 6.20-6.96 (media= 6.50). Longitud de la cabeza: 1.15-1.25 (media= 1.19). Longitud base de la antena-ápice del clipeo: 0.57-0.58 (media= 0.57). Distancia postocular: 0.21-0.25 (media 0.23). Ancho de la cabeza: 1.13-1.17 (media= 1.15). Espacio interocular: 0.53-0.58 (media= 0.55). Espacio interocelar: 0.26-0.30 (media= 0.28). Proporción de la longitud de los segmentos del rostro: 1: 1.08: 0.83: 0.61. Proporción de la longitud de los segmentos de la antena: 1: 2.05: 1.61: 1.90. Longitud del collar, lóbulo anterior y lóbulo posterior: 0.12-0.15 (media= 0.13); 0.60-0.63 (media= 0.61); 0.55-0.67 (media= 0.61) respectivamente. Ancho del collar, lóbulo anterior y lóbulo posterior: 0.68-0.80 (media= 0.73); 1.05-1.25 (media= 1.13); 1.63-1.98 (media= 1.80); respectivamente. Longitud abdominal: 3.35-3.90 (media= 3.62). Ancho abdominal: 1.03-1.70 (media= 1.36).

Distribución.- Argentina.

Comentarios.- Paratipos.- Hay ejemplares más oscuros en los que el collar y el lóbulo anterior del pronoto son castaños oscuros y el hemiélitro es castaño, destacándose los 2/3 anteriores del margen corial y una mácula

subapical castaños claros. Los fémures moteados permiten identificar fácilmente a los ejemplares de esta especie.

Material tipo.- Holotipo: ♂, Argentina, Entre Ríos, Parque Nacional El Palmar, 32°13'S 58°8'O, 16/18-XI-2001, M. C. Melo (MLP).

Paratipos: 1 ♂, 1 ♀, Argentina, Buenos Aires, Tandil, 37°14'S 59°13'O, III-2003, P. M. Dellapé, trampa de luz (MLP); 1 ♀, Argentina, Buenos Aires, Tandil, 22/24-XI-2002, D. L. Carpintero (MLP); 1 ♀, Argentina, Buenos Aires, Mar del Plata, laguna de los Padres (37°56'S 57°34'O), VIII-2000, A. Cicchino, trampa de caída (CDC); 1 ♂, Argentina, Entre Ríos, Colón (32°13'S 58°08'O), X-2002, D.L. Carpintero (MLP).

Gen. C n.sp4, especie nueva

(Figs. 73-76, 165, mapa 5)

Descripción.- del *Holotipo macho*: Longitud total: 6.96. Cabeza castaña con tonos rojizos; con abundante pilosidad plateada, corta y decumbente hacia adelante; dorsalmente presenta además pelos de mayor longitud, semierectos y esparcidos. Longitud de la cabeza: 1.27. Longitud base de la antena-ápice del clipeo: 0.60. Distancia postocular: 0.25. Ancho de la cabeza: 1.17. Tubérculos anteníferos levemente divergentes. Ojos compuestos levemente ovales. Espacio interocular: 0.57. Ocelos ubicados por detrás de una línea imaginaria que pasa por el límite posterior de los ojos compuestos (Fig. 73), más cerca de estos que del margen anterior del pronoto. Espacio interocelar: 0.32. Rostro castaño de color no uniforme, ápice del segmento IV castaño oscuro; con pelos erectos esparcidos. Con el rostro en reposo el segmento IV se dispone sobre el mesoesternito alcanzando las mesocoxas. Proporción de la longitud de los segmentos del rostro: 1: 1.12: 0.81: 0.58. Antenas con abundante pilosidad semierecta y pelos erectos esparcidos; segmento IV perdido. Proporción de la longitud de los segmentos de la antena: 1: 2.12: 1.78: -.

Collar y lóbulo anterior del pronoto castaños; lóbulo posterior castaño con 2 bandas irregulares longitudinales castañas claras. Piloso, con pilosidad corta

y decumbente, y con pelos largos erectos, más abundantes sobre el lóbulo anterior. Longitud del collar, lóbulo anterior y lóbulo posterior: 0.12; 0.77; 0.65 respectivamente. Ancho del collar, lóbulo anterior y lóbulo posterior: 0.75; 1.20; 1.95 respectivamente. Escutelo castaño; punteado; con pilosidad corta y decumbente, y con pelos largos y erectos como los del pronoto. Hemiélitro castaño, de color no uniforme; con pilosidad erecta y semierecta corta. Clavo con 3 hileras completas de puntos y una parcial sobre los $\frac{3}{4}$ distales, entre la hilera media y la interna. Margen externo del corio levemente cóncavo. Membrana castaña de color no uniforme. Pleuras castañas oscuras, áreas acetabulares, proepímeron y metaepímero más claros; punteadas y pilosas, con abundante pilosidad plateada, corta y decumbente. Profémures engrosados y con espinas solo sobre la mitad distal, hilera externa reducida a solo 3 pequeñas espinas. Cara interna de las protibias con numerosas espinas o tubérculos muy pequeños sobre toda su longitud. Coxas, profémures y $\frac{1}{3}$ distal de meso- y metafémures castaños, resto de las patas castaño claro. Patas con pelos erectos y semierectos, de mayor longitud sobre los profémures, más abundantes sobre la porción distal de las tibias y sobre los tarsos.

Abdomen castaño. Longitud: 3.67. Ancho: 1.93. Pigóforo (Fig. 74): margen anterior de la abertura dorsal levemente cóncavo; proyecciones internas con una espina anterior, más proyectadas atrás. En vista lateral: margen dorsal no inclinado hacia atrás. Parámetros (Fig. 75): espada afinándose gradualmente hacia el extremo, débilmente curvada; asta con una proyección interna con pelos, que se continúan en la parte basal de la espada y con una proyección externa con 4 pelos largos. Edeago según figura 76.

Medidas del paratipo ♂.- Longitud total: 6.65. Longitud de la cabeza: 1.25. Longitud base de la antena-ápice del clipeo: 0.60. Distancia postocular: 0.24. Ancho de la cabeza: 1.12. Espacio interocular: 0.57. Espacio interocelar: 0.32. Proporción de la longitud de los segmentos del rostro: 1: 1.04: 0.78: 0.56. Longitud del collar, lóbulo anterior y lóbulo posterior: 0.12;

0.68; 0.62 respectivamente. Ancho del collar, lóbulo anterior y lóbulo posterior: 0.72; 1.15; 1.78 respectivamente. Longitud abdominal: 3.40.

Distribución.- Brasil

Comentarios.- Caracteres de los *genitalia* masculinos, particularmente la morfología del pigóforo, relacionan a esta especie con *Gen.C n.sp3*; de la que puede ser fácilmente distinguida por la coloración de las patas.

Material tipo.- Holotipo: ♂, Brasil, São Paulo, Faz. Pau d'Alho Itu (20°41'S 47°54'O), XII-1963, U. Martins (MLP). **Paratipo:** ♂, Brasil, São Paulo, Barueri (23°31'S 46°53'O), 5-XII-1966, K. Lenko (MLP).

***Gen.D*, género nuevo**

Especie tipo.- *Pamera costalis* Stål 1874

Especies incluidas.-

Gen.D costalis (Stål 1874) (**n. comb.**)

Gen.D crassicornis (Stål 1874) (**n. comb.**)

Gen.D neotropicalis (Kirkaldy 1909) (**n. comb.**)

Gen.D serripes (Walker 1872) (**n. comb.**)

Gen.D tineodes (Burmeister 1835) (**n. comb.**)

Gen.D tuberculatus (Osborn 1904) (**n. comb.**)

Gen.D n.sp5

Gen.D n.sp6

Gen.D n.sp7

Gen.D n.sp8

Gen.D n.sp9

Gen.D n.sp10

Gen.D n.sp11

Gen.D n.sp12

Gen.D n.sp13

Gen.D n.sp14

Gen.D n.sp15

Descripción.- Cuerpo alargado, pruinoso, antenas y patas muy largas, macrópteros. Cabeza levemente inclinada hacia adelante. Yugo con un reborde bien desarrollado. Unión de las búculas en forma de “V”, cerca de la inserción del labio, a la altura del tubérculo antenífero. Ojos compuestos “altos” en la cabeza, a veces subpedunculados, que interrumpen el perfil dorsal de la cabeza en vista lateral. Segmento antenal IV fusiforme. Distancia interocelar menor que $\frac{1}{4}$ del ancho de la cabeza. Pronoto: collar delimitado posteriormente por un surco; lóbulo anterior con 2 zonas o “parches” irregulares, más o menos simétricos, desprovistos de pilosidad; collar y lóbulo anterior con puntos suaves, lóbulo posterior con puntos más profundos; márgenes laterales de ambos lóbulos redondeados. Clavo con más de 3 hileras de puntos. Margen corial aserrado. Exocorio con puntos poco notorios, generalmente a una distancia del margen corial, en el tercio posterior, de al menos el ancho de 4 puntos. Mesoepímero emergente. Área evaporatoria extensa. Procoxas con una espina en ambos sexos; fémures engrosados y con 2 hileras de espinas sobre su cara interna, de similar desarrollo en machos y hembras; protrocánteres inermes; tibias anteriores de los machos con o sin espinas; mesofémures con o sin espinas. Meso- y metatibias con pelos espiniformes. Margen anterior del esterno abdominal II no estriado; abdomen con abundante pilosidad plateada, corta y decumbente, y con pelos semierectos y de mayor longitud ventrales. *Genitalia:* muy variada, vejiga con lóbulos y con escleritos de sujeción reducidos a su base o sin lóbulos ni escleritos de sujeción, a veces con espinas. Alas del reservorio eyaculatorio con el extremo replegado hacia delante. Conjuntiva con o sin espinas. Alas del reservorio eyaculatorio con el extremo replegado hacia adelante.

Discusión.- Este género es creado para ubicar a 6 especies situadas hasta el presente trabajo de tesis en el género *Neopamera*: *Gen.D costalis* (Stål 1874), *Gen.D crassicornis* (Stål 1874), *Gen.D neotropicalis* (Kirkaldy 1909), *Gen.D serripes* (Walker 1872), *Gen.D tineodes* (Burmeister 1835), *Gen.D*

tuberculatus (Osborn 1904), y a 11 nuevas especies. Los caracteres que justifican la creación de este género son: ojos compuestos ubicados altos en la cabeza, que interrumpen el perfil de la cabeza en vista lateral; margen corial aserrado, y alas del reservorio eyaculatorio con el extremo replegado hacia adelante. Este nuevo género está relacionado al género *Orthaea*, el que está conformado por especies de tamaño grande (longitud total mayor que 7,5 mm), con una distancia interocelar menor que $\frac{1}{4}$ del ancho de la cabeza; cuyos machos presentan espinas en las protibias y los mesofémures, y edeagos desprovistos de escleritos de sujeción (Dellapé & Coscarón_b, en evaluación).

Las especies ubicadas en este nuevo género son muy similares entre sí externamente pero con *genitalia* masculinos claramente diferentes.

La diversidad evidenciada en caracteres relacionados con los *genitalia* sugieren que la aparición de espinas en la conjuntiva del edeago (grupo III) se produjo más de una vez en la evolución de las especies de la tribu, y que la presencia o ausencia de espinas sobre la conjuntiva es un carácter incierto para establecer las relaciones filogenéticas del grupo. Los ejemplares de Brasil de *G. costalis* presentan espinas en la conjuntiva, las que están ausentes en los ejemplares de *G. costalis* colectados en Guyana (Bartica y Demerara) (Fig.80).

Las espinas tendrían una función análoga a la de los escleritos de sujeción, y seguramente a la de los lóbulos laterales de la vejiga, esto es anclar el edeago en el atrio genital de la hembra en el momento de la cópula. En los edeagos de estas especies se observan distintas combinaciones de caracteres, desde edeagos sin lóbulos ni espinas hasta edeagos con ambas estructuras, e inclusive con lóbulos adicionales en la vejiga o conjuntiva.

La relación filogenética de las especies incluidas no está claramente definida en el presente análisis cladístico, cuyo objetivo, dada la naturaleza polifilética del género *Neopamera*, fue delimitar la correcta asignación genérica de sus especies. Para resolver la relación de este complejo taxón es necesario recurrir a otras fuentes de caracteres, que contribuyan a establecer las relaciones entre las especies ubicadas en este nuevo género.

Clave para la identificación de las especies de *Gen.D*

- 1 – Lóbulo anterior del pronoto con un tubérculo en cada parche (Figs. 172, 173) *Gen.D tuberculata*
- 1´ - Lóbulo anterior del pronoto sin tubérculos 2
- 2 – Lóbulo anterior del pronoto castaño brillante, con tonos rojizos, pleuras brillantes (Fig. 167) *Gen.D crassicornis*
- 2´ - Lóbulo anterior del pronoto opaco, pruinoso, pleuras opacas (Fig. 166, 168-171, 174-178) 3
- 3 – Mesofémures de los machos inermes 4
- 3´ - Mesofémures de los machos con espinas 8
- 4 – Protibias de los machos con una hilera de espinas (Figs. 98, 99, 170) 5
- 4´ - Protibias de los machos inermes 6
- 5 – Pronoto castaño oscuro; base de la membrana del hemiélitro más clara (Fig. 178); profémur más oscuro sobre la mitad distal; edeago sin lóbulos en la vejiga (Fig. 124) *Gen.D n.sp9*
- 5´ - Al menos el lóbulo posterior del pronoto con tonos castaños a castaños claros; membrana del hemiélitro castaña (Fig. 175); profémur castaño oscuro, con los extremos castaños claros; edeago: vejiga con un par de lóbulos con espinas en su extremo (Fig. 112) *Gen.D n.sp6*
- 6 – Membrana del hemiélitro con la región basal clara (Fig. 166); margen corial aserrado sobre los 5/6 anteriores aproximadamente; edeago: vejiga con 2 pares de lóbulos, el par posterior con espinas (Fig. 80) *Gen.D costalis*
- 6´ - Membrana del hemiélitro castaña (Figs. 168, 181); margen corial aserrado en la mitad anterior; edeago: vejiga con un solo par de lóbulos (Figs. 94, 136)..... 7
- 7 – Coloración general castaña; márgenes laterales del lóbulo posterior del pronoto castaño claro; ojos muy grandes; edeago: conjuntiva sin espinas (Fig. 94) *Gen.D neotropicalis*
- 7´ - Coloración general castaña oscura; lóbulo posterior del pronoto completamente castaño oscuro; ojos relativamente pequeños; edeago:

conjuntiva con numerosas espinas anteriormente, y con un par de lóbulos distales y laterales, que terminan en una gran espina (Fig. 136)	<i>Gen.D n.sp12</i>
8 – Ojos levemente pedunculados	9
8´- Ojos no pedunculados	10
9 – Lóbulo anterior del pronoto con pelos cortos y decumbentes, y pelos largos y erectos esparcidos. Pigóforo: margen anterior de la abertura dorsal cóncavo; proyecciones internas digitiformes (Fig. 146 a)	<i>Gen.D n.sp15</i>
9´- Lóbulo anterior del pronoto con pelos cortos y decumbentes, sin pelos largos y erectos esparcidos. Pigóforo: margen anterior de la abertura dorsal redondeado; proyecciones internas largas, más proyectadas atrás (Fig. 106 a)	<i>Gen.D n.sp5</i>
10 – El segmento IV del rostro se dispone entre las procoxas	11
10´- El segmento IV del rostro sobrepasa las procoxas	13
11 – Lóbulo anterior del pronoto con pelos cortos y decumbentes, y pelos largos y erectos esparcidos	12
11´ - Lóbulo anterior del pronoto con pelos cortos y decumbentes, sin pelos largos y erectos esparcidos (Fig. 183)	<i>Gen.D n.sp14</i>
12 – Lóbulo posterior del pronoto castaño, con los márgenes laterales y 4 bandas irregulares longitudinales castaños claros y con un par de máculas laterales castañas oscuras, anteriores a los ángulos posterolaterales fuertemente contrastantes (Fig. 182); edeago: conjuntiva con numerosas espinas hacia adelante y con 2 pares de lóbulos, uno lateral y otro posterior, con espinas en su extremo; vejiga corta, sin lóbulos ni espinas (Fig. 140)	<i>Gen.D n.sp13</i>
12´- Lóbulo posterior del pronoto castaño con los márgenes laterales y 4 máculas irregulares más claros, sin un par de máculas laterales castañas oscuras fuertemente contrastantes (Fig. 180); edeago: conjuntiva con numerosas espinas hacia adelante; vejiga con 2 lóbulos laterales débilmente esclerotizados, sin espinas (Fig. 132)	<i>Gen.D n.sp11</i>
13- Rostro muy largo, el segmento I sobrepasa el margen posterior de la cabeza, el segmento IV alcanza al abdomen	<i>Gen.D tineodes</i>
13´- El segmento IV del rostro se dispone sobre el mesoesternito	14

- 14 – Hemiélitro con pelos cortos y erectos *Gen.D n.sp8*
 14´ - Hemiélitro con pelos cortos y decumbentes 15
 15 – Lóbulo anterior del pronoto con pelos cortos y decumbentes, y pelos largos y erectos esparcidos 16
 15´ - Lóbulo anterior del pronoto con pelos cortos y decumbentes, sin pelos largos y erectos esparcidos *Gen.D n.sp7*
 16- Edeago: vejiga sin lóbulos (Fig. 128); apertura dorsal del pigóforo sin un par de pequeñas invaginaciones anterolaterales (Fig. 126) *Gen.D n.sp10*
 16´- Edeago: vejiga con 2 pares de lóbulos, el posterior con una hilera de espinas en su extremo (Fig. 84); apertura dorsal del pigóforo con un par de pequeñas invaginaciones anterolaterales (Fig. 82) *Gen.D serripes*

Gen.D costalis (Stål 1874), nueva combinación

(Figs. 77-80, 166, mapa 6, 8)

Pamera costalis Stål, 1874: 149; Lethierry & Severin, 1894: 192; Osborn, 1904: 201

Pachybrachius costalis: Slater, 1964: 1119

Neopamera costalis: Harrington, 1980: 107; Slater & O'Donnell, 1995: 151

Redescripción.- (n= 20) Longitud total: 7.03-8.99 (media 7.62). Cabeza castaña oscura, con abundante pilosidad plateada, corta y decumbente hacia adelante. Longitud de la cabeza: 1.38-1.60 (media 1.44). Longitud base de la antena-ápice del clipeo: 0.85-0.97 (media 0.91). Distancia postocular: 0.08-0.10 (media 0.08). Ancho de la cabeza: 1.42-1.62 (media 1.47). Tubérculos anteníferos levemente divergentes. Ojos compuestos (Fig. 77) longitudinalmente ovales, grandes. Espacio interocular: 0.70-0.87 (media 0.76). Ocelos ubicados por delante de una línea imaginaria que pasa por el límite posterior de los ojos compuestos, más cerca del margen anterior del pronoto que del ojo compuesto. Espacio interocelar: 0.27-0.38 (media 0.32). Rostro castaño a castaño claro, ápice del segmento IV castaño oscuro; con pelos erectos esparcidos. Con el rostro en reposo el segmento IV se dispone sobre el mesoesterno sin alcanzar las mesocoxas. Proporción de la longitud

de los segmentos del rostro: 1: 1.08: 0.98: 0.60. Antenas muy largas; segmentos I, II, y 2/3 basales del segmento III castaños claros, resto del segmento III y el segmento IV castaños, este último presenta una banda castaña clara de posición basal, de 2/5 de la longitud del segmento; con abundante pilosidad corta y decumbente; el segmento III se ensancha en el 1/3 distal y está provisto de pilosidad más gruesa y abundante. Proporción de la longitud de los segmentos de la antena: 1: 2.22: 2.09: 2.38.

Collar y lóbulo anterior del pronoto castaños oscuros, lóbulo posterior castaño, algunos ejemplares presentan 2 bandas longitudinales irregulares más claras sobre este último. Pronoto piloso, con pilosidad corta y decumbente, el lóbulo anterior presenta además pelos largos y erectos. Longitud del collar, lóbulo anterior y lóbulo posterior: 0.13-0.17 (media 0.16); 0.90-1.12 (media 1.00); 0.60-0.87 (media 0.65) respectivamente. Ancho del collar, lóbulo anterior y lóbulo posterior: 0.95-1.03 (media 0.98); 1.25-1.62 (media 1.40); 1.75-2.37 (media 1.99) respectivamente. Escutelo castaño, más claro hacia el ápice; punteado; con pilosidad corta y decumbente y con pelos largos y erectos esparcidos; con una carena en forma de "Y" abultada en el centro. Hemiélitro con pilosidad corta y decumbente. Clavo con 3 hileras completas de puntos y 2 parciales sobre los 2/3 distales entre la hilera media y la interna; castaño excepto el margen externo, ápice y 2/3 proximales entre la hilera media y externa de puntos, que son castaños claros. Margen externo del corio levemente cóncavo con los 5/6 proximales aserrados. Corio castaño excepto el extremo anterior, los márgenes laterales que se continúan en una mácula subapical con forma de "U" y una mácula alargada entre las 2 hileras internas de puntos, que son castaños claros. Membrana castaña de color no uniforme, con la región basal interna más clara. Pleuras castañas con tonos rojizos a castañas oscuras, áreas acetabulares y metaepímero más claros; punteadas y pilosas, con abundante pilosidad plateada, corta y decumbente. Cara interna de las protibias con numerosos tubérculos muy pequeños sobre toda su longitud, mesofémures inermes. Coxas castañas rojizas, protrocánteres castaños, resto de las patas castaño claro con el ápice de las tibias, mitad distal de meso- y metafémures generalmente más oscuros y con pequeñas máculas

más oscuras sobre los profémures. Patas con pelos decumbentes y erectos esparcidos, más abundantes sobre la porción distal de las tibias y sobre los tarsos. Abdomen castaño de color no uniforme. Longitud: 3.44-3.87 (media 3.70). Ancho: 1.45-1.90 (media 1.72). Pigóforo (Fig. 78): margen anterior de la abertura dorsal redondeado, con 2 pequeñas invaginaciones laterales redondeadas; proyecciones internas pequeñas, cortas y redondeadas. En vista lateral: margen dorsal inclinado hacia atrás; con 2 pequeñas protuberancias basales posteriores. Parámetros (Fig. 79): espada curvada; asta con una proyección interna amplia, con varios pelos, y con una espina esclerotizada anterior; proyección externa abultada, con varios pelos largos. Edeago (Fig. 80): Vejiga con 2 grandes lóbulos irregularmente esclerotizados, e inmediatamente por debajo y detrás de estos otros 2 lóbulos, coronados cada uno por 5 espinas, situados a la altura de la base del reservorio eyaculatorio; adicionalmente hay 4 o 5 espinas lateralmente, cerca de la base de los lóbulos. Conjuntiva sin espinas.

Distribución.- Brasil, Bolivia, Colombia, Costa Rica, Ecuador, Guyana, Panamá, Paraguay, Perú, Trinidad y Tobago, Venezuela. **Primera cita.-** de Brasil, Bolivia, Costa Rica, Ecuador, Panamá, Paraguay, Perú, Trinidad y Tobago, Venezuela.

Comentarios: Los ejemplares de Brasil (Barra do Tapirapé) presentan espinas sobre la conjuntiva dispuestas en hileras horizontales: 6 espinas en la parte anterior y 2 hileras de 6 y 8 espinas posteriormente; adicionalmente en la base de la vejiga presentan 2 pequeños lóbulos laterales coronados por 3 espinas cada uno.

Material examinado

Material tipo.- Lectotipo: ♀, *Pachybrachius costalis* Stål, Bogotá (10°24'N 75°17'O), designado por G. G. E. Scudder (1977: 31) (SMNH).

Paralectotipos: 3 ♂♂, 2 ♀♀, Bogotá (SMNH).

Otro material examinado.-

Brasil: AMAZONAS.- 1 ♂, 1 ♀, Tapuruquara, Río Negro, 26/27-XI-1962, J. Bechyné (MZUSP). GOIAS.- 1 ♀, Faz. Nova Orlandia, Jatal, I-1964, Martins, Morgante & Silva (MZUSP). MATO GROSSO.- 8 ♂♂, 2 ♀♀, Barra do Tapirapé, 14-XII-1964, B. Malkin (MZUSP). PARÁ.- 1 ♀, Marituba, Belém, VIII-1964, E. Dente (MZUSP); 3 ♂♂, 1 ♀, Coraci, 15 Km NO Canindé, Río Gurupí, IV-1963, B. Malkin (MZUSP); 1 ♂, 1 ♀, aldea Araçu, Gurupi, Igarapé, 50 Km E de Canindé, II-1966, Malkin (MZUSP); 1 ♂, Aldea Yavaruhu, (Igarapé Gurupí-Umá), 45 Km E de Canindé, XII-1964, B. Malkin (MZUSP); 1 ♀, Iragapé Assú, 1917, J. R. de la Torre Bueno coll. (SEM-UKANS). **Bolivia:** LA PAZ.- 1 ♀, Caranavi, 15°49'S 67°33'O, Yungas (MACN). **Costa Rica:** GUANACASTE.- 1 ♂, 9 mi. SE de Piedras Blancas, 10°26'N 85°40'O, VIII-1966, J. B. Karren (SEM-UKANS). PUNTARENAS.- 1 ♂, Rincón, Península de Osa, 08°42'N 83°29'O, 26-VI/4-VII-1968, C. L. Hogue (NHMLAC). **Ecuador:** NAPO.- 2 ♂♂, Limoncocha, 250 m, 00°24'S 76°40'O, 9/16-III-1976, G. E. Shewell (CNCI). **Guyana:** 1 ♂, 1 ♀, Bartica, 05°47'N 57°38'O, 20/30-III-1901, H. S. Parish, Osborn coll. (OSUC), 1 ♂, 27-IV-1901, H. S. Parish, Osborn coll. (OSUC), 1 ♀, 4-V-1901, H. S. Parish, Osborn coll. (OSUC); 1 ♀, rio Essequibo, 05°27'N 58°45'O, VII-1921, Busch (NMNH); 1 ♂, 3 ♀♀, Demerara, 06°20'N 58°13'O, 4-II-1901, R. J. Crew, E. P. Van Duzee coll. (CAS), 1 ♀, 4-XII-1901, R. J. Crew, E. P. Van Duzee coll. (CAS). **Panamá:** COLÓN.- 1 ♂, Ft. Gulick, zona del canal, 1/6-XI-1978, H. J. Harlan (OSUC); 2 ♂♂, 1 ♀, Portobelo, 09°32'N 79°39'O, 7-II-1930, T. O. Zschokke (CAS), 1 ♂, 1 ♀, 14-II-1930, T. O. Zschokke (CAS), 5 ♂♂, 3 ♀♀, 15-II-1930, T. O. Zschokke (CAS), 1 ♂, 1 ♀, 19-II-1930, T. O. Zschokke (CAS); 2 ♀♀, Tabernilla, zona del canal, 08°48'N 79°30'O, 31-VI-1907, Busch (NMNH); 1 ♂, Salud R., 9°12'N 80°10'O, 19-XI-1972, D. Engleman, Ashlock coll. (SEM-UKANS); 1 ♂, 2 ♀♀, Hidroeléctrica Río Indio, Cerro Azul, 08°57'N 79°34'O, 9-VI-1985, E. Riley & D. Rider (SEM-UKANS). PANAMÁ.- 1 ♂, Las Cumbres, 2-VI-1975, H. Wolda (SEM-UKANS); 1 ♂, Gatun, zona del canal, 2-VII-1974, C. W., L. B. O'Brien & G. B. Marshall (JSC). **Paraguay:** ITAPUA.- 1 ♂, Trinidad, 27°07'S 55°46'O, verano, B. Podtiaguin (JSC). **Perú:** HUÁNUCO.- 1 ♀, Tingo María, Monson Valley, 09°17'S 75°59'O, 9-X-1954, E. I. Schlinger & E. S. Ross (CAS), 2 ♂♂, 1 ♀, 12-X-1954, E. I. Schlinger & E. S. Ross (CAS), 1 ♂, 19-X-1954, E. I.

Schlinger & E. S. Ross (CAS), 1 ♂, 27-X-1954, E. I. Schlinger & E. S. Ross (CAS), 2 ♂♂, 1 ♀, 29-X-1954, E. I. Schlinger & E. S. Ross (CAS). UCAYALI.- 1 ♀, 24 km O Aguaytia, 18-VII-1968, C. W. & L. B. O'Brien (JSC). **Trinidad y Tobago:** 1 ♂, 7 km SO Maracas bay, 10°43'N 61°27'O, 2-II-1969, C. W. & L. B. O'Brien (SEM-UKANS); 3 ♀♀, St. George, Maracas Bay Village, 10°45'N 61°25'O, 21-III-1985, G. F. & J. F. Hevel, *Neopamera costalis* (Stål) det. R. M. Baranowsky 1998 (NMNH); 1 ♂, 1 ♀, Trinidad, 17-II-1961, N. Gopaul (CNCI); 5 ♂♂, 1 ♀, Arima-Blanchisseuse Rd., 12,3/4 mi. Post., 16-VIII-1975, R. M. Baranowski (JSC); 1 ♀, Simia, Arima Valley, 10°37'N 61°16'O, 5-II-1965, J. A. Slater & N. T. David, *Neopamera costalis* (Stål) det. Harrington 1981 (JSC); 1 ♀, Simia, 1/15-VII-1964, J. Maldonado Capriles, *Neopamera costalis* (Stål) det. Harrington 1981. (NMNH); 2 ♂♂, Maraval, 10°42'N 61°31'O, 9-XI-1921, W. Buthn, J. C. Lutz coll. 1961 (NMNH); 1 ♂, Port of Spain, 10°39'N 61°30'O, 1950, B. J. Crew & H. G. Barber (NMNH); 6 ♂♂, 4 ♀♀, Chipman (2 ♂♂ con etiq. E. P. Van Duzee coll.) (CAS). **Venezuela:** 1 ♂, 1940, Pablo J. Anduze (NMNH); SUCRE.- 1 ♂, Miraflores, VI-1954, D. Carpintero (CDC).

Gen.D serripes (Walker 1872), nueva combinación

(Figs. 81-84, 169-170, mapa 6)

Rhyparochromus serripes Walker, 1872: 92; Lethierry & Severin, 1894: 234; Distant, 1901: 510; Slater, 1964: 1289

Pachybrachius serripes: Scudder, 1970: 102

Neopamera serripes: Harrington, 1980: 107; Slater & O'Donnell, 1995: 151

Redescripción del neotipo ♂.- Longitud total: 10.13. Cabeza castaña oscura con tonos rojizos sobre cípeo, yugo y tubérculos anteníferos, con abundante pilosidad plateada, corta y decumbente hacia adelante. Longitud de la cabeza: 1.83. Longitud base de la antena-ápice del cípeo: 1.00. Distancia postocular: 0.09. Ancho de la cabeza: 1.55. Tubérculos anteníferos levemente divergentes. Ojos compuestos longitudinalmente ovales, grandes (Fig. 81). Espacio interocular: 0.77. Ocelos ubicados por detrás de una línea

imaginaria que pasa por el límite posterior de los ojos compuestos, más cerca del ojo compuesto que del margen anterior del pronoto. Espacio interocelar: 0.27. Rostro castaño claro, ápice del segmento IV castaño oscuro; con pelos erectos esparcidos. Con el rostro en reposo el segmento IV se dispone sobre el mesoesternito sin alcanzar las mesocoxas. Proporción de la longitud de los segmentos del rostro: 1: 1.30: 1.26: 0.60. Antenas muy largas; segmentos I, II, y 2/3 basales del segmento III castaños claros, ápice del segmento II rojizo, resto del segmento III castaño con tonos rojizos, segmento IV castaño, con una banda castaña muy clara de posición basal, de 2/5 de la longitud del segmento; con abundante pilosidad corta y decumbente; el segmento III se ensancha en el 1/3 distal y está provisto de pilosidad más gruesa y abundante. Proporción de la longitud de los segmentos de la antena: 1: 2.24: 1.90: 1.84.

Collar y lóbulo anterior del pronoto castaños oscuros, lóbulo posterior castaño. Pronoto piloso, con pilosidad corta y decumbente, y con algunos pelos largos y erectos sobre el lóbulo anterior. Longitud del collar, lóbulo anterior y lóbulo posterior: 0.22; 1.33; 0.95 respectivamente. Ancho del collar, lóbulo anterior y lóbulo posterior: 1.02; 1.77; 2.43 respectivamente. Escutelo castaño, más claro hacia el ápice; punteado; con pilosidad corta decumbente, y pelos largos y erectos esparcidos; con una carena en forma de "Y" abultada en el centro. Hemiélitro con pilosidad corta y decumbente. Clavo con 3 hileras completas de puntos y 2 parciales sobre los 2/3 distales, entre la hilera media y la interna; castaño, excepto 2/3 proximales, entre la hilera media y externa de puntos donde es más claro. Margen externo del corio levemente cóncavo, con los 5/6 proximales aserrados. Corio castaño excepto el extremo anterior, los márgenes laterales que se continúan en una mácula subapical con forma de "U" y una mácula alargada entre las 2 hileras internas de puntos que son castaños claros, y el ápice corial que es castaño oscuro. Membrana castaña de color no uniforme. Pleuras castañas oscuras, áreas acetabulares y metaepímero más claros; punteadas y pilosas, con abundante pilosidad plateada, corta y decumbente. Profémures elongados y débilmente engrosados, con una doble hilera de espinas sobre su cara interna; cara interna de las protibias con 7 espinas o tubérculos

mayores, en las que se inserta un pelo, aproximadamente equidistantes, y numerosos tubérculos muy pequeños sobre toda su longitud; mesofémures con 4 o 5 dientes o espinas. Coxas castañas oscuras con tonos rojizos, profémures castaños excepto en la base, que es castaña clara, resto de las patas castaño claro, con el ápice de las tibias, tarsos y pretarsos más oscuro. Patas con pelos decumbentes esparcidos, más abundantes sobre la porción distal de las tibias y sobre los tarsos.

Abdomen castaño de color no uniforme. Longitud: 4.56. Ancho: 1.83. Pigóforo (Fig. 82): margen anterior de la abertura dorsal levemente cóncavo, con 2 pequeñas invaginaciones laterales redondeadas; proyecciones internas pequeñas, cortas y redondeadas. En vista lateral, margen dorsal inclinado hacia atrás. Parámetros (Fig. 83): espada curvada, relativamente corta; asta con una proyección interna amplia, con varios pelos que se continúan en la porción basal de la espada, hacia adelante con una proyección que forma 2 espinas o protuberancias; con una proyección externa con varios pelos largos. Edeago (Fig. 84): Conjuntiva con 2 hileras horizontales de espinas, una anterior formada por 3 espinas, y otra posterior, más basal, formada por 6 espinas. Vejiga con un pequeño lóbulo anterior, situado por encima del reservorio eyaculatorio, que presenta una espina poco esclerotizada; con 2 grandes lóbulos esclerotizados externamente, e inmediatamente por debajo y detrás de estos, otros 2 lóbulos coronados cada uno por 5 espinas.

Distribución.- Brasil.

Comentarios.- Los *genitalia* de esta especie son similares a los de *Gen.D costalis* (Figs. 79-80, 82-84). El ejemplar tipo de *Gen.D serripes* se distingue de los ejemplares de *Gen.D costalis* por ser más elongado y presentar espinas sobre las protibias y mesofémures.

Material examinado

Material tipo.- Neotipo: ♂, Brasil, Petrópolis (22°31'S 43°11'O), (designado por) G. G. Scudder (BMNH).

Gen.D neotropicalis (Kirkaldy 1909), nueva combinación

(Figs. 85-94, 168, mapa 6)

Lygaeus serripes Fabricius, 1803: 236 (preocupado)*Plociomera serripes*: Stål, 1868: 77; Walker, 1872: 118*Pamera serripes*: Stål, 1874: 149; Berg, 1892: 77-78; Distant, 1893: 398; Uhler, 1893b: 705; Lethierry & Severin, 1894: 194; Van Duzee, 1901: 348; Osborn, 1904: 201; Quintanilla, Margheritis *et al.*, 1976: 121; Quintanilla, Rizzo *et al.*, 1981: 151*Orthaea neotropicalis* Kirkaldy, 1909: 31 (nuevo nombre para *serripes* Fabricius preocupado)*Orthaea serripes*: Pennington, 1921: 19*Pachybrachius neotropicalis*: Barber, 1954b: 339; Hussey, 1960: 93; Slater, 1964: 1132*Neopamera neotropicalis*: Harrington, 1980: 107; Ashlock & Slater, 1988: 232; Slater & Baranowsky, 1990: 153-155; Slater & O'Donnell, 1995: 151; Baranowski & Slater, 1998: 79; Froeschner, 1999: 245

Redescripción.- (n= 20) Longitud total: 8.23-9.62 (media 8.91). Cabeza castaña oscura, con abundante pilosidad plateada, corta y decumbente hacia adelante (Figs. 85-86). Longitud de la cabeza: 1.50-1.67 (media 1.60). Longitud base de la antena-ápice del clípeo: 0.80-1.10 (media 0.92). Distancia postocular: 0.08-0.10 (media 0.09). Ancho de la cabeza: 1.45-1.65 (media 1.56). Tubérculos anteníferos levemente divergentes. Ojos compuestos longitudinalmente ovales, grandes (Fig. 85-86, 91). Espacio interocular: 0.55-0.70 (media 0.64). Ocelos ubicados a la altura de una línea imaginaria que pasa por el límite posterior de los ojos compuestos, a igual distancia del margen anterior del pronoto que del ojo compuesto. Espacio interocelar: 0.22-0.28 (media 0.24). Rostro castaño claro, ápice del segmento IV castaño oscuro; con pelos erectos esparcidos. Con el rostro en reposo el segmento IV se dispone sobre el mesoesternito sin alcanzar las mesocoxas. Proporción de la longitud de los segmentos del rostro: 1: 1.03: 0.92: 0.46. Antenas muy largas; segmentos I, II, y 2/3 basales del segmento III castaños

claros, resto del segmento III y el segmento IV castaños, este último presenta una banda castaña muy clara de posición basal, de $2/5$ de la longitud del segmento; con abundante pilosidad corta y decumbente; el segmento III se ensancha en el $1/3$ distal y está provisto de pilosidad más gruesa y abundante. Proporción de la longitud de los segmentos de la antena: 1: 2.02: 1.85: 2.28.

Collar y lóbulo anterior del pronoto castaños oscuros; lóbulo posterior castaño a castaño oscuro, con la mitad anterior de los márgenes laterales y 4 bandas irregulares longitudinales castañas claras. Pronoto piloso, con pilosidad corta y decumbente (Fig. 85); el lóbulo anterior presenta además pelo largos y erectos. Longitud del collar, lóbulo anterior y lóbulo posterior: 0.20-0.23 (media 0.21); 0.85-1.33 (media 1.06); 0.78-1.07 (media 0.91) respectivamente. Ancho del collar, lóbulo anterior y lóbulo posterior: 0.87-1.03 (media 0.95); 1.18-1.60 (media 1.44); 1.95-2.47 (media 2.22) respectivamente. Escutelo castaño, más claro hacia el ápice; punteado; con pilosidad corta decumbente y con pelos largos y erectos esparcidos; con una carena en forma de "Y".

Hemiélitro con pilosidad corta y decumbente (Fig. 87). Clavo con 3 hileras completas de puntos y 2 parciales sobre los $2/3$ distales, entre la hilera media y la interna; castaño, excepto el margen externo, el ápice y $2/3$ proximales entre la hilera media y externa de puntos, que son castaños claros. Margen externo del corio levemente cóncavo, con $1/2$ proximal aserrado (Fig. 88). Corio castaño excepto regiones castañas muy claras como sigue: extremo anterior, márgenes laterales que se interrumpen justo antes de una mácula subapical con forma de "U", y una mácula alargada entre las 2 hileras internas de puntos. Membrana castaña de color no uniforme. Pleuras castañas oscuras, áreas acetabulares y metaepímero más claros; punteadas y pilosas, con abundante pilosidad plateada, corta y decumbente. Profémures elongados y débilmente engrosados, con una doble hilera de espinas sobre su cara interna; cara interna de las protibias con numerosos tubérculos muy pequeños sobre toda su longitud; mesofémures inermes. Coxas castañas oscuras con tonos rojizos, resto de las patas castaño claro, con el ápice de las tibias y la mitad distal de meso- y metafémures

generalmente más oscuros, y con pequeñas máculas más oscuras sobre los profémures. Patas con pelos decumbentes y semierectos esparcidos (Fig. 89) más abundantes sobre la porción distal de las tibias y sobre los tarsos (Fig. 90), y con pelos erectos sobre los profémures.

Abdomen castaño a castaño oscuro de color no uniforme. Longitud: 3.86-4.43 (media 4.13). Ancho: 1.58-2.07 (media 1.89). Pigóforo (Fig. 92): margen anterior de la abertura dorsal redondeado; proyecciones internas alargadas. En vista lateral, margen dorsal inclinado hacia atrás. Parámetros (Fig. 93): espada curvada; asta con una proyección interna con varios pelos y una proyección externa con un pelo largo. Edeago (Fig. 94) desprovisto de espinas; vejiga con un pequeño lóbulo anterior y con 2 grandes lóbulos laterales con escleritos de sujeción reducidos en su base, adyacentes al reservorio eyaculatorio.

Distribución.- Argentina, Belice, Brasil, Costa Rica, Ecuador, Cuba, Estados Unidos, Guayana Francesa, Guyana, Honduras, México, Panamá, Perú, Isla Sant Vincent. **Primera cita.-** de Belice, Brasil, Costa Rica, Ecuador, Guayana Francesa, Honduras, México, Perú.

Comentarios.- Lamentablemente no he tenido acceso a material tipo de esta especie; sin embargo los datos de bibliografía y el material determinado por especialistas (particularmente los de la colección particular del Dr. Slater) permiten identificar con certeza a *Gen.D neotropicalis*. Esta especie aparece en las colecciones junto con ejemplares de *Gen.D tineodes*, a la que se asemeja mucho. Puede distinguirse fácilmente de esta por su rostro mucho más corto, y por las protibias y mesofémures inermes en los machos.

Material examinado.- Belice: STANN CREEK.- 2 ♀♀, Middlesex, 17°01'N 88°50'O, 29-VI-1964, E. C. Welling (NHMLAC). **Brasil:** SÃO PAULO.- 1 ♀, Uratuba, (Base Inst. Ocean.), 26-I/9-II-1971, P. Montouchet, trampa de luz (MZUSP). PARÁ.- 1 ♀, Santa Isabel de Pará, 30-III-1962, J. Bechyné (MZUSP); 1 ♀, Canindé, Río Gurupi, 27-II-1966, Malkin (MZUSP). **Costa Rica:** PUNTARENAS.- 1 ♂, cerca Villa Nelly, 5/11-VIII-1963, C. L. Hogue

(NHMLAC). **Ecuador:** NAPO.- 1 ♂, Limoncocha, 280´m, 00°24´S 76°36´O, 10/16-VI-1975, C. W. Rettenmeyer (JSC). **Honduras:** COLÓN.- 1 ♂, Puerto Castilla, 16°01´N 85°57´O, 21-IV-1926, R. W. Painter (OSUC). 1 ♂, Guaimas, 1923, T. H. Hubbell, *Orthaea serripes* F. det. Barber. (MZUM). **Guyana:** 1 ♂, Demerara, 6°20´N 58°11´O, 5-X-1901, R. J Crew, *Pamera serripes* det. Van Duzee. (CUIC); 1 ♂, 1 ♀, Bartica, 05°47´N 57°38´O, 20-VIII-1901, H. S. Parish, Osborn coll. (OSUC), 1 ♂, III-1901, H. S. Parish, Osborn coll. (OSUC); 1 ♂, Ituni, 1/2-VII-1970, B. Fenton (CNCI). **Guayana Francesa:** 1 ♀, Patawa, Mt. Kaw, 04°40´N 52°31´O, 10-II-1993, Berenger (JSC), 1 ♂, 23-V-1996, J. Cerdá (JSC). **México:** VERACRUZ.- 1 ♂, 3 ♀♀, 35 mi. S Acayucan, 17°56´N 94°54´O, 3-IX-1972, Byers & Thornhill, *Neopamera neotropicalis* (Kirkaldy) det. P. D. Ashlock 1979 (SEM-UKANS). **Panamá:** CHIRIQUI.- 1 ♀, Cerro Reyes, 08°26´N 82°08´O, 1/2-VI-1985, E. G. & M. A. Riley, *Neopamera neotropicalis* (Kirkaldi) det. P. D. Ashlock 1986 (SEM-UKANS). COCLÉ.- 1 ♂, El Valle, 08°26´N 80°26´O, 10/13-VI-1985, E. Riley & D. Rider, *Neopamera neotropicalis* (Kirkaldy) det. P. D. Ashlock (SEM-UKANS). COLÓN.- 1 ♀, Gatun, zona del canal, 09°16´N 79°54´O, 2-VII-1974, C. W. & L. B. O'Brien & G. B. Marshall (JSC); 1 ♂, plantación Tres Ríos, Gatun, zona del canal, III-1930, Zschokke (CAS); 1 ♀, Isla Barro Colorado, zona del canal, 09°09´N 79°49´O, 4-VII-1956, C. W. & M. E. Rettenmeyer, capturada a la luz (SEM-UKANS), 1 ♂, 16-IV-1956, C. W. & M. E. Rettenmeyer (SEM-UKANS), 1 ♂, VII-1963, L. J. Bottimer (CNCI); 1 ♂, Ft. Gulick, Qtrs, 40-A, 1/9-XII-1979, H. J. Harlan, trampa de luz (OSUC); 1 ♀, Pt. Gulick, II-1980, H. J. Harlan (OSUC). PANAMÁ.- 1 ♀, Las Cumbres, 09°03´N 79°39´O, 20-VI-1975, H. Wolda (OSUC); 1 ♀, United Fruit Co., Changuinola, 13-II-1925, F. W. Walker (MZUM); 1 ♀, Cerro Campana, 08°20´N 81°58´O, 11-I-1975, L. B. O'Brien (SEM-UKANS); 1 ♀, Coco Solo Hospital, zona del canal, 14-V-1973, P. D. Ashlock (SEM-UKANS), 12 ♂♂, 8 ♀♀, 15-V-1973, P.D. Ashlock, trampa de luz (SEM-UKANS), 10 ♂♂, 11 ♀♀, 16-V-1973, P. D. Ashlock (SEM-UKANS), 1 ♀, 19-V-1973, P. D. Ashlock (SEM-UKANS), 4 ♂♂, 1 ♀, 7-V-1973, D. Engleman (SEM-UKANS), 1 ♀, D. Engleman (SEM-UKANS), 1 ♀, 12-VI-1972, D. Engleman, trampa de luz (SEM-UKANS). **Perú:** HUÁNUCO.- 1 ♀, Tingo María, 09°17´S 75°59´O, 10-VIII-1968, C. W. & L. B. O'Brien (SEM-UKANS).

JAUJA.- 1 ♂, Junín, 840 m Sani Beni (8 km E Satipo), 10/18-XI-1935, Felix Woytkowski (SEM-UKANS).

Gen.D tineodes (Burmeister 1835), nueva combinación

(Figs. 95-104, 171, mapa 6)

Pachymerus tineodes Burmeister, 1835: 294

Rhyparochromus (Plociomerus) tineodes: Stål, 1858: 39

Plociomerus tineodes: Walker, 1872: 119

Pamera tineodes: Stål, 1874: 149; Lethierry & Severin, 1894: 194; Osborn, 1904: 201

Pachybrachius tineodes: Slater, 1964: 1142

Neopamera tineodes: Harrington, 1980: 107

Neopamera tineoides (sic): Slater & O'Donnell, 1995: 151

Redescripción.- (n= 14) Longitud total: 9.50-11.39 (media 10.86). Cabeza castaña oscura; con abundante pilosidad plateada, corta y decumbente hacia adelante, dorsalmente presenta además pelos de mayor longitud semierectos esparcidos. Longitud de la cabeza: 1.63-1.93 (media 1.88). Longitud base de la antena-ápice del clípeo: 0.83-1.02 (media 0.98). Distancia postocular: 0.11-0.15 (media 0.13). Ancho de la cabeza: 1.55-1.82 (media 1.72). Tubérculos anteníferos levemente divergentes. Ojos compuestos longitudinalmente ovales, grandes (Figs. 95, 101). Espacio interocular: 0.72-0.83 (media 0.77). Ocelos ubicados a la altura de una línea imaginaria que pasa por el límite posterior de los ojos compuestos (Figs. 95, 101), a igual distancia del margen anterior del pronoto que del ojo compuesto. Espacio interocelar: 0.30-0.33 (media 0.31). Rostro castaño claro, ápice del segmento IV castaño oscuro; con pelos erectos más abundantes sobre los segmentos II y III; el segmento I sobrepasa la cabeza y alcanza al collar pronotal; con el rostro en reposo el segmento IV alcanza al abdomen. Proporción de la longitud de los segmentos del rostro: 1: 1.07: 1.12: 0.41. Antenas muy largas; segmentos I, II, y 2/3 basales del segmento III castaños claros, resto del segmento III y el segmento IV castaños, este

último presenta una banda castaña muy clara de posición basal, de 1/3 a 1/2 de la longitud del segmento; con abundante pilosidad corta y decumbente, pilosidad más abundante sobre los segmentos III y IV. Proporción de la longitud de los segmentos de la antena: 1: 2.12: 1.94: 2.32. Collar y lóbulo anterior del pronoto castaños oscuros; lóbulo posterior castaño a castaño oscuro, con la mitad anterior de los márgenes laterales y 4 bandas irregulares longitudinales castañas claras, poco notorias en algunos ejemplares. Pronoto piloso, con pilosidad corta y decumbente, y con pelos largos y erectos esparcidos sobre el lóbulo anterior. Longitud del collar, lóbulo anterior y lóbulo posterior: 0.22-0.25 (media 0.24); 1.02-1.52 (media 1.23); 0.85-1.15 (media 1.04) respectivamente. Ancho del collar, lóbulo anterior y lóbulo posterior: 0.95-1.13 (media 1.09); 1.47-1.95 (media 1.77); 2.17-2.73 (media 2.62) respectivamente. Escutelo castaño a castaño oscuro, más claro hacia el ápice; punteado; con pilosidad corta y decumbente; con una carena en forma de "Y". Hemiélitro con pilosidad corta y decumbente. Clavo con 3 hileras completas de puntos y 2 parciales sobre los 2/3 distales, entre la hilera media y la interna; castaño, excepto el margen externo y el ápice que son castaños claros, algunos ejemplares presentan una banda clara proximal entre la hilera media y la externa de puntos. Margen externo del corio levemente cóncavo, con los 3/4 proximales aserrados (Fig. 96). Corio castaño, excepto regiones castañas muy claras como sigue: extremo anterior, márgenes laterales que se interrumpen justo antes de una mácula subapical con forma de "U", y una mácula alargada entre las 2 hileras internas de puntos. Membrana castaña de color no uniforme, con una pequeña mácula clara adyacente al ápice corial.

Pleuras castañas oscuras, áreas acetabulares y metaepímero más claros; punteadas y pilosas, con abundante pilosidad plateada, corta y decumbente. Profémures (Fig. 97) elongados y débilmente engrosados, con una doble hilera de espinas sobre su cara interna; cara interna de las protibias (Figs. 98-99) con 5 o 6 espinas o tubérculos, en las que se inserta un pelo, aproximadamente equidistantes, y numerosos tubérculos muy pequeños sobre toda su longitud; mesofémures con 5 o 6 espinas. Coxas castañas oscuras con tonos rojizos, resto de las patas castaño claro, con el ápice de

las tibias, mitad distal de meso- y metafémures generalmente más oscuros. Patas con pelos decumbentes y semierectos esparcidos, más abundantes sobre la porción distal de las tibias y sobre los tarsos, y con pelos erectos sobre los profémures.

Abdomen (Fig. 100) castaño a castaño oscuro, de color no uniforme, con tonos rojizos en algunos ejemplares. Longitud: 4.43-5.25 (media 4.93). Ancho: 2.27-2.47 (media 2.38). Pigóforo (Fig. 102): margen anterior de la abertura dorsal redondeado; proyecciones internas largas, con una pequeña proyección aguda hacia adelante. En vista lateral, margen dorsal inclinado hacia atrás. Parámetros (Fig. 103): espada curvada; asta con una proyección interna y otra externa, ambas con varios pelos. Edeago (Fig. 104) desprovisto de espinas; vejiga con 2 lóbulos irregularmente esclerotizados con escleritos de sujeción reducidos en su base; alas del reservorio eyaculatorio bien desarrolladas.

Distribución.- Brasil. Guyana. Costa Rica. Estados Unidos. Panamá. Puerto Rico. **Primera cita.-** de Costa Rica, Estados Unidos, Panamá, Puerto Rico.

Comentarios.- Lamentablemente no he podido examinar material tipo, se utilizó la bibliografía y se comparó con material determinado por especialistas (coll. Osborn). Esta especie es muy similar a *Gen.D neotropicalis*. En general los ejemplares de *Gen.D tineodes* son más grandes que los de *Gen.D neotropicalis* y pueden distinguirse fácilmente por presentar un rostro muy largo que alcanza al abdomen, y cuyo segmento I sobrepasa el margen posterior de la cabeza.

Material examinado.- Costa Rica: CARTAGO.- 1 ♂, Turrialba, 09°54'N 83°41'O, 3-VII-1965, G. & K. Eickwort, trampa de luz (SEM-UKANS), 1 ♂, 2/8-VI-1967, J. Robertson (MZUM). LIMON.- 1 ♂, Finca La Lola, 22/23-VII-1963, C. L. Hogue (NHMLAC). SAN JOSÉ.- 1 ♂, San Isidro de General, 09°23'N 83°42'O, 26-III-1964, F. S. Truxal (NHMLAC). **Estados Unidos:** FLORIDA.- 1 ♂, South Miami, Florida, 25°42'N 80°18'O, R. M. Baranowski, criadas en laboratorio en 1966, *Pachybrachius neotropicalis* det. P. D.

Ashlock 1977 (SEM-UKANS). **Guyana:** 1 ♀, Bartica, 05°47'N 57°38'O, 16-IV-1901, etiq. "*Pamera tineodes* Burm.", H. S. Parish, Osborn coll. (OSUC), 1 ♂, 27-V-1901, H. S. Parish, Osborn coll. (OSUC), 1 ♀, 20-VIII-1901, H. S. Parish, Osborn coll. (OSUC), 1 ♀, 30-VIII-1901, H. S. Parish, Osborn coll. (OSUC); 1 ♂, Demerara, 06°20'N 58°13'O, R. J. Crew, 1-VI-1901, E. P. Van Duzee coll. (CAS), 1 ♀, 22-III-01, R. J. Crew, etiq. "*Pamera consuta* Dallas", E. P. Van Duzee coll. (CAS), 1 ♀, 22-IV-01, R. J. Crew, E. P. Van Duzee coll. (CAS). **Panamá:** CHIRIQUI.- 1 ♀, Santa Clara, 4000', Distr. Renacimiento, 28/29-V-1976, Engleman & Thurman, trampa de luz (JSC). LOS SANTOS.- 1 ♀, Tonosi, 18-IX-1925, F. W. Walker (MZUM). PANAMÁ.- 1 ♂, Coco Solo Hospital, zona del canal, 15-V-1973, P. D. Ashlock (SEM-UKANS). **Puerto Rico:** 1 ♀, Fortuna A.E.S, II-1968, F. Fisk (OSUC).

Gen.D n.sp5, especie nueva

(Figs. 105-108, 174, mapa 7)

Descripción.- del *Holotipo macho*: Longitud total: 7.85 mm. Cabeza castaña oscura, con abundante pilosidad plateada, corta y decumbente hacia adelante. Longitud de la cabeza: 1.47. Longitud base de la antena-ápice del clípeo: 0.85. Distancia postocular: 0.05. Ancho de la cabeza: 1.48. Tubérculos anteníferos divergentes. Vertex aplanado. Ojos compuestos longitudinalmente ovales, muy grandes y prominentes (Fig. 105), levemente pedunculados. Espacio interocular: 0.78. Ocelos ubicados por delante de una línea imaginaria que pasa por el límite posterior de los ojos compuestos (Fig. 105), más cerca del margen anterior del pronoto que del ojo compuesto. Espacio interocelar: 0.33. Rostro castaño claro, ápice del segmento IV más oscuro; con pelos erectos y esparcidos sobre los segmentos II, III, y IV, de longitud aproximada al ancho del segmento. Con el rostro en reposo el segmento IV se dispone entre las procoxas. Proporción de la longitud de los segmentos del rostro: 1: 1.09: 0.84: 0.56. Unión de las búculas a la altura del tubérculo antenífero. Antenas muy largas; segmentos I, II, y 2/3 basales del segmento III castaños claros, resto del segmento III castaño; con abundante pilosidad corta y decumbente; el segmento III se ensancha en el

1/3 distal y está provisto de pilosidad más gruesa y abundante. Proporción de la longitud de los segmentos de la antena: 1: 2.24: 2.23: -.

Collar y lóbulo anterior del pronoto castaños oscuros; lóbulo posterior castaño, ángulos posterolaterales castaños oscuros, mitad anterior de los márgenes laterales y 4 bandas irregulares longitudinales castañas claras. Pronoto piloso, con pilosidad corta y decumbente. Longitud del collar, lóbulo anterior y lóbulo posterior: 0.17; 1.03; 0.72 respectivamente. Ancho del collar, lóbulo anterior y lóbulo posterior: 0.88; 1.43; 1.90 respectivamente

Escutelo castaño oscuro, más claro hacia el ápice; punteado; con pilosidad corta y decumbente, y con algunos pelos largos y erectos; con una carena en forma de "Y" abultada en el centro.

Hemiélitro con pilosidad corta y decumbente. Clavo con 3 hileras completas de puntos y 2 parciales sobre los 2/3 distales, entre la hilera media y la interna; castaño, excepto la mitad anterior entre la hilera media y externa de puntos, que es castaña clara. Margen externo del corio levemente cóncavo, con los 2/3 proximales aserrados. Corio castaño excepto el extremo anterior, 2/3 anteriores de los márgenes laterales, una mácula subapical y una mácula alargada entre las 2 hileras internas de puntos, que son castaños claros. Membrana castaña de color no homogéneo.

Pleuras castañas oscuras, áreas acetabulares y metaepímero más claros; punteadas y pilosas, con abundante pilosidad plateada, corta y decumbente. Profémures elongados y engrosados, con una doble hilera de espinas sobre su cara interna; protibias con 5 espinas mayores, en las que se inserta un pelo, aproximadamente equidistantes sobre su cara interna, y numerosos tubérculos muy pequeños sobre toda su longitud; mesofémures con 4 tubérculos. Procoxas castañas oscuras, meso- y metacoxas castañas, resto de las patas castaño claro, con el extremo distal de las tibias y pretarsos más oscuros. Patas con pelos erectos esparcidos, más abundantes sobre la porción distal de las tibias y sobre los tarsos.

Abdomen castaño de color no uniforme. Longitud: 3.77. Ancho: 1.67. Pigóforo castaño claro (Fig. 106): margen anterior de la abertura dorsal redondeado; proyecciones internas largas, más proyectadas atrás. En vista lateral, margen dorsal levemente inclinado hacia atrás. Parámetros (Fig. 106):

espada suavemente curvada; asta con una proyección interna con pelos largos que se extienden sobre la base de la espada, y con una proyección externa con 2 pelos. Edeago (Fig. 107) desprovisto de espinas; vejiga con 2 grandes lóbulos irregularmente esclerotizados; reservorio eyaculatorio con alas bien desarrolladas; sin escleritos de sujeción.

Medidas de los paratipos.- (n= 3) Longitud total: 7.47-8.10 (media 7.72). Longitud de la cabeza: 1.43-1.50 (media 1.45). Longitud base de la antena-ápice del clípeo: 0.83-0.88 (media 0.85). Distancia postocular: 0.05. Ancho de la cabeza: 1.45-1.52 (media 1.47). Espacio interocular: 0.75-0.82 (media 0.79). Espacio interocelar: 0.35. Proporción de la longitud de los segmentos del rostro: 1: 1.11: 0.84: 0.57. Proporción de la longitud de los segmentos de la antena: 1: 2.11: 2.11: 2.56. Longitud del collar, lóbulo anterior y lóbulo posterior: 0.17-0.18 (media 0.17); 0.87-0.92 (media 0.90); 0.72-0.77 (media 0.75) respectivamente. Ancho del collar, lóbulo anterior y lóbulo posterior: 0.85-0.88 (media 0.87); 1.33-1.45 (media 1.40); 1.80-2.00 (media 1.92) respectivamente. Longitud abdominal: 3.77-3.97 (media 3.90). Ancho abdominal: 1.67-1.85 (media 1.79).

Distribución.- Brasil

Comentarios.- El segmento antenal IV es castaño y presenta una banda castaña muy clara ubicada en el tercio basal, de 1/3 de la longitud del segmento. Las coxas pueden ser todas castañas con tonos rojizos.

Los ojos levemente pedunculados y el lóbulo anterior del pronoto con pelos cortos y decumbentes, permiten reconocer fácilmente a esta especie.

Material tipo.- Holotipo: ♂, Brasil, Pará, Ananindeua, Benfica (16°40'S 48°23'O), 7-XI-1962, J. Bechyné (MZUSP).

Paratipos: 1 ♀, mismos datos que el holotipo (MZUSP); 1 ♂ (sin abdomen), Brasil, Pará, Ananindeua, Benfica, 1-I-1962, E. Dente (MZUSP); 1 ♂, Brasil, Pará, Belém (11°27'S 48°29'O), 24-I-1969, L. B. & C. W. O'Brien (MZUSP).

Gen.D n.sp6, especie nueva
(Figs. 109-112, 175, mapa 7)

Descripción.- del *Holotipo macho*: Longitud total: 7.34mm. Cabeza castaña oscura; con abundante pilosidad plateada, corta y decumbente hacia adelante. Longitud de la cabeza: 1.52. Longitud base de la antena-ápice del clípeo: 0.93. Distancia postocular: 0.05. Ancho de la cabeza: 1.52. Tubérculos anteníferos levemente divergentes. Ojos compuestos longitudinalmente ovales, grandes, prominentes (Fig. 109). Espacio interocular: 0.82. Ocelos ubicados por delante de una línea imaginaria que pasa por detrás de los ojos compuestos (Fig. 109), sobre pequeños promontorios, más cerca del margen anterior del pronoto que del ojo compuesto. Espacio interocelar: 0.35. Rostro castaño claro, ápice del segmento IV más oscuro; con pelos erectos y esparcidos sobre los segmentos II, III, y IV, de longitud aproximada al ancho del segmento. Con el rostro en reposo el segmento IV alcanza las mesocoxas. Proporción de la longitud de los segmentos del rostro: 1: 1.05: 0.88: 0.59. Segmento antenal I castaño claro, el resto perdido.

Pronoto castaño oscuro, lóbulo posterior más claro; piloso, con pilosidad corta y decumbente. Longitud del collar, lóbulo anterior y lóbulo posterior: 0.12; 0.95; 0.80 respectivamente. Ancho del collar, lóbulo anterior y lóbulo posterior: 0.92; 1.50; 2.03 respectivamente

Escutelo castaño oscuro, más claro hacia el ápice; punteado; con pilosidad corta y decumbente; con una carena baja en forma de "Y". Hemiélitro con pilosidad corta y decumbente. Clavo con 3 hileras completas de puntos y 2 parciales sobre los 2/3 distales, entre la hilera media y la interna; castaño oscuro, excepto la mitad anterior, entre la hilera media y la externa de puntos, y el ápice del margen externo, que son castaños claros. Margen externo del corio levemente cóncavo, con los 2/3 proximales aserrados. Corio castaño oscuro excepto el extremo anterior, 2/3 anteriores de los márgenes laterales, una mácula subapical, una mácula alargada entre las 2 hileras internas de puntos, la sutura corial y el ápice del margen adyacente al clavo, que son castaños claros. Membrana castaña oscura con una zona oval

amarillenta en el ápice. Pleuras castañas oscuras, proepímeron, meso- y metapleura con tonos rojizos; punteadas y pilosas, con abundante pilosidad plateada, corta y decumbente. Profémures elongados y engrosados, con una doble hilera de espinas sobre su cara interna; cara interna de las protibias con una espina cerca de su unión al fémur, y otras 7 en las que se inserta un pelo, aproximadamente equidistantes, y numerosos tubérculos muy pequeños sobre toda su longitud; mesofémures inermes. Coxas castañas oscuras, protrocánteres y una amplia franja media sobre los profémures castaños oscuros, ápice de las tibias y mitad distal de los fémures medios y posteriores castaños, resto de las patas castaño claro. Patas con pelos semierectos esparcidos, más abundantes sobre la porción distal de las tibias y sobre los tarsos.

Abdomen castaño oscuro de color no uniforme. Longitud: 3.67. Ancho: 1.93. Pigóforo (Fig. 110): margen anterior de la abertura dorsal cóncavo; proyecciones internas digitiformes. En vista lateral, margen dorsal levemente inclinado hacia atrás. Parámetros (Fig. 111): espada suavemente curvada; asta con una proyección interna con varios pelos, que se continúan sobre la base de la espada, con una espina o proyección esclerotizada sobre su cara interna, y con una proyección externa poco desarrollada, con un pelo. Edeago (Fig. 112) desprovisto de espinas; vejiga con 2 grandes lóbulos con 3 pequeñas espinas en el extremo, esclerotizados dorsalmente, y con escleritos de sujeción reducidos en su base, adyacentes al reservorio eyaculatorio; reservorio eyaculatorio con alas bien desarrolladas.

Medidas de los paratipos.- (n= 4) Longitud total: 7.09-7.85 (media 7.53). Longitud de la cabeza: 1.42-1.48 (media 1.45). Longitud base de la antena-ápice del clipeo: 0.85-0.92 (media 0.90). Distancia postocular: 0.05-0.06 (media 0.05). Ancho de la cabeza: 1.50-1.58 (media 1.56). Espacio interocular: 0.80-0.85 (media 0.83). Espacio interocelar: 0.35-0.37 (media 0.36). Proporción de la longitud de los segmentos del rostro: 1: 1.10: 0.87: 0.58. Proporción de la longitud de los segmentos de la antena: 1: 2.29: 2.11: 2.37. Longitud del collar, lóbulo anterior y lóbulo posterior: 0.12-0.15 (media 0.13); 0.78-0.98 (media 0.88); 0.77-0.83 (media 0.79) respectivamente.

Ancho del collar, lóbulo anterior y lóbulo posterior: 0.88-0.93 (media 0.91); 1.15-1.43 (media 1.34); 1.93-2.09 (media 2.04) respectivamente. Longitud abdominal: 3.77-3.96 (media 3.88). Ancho abdominal: 1.68-1.82 (media 1.77).

Comentarios.- Los paratipos presentan antenas muy largas; con los segmentos I y II, y 2/3 basales del segmento III castaño claro, resto del segmento III y el segmento IV castaños, este último presenta una banda castaña muy clara ubicada en el tercio basal, de 1/3 de la longitud del segmento; con abundante pilosidad corta y decumbente, el segmento II se ensancha en el 1/3 distal y está provisto de pilosidad más gruesa y abundante; segmento IV fusiforme.

Gen.D n.sp6 es una de las 2 especies, junto con *Gen.D n.sp9*, que presentan mesofémures inermes y protibias con espinas en los machos, pero se distingue de esta por presentar el lóbulo posterior del pronoto más claro que el lóbulo anterior, y la membrana del hemiélitro castaña.

Material tipo.- Holotipo: ♂, Brasil, Mato Grosso, Barra do Tapirapé (10°27'S 51°25'O), 14-XII-1964, R. Malkin (MZUSP).

Paratipos: ♂, Brasil, Goiás, Rib. Vaozinho (16°29'S 56°40'O), 12-II-1962, J. Bechyné (MZUSP); 1 ♀, Brasil, Pará, Aldeia Yavaruhu (Igarapé Gurupí – Umá, 45 km E Canindé) (0°31'S 51°14'O), XII-1964, R. Malkin (MZUSP); 1 ♀, Brasil, Goiás, Dianópolis (28°31'S 57°10'O), 16/22-I-1962, J. Bechyné (MZUSP); 1 ♀, Brasil, M.T.-Chapada dos Guimarães (15°26'S 55°45'O), 31-I-1961, J. & B. Bechyné (SEM-UKANS).

Gen.D n.sp7, especie nueva

(Figs. 113-116, 176, mapa 7)

Descripción.- del *Holotipo macho*: Longitud total: 8.10 mm. Cabeza castaña oscura, con abundante pilosidad plateada, corta y decumbente hacia adelante. Longitud de la cabeza: 1.53. Longitud base de la antena-ápice del cípeo: 0.77. Distancia postocular: 0.20. Ancho de la cabeza: 1.40.

Tubérculos anteníferos levemente divergentes. Ojos compuestos (Fig. 113) longitudinalmente ovales, grandes. Espacio interocular: 0.67. Ocelos ubicados por detrás de una línea imaginaria que pasa por el límite posterior de los ojos compuestos (Fig. 113), a igual distancia del margen anterior del pronoto que de los ojos. Espacio interocelar: 0.25. Segmentos I y II del rostro castaños claros, segmento III castaño, ápice del segmento IV castaño oscuro; con pelos erectos, más largos hacia el ápice. Con el rostro en reposo el segmento IV se dispone sobre el mesoesternito sin alcanzar las mesocoxas. Proporción de la longitud de los segmentos del rostro: 1: 1.09: 0.88: 0.54. Antenas muy largas; segmentos I, II, y 2/3 basales del segmento III castaños claros, resto del segmento III y el segmento IV castaños, este último presenta una banda castaña muy clara de posición basal, de 2/5 de la longitud del segmento; con abundante pilosidad corta y decumbente; el segmento II se ensancha en el 1/3 distal y está provisto de pilosidad más gruesa y abundante; segmento I grueso y de mayor longitud que el espacio interocular. Proporción de la longitud de los segmentos de la antena: 1: 2.46: 2.38: 3.00.

Collar y lóbulo anterior del pronoto castaños oscuros; lóbulo posterior castaño con los márgenes laterales y 4 bandas irregulares longitudinales castañas claras. Pronoto piloso, con pilosidad corta y decumbente. Longitud del collar, lóbulo anterior y lóbulo posterior: 0.15; 1.00; 0.68 respectivamente. Ancho del collar, lóbulo anterior y lóbulo posterior: 0.85; 1.45; 2.03 respectivamente. Escutelo castaño oscuro, más claro hacia el ápice; punteado; con pilosidad corta y decumbente; con una carena en forma de "Y" abultada en el centro.

Hemiélitro con pilosidad corta y decumbente. Clavo con 3 hileras completas de puntos y 2 parciales sobre los 2/3 distales, entre la hilera media y la interna; castaño, excepto el margen externo, ápice y 2/3 proximales entre la hilera media y externa de puntos, que son castaño claro. Margen externo del corio levemente cóncavo, con los 5/6 proximales aserrados. Corio castaño excepto el extremo anterior, los márgenes laterales que se continúan en una mácula subapical con forma de "U", y una mácula alargada entre las 2 hileras internas de puntos, que son castaños claros. Membrana castaña de

color no uniforme. Pleuras castañas oscuras, áreas acetabulares y metaepímero más claros; punteadas y pilosas, con abundante pilosidad plateada, corta y decumbente. Profémures elongados y débilmente engrosados, con una doble hilera de espinas sobre su cara interna, cada una con 2 espinas mayores y otras mucho más pequeñas, y numerosas espinas minúsculas entre las 2 hileras; cara interna de las protibias con 6 espinas mayores, en las que se inserta un pelo, aproximadamente equidistantes, y numerosos tubérculos muy pequeños sobre toda su longitud; mesofémures con 2 pequeñas espinas. Coxas castañas oscuras con tonos rojizos, ápice de las tibias, y tarsos castaños, resto de las patas castaño claro. Patas con pelos decumbentes y erectos esparcidos, más abundantes sobre la porción distal de las tibias y sobre los tarsos.

Abdomen castaño de color no uniforme. Longitud: 3.84. Ancho: 1.67. Pigóforo castaño oscuro (Fig. 114): margen anterior de la abertura dorsal redondeado; proyecciones internas largas. En vista lateral, margen dorsal no inclinado hacia atrás. Parámetros (Fig. 115): espada suavemente curvada; asta delgada en la base; con una proyección interna amplia, con el extremo romo, con varios pelos que se extienden sobre la base de la espada; y con una proyección externa poco desarrollada, sin pelos. Edeago (Fig. 116): conjuntiva con numerosas espinas sobre la mitad distal; vejiga sin lóbulos ni espinas; reservorio eyaculatorio alargado, con alas delgadas bien desarrolladas.

Medidas del paratipo ♂.- Longitud total: 7.60. Longitud de la cabeza: 1.43. Longitud base de la antena-ápice del clipeo: 0.75. Distancia postocular: 0.21. Ancho de la cabeza: 1.35. Espacio interocular: 0.65. Espacio interocelar: 0.23. Proporción de la longitud de los segmentos del rostro: 1: 1.09: 0.86: 0.53. Longitud del collar, lóbulo anterior y lóbulo posterior: 0.17; 0.88; 0.63 respectivamente. Ancho del collar, lóbulo anterior y lóbulo posterior: 0.80; 1.27; 1.77 respectivamente. Longitud abdominal: 3.74. Ancho abdominal: 1.45.

Distribución.- Colombia.

Comentarios.- El paratipo presenta 4 espinas sobre los profémures y las áreas acetabulares y el metaepímero son castaños con tonos borravino.

Gen.D n.sp7 presenta minúsculas espinas sobre la cara interna de los profémures entre las 2 hileras de espinas mayores, lo que la distingue fácilmente de las otras especies del género.

Material tipo.- Holotipo: ♂ y **Paratipo:** ♂, Colombia, Amazonas, Leticia (4°13'S 69°57'O), 700 ft., II-1974, H. & A. Howden (CNCI).

Gen.D n.sp8, especie nueva

(Figs. 117-120, 177, mapa 7)

Descripción.- del *Holotipo macho*: Longitud total: 7.15 mm. Cabeza castaña oscura, con abundante pilosidad plateada, corta y decumbente hacia adelante. Longitud de la cabeza: 1.28. Longitud base de la antena-ápice del cípeo: 0.62. Distancia postocular: 0.18. Ancho de la cabeza: 1.25. Tubérculos anteníferos paralelos. Ojos compuestos (Fig. 117) longitudinalmente ovales, grandes. Espacio interocular: 0.67. Ocelos ubicados por detrás de una línea imaginaria que pasa por el límite posterior de los ojos compuestos (Fig. 117), más cerca del margen anterior del pronoto que de los ojos. Espacio interocelar: 0.27. Rostro castaño, segmento II más claro; con pelos erectos, más largos hacia el ápice. Con el rostro en reposo el segmento IV se dispone sobre el mesoesterno sin alcanzar las mesocoxas. Proporción de la longitud de los segmentos del rostro: 1: 1.29: 0.94: 0.66. Antenas largas; segmentos I, II, y 2/3 basales del segmento III castaños claros, resto del segmento III y el segmento IV castaños; con abundante pilosidad corta, decumbente y semierecta; los segmentos II y III se ensanchan distalmente, más notorio en el segmento III; segmento I grueso y de mayor longitud que el espacio interocular. Proporción de la longitud de los segmentos de la antena: 1: 2.04: 1.58: 1.65.

Collar y lóbulo anterior del pronoto castaños oscuros; lóbulo posterior castaño, con los márgenes laterales, 2 bandas irregulares longitudinales medias y 2 máculas laterales, que no llegan a formar una banda longitudinal, castañas claras. Pronoto piloso, con pilosidad corta decumbente y semierecta, y con pelos erectos largos sobre el lóbulo anterior. Longitud del collar, lóbulo anterior y lóbulo posterior: 0.17; 1.00; 0.67 respectivamente. Ancho del collar, lóbulo anterior y lóbulo posterior: 0.83; 1.32; 1.83 respectivamente. Escutelo castaño oscuro, más claro hacia el ápice; punteado; con pilosidad corta y decumbente, y pelos largos erectos; con una carena en forma de "Y", abultada en el centro. Hemiélitro con pilosidad corta decumbente, y pelos largos erectos como los del lóbulo anterior del pronoto. Clavo con 3 hileras completas de puntos y 2 parciales sobre los 2/3 distales, entre la hilera media y la interna; castaño oscuro de color no uniforme. Margen externo del corio levemente cóncavo; aserrado en la mitad anterior. Corio castaño, más oscuro distalmente; con 2/3 anteriores del margen corial, una mácula subapical y una pequeña mácula internamente por delante de la anterior castañas claras. Membrana castaña oscura, con una mácula apical oblonga blanquecina. Pleuras castañas oscuras, áreas acetabulares, proepímeron y metaepímero más claros; punteadas y pilosas, con abundante pilosidad plateada, corta y decumbente. Profémures engrosados, con una doble hilera de espinas sobre su cara interna; cara interna de las protibias con 4 espinas, en las que se inserta un pelo, ubicadas sobre la mitad distal, y con numerosos tubérculos muy pequeños sobre toda su longitud; mesofémures con 2 y 4 pequeñas espinas. Coxas castañas oscuras con tonos rojizos, protrocánteres y profémures, excepto la base, castaños; el resto de las patas castaño claro con el ápice de las tibias, tarsos y la mitad distal de meso- y metafémures más oscuros. Profémures con abundantes pelos erectos largos, resto de las patas con pelos decumbentes y erectos esparcidos, más abundantes sobre la porción distal de las tibias y sobre los tarsos.

Abdomen castaño. Longitud: 3.23. Ancho: 1.67. Pigóforo (Fig. 118) castaño oscuro; margen anterior de la abertura dorsal redondeado; proyecciones internas largas, más proyectadas atrás. En vista lateral, margen dorsal

levemente inclinado hacia atrás. Parámeros (Fig. 119): espada curvada; asta con una proyección interna con varios pelos que se extienden sobre la porción basal de la espada, con una espina sobre la cara anterior, y con una proyección externa abultada con 2 pelos. Edeago (Fig. 120) sin espinas, vejiga con 2 lóbulos laterales débilmente esclerotizados.

Medidas del paratipo.- Longitud total: 7.72. Longitud de la cabeza: 1.42. Longitud base de la antena-ápice del clipeo: 0.72. Distancia postocular: 0.18. Ancho de la cabeza: 1.33. Espacio interocular: 0.72. Espacio interocelar: 0.28. Proporción de la longitud de los segmentos del rostro: 1: 1.25: 0.98: 0.73. Proporción de la longitud de los segmentos de la antena: 1: 1.95: 1.61: 1.82. Longitud del collar, lóbulo anterior y lóbulo posterior: 0.22; 0.93; 0.75 respectivamente. Ancho del collar, lóbulo anterior y lóbulo posterior: 0.90; 1.40; 1.98 respectivamente. Longitud abdominal: 3.64. Ancho abdominal: 2.00.

Distribución.- Brasil.

Comentarios.- El holotipo presenta una antena oligomérica, con 3 segmentos.

Esta especie presenta, a diferencia de las demás especies del género, pelos cortos y erectos sobre el hemiélitro.

Material tipo.- Holotipo: ♂ y **Paratipo:** ♀, Brazil, Paraná, Bocainval (24°59'S 48°58'O), XII-1963, Plaumann (CNCI).

Gen.D n.sp9, especie nueva
(Figs. 121-124, 178, mapa 7, 8)

Descripción.- del *Holotipo macho*: Coloración general castaña oscura. Longitud total: 7.72 mm. Cabeza castaña oscura, con abundante pilosidad plateada, corta y decumbente hacia adelante. Longitud de la cabeza: 1.40. Longitud base de la antena-ápice del clipeo: 1.00. Distancia postocular:

0.10. Ancho de la cabeza: 1.47. Tubérculos anteníferos levemente divergentes. Ojos compuestos (Fig. 121) longitudinalmente ovales, grandes. Espacio interocular: 0.78. Ocelos ubicados a la altura de una línea imaginaria que pasa por el límite posterior de los ojos compuestos (Fig. 121), a igual distancia del margen anterior del pronoto que de los ojos. Espacio interocelar: 0.32. Segmentos rostrales I, II y ápice del segmento IV castaños oscuros, segmento III y base del segmento IV castaños claros; con pelos erectos más abundantes hacia el ápice. Con el rostro en reposo el segmento IV se dispone sobre el mesoesternito sin alcanzar las mesocoxas. Proporción de la longitud de los segmentos del rostro: 1: 1.11: 1.06: 0.64. Antenas muy largas; segmentos I, mitad distal del III y el segmento IV castaños oscuros, segmento II y mitad basal del segmento III castaños claros, el segmento IV presenta una banda castaña muy clara en la mitad basal, de 1/5 de la longitud del segmento; con abundante pilosidad corta, decumbente, y pelos cortos erectos esparcidos sobre el segmento IV; el segmento III se ensancha en la 1/2 distal y está provisto de pilosidad más gruesa y abundante. Proporción de la longitud de los segmentos de la antena: 1: 2.01: 1.95: 2.30. Pronoto castaño oscuro; piloso, con pilosidad corta y decumbente, el lóbulo anterior presenta además pelos largos y erectos esparcidos. Longitud del collar, lóbulo anterior y lóbulo posterior: 0.17; 0.90; 0.72 respectivamente. Ancho del collar, lóbulo anterior y lóbulo posterior: 0.93; 1.42; 1.03 respectivamente. Escutelo castaño oscuro; elevado en el centro; punteado; con pilosidad muy corta decumbente, y pelos largos erectos esparcidos. Hemiélitro con pilosidad muy corta y decumbente. Clavo con 3 hileras completas de puntos y 2 parciales sobre los 2/3 distales, entre la hilera media y la interna; castaño oscuro. Margen externo del corio levemente cóncavo, con la mitad proximal aserrada. Corio castaño oscuro, excepto los márgenes laterales, que se continúan en una mácula subapical delgada, castaña clara. Membrana castaña oscura, base internamente castaña clara. Pleuras castañas oscuras, áreas acetabulares y metaepímero más claros; punteadas y pilosas, con abundante pilosidad plateada, muy corta y decumbente. Profémures elongados y débilmente engrosados, con una doble hilera de espinas sobre su cara interna; cara interna de las protibias con 7

espinas mayores, en las que se inserta un pelo espiniforme, y numerosos tubérculos muy pequeños sobre toda su longitud; mesofémures inermes. Coxas castañas oscuras; una mácula irregular sobre la mitad distal de los profémures, tercio distal de los metafémures, ápice de las tibias, tarsos y pretarsos castaños; resto de las patas castaño claro. Patas con pelos decumbentes y erectos esparcidos, más abundantes sobre la porción distal de las tibias y sobre los tarsos.

Abdomen castaño oscuro. Longitud: 3.87. Ancho: 1.80. Pigóforo (Fig. 122): margen anterior de la abertura dorsal cóncavo, más notable en la parte media; proyecciones internas largas, más proyectadas atrás. En vista lateral, margen dorsal levemente inclinado hacia atrás. Parámetros (Fig. 123): espada curvada; asta con una proyección interna con pelos que se extienden sobre la base de la espada, con una espina sobre la cara anterior y con una proyección externa redondeada, con 5 pelos. Edeago (Fig. 124) desprovisto de espinas o lóbulos; reservorio eyaculatorio y alas bien desarrollados.

Medidas del paratipo.- Longitud total: 7.60. Longitud de la cabeza: 1.43. Longitud base de la antena-ápice del clipeo: 0.75. Distancia postocular: 0.10. Ancho de la cabeza: 1.35. Espacio interocular: 0.65. Espacio interocelar: 0.23. Proporción de la longitud de los segmentos del rostro: 1: 1.09: 0.86: 0.53. Longitud del collar, lóbulo anterior y lóbulo posterior: 0.17; 0.88; 0.63 respectivamente. Ancho del collar, lóbulo anterior y lóbulo posterior: 0.80; 1.27; 1.77 respectivamente. Longitud abdominal: 3.74. Ancho abdominal: 1.45.

Distribución.- Argentina.

Comentarios.- El paratipo hembra presenta el tercio distal de los mesofémures más oscuros.

Gen.D n.sp9 y *Gen.D n.sp6* presentan mesofémures inermes y protibias con espinas en los machos, pero se distingue de la última por presentar el pronoto castaño oscuro y la región basal de la membrana del hemiélitro más clara.

Material tipo.- Holotipo: ♂, Argentina, Corrientes, Pellegrini, 28°32'S 57°10'O, 8-V-2002, P. M. Dellapé (MLP).

Paratipos.- 1 ♂, mismos datos que el holotipo, M. C. Melo (MLP); 1 ♀, Argentina, Corrientes, Santa María, 27°36'S 56°41'O, IV-2003, M. C. Melo, trampa de luz de vapor de mercurio (MLP).

Gen.D n.sp10, especie nueva

(Figs. 125-128, 179, mapa 7)

Descripción.- del *Holotipo macho*: Longitud total: 8.61. Cabeza castaña oscura, casi negra, con abundante pilosidad plateada, corta y decumbente hacia adelante. Longitud de la cabeza: 1.55. Longitud base de la antena-ápice del clipeo: 0.83. Distancia postocular: 0.15. Ancho de la cabeza: 1.45. Tubérculos anteníferos levemente divergentes. Ojos compuestos (Fig. 125) longitudinalmente ovales, grandes. Espacio interocular: 0.72. Ocelos ubicados a la altura de una línea imaginaria que pasa por el límite posterior de los ojos compuestos (Fig. 125), a igual distancia de los ojos que del margen anterior del pronoto. Espacio interocelar: 0.28. Solo conserva el segmento antenal I, que es castaño claro con pilosidad corta y decumbente, y con algunos pelos erectos.

Collar y lóbulo anterior del pronoto castaño oscuro; lóbulo posterior castaño de color no uniforme, con los márgenes laterales y 4 máculas irregulares castaños claros. Pronoto piloso, con pilosidad corta y decumbente, y con algunos pelos erectos sobre el lóbulo anterior. Longitud del collar, lóbulo anterior y lóbulo posterior: 0.17; 0.92; 0.77 respectivamente. Ancho del collar, lóbulo anterior y lóbulo posterior: 0.90; 1.40; 2.07 respectivamente. Escutelo castaño oscuro con tonos rojizos, ápice castaño claro; punteado; con pilosidad corta decumbente, y pelos largos erectos esparcidos; elevado en el centro. Hemiélitro con pilosidad corta y decumbente. Clavo con 3 hileras completas de puntos y 2 parciales sobre los 2/3 distales, entre la hilera media y la interna; castaño excepto el ápice y los 2/3 proximales, entre la hilera media y externa de puntos, que son castaños claros. Margen

externo del corio levemente cóncavo, con los 4/5 proximales aserrados. Corio castaño excepto el extremo anterior, los márgenes laterales, que se continúan en una mácula subapical con forma de “U”, y una mácula alargada entre las 2 hileras internas de puntos que son castaños claros. Membrana castaña de color no uniforme, venas más claras. Pleuras castañas oscuras, áreas acetabulares, proepímero y metaepímero más claros; punteadas y pilosas, con abundante pilosidad plateada, corta y decumbente. Profémures con una doble hilera de espinas sobre su cara interna; cara interna de las protibias con 6 espinas, en las que se inserta un pelo, aproximadamente equidistantes, y numerosos tubérculos muy pequeños sobre toda su longitud; mesofémures con 2 o 3 tubérculos. Coxas castañas rojizas, profémures castaños excepto en la base, que es castaña clara, resto de las patas castaño claro con el ápice de las tibias, tarsos y pretarsos más oscuros. Patas con pelos decumbentes y erectos esparcidos, más abundantes sobre la porción distal de las tibias y sobre los tarsos.

Abdomen castaño. Longitud: 3.99. Pigóforo (Fig. 126): margen anterior de la abertura dorsal redondeado; proyecciones internas con una pequeña espina anterior, largas, más proyectadas atrás. En vista lateral, margen dorsal no inclinado hacia atrás. Parámetros (Fig. 127): espada curvada; asta con una proyección interna amplia, con varios pelos que se extienden sobre la base de la espada, con una espina sobre la cara anterior, y con una proyección externa poco desarrollada, sin pelos. Edeago (Fig. 128): conjuntiva con numerosas espinas, con 2 lóbulos distales dirigidos a los lados, con espinas en el extremo; vejiga con 3 espinas pequeñas cerca de la base, sin lóbulos; reservorio eyaculatorio alargado, con alas bien desarrolladas.

Distribución.- Brasil.

Comentarios.- El ejemplar solo conserva el primer segmento antenal y ha perdido el rostro.

Esta especie es muy similar externamente a *Gen.D serripes*, de la que se distingue por caracteres relacionados a los *genitalia* masculinos: vejiga sin

lóbulo y apertura dorsal del pigóforo sin un par de pequeñas invaginaciones anterolaterales.

Material tipo.- Holotipo: ♂, Brasil, Goiás, Jatai, Faz. Aceiro (17°53'S 51°43'O), X-1962, Exp. Dep. Zool. (MZUSP).

Gen.D n.sp11, especie nueva

(Figs. 129-132, 180, mapa 7)

Descripción.- del *Holotipo macho*: Longitud total: 9.37. Cabeza castaña oscura, casi negra, con abundante pilosidad plateada, corta y decumbente hacia adelante. Longitud de la cabeza: 1.73. Longitud base de la antena-ápice del clipeo: 0.90. Distancia postocular: 0.15. Ancho de la cabeza: 1.50. Tubérculos anteníferos levemente divergentes. Ojos compuestos longitudinalmente ovales, grandes (Fig. 129). Espacio interocular: 0.72. Ocelos ubicados a la altura de una línea imaginaria que pasa por el límite posterior de los ojos compuestos (Fig. 129), a igual distancia de los ojos que del margen anterior del pronoto. Espacio interocelar: 0.23. Rostro castaño claro, segmentos III y IV más oscuros, con pelos erectos esparcidos. Con el rostro en reposo el segmento IV apenas sobrepasa las procoxas. Proporción de la longitud de los segmentos del rostro: 1: 1.10: 0.85: -. Segmentos antenales I, II, y 2/3 basales del segmento III castaños claros, ápice del segmento III castaño oscuro, segmento IV falta; con abundante pilosidad corta y decumbente y con pelos erectos sobre los segmentos II y III, de igual o mayor longitud que el ancho del segmento II; el segmento III se ensancha en el 1/3 distal y está provisto de pilosidad más gruesa y abundante. Proporción de la longitud de los segmentos de la antena: 1: 2.39: 2.30: -. Collar y lóbulo anterior del pronoto castaños oscuros, casi negros, lóbulo posterior castaño con los márgenes laterales y 4 máculas irregulares más claras. Pronoto piloso, con pilosidad corta y decumbente, y con algunos pelos erectos sobre el lóbulo anterior. Longitud del collar, lóbulo anterior y lóbulo posterior: 0.18; 1.35; 0.82 respectivamente. Ancho del collar, lóbulo anterior y lóbulo posterior: 0.93; 1.58; 2.13 respectivamente. Escutelo

castaño oscuro, más claro hacia el ápice; punteado; con pilosidad corta decumbente, y pelos largos y erectos esparcidos; con una carena en forma de “Y” elevada en el centro. Hemiélitro con pilosidad corta y decumbente. Clavo con 3 hileras completas de puntos y una más parcial sobre los 2/3 distales, entre la hilera media y la interna; castaño excepto 2/3 proximales, entre la hilera media y externa de puntos, donde es más claro. Margen externo del corio levemente cóncavo, con los 3/4 proximales aserrados. Corio castaño de color no uniforme excepto el extremo anterior, los márgenes laterales que se continúan en una mácula subapical, y una mácula alargada entre las 2 hileras internas de puntos, que son castaños claros. Membrana castaña oscura de color no uniforme. Pleuras castañas oscuras; punteadas y pilosas, con abundante pilosidad plateada, corta y decumbente. Cara interna de las protibias con 6 espinas, en las que se inserta un pelo, aproximadamente equidistantes, y numerosos tubérculos muy pequeños sobre toda su longitud; mesofémures con 3 o 4 espinas. Coxas castañas oscuras con tonos rojizos, profémures castaños excepto en la base, que es castaña clara, resto de las patas castaño claro con el ápice de las tibias, tarsos y pretarsos más oscuros. Patas con pelos decumbentes y erectos esparcidos, más abundantes sobre la porción distal de las tibias y sobre los tarsos; profémures con pelos erectos de mayor longitud.

Abdomen castaño de color no uniforme. Longitud: 4.43. Ancho: 1.83. Pigóforo (Fig. 130): margen anterior de la abertura dorsal redondeado; proyecciones internas digitiformes. En vista lateral, margen dorsal no inclinado hacia atrás. Parámetros (Fig. 131): espada curvada; asta alargada, con la base angosta, con una proyección interna con pelos, que se extienden sobre la base de la espada, con una espina sobre la cara anterior y con una proyección externa poco desarrollada, sin pelos. Edeago (Fig. 132): conjuntiva con numerosas espinas anteriormente; vejiga con 2 lóbulos laterales débilmente esclerotizados, sin espinas; reservorio eyaculatorio y alas bien desarrollados.

Distribución.- Costa Rica.

Comentarios.- El patrón de coloración del clavo y del corio es similar al de otras especies, pero en este ejemplar es poco contrastante. Los conspicuos pelos erectos presentes sobre los segmentos antenales II y III permiten distinguir fácilmente a esta especie de cualquiera otra del género.

Las tibias y los mesofémures de los machos con espinas, el rostro corto (el segmento IV se dispone entre las procoxas) y el lóbulo anterior del pronoto con pelos largos y erectos, relacionan a esta especie con *Gen.D n.sp.13*, de la que se distingue por la coloración del lóbulo posterior del pronoto, sin un par de máculas laterales castañas oscuras y el edeago con vejiga con 2 lóbulos laterales.

Material tipo.- Holotipo: ♂, Costa Rica, San Isidro de General (09°23'N 83°42'O), 13/16-VI-1963, C. L. Hogue (NHMLAC).

Gen.D n.sp12, especie nueva

(Figs. 133-136, 181, mapa 7)

Descripción.- del *Holotipo macho*: Longitud total: 9.37. Cabeza castaña oscura, casi negra, con abundante pilosidad plateada, corta y decumbente hacia adelante. Longitud de la cabeza: 1.55. Distancia postocular: 0.13. Ancho de la cabeza: 1.48. Tubérculos anteníferos levemente divergentes. Ojos compuestos (Fig. 133) longitudinalmente ovales, grandes. Espacio interocular: 0.80. Ocelos ubicados justo por detrás de una línea imaginaria que pasa por el límite posterior de los ojos compuestos (Fig. 133), a igual distancia de los ojos que del margen anterior del pronoto. Espacio interocelar: 0.33. Rostro castaño claro, ápice del segmento IV más oscuro; con pelos erectos esparcidos. Con el rostro en reposo el segmento IV se dispone entre las procoxas. Proporción de la longitud de los segmentos del rostro: 1: 1.14: 0.96: 0.54. Segmentos antenales I, II, y 2/3 basales del segmento III castaños, resto del segmento III castaño oscuro, segmento IV castaño oscuro con una banda blanquecina subbasal de ½ de la longitud del segmento; con abundante pilosidad corta y decumbente; el segmento III se ensancha en el 1/3 distal, y está provisto de pilosidad más gruesa y

abundante. Proporción de la longitud de los segmentos de la antena: 1: 2.43: 2.17: 2.19.

Pronoto castaño oscuro; piloso, con pilosidad plateada, corta y decumbente, y con algunos pelos largos y erectos sobre el lóbulo anterior. Longitud del collar, lóbulo anterior y lóbulo posterior: 0.20; 0.93; 0.88 respectivamente. Ancho del collar, lóbulo anterior y lóbulo posterior: 0.93; 1.40; 2.18 respectivamente. Escutelo castaño oscuro, más claro hacia el ápice; punteado; con pilosidad corta decumbente y pelos largos y erectos esparcidos; con una carena en forma de "Y" elevada en el centro. Hemiélitro con pilosidad corta y decumbente. Clavo con 3 hileras completas de puntos y 2 parciales, con puntos desalineados, sobre los 2/3 distales, entre la hilera media y la interna; castaño, mitad proximal, entre las hileras media y externa, más claro; ápice adyacente al corio castaño claro. Margen externo del corio levemente cóncavo, con la mitad proximal aserrada. Corio castaño oscuro excepto el extremo anterior, los $\frac{3}{4}$ anteriores de los márgenes laterales, sutura corial y una mácula alargada sobre el endocorio que son castaños. Membrana castaña. Pleuras castañas oscuras; punteadas; con abundante pilosidad plateada, corta y decumbente. Profémures alargados y débilmente engrosados, con una doble hilera de espinas sobre su cara interna; cara interna de las protibias con numerosos tubérculos muy pequeños sobre toda su longitud; mesofémures inermes. Coxas castañas oscuras, excepto distalmente, que como los trocánteres y la región basal de los fémures, son castaños muy claros; máculas castañas de irregular distribución sobre los profémures, mitad distal de meso- y metafémures, ápice de las tibias y pretarsos, resto de las patas castaño claro. Patas con pelos cortos decumbentes, más abundantes sobre la porción distal de las tibias y sobre los tarsos; profémures con pelos largos erectos.

Abdomen castaño de color no uniforme. Longitud: 4.20. Ancho: 1.68. Pigóforo (Fig. 134): margen anterior de la abertura dorsal redondeado; proyecciones internas alargadas, con una espina anterior. En vista lateral, margen dorsal no inclinado hacia atrás. Parámetros (Fig. 135): espada fuertemente curvada en el tercio distal; asta alargada, con la base angosta, con una proyección interna con pelos, que se extienden sobre la base de la

espada, y con una proyección externa con 2 pelos largos. Edeago (Fig. 136): conjuntiva con numerosas espinas anteriormente, y con un par de lóbulos distales y laterales, que terminan en una gran espina; vejiga con 2 lóbulos laterales débilmente esclerotizados, sin espinas; reservorio eyaculatorio y alas bien desarrollados.

Medidas del paratipo.- Longitud total: 8.80. Longitud de la cabeza: 1.45. Distancia postocular: 0.13. Ancho de la cabeza: 1.43. Espacio interocular: 0.75. Espacio interocelar: 0.30. Proporción de la longitud de los segmentos del rostro: 1: 1.12: 0.95: 0.56. Proporción de la longitud de los segmentos de las antenas: 1: 2.43: 2.18: 2.40. Longitud del collar, lóbulo anterior y lóbulo posterior: 0.18; 0.93; 0.80 respectivamente. Ancho del collar, lóbulo anterior y lóbulo posterior: 0.93; 1.38; 2.08 respectivamente. Longitud abdominal: 4.40. Ancho abdominal: 1.78.

Comentarios.- Los mesofémures y las protibias inermes de los machos relacionan a esta especie con *Gen.D costalis* y con *Gen.D neotropicalis*; de la primera puede distinguirse fácilmente por la coloración de la membrana del hemiélitro (región basal clara en *Gen.D costalis*, y homogénea en *Gen.D n.sp12*), y de *Gen.D neotropicalis* por la coloración general más oscura. Esta especie es característica por presentar un par de lóbulos distales y laterales en la conjuntiva que terminan en una gran espina. Además es la única entre las especies del género que carece de la prolongación anterior de las alas del reservorio eyaculatorio.

Material tipo.- Holotipo: ♂ y **Paratipo:** ♂, Perú, Ucayali, Pagoreni, 9°49'S 72°15'O, 23/24-II-2004, Jorge Williams, trampa de luz (MLP).

Gen.D n.sp13, especie nueva
(Figs. 137-140, 182, mapa 7)

Descripción.- del *Holotipo macho*: Longitud total: 8.23 mm. Cabeza castaña oscura, con abundante pilosidad plateada, corta y decumbente hacia

adelante. Longitud de la cabeza: 1.43. Longitud base de la antena-ápice del clipeo: 0.73. Distancia postocular: 0.13. Ancho de la cabeza: 1.43. Tubérculos anteníferos levemente divergentes. Ojos compuestos (Fig. 137) longitudinalmente ovals, grandes. Espacio interocular: 0.72. Ocelos ubicados por delante de una línea imaginaria que pasa por detrás de los ojos compuestos (Fig. 137), a igual distancia del margen anterior del pronoto que de los ojos. Espacio interocelar: 0.30. Rostro castaño claro, segmentos III y IV más oscuros, ápice del segmento IV aun más oscuro; con pelos erectos y esparcidos sobre los segmentos II, III, y IV. Con el rostro en reposo el segmento IV se dispone entre las procoxas. Proporción de la longitud de los segmentos del rostro: 1: 1.09: 0.88: 0.56. Antenas muy largas; segmentos I, II, y 2/3 basales del segmento III castaños claros, resto del segmento III castaño oscuro, segmento IV castaño con una banda basal castaña, muy clara, de 1/3 de la longitud del segmento; con abundante pilosidad corta y decumbente, el segmento III es ensanchado en el 1/3 distal y está provisto de pilosidad más gruesa y abundante. Proporción de la longitud de los segmentos de la antena: 1: 2.55: 2.35: 2.43.

Collar y lóbulo anterior del pronoto castaños oscuros; lóbulo posterior castaño, con los márgenes laterales y 4 bandas irregulares longitudinales castaños claros y con un par de máculas laterales castañas oscuras, anteriores a los ángulos posterolaterales. Pronoto piloso, con pilosidad corta y decumbente, y con algunos pelos largos y erectos sobre el lóbulo anterior. Longitud del collar, lóbulo anterior y lóbulo posterior: 0.18; 1.08; 0.73 respectivamente. Ancho del collar, lóbulo anterior y lóbulo posterior: 0.88; 1.58; 2.07 respectivamente. Escutelo castaño oscuro, más claro hacia el ápice; punteado; con pilosidad corta y decumbente; con una carena baja en forma de "Y" abultada en el centro. Hemiélitro con pilosidad corta y decumbente. Clavo con 3 hileras completas de puntos y 2 parciales, con puntos desalineados, sobre los 2/3 distales, entre la hilera media y la interna; castaño, ápice y región entre la hilera media y externa de puntos castaños claros. Margen externo del corio levemente cóncavo, con la mitad proximal aserrada. Corio castaño de color no uniforme, excepto el extremo anterior, los márgenes laterales, que se continúan en una mácula subapical

con forma de “U”, y una mácula alargada entre las 2 hileras internas de puntos que son castaños claros. Membrana castaña de color no uniforme, con las venas y la región adyacente a estas blanquecinas. Pleuras castañas oscuras, áreas acetabulares y metaepímero más claro; punteadas y pilosas, con abundante pilosidad plateada, corta y decumbente. Profémures engrosados, con una doble hilera de espinas sobre su cara interna; protibias con 5 espinas mayores, en las que se inserta un pelo, aproximadamente equidistantes, sobre su cara interna, y con numerosos tubérculos muy pequeños sobre toda su longitud; mesofémures con 3 y 5 espinas cada uno. Procoxas castañas oscuras con tonos rojizos, meso- y metacoxas castañas, resto de las patas castaño claro, con los ápices de las tibias y los tarsos más oscuros. Patas con pelos cortos decumbentes, más abundantes sobre la porción distal de las tibias y sobre los tarsos, y con pelos erectos esparcidos, en mayor cantidad y de mayor longitud sobre los profémures.

Abdomen castaño de color no uniforme. Longitud: 3.84. Ancho: 1.50. Pigóforo (Fig. 138): margen anterior de la abertura dorsal redondeado; proyecciones internas largas. En vista lateral, margen dorsal no inclinado hacia atrás. Parámetros (Fig. 139): espada curvada; asta con una proyección interna amplia, débilmente esclerotizada, con varios pelos, y con una proyección externa poco desarrollada, sin pelos. Edeago (Fig. 140): conjuntiva con numerosas espinas anteriormente y con 2 pares de lóbulos, uno lateral y otro posterior, con espinas en su extremo; vejiga corta, sin lóbulos ni espinas; reservorio eyaculatorio y alas bien desarrollados.

Medidas de los paratipos.- (n= 8) Longitud total: 7.09-7.98 (media 7.75). Longitud de la cabeza: 1.33-1.50 (media 1.46). Longitud base de la antena-ápice del clipeo: 0.73-0.77 (media 0.75). Distancia postocular: 0.11-0.13 (media 0.12). Ancho de la cabeza: 1.32-1.48 (media 1.43). Espacio interocular: 0.63-0.75 (media 0.71). Espacio interocelar: 0.23-0.32 (media 0.28). Proporción de la longitud de los segmentos del rostro: 1: 1.10: 0.87: 0.55. Proporción de la longitud de los segmentos de la antena: 1: 2.32: 2.25: 2.56. Longitud del collar, lóbulo anterior y lóbulo posterior: 0.15-0.18 (media 0.17); 0.83-0.90 (media 0.87); 0.65-0.75 (media 0.71) respectivamente.

Ancho del collar, lóbulo anterior y lóbulo posterior: 0.72-0.90 (media 0.85); 1.27-1.45 (media 1.39); 1.73-2.03 (media 1.96) respectivamente. Longitud abdominal: 3.67-4.07 (media 3.89). Ancho abdominal: 1.45-1.92 (media 1.68).

Distribución.- Panamá

Comentarios.- Los paratipos machos y hembras presentan el lóbulo anterior del pronoto más reducido, y el rostro llega al mesoesternito sin alcanzar las mesocoxas. La banda del segmento antenal IV puede ocupar la mitad de la longitud del segmento. Las hembras no presentan espinas sobre las protibias ni sobre los mesofémures.

El lóbulo posterior del pronoto, con un par de máculas laterales castañas oscuras, y el edeago con la vejiga sin lóbulos laterales, distinguen a esta especie de las demás del género.

Material tipo.- Holotipo: ♂, Panamá, Las Cumbres (9°49'N 79°32'O), 26-III-1975, H. Wolda (OSUC).

Paratipos: 3 ♀♀, Panamá, Coco Solo Hospital, zona del canal (9°21'N 79°59'O), 15-V-1973, P. D. Ashlock (SEM-UKANS), 1 ♀, 16-V-1973, P. D. Ashlock (SEM-UKANS), 1 ♀, 19-V-1973, P. D. Ashlock (SEM-UKANS), 1 ♀, 21-V-1973, D. Engleman, trampa de luz (JSC), 1 ♀, 14-VI-1972, D. Engleman (SEM-UKANS), 1 ♂, 1 ♀, 11-XI-1973, D. Engleman, trampa de luz (JSC).

Gen.D n.sp14, especie nueva

(Figs. 141-144, 183, mapa 7)

Descripción.- del *Holotipo macho*: Longitud total: 8.10 mm. Cabeza castaña oscura, con abundante pilosidad plateada, corta y decumbente hacia adelante. Longitud de la cabeza: 1.53. Longitud base de la antena-ápice del clípeo: 0.77. Distancia postocular: 0.13. Ancho de la cabeza: 1.40. Tubérculos anteníferos levemente divergentes. Ojos compuestos (Fig. 141)

longitudinalmente ovales, grandes, prominentes. Espacio interocular: 0.67. Ocelos ubicados a la altura de una línea imaginaria que pasa por detrás de los ojos compuestos (Fig. 141), más cerca del margen anterior del pronoto que de los ojos. Espacio interocelar: 0.25. Rostro castaño claro, ápice del segmento IV más oscuro; con pelos erectos esparcidos sobre los segmentos II, III, y IV. Con el rostro en reposo el segmento IV se dispone entre las procoxas. Proporción de la longitud de los segmentos del rostro: 1: 1.09: 0.88: 0.54. Antenas muy largas; segmentos I, II, y 2/3 basales del segmento III castaños claros, resto del segmento III y el segmento IV castaños, este último presenta una banda castaña muy clara ubicada en el tercio basal, de 1/3 de la longitud del segmento; con abundante pilosidad corta y decumbente; el segmento III se ensancha en el 1/3 distal y está provisto de pilosidad más gruesa y abundante. Proporción de la longitud de los segmentos de la antena: 1: 2.46: 2.38: 3.

Collar y lóbulo anterior del pronoto castaños oscuros; lóbulo posterior castaño, ángulos posterolaterales, márgenes laterales y 4 bandas irregulares longitudinales castaños claros, de estas últimas las mediales son más anchas y notorias. Pronoto piloso, con pilosidad corta y decumbente. Longitud del collar, lóbulo anterior y lóbulo posterior: 0.15; 1.00; 0.68 respectivamente. Ancho del collar, lóbulo anterior y lóbulo posterior: 0.85; 1.45; 2.03 respectivamente. Escutelo castaño oscuro, más claro hacia el ápice; punteado; con pilosidad corta y decumbente; con una carena en forma de "Y" abultada en el centro. Hemiélitro con pilosidad corta y decumbente. Clavo con 3 hileras completas de puntos y 2 parciales sobre los 2/3 distales, entre la hilera media y la interna; castaño, con el extremo anterior, adyacente al escutelo, castaño oscuro, y con una banda castaña clara entre la hilera media y la externa de puntos. Margen externo del corio levemente cóncavo, con los 2/3 proximales aserrados. Corio castaño, excepto el extremo anterior, los márgenes laterales, que se continúan en una mácula subapical con forma de "U", y una mácula alargada entre las 2 hileras internas de puntos que son castaños claros. Membrana castaña de color no uniforme. Pleuras castañas oscuras; punteadas y pilosas, con abundante pilosidad plateada, corta y decumbente. Profémures elongados y engrosados,

con una doble hilera de espinas sobre su cara interna; protibias con 5 espinas mayores, en las que se inserta un pelo, aproximadamente equidistantes sobre su cara interna, y numerosos tubérculos muy pequeños sobre toda su longitud; mesofémures con 4 espinas. Procoxas castañas oscuras con tonos rojizos, meso- y metacoxas castañas, resto de las patas castaño claro. Patas con pelos erectos esparcidos, más abundantes sobre la porción distal de las tibias y sobre los tarsos.

Abdomen castaño de color no uniforme. Longitud: 3.84. Ancho: 1.67. Pigóforo (Fig. 142): margen anterior de la abertura dorsal redondeado; proyecciones internas con una pequeña espina anterior, y formando un proceso digitiforme posterior. En vista lateral, margen dorsal no inclinado hacia atrás. Parámetros (Fig. 143): espada curvada; asta con una proyección interna amplia, aplanada, poco esclerotizada, y con el extremo romo, con varios pelos, con una espina sobre la cara anterior, y con una proyección externa poco desarrollada, sin pelos. Edeago (Fig. 144): conjuntiva con numerosas espinas, y con 2 lóbulos con espinas en el extremo; vejiga sin lóbulos o espinas; reservorio eyaculatorio y alas bien desarrollados.

Medidas del paratipo.- Longitud total: 7.60. Longitud de la cabeza: 1.43. Longitud base de la antena-ápice del clipeo: 0.75. Distancia postocular: 0.13. Ancho de la cabeza: 1.35. Espacio interocular: 0.65. Espacio interocelar: 0.23. Proporción de la longitud de los segmentos del rostro: 1: 1.09: 0.86: 0.53. Longitud del collar, lóbulo anterior y lóbulo posterior: 0.17; 0.88; 0.63 respectivamente. Ancho del collar, lóbulo anterior y lóbulo posterior: 0.80; 1.27; 1.77 respectivamente. Longitud abdominal: 3.74. Ancho abdominal: 1.45.

Distribución.- Guyana, Panamá.

Comentarios.- En el paratipo el lóbulo posterior del pronoto es castaño rojizo, con las bandas castañas claras prácticamente indistinguibles; las pleuras son castañas oscuras, con las áreas acetabulares y el metaepímero

más claro. Este ejemplar presenta una antena oligomérica con 3 segmentos, con el tercero muy largo, con una banda más clara.

Las tibias y los mesofémures de los machos con espinas y el rostro corto (el segmento IV se dispone entre las procoxas) relacionan a esta especie con *Gen.D n.sp5*, *Gen.D n.sp13* y con *Gen.D n.sp11*, de la primera se distingue por los ojos no pedunculados, y de las 2 últimas por tener solo pelos cortos y decumbentes sobre el pronoto.

Material tipo.- Holotipo: ♂, Panamá, Panamá prov., Cerro Campana (8°43'N 79°54'O), 2-I-1975, L. B. O'Brien (SEM-UKANS).

Paratipo: 1 ♂, Guyana, Bartica (05°47'N 57°38'O), 14-VII-1901, H. S. Parish, Osborn coll. (OSUC).

Gen.D n.sp15, especie nueva

(Figs. 145-148, 184, mapa 7)

Descripción.- del *Holotipo macho*: Longitud total: 7.60 mm. Cabeza castaña oscura, con abundante pilosidad plateada, corta y decumbente hacia adelante. Longitud de la cabeza: 1.40. Longitud base de la antena-ápice del clípeo: 0.80. Distancia postocular: 0.05. Ancho de la cabeza: 1.50. Tubérculos anteníferos divergentes. Vertex aplanado. Ojos compuestos (Fig. 145) longitudinalmente ovales, muy grandes y prominentes, levemente pedunculados. Espacio interocular: 0.72. Ocelos ubicados por delante de una línea imaginaria que pasa por el límite posterior de los ojos compuestos (Fig. 145), más cerca del margen anterior del pronoto que de los ojos. Espacio interocelar: 0.28. Rostro castaño claro, ápice del segmento IV más oscuro; con pelos erectos y esparcidos sobre los segmentos II, III, y IV. Con el rostro en reposo el segmento IV se dispone sobre el mesoesternito, pero no alcanza a las mesocoxas. Proporción de la longitud de los segmentos del rostro: 1: 1.15: 0.94: 0.59. Antenas muy largas; segmentos I, II, y 2/3 basales del segmento III castaños claros, resto del segmento III castaño; con abundante pilosidad corta y decumbente, y pelos erectos esparcidos sobre los segmentos II y III; el segmento III se ensancha en el 1/3 distal y está

provisto de pilosidad más gruesa y abundante. Proporción de la longitud de los segmentos de la antena: 1: 2.27: 2.17: -.

Collar y lóbulo anterior del pronoto castaños oscuros; lóbulo posterior castaño, mitad anterior de los márgenes laterales y 4 bandas irregulares longitudinales castaños claros. Pronoto piloso, con pelos cortos decumbentes y semierectos; lóbulo anterior con pelos erectos, largos, esparcidos. Longitud del collar, lóbulo anterior y lóbulo posterior: 0.17; 0.95; 0.73 respectivamente. Ancho del collar, lóbulo anterior y lóbulo posterior: 0.83; 1.30; 1.85 respectivamente. Escutelo castaño oscuro, más claro hacia el ápice; punteado; con pilosidad corta y decumbente, y con pelos erectos esparcidos como los del lóbulo anterior; con una carena en forma de "Y" elevada en el centro. Hemiélitro con pilosidad corta y decumbente. Clavo con 3 hileras completas de puntos y 2 parciales sobre los 2/3 distales, entre la hilera media y la interna; castaño, con 2/3 proximales castaños claros, entre la hilera media y externa. Margen externo del corio levemente cóncavo, con los 2/3 proximales aserrados. Corio castaño excepto el extremo anterior, 2/3 anteriores de los márgenes laterales, una mácula subapical con forma de "U", una pequeña mácula más interna y anterior a esta última, y una mácula alargada entre las 2 hileras internas de puntos, que son castaños claros. Membrana castaña de color no uniforme. Pleuras castañas oscuras, metaepímero más claro; punteadas y pilosas, con abundante pilosidad plateada, corta y decumbente.

Profémures elongados y engrosados, con una doble hilera de espinas sobre su cara interna; cara interna de las protibias con 5 espinas mayores, en las que se inserta un pelo, aproximadamente equidistantes, y numerosos tubérculos muy pequeños sobre toda su longitud, mesofémures con 4 espinas. Coxas castañas oscuras con tonos rojizos, resto de las patas castaño claro, con los protrocánteres y los profémures más oscuros. Patas con pelos erectos esparcidos, más abundantes sobre los profémures, la porción distal de las tibias y sobre los tarsos.

Abdomen castaño de color no uniforme. Longitud: 3.34. Ancho: 1.83. Pigóforo (Fig. 146): margen anterior de la abertura dorsal cóncavo; proyecciones internas digitiformes. En vista lateral, margen dorsal levemente

inclinado hacia atrás. Parámetros (Fig. 147): espada suavemente curvada; asta alargada, con una proyección interna poco desarrollada, con varios pelos y con una proyección externa con 3 pelos. Edeago (Fig. 148) desprovisto de espinas; vejiga con 2 grandes lóbulos; reservorio eyaculatorio con alas bien desarrolladas; sin escleritos de sujeción.

Medidas de los paratipos.- (n= 2) Longitud total: 7.60-7.80. Longitud de la cabeza: 1.40-1.42. Longitud base de la antena-ápice del clipeo: 0.81-0.83. Distancia postocular: 0.04-0.07. Ancho de la cabeza: 1.48-1.51. Espacio interocular: 0.72-0.75. Espacio interocelar: 0.27-0.32. Proporción de la longitud de los segmentos de la antena: 1: 2.28: 2.15: -. Longitud del collar, lóbulo anterior y lóbulo posterior: 0.17-0.18; 0.85-0.96; 0.72-0.81 respectivamente. Ancho del collar, lóbulo anterior y lóbulo posterior: 0.83-0.88; 1.30-1.35; 1.86-2.03 respectivamente. Longitud abdominal: 3.40-4.00. Ancho abdominal: 1.83-1.97.

Comentarios.- En el paratipo hembra el lóbulo posterior del pronoto es castaño oscuro.

Solo *Gen.D n.sp5* tiene ojos levemente pedunculados; de esta puede diferenciarse por el lóbulo anterior del pronoto con pelos cortos, decumbentes, y pelos largos erectos.

Material tipo.- Holotipo: ♂, Guyana, Bartica (05°47'N 57°38'O), 15-IV-1901, H. S. Parish, Osborn coll. (OSUC).

Paratipo.- 1 ♂, Guyana, Demerara (06°20'N 58°13'O), 22-IV-1901 (CAS); 1 ♀, Guyana, Bartica (05°47'N 57°38'O), 2-V-1901, H. S. Parish, Osborn coll. (OSUC).

Gen.D tuberculata (Osborn 1904), nueva combinación
(Figs. 172-173, mapa 7)

Pamera tuberculatus Osborn, 1904: 201-202

Pachybrachius tuberculatus: Slater, 1964: 1858

Neopamera tuberculata: Harrington, 1980: 107; Slater & O'Donnell, 1995: 152

Redescripción del holotipo ♀.- Longitud total: 8.61mm. Cabeza castaña oscura, con abundante pilosidad plateada, corta y decumbente hacia adelante. Longitud de la cabeza: 1.58. Longitud base de la antena-ápice del clípeo: 0.83. Ancho de la cabeza: 1.58. Tubérculos anteníferos levemente divergentes. Ojos compuestos longitudinalmente ovales, grandes. Espacio interocular: 0.77. Ocelos ubicados a la altura de una línea imaginaria que pasa por el límite posterior de los ojos compuestos, más cerca del margen anterior del pronoto que de los ojos. Espacio interocelar: 0.28. Rostro castaño claro, ápice del segmento IV castaño oscuro, con pelos erectos más abundantes y largos hacia el ápice. Con el rostro en reposo el segmento IV se dispone entre las procoxas. Proporción de la longitud de los segmentos del rostro: 1: 1.06: 0.72: 0.60. Segmentos antenales I y II castaños; con abundante pilosidad corta decumbente y pelos erectos esparcidos. Proporción de la longitud de los segmentos de la antena: 1: 2.83: 2.54: -. Collar y lóbulo anterior del pronoto castaños oscuros; lóbulo posterior castaño, márgenes laterales y 2 bandas irregulares longitudinales castaños claros. Pronoto piloso, con pilosidad corta y decumbente. Lóbulo anterior con un par de tubérculos. Longitud del collar, lóbulo anterior y lóbulo posterior: 0.23; 0.80; 0.70 respectivamente. Ancho del collar, lóbulo anterior y lóbulo posterior: 0.90; 1.45; 2.08 respectivamente. Escutelo castaño; punteado; con pilosidad corta decumbente y con algunos pelos erectos largos; con una carena en forma de "Y" elevada en el centro. Hemiélitro con pilosidad corta y decumbente. Clavo con 3 hileras completas de puntos y 2 parciales sobre los 2/3 distales, entre la hilera media y la interna; castaño excepto el ápice y 2/3 proximales, entre la hilera media y externa de puntos, que son castaños claros. Margen externo del corio levemente cóncavo, con los 4/5 proximales aserrados. Corio castaño claro, excepto una mácula anterior que se comunica mediante una angosta banda con una franja transversal, que se ensancha y encierra una mácula clara internamente, y el ápice corial que son castaños oscuros. Membrana castaña de color no

uniforme. Pleuras castañas oscuras, áreas acetabulares y metaepímero más claros; punteadas y pilosas, con abundante pilosidad plateada, corta y decumbente. Profémures elongados y débilmente engrosados, con una doble hilera de espinas sobre su cara interna; protibias con numerosos tubérculos muy pequeños sobre toda la longitud de la cara interna; mesofémures inermes. Coxas castañas con tonos rojizos, resto de las patas castaño claro. Patas con pelos decumbentes y erectos esparcidos, más abundantes sobre la porción distal de las tibias y sobre los tarsos. Meso- y metatibias con pelos espiniformes.

Abdomen castaño de color no uniforme, segmento V castaño claro ventralmente. Longitud: 4.07. Ancho: 1.83.

Distribución.- Guyana.

Comentarios.- El único ejemplar examinado fue el holotipo hembra, probablemente el único conocido, por lo que los caracteres relacionados con los machos no pudieron relevarse. Esta especie es ubicada en este nuevo género sobre la base de la morfología de la cabeza, y del margen costal aserrado. Es muy semejante a varias de las especies de *Gen.D*, pero es fácilmente reconocida por los tubérculos que presenta sobre cada parche del lóbulo anterior del pronoto.

Material examinado

Material tipo.- Holotipo: ♀, Guyana, Bartica (05°47'N 57°38'O), 18-IV-1901, H. S. Parish, Osborn coll. (OSUC).

Gen.D crassicornis (Stål 1874), nueva combinación

(Figs. 149-150, 167, mapa 7)

Rhyparochromus (Plociomerus) vicinus Stål 1858: 40 (preocupado)

Pamera crassicornis Stål 1874: 150; Lethierry & Severin, 1894: 192 (nuevo nombre para *R. vicinus* Stål, preoc.)

Pachybrachius crassicornis: Slater, 1964: 1119

Neopamera crassicornis: Harrington, 1980: 107; Slater & O'Donnell, 1995: 151

Redescripción del lectotipo ♂.- Cabeza castaña oscura, con abundante pilosidad plateada, corta y decumbente hacia adelante. Longitud de la cabeza: 1.30. Longitud base de la antena-ápice del clipeo: 0.68. Ancho de la cabeza: 1.38. Tubérculos anteníferos levemente divergentes. Ojos compuestos (Fig. 149) longitudinalmente ovales, grandes. Espacio interocular: 0.77. Ocelos ubicados a la altura de una línea imaginaria que pasa por el límite posterior de los ojos compuestos (Fig. 149), más cerca del margen anterior del pronoto que de los ojos. Espacio interocelar: 0.32. Segmento I del rostro castaño, el resto del rostro castaño claro, con el ápice del segmento IV castaño oscuro; con pelos erectos esparcidos. Con el rostro en reposo el segmento IV se dispone sobre el mesoesternito sin alcanzar las mesocoxas. Proporción de la longitud de los segmentos del rostro: 1: 1.06: 0.81: 0.66. Segmento antenal I castaño (resto de la antena perdida). Collar y lóbulo anterior del pronoto castaños oscuros, con tonos rojizos; lóbulo posterior castaño, que pasa a castaño claro en la mitad posterior. Pronoto piloso, con escasa pilosidad corta y decumbente. Longitud del collar, lóbulo anterior y lóbulo posterior: 0.13; 0.88; 0.73 respectivamente. Ancho del collar, lóbulo anterior y lóbulo posterior: 0.85; 1.30; 1.68 respectivamente. Escutelo castaño oscuro, más claro hacia el ápice; punteado; con escasa pilosidad corta y decumbente; con una carena en forma de "Y" algo elevada en el centro. Clavo con 3 hileras completas de puntos y una parcial sobre los 2/3 distales, entre la hilera media y la interna; castaño muy claro, con la mitad distal más oscura. Margen externo del corio levemente cóncavo, con los 5/6 proximales aserrados. Corio castaño claro, con una franja media y ápice más oscuros, conectados por una franja de igual coloración adyacente a la membrana. Membrana castaña, con una franja transversal clara que parte del ápice corial, y una mácula ovalada blanquecina en el ápice. Pleuras (Fig. 150) castañas brillantes, excepto el collar y el proepímeron que son pruinosos; punteadas; prácticamente glabras.

Procoxas con 2 espinas, una mucho mayor; profémures engrosados y con una doble hilera de espinas sobre su cara interna, y numerosas espinas minúsculas entre las 2 hileras; protibia curva, cara interna con numerosos tubérculos muy pequeños sobre toda su longitud. Coxas y protrocánteres castaños rojizos, profémures castaños rojizos, excepto los extremos que son castaños claros, ápice de las tibias, tarsos y pretarsos castaños, resto castaño claro. Patas con pelos decumbentes esparcidos, más abundantes sobre los profémures y la porción distal de las tibias y sobre los tarsos.

Distribución.- Brasil.

Comentarios.- El ejemplar tipo está muy deteriorado. Carece de abdomen, de una de las patas delanteras, del segundo y tercer par de patas, a excepción de las coxas, y de los segmentos antennales II, III, IV. El ejemplar fue recibido junto con otro alfiler con una tarjeta con partes pegadas, las que supuestamente pertenecen al tipo: un par de patas anteriores y posteriores, una pata media y un par de hemiélitros. De estas partes solo los hemiélitros pueden ser asignados al ejemplar tipo, este solo conserva el clavo derecho, y el hemiélitro derecho, pegado sobre la tarjeta, carece de clavo, en tanto que el izquierdo presenta el mismo patrón de coloración y punteado; en relación a las patas, una de las anteriores pertenece a un alydido, y la otra es distinta de la única que el ejemplar conserva; dudo que el segundo y tercer pares pertenezcan al tipo.

Sobre la base de la morfología de la cabeza y del margen corial aserrado, se ubica a esta especie en este nuevo género. La coloración rojiza con tonos brillantes del pronoto difiere de las demás especies del género.

Material examinado

Material tipo.- Lectotipo: ♂ (sin abdomen), Brazil, designado por G. G. E. Scudder (1977: 35) (SMNH).

Aspectos biogeográficos

El incompleto conocimiento acerca de la diversidad, abundancia y patrones de distribución de la fauna de Rhyparochromidae en la región Neotropical es un factor limitante cuando se intenta segregar áreas de endemismo o analizar la fauna en un contexto histórico.

La mayoría de las especies de Rhyparochromidae presentan hábitos geófilos (Slater, 1977) alimentándose de semillas caídas, y muchas especies son poco voladoras. Las especies más comúnmente colectadas son aquellas que suben a las plantas para alimentarse de semillas antes de que estas caigan, y de este modo son capturadas con redes de arrastre, o las que son atraídas y capturadas mediante trampas de luz. Muchas especies son conocidas únicamente de la localidad tipo, o de unas pocas localidades, y otras presentan un patrón de distribución disyunto, generado muy probablemente por insuficiente muestreo (ej. Melo *et al.* (2004) citan de la prov. de Corrientes (Argentina) a *Cholula lymphra* Brailovsky, *Cholula maculatus* (Distant), *Paracholula picta* (Fabricius) citadas únicamente de México las dos primeras, y de México, Honduras y Panamá la última), o por errores de determinación (ej. Dellapé y Coscarón^(c) (en evaluación) proponen la creación de un nuevo género para ubicar a las dos especies Neotropicales del género *Cnemodus* Herrich-Schaefer, citadas de Bolivia y la Argentina; de esta manera el género *Cnemodus* queda conformado por solo dos especies neárticas).

Slater (1980) nota, en relación con la fauna de Antillocorini, la presencia de taxa relativamente “primitivos” en América de Sur y señala la importancia de esta área como un refugio para muchos antiguos grupos, presumiblemente debido al aislamiento de América de Sur como una enorme isla durante la mayor parte del Terciario.

En la región Neotropical los Myodochini han llenado los nichos ecológicos que están ocupados en el viejo mundo por representantes de otras tribus (Slater, 1986).

En el contexto de la presente tesis, el género *Neopamera* queda restringido a 4 especies: *N. albocincta* es conocida desde Canadá hasta el sur de América

de Sur, con una amplia distribución en la región Neotropical; algo similar ocurre con *N. bilobata*, que se distribuye desde el sudeste de los Estados Unidos hasta la Argentina. Slater & Baranowski (1990) notan que *N. bilobata* prefiere hábitats más secos que *N. albocincta*, y que es común en hábitats disturbados, tales como campos de cultivo en desuso, banquinas de carreteras y malezales.

N. insularis está restringida a las islas Galápagos; es muy similar en su morfología a *N. bilobata* y parece haberse originado a partir de esta por dispersión.

N. hondurana es conocida únicamente para América Central y el norte de América de Sur (Venezuela, y Trinidad y Tobago).

Poco se puede decir de *Gen.A mumfordi* conocida para las islas Marquesas a partir de una única hembra, la cual presenta una serie de caracteres considerados primitivos. Las islas Marquesas comprenden 12 islas extremadamente aisladas, localizadas aproximadamente a 5.500 km al oeste de América de Sur (8°11'S 139°141'O). La flora y la fauna presentes en las islas son el resultado de procesos de colonización y de evolución *in situ* (http://www.worldwildlife.org/wildworld/profiles/terrestrial/oc/oc0108_full.html). Estas islas son de origen volcánico y tienen una antigüedad aproximada de 6 millones de años las del noroeste, y de 1.3 millones de años las del sudoeste. (Florence & Lorence 1997).

Gen.B. intermedia se conoce sólo de islas del Caribe; la presencia de una especie sin describir, asignable a este nuevo género, en la Argentina, amplía en gran medida su distribución.

El género *Paromius* es uno de los 3 géneros de Myodochini con representantes en el nuevo y en el viejo mundo. *Paromius procerulus* es conocida del sudeste de América de Sur y se distribuye en la provincia biogeográfica de La Pampa, subregión Chaqueña (Morrone, 2001); sus ninfas y adultos han sido colectados en gran número sobre la espiga de *Andropogon selloanus*, común en ambientes disturbados, como banquinas de carreteras.

Gen.C es propuesto para ubicar a *Gen.C brachialis* y 4 especies nuevas, cuya distribución conocida está restringida a la región Neotropical, subregión Chaqueña (Morrone, 2001). Estas especies se asemejan mucho a las del

género *Heraeus*, cuyas especies se distribuyen desde Canadá hasta la Argentina. Posiblemente entre las catorce especies ubicadas en *Heraeus*, particularmente las neotropicales, se encuentren otras pertenecientes a *Gen.C*.

Gen.D es creado para ubicar a 6 especies hasta ahora en *Neopamera* y 11 especies nuevas; este nuevo género es principalmente de distribución neotropical, con solo dos especies que alcanzan la región Neártica (*Gen.D neotropicalis* y *Gen.D tineodes*). El género abarca especies muy semejantes externamente, por lo que es común encontrarlas mezcladas en las colecciones y con errores de determinación; varias de las nuevas especies descritas en el presente trabajo estaban determinadas como *N. costalis* o *N. neotropicalis*. La dificultad para distinguirlas externamente hace que los datos de distribución geográfica presentes en la bibliografía sean poco confiables, por ejemplo *Gen.D. neotropicalis* está citada de la Argentina por varios autores (Berg, 1892; Pennington, 1921; Quintanilla, Margheritis *et al.*, 1976; Quintanilla, Rizzo *et al.*, 1981; Slater & Baranovski, 1990) pero yo no he podido examinar ningún espécimen de esta especie colectado en la Argentina.

Harrington (1980) señala que los edeagos “tipo III” parecen ser claramente de origen neártico, con unas pocas especies pertenecientes a los géneros *Froeschneria*, *Lygirocoris* y *Perigenes*, distribuidas en el Neotrópico; sin embargo la presencia de varias nuevas especies neotropicales con espinas sobre la conjuntiva (posiblemente sean muchas más) y la compleja relación filogenética de estas especies pone en duda este esquema y hacen necesarios mayores estudios sobre la fauna neotropical a fin de establecer con mayor sustento las relaciones filogenéticas y la biogeografía del grupo.

Algo similar ocurre cuando Harrington (1980) analiza al grupo de géneros con edeago “tipo II”; ella señala que la evolución del grupo se dió primeramente en los trópicos del viejo mundo, basándose en la mayor cantidad de especies conocidas, y que la presencia de los géneros *Bacacephalus* Harrington y *Pseudoparomius* en América del Sur es enigmático; de nuevo la presencia de al menos dos especies de *Pseudopachybrachius*: *P. vinctus* (Say) y *P. conceptioni* Zheng & Slater;

Paromius procerulus y *P. longulus*; *Pseudoparomius linearis* y 3 nuevas especies de este género (Dellapé & Coscarón^(a), en evaluación) y varias nuevas especies todavía no descritas, posiblemente asignables a géneros inéditos obliguen a replantearse la zoogeografía de este grupo de géneros.

Biodiversidad de Rhyparochromidae de la Argentina

Como aporte para el conocimiento de esta familia en la República Argentina se brinda una lista actualizada con todas las especies citadas hasta el momento del país con su distribución geográfica, así como cinco primeras citas. Se mencionan los trabajos con las descripciones originales de géneros y especies, la especie tipo de cada género y todas las citas de la Argentina. El conocimiento de la biodiversidad de las Rhyparochromidae en la región Neotropical, y en particular de la Argentina, es muy escaso; el último listado de las especies en el país y su distribución geográfica fue realizado por Pennington (1921), donde cita un total de 10 géneros y 15 especies. Aquí se reconocen 23 géneros y 34 especies.

Rhyparochromidae

Rhyparochrominae

Antillocorini

***Paradema* Slater**

1980 *Paradema* Slater: 208, 212-213. Especie tipo: *Paradema oculata* Slater 1980, por designación original.

***Paradema longisetosa* Slater**

1980 *Paradema longisetosa* Slater: 213 [nueva especie: Argentina: Tucumán]

1995 *Paradema longisetosa*: Slater & O'Donnell: 107 [Argentina]

***Paurocoris* Slater**

1980 *Paurocoris* Slater: 209, 220-221. Especie tipo: *Paurocoris wygodzinskyi* Slater 1980, por designación original.

***Paurocoris wygodzinskyi* Slater**

1980 *Paurocoris wygodzinskyi* Slater: 221-222 [nueva especie: Argentina: Tucumán. Brasil. Ecuador. Perú. Venezuela]

1995 *Paurocoris wygodzinskyi*: Slater & O'Donnell: 107 [Argentina]

Lethaeini

Bubaces Distant

1893 *Bubaces* Distant: 409. Especie tipo: *Bubaces castaneus* Distant 1893, por monotipia.

***Bubaces enatus* Brailovsky**

1981_b *Bubaces enatus* Brailovsky: 209-210 [nueva especie: Salta: Dpto. Gral. San Martín, Pocitos]

1995 *Bubaces enatus*: Slater & O'Donnell: 95 [Argentina]

Cistalia Stål

1874 *Cistalia* Stål: 164-165. Especie tipo: *Lygaeus signoretii* Guérin 1857, designada por Van Duzee 1916.

***Cistalia alboannulata* (Stål)**

1858 *Rhyparochromus alboannulatus* Stål: 41 [nueva especie: Brasil; transferida a *Cistalia* por Stål 1874: 165]

Primera cita de la Argentina: Corrientes: Ituzaingó: Reserva Santa María; Santa Fe: Villa Ana.

***Cistalia signoretii* Guérin**

1857 *Lygaeus (Platygaster) signoretii* Guérin-Ménéville: 396-397 [nueva especie: Cuba]

2004 *Cistalia signoretii*: Melo *et al.*: 66 [Corrientes: Col. C. Pellegrini]

Cryphula Stål

1874 *Cryphula* Stål: 164-166. Especie tipo: *Cryphula parallelogramma* Stål 1874, por monotipia.

***Cryphula australis* (Berg)**

1884 *Tropisthetus (sic) australis* Berg: 105 [nueva especie: Buenos Aires: Tandil]

1894 *Tropistethus australis*: Lethierry & Severin: 201 [Argentina]

1921 *Tropistethus australis*: Pennington: 19 [Buenos Aires]

1964 *Tropistethus australis*: Slater: 855 [Argentina]

1979 *Cryphula australis*: Slater: 163-164 [Buenos Aires: Tandil]

***Cryphula dubia* (Berg)**

1883 *Tropisthetus dubius* Berg: 265-266 [nueva especie: Buenos Aires: Chacabuco]

1894 *Tropisthetus dubius*: Lethierry & Severin: 201 [Argentina]

1921 *Tropisthetus dubius*: Pennington: 19 [Buenos Aires]

1964 *Tropistethus dubius*: Slater: 855-856 [Argentina]

1979 *Cryphula dubia*: Slater: 160-163 [Buenos Aires: Chacabuco]

2004 *Cryphula dubia*: Melo *et al.*: 66 [Corrientes: Col. C. Pellegrini]

***Lipostemmata* Berg**

1880 *Lipostemmata* Berg: 16. Especie tipo: *Lipostemmata humeralis* Berg
1880, por monotipia.

***Lipostemmata humeralis* Berg**

- 1880 *Lipostemmata humeralis* Berg: 16-17 [nueva especie: Buenos Aires]
1921 *Lipostemmata humeralis*: Pennington: 19 [Buenos Aires]
1964 *Lipostemmata humeralis*: Slater: 835 [Argentina]
1970 *Lipostemmata humeralis*: Ashlock: 304-305 [Buenos Aires: La Plata]
1972 *Lipostemmata humeralis*: Schnack: 242, 245-246, 248, 253-255, 257
[Buenos Aires: Laguna de Chascomús, Laguna Las Perdices, Laguna Yalca,
Arroyo Vitel]
1973 *Lipostemmata humeralis*: Schnack: 4,7-10 [Buenos Aires: Laguna
Yalca]
1987 *Lipostemmata humeralis*: Estévez *et al.*: 661 [Buenos Aires: Berisso, Los
Talas]
1998 *Lipostemmata humeralis*: López Ruf & Mazzucconi: 14. [Buenos Aires:
Ensenada, selva marginal de Punta Lara. (sobre *Azolla* sp., *Salvinia* sp.)]
2003 *Lipostemmata humeralis*: López Ruf *et al.*: 68 [Corrientes: Parque
Nacional Mburucuyá]
2004 *Lipostemmata humeralis*: Melo *et al.*: 66 [Corrientes: Col. C. Pellegrini]

***Lipostemmata major* Ashlock**

- 1970 *Lipostemmata major* Ashlock: 307-308 [nueva especie: Corrientes: San
Roque; Formosa: Gran Guardia, Mojón de Fierro]
1995 *Lipostemmata major*: Slater & O'Donnell: 99 [Argentina]
1999 *Lipostemmata major*: Mazzucconi & López Ruf: 48 [Buenos Aires:
Reserva Ecológica Costanera Sur. (sobre *Salvinia herzogii*)]
2003 *Lipostemmata major*: López Ruf *et al.*: 68 [Corrientes: Parque Nacional
Mburucuyá]
2004 *Lipostemmata major*: Melo *et al.*: 66 [Corrientes: Col. C. Pellegrini]

***Lipostemmata scutellatus* Ashlock**

1970 *Lipostemmata scutellatus* Ashlock: 305-307 [nueva especie: Buenos Aires: Chascomús; Entre Ríos: La Paz; Formosa: Gran Guardia]

1995 *Lipostemmata scutellatus*: Slater & O'Donnell: 99 [Argentina]

2003 *Lipostemmata scutellatus*: López Ruf *et al.*: 68 [Corrientes: Parque Nacional Mburucuyá]

Neopetissius O'Donnell

2001 *Neopetissius* O'Donnell: 134-135. Especie tipo: *Neopetissius slaterorum* O'Donnell 2001, por designación original.

***Neopetissius perplexus* O'Donnell**

2001 *Neopetissius perplexus* O'Donnell: 139-140 [nueva especie: Brasil. Bolivia]

Primera cita de la Argentina: Corrientes: Col. C. Pellegrini; Entre Ríos: Colón.

***Rhaptus* Stål**

1874 *Rhaptus* Stål: 163-164. Especie tipo: *Pachymerus quadricollis* Stål 1874, por monotipia.

***Rhaptus quadricollis* (Spinola)**

1852 *Pachymerus quadricollis* Spinola: 144-145 [nueva especie: Chile]

1880 *Rhaptus quadricollis*: Berg: 15 [Corrientes; Mendoza]

1894 *Rhaptus quadricollis*: Lethierry & Severin: 226 [Argentina]

1921 *Rhaptus quadricollis*: Pennington: 19 [Mendoza]

1964 *Rhaptus quadricollis*: Slater: 840 [Argentina]

***Stictolethaeus* O'Donnell**

1991 *Stictolethaeus* O'Donnell: 87-89. Especie tipo: *Stictolethaeus slateri* O'Donnell 1991, por monotipia.

***Stictolethaeus inerme* (Berg)**

1883 *Lamprodema inerme* Berg: 266-267 [nueva especie: Buenos Aires: Chacabuco]

1921 *Lamprodema inerme*: Pennington: 19 [Buenos Aires]

1964 *Lamprodema inerme*: Slater: 1345 [Argentina]

1991 *Stictolethaeus slateri* O'Donnell: 91, 94 [Buenos Aires: Otamendi, Punta Lara, Pereira Iraola, Tandil, Temperley; Catamarca: El Suncho; Córdoba: Arias, V. Hermosa; Santa Fé: isla Timbó]

1995 *Stictolethaeus slateri*: Slater & O'Donnell: 101 [Argentina]

2004 *Stictolethaeus inerme*: Dellapé & Coscarón: 17 [Buenos Aires: Chacabuco; Entre Ríos]

Myodochini

***Cholula* Distant**

1882 *Cholula* Distant: 211. Especie tipo: *Cholula bicolor* Distant 1882, designada por Slater 1964.

***Cholula lymph* Brailovsky**

1981_a *Cholula lymph* Brailovsky: 55, 56, 58, 59, 61-63 [nueva especie: México]

2004 *Cholula lymph*: Melo *et al.*: 66 [Corrientes: Col. C. Pellegrini]

***Cholula maculata* (Distant)**

1893 *Neocattarus maculatus* Distant: 403-404 [nueva especie: México; transferida a *Cholula* por Harrington 1980: 81]

2004 *Cholula maculatus*: Melo *et al.*: 67 [Corrientes: Col. C. Pellegrini]

Cnemodus Herrich-Schaeffer

1850 *Cnemodus* Herrich-Schaeffer: 184. Especie tipo *Cnemodus brevipennis* Herrich-Schaeffer 1850 = *Astemma mavortia* Say 1831, por monotipia.

***Cnemodus albimaculus* Berg**

1878 *Cnemodus albimaculus* Berg: 261-262 [nueva especie: Uruguay]

1883 *Cnemodus albimaculus*: Berg: 264-265 [Buenos aires: Chacabuco; Sierras de San Luis]

1894 *Cnemodus albimaculus*: Lethierry & Severin: 193 [Argentina]

1921 *Cnemodus albimaculus*: Pennington: 19 [Argentina: Litoral]

1964 *Cnemodus albimaculus*: Slater: 1071 [Argentina]

1976 *Cnemodus albimaculus*: Quintanilla, Margheritis *et al.*: 121 [Corrientes: Berón de Astrada, General Alvear, Mercedes, Paso de los Libres, Santo Tomé]

1981 *Cnemodus albimaculus*: Quintanilla, Rizzo *et al.*: 150 [Misiones: Cainguás]

Erlacda Signoret

1863 *Erlacda* Signoret: 567. Especie tipo: *Erlacda arhaphaeoides* Signoret 1863, por monotipia.

***Erlacda argentinensis* Dellapé & Melo**

2004 *Erlacda argentinensis* Dellapé & Melo (en prensa) [nueva especie: Buenos Aires: La Plata, Las Flores; Catamarca: Concepción de Capayán; Chaco: N. Pompeya, Lapachito; Córdoba: Cabana, San Antonio de Arredondo; Corrientes: Col. C. Pellegrini, Galarza, Ituzaingó, San Roque;

Entre Ríos; La Pampa: Gral. Pico; La Rioja; Salta: Río Carapari; Santa Fe: Rosario; Santiago del Estero; Tucumán]

***Froeschneria* Harrington**

1980 *Froeschneria* Harrington: 63. 70, 101. Especie tipo: *Ligyrocoris multispinus* Stål 1874, por designación original.

***Froeschneria multispinus* (Stål)**

1874 *Ligyrocoris multispinus* Stål: 145 [nueva especie: México]

1892 *Ligyrocoris multispinus*: Berg: 161-162 [Córdoba]

1921 *Lygyrocoris (sic) multispinus*: Pennington: 19 [Córdoba; La Rioja]

1964 *Ligyrocoris multispinus*: Slater: 1091-1092 [Argentina]

2004 *Froeschneria multispinus*: Melo *et al.*: 67 [Corrientes: Col. C. Pellegrini]

***Heraeus* Stål**

1862 *Heraeus* Stål: 314-315. Especie tipo: *Lygaeus triguttatus* Guérin 1857, por monotipia.

***Heraeus cincticornis* Stål**

1874 *Heraeus cincticornis* Stål: 147 [nueva especie: Colombia]

1892 *Heraeus cincticornis*: Berg: 162 [Buenos aires: Chacabuco]

1894 *Heraeus cincticornis*: Lethierry & Severin: 191 [Argentina]

1920 *Heraeus cincticornis*: Pennington: 1921 [Buenos Aires]

1964 *Heraeus cincticornis*: Slater: 1082 [Argentina]

2004 *Heraeus cincticornis*: Melo *et al.*: 67 [Corrientes: Col. C. Pellegrini]

***Neopamera* Harrington**

1980 *Neopamera* Harrington: 107. Especie tipo: *Pamera bilobatus* Say 1831, por designación original.

***Neopamera bilobata* (Say)**

- 1831 *Pamera bilobata* Say: 334-335 [nueva especie: México. Estados Unidos]
 1878 *Pamera bilobata*: Berg: 232 [Buenos Aires]
 1882 *Pamera bilobata*: Distant: 208 [Argentina]
 1894 *Pamera bilobata*: Lethierry & Severin: 191 [Argentina]
 1921 *Orthaea bilobata*: Pennington: 19 [Litoral, Centro y Norte de la Argentina]
 1964 *Pachybrachius bilobatus*: Slater: 1113-1116 [Argentina]
 1976 *Orthaea bilobata*: Quintanilla, Margheritis *et al.*: 121 [Corrientes: San Luis del Palmar]
 2004 *Neopamera bilobata*: Melo *et al.*: 67 [Corrientes: Col. C. Pellegrini]

***Neopamera platana* (Bergroth)**

- 1894 *Pamera platana* Bergroth: 166 [nueva especie: La Plata; transferida a *Pachybrachius* por Slater 1964: 1139]
 1964 *Pachybrachius platanus*: Slater: 1139 [Argentina; transferida a *Neopamera* por Harrington 1980: 107]

***Gen.D neotropicalis* (Kirkaldy) (n. comb.)**

- 1803 *Lygaeus serripes* Fabricius: 236 [nueva especie: America meridionalis]
 1892 *Pamera serripes*: Berg: 164 [Río Paraná]
 1909 *Orthaea neotropicalis* Kirkaldy: 31 [nuevo nombre, *serripes* preocc]
 1921 *Orthaea serripes*: Pennington: 19 [Paraná]
 1964 *Pachybrachius neotropicalis*: Slater: 1132 [Argentina]
 1975-1976 *Pamera serripes*: Quintanilla, Margheritis *et al.*: 121 [Corrientes: Esquina, Santo Tomé]
 1981 *Pamera serripes*: Quintanilla, Rizzo *et al.*: 121 [Misiones: Cainguás]

***Paracholula* Harrington**

1980 *Paracholula* Harrington: 79-81. Especie tipo: *Neocattarus thoracicus* Distant 1893, por designación original.

***Paracholula picta* (Fabricius)**

1803 *Coreus pictus* Fabricius: 202 [nueva especie: America meridionalis; transferida a *Plociomera* por Stål 1868: 77; transferida a *Ptochiomera* por Slater 1964: 1169; transferida a *Neocattarus* por Scudder 1970: 101; transferida a *Paracholula* por Harrington 1980: 78]

2004 *Paracholula picta*: Melo *et al.*: 67 [Corrientes: Col. C. Pellegrini]

***Paromius* Fieber**

1839 *Stenocoris* Rambur: 139-140. Especie tipo: *Stenocoris gracilis* Rambur 1839, por monotipia [en Coreidae].

1861 *Paromius* Fieber: 170-171 [nuevo nombre *Stenocoris*, preocc.]

***Paromius longulus* (Dallas)**

1852 *Rhyparochromus longulus* Dallas: 578-579 [nueva especie: patria ignota]

1883 *Pamera longula*: Berg: 263 [Buenos Aires: Chacabuco]

1894 *Paromius longulus*: Lethierry & Severin: 193 [Argentina]

1921 *Paromius longulus*: Pennington: 19 [Litoral, Centro y Norte de la Argentina]

1964 *Paromius longulus*: Slater: 1155-1557 [Argentina]

***Paromius procerulus* (Berg) (n. comb.)**

- 1892 *Pamera procerula* Berg: 75-76 [nueva especie: Buenos Aires: Chacabuco, Adrogué, Almirante Brown]
- 1892 *Pamera sororcula* Berg: 77 [**n. syn**]
- 1894 *Pamera procerula*: Lethierry & Severin: 193 [Argentina]
- 1894 *Pamera sororcula*: Lethierry & Severin: 194 [Argentina]
- 1921 *Orthaea procerula*: Pennington: 19 [Buenos Aires]
- 1921 *Orthaea sororcula*: Pennington: 19 [Buenos Aires]
- 1964 *Pachybrachius procerulus*: Slater: 1139 [Argentina]
- 1964 *Pachybrachius sororculus*: Slater: 1142 [Argentina]
- 1997 *Pamera procerula*: Coscarón: 46 [Buenos Aires: Adrogué, (Almirante Brown)]

Pseudopachybrachius Malipatil

- 1978 *Pseudopachybrachius Malipatil*: 63. Especie tipo: *Rhyparochromus guttus* Dallas 1852, por designación original.

Pseudopachybrachius concepcioni Zheng & Slater

- 1984 *Pseudopachybrachius concepcioni* Zheng & Slater: 95, 98-104, 106, 108, 111-113 [nueva especie: Bolivia. Dominica. Grenada. República Dominicana. Trinidad y Tobago]

Primera cita de la Argentina: Corrientes: Ituzaingó: Reserva Santa María; Formosa.

Pseudopachybrachius vinctus (Say)

- 1831 *Pamera vinctus* Say: 333 [nueva especie: United States; transferida a *Pachybrachius* por Barber 1939: 352; transferida a *Pseudopachybrachius* por Harrington 1980: 96]
- 2004 *Pseudopachybrachius vinctus*: Melo *et al.*: 67 [Corrientes: Col. C. Pellegrini]

***Pseudoparomius* Harrington**

1980 *Pseudoparomius* Harrington: 95. Especie tipo: *Pamera linearis* Stål 1874, por monotipia.

***Pseudoparomius linearis* (Stål)**

1874 *Pamera linearis* Stål: 148-149 [nueva especie: Confederación Argentina]

1894 *Pamera linearis*: Lethierry & Severin: 193 [Argentina]

1921 *Orthaea linearis*: Pennington: 19 [Buenos Aires]

1964 *Pachybrachius linearis*: Slater: 1128 [Argentina; transferida a *Pseudoparomius* por Harrington 1980: 95]

2004 *Pseudoparomius linearis*: Melo *et al.*: 67 [Corrientes: Col. C. Pellegrini]

***Sisamnes* Distant**

1893 *Sisamnes* Distant: 402. Especie tipo: *Sisamnes contractus* Distant 1893, por monotipia.

***Sisamnes annulicollis* (Berg)**

1894 *Plociomera annulicollis* Berg: 26-27 [nueva especie: Buenos Aires: Chacabuco]

1894 *Plociomera annulicollis*: Lethierry & Severin: 193 [Argentina]

1964 *Sisamnes annulicollis*: Slater: 1177 [Argentina]

Ozophorini

***Bergidea* Breddin**

1897 *Bergidea* Breddin: 6-7. Especie tipo: *Pachymerus polychromus* Spinola 1852, por monotipia.

***Bergidea atrata* Ashlock**

1985 *Bergidea atrata* Ashlock: 681-683 [nueva especie: Chubut: El Hoyo, Lago Puelo; Neuquen: Pucará, Lago Lacar, 23 km O San Martín de los Andes; Río Negro: San Carlos de Bariloche]

1995 *Bergidea atrata*: Slater & O'Donnell: 133 [Argentina]

***Bergidea polychroma* (Spinola)**

1852 *Pachymerus polychromus* Spinola: 149-150 [nueva especie: Chile]

1883 *Pamera polychroma*: Berg: 263-264 [Estrecho de Magallanes: Punta Arenas]

1894 *Pamera polychroma*: Lethierry & Severin: 193 [Argentina]

1895 *Pamera polychroma*: Berg: 199 [Punta Arenas (estrecho de Magallanes), Filaret]

1896 *Pamera polychroa (sic)*: Berg: 132 [Tierra del Fuego]

1897 *Bergidea polychroma*: Breddin: 6-7, 28 [Sur de la Patagonia (Punta Arenas), Ushuaia]

1899 *Plociomeria ohlini* Haglund: 173, 175 [Patagonia; sin. por Bergroth 1906: 4]

1921 *Orthaea polychroma*: Pennington: 19 [Patagonia]

1962 *Bergidea polychroma*: Scudder: 1066-1067 [Río Negro: Lago Gutierrez; Tierra del Fuego: bahía Boyeurou]

1964 *Bergidea polychroma*: Slater: 1043 [Argentina, Patagonia]

1985 *Bergidea polychroma*: Ashlock: 681-683 [Neuquen; Río Negro; Tierra del Fuego]

***Ozophora* Uhler**

1871 *Ozophora* Uhler: 102. Especie tipo: *Ozophora picturata* Uhler 1871, por monotipia.

***Ozophora atropictoides* Slater & Baranowski**

1995 *Ozophora atropictoides* Slater & Baranowski: 315-318 [Brasil. Costa Rica. Honduras. México. Panamá. Trinidad. USA. Venezuela]

Primera cita de la Argentina: Misiones: Concepción: Santa María.

***Ozophora australis* Slater**

1995 *Ozophora australis* Slater: 2-5 [nueva especie: Jujuy: San Salvador, Termas de Reyes. Brasil]

1995 *Ozophora australis*: Slater & O'Donnell: 136 [Argentina]

***Ozophora gracilipes* (Stål)**

1858 *Rhyparochromus (Plociomerus) gracilipes* Stål: 40 [nueva especie: Brasil]

1892 *Ozophora gracilipes*: Berg: 165 [Misiones hasta Buenos Aires]

1894 *Ozophora gracilipes*: Lethierry & Severin: 193 [Argentina]

1921 *Ozophora gracilipes*: Pennington: 19 [Litoral y Norte de la Argentina]

1964 *Ozophora gracilipes*: Slater: 1050-1051 [Argentina]

2004 *Ozophora gracilipes*: Melo *et al.*: 66 [Corrientes: Col. C. Pellegrini]

Udeocorini

***Tempyra* Stål**

1874 *Tempyra* Stål: 154-155, 157. Especie tipo: *Tempyra biguttula* Stål

1874, por monotipia.

***Tempyra biguttula* Stål**

1874 *Tempyra biguttula* Stål: 157 [nueva especie: Estados Unidos]

Primera cita de la Argentina: Entre Ríos: Concordia.

Bibliografía

- Amyot C. J. B. & A. Serville. 1843. Histoire naturelle des insectes Hémiptères. *En* "Suites à Bufon." Fain et Thunot, Paris. lxxvi + 675 +8 (atlas).
- Ashlock P. D. 1957. An investigation of the taxonomic value of the phallus in the Lygaeidae (Hemiptera-Heteroptera). *Ann. Entomol. Soc. Am.* 50: 407-426.
- Ashlock P. D. 1964. Two new tribes of Rhyparochrominae: a re-evaluation of the tribe Lethaeini (Hemiptera: Heteroptera: Lygaeidae). *Ann. Soc. Entomol. Am.* 57: 414-422.
- Ashlock P. D. 1970. A revision of the genus *Lipostemmata* Berg (Hemiptera-Heteroptera: Lygaeidae). *Occ. Pap. Univ. Conn. (Biol. Sci.)* 1: 299-309.
- Ashlock P. D. 1972. The Lygaeidae of the Galápagos Islands (Hemiptera: Heteroptera). *Proc. Cal. Acad. Sc., serie 4*, 39(8): 87-103.
- Ashlock P. D. 1985. A revision of the Bergidea group: a problem in classification and biogeography (Hemiptera-Heteroptera: Lygaeidae). *J. Kansas Entomol. Soc.* 57: 675-688.
- Ashlock P. D. & A. Slater. 1988. Family Lygaeidae Schilling, 1829. pp. 167-245. *En* *Catalog of the Heteroptera, or True Bugs of Canadá and the Continental United States.* (ed.) Henry T. J. & R. C. Froeschner. E. J. Brill. Leiden, New York, Köbenhavn, Köln.
- Ballou C. H. 1937. Insect notes from Costa Rica in 1936. *Insect Pest Surv. Bull. U. S.* 17: Supp. N° 9: 483-590.

- Banks N. 1910. Catalogue of the Nearctic Hemiptera-Heteroptera. Amer. Ent. Soc. Philadelphia. P. C. Stockhausen. viii +103 pp.
- Baranowski R. M. & J. A. Slater. 1998. The Lygaeidae of the Cayman islands with the description of a new species of *Ochrimnus* (Hemiptera). Florida Entomol. 81(1): 75-92.
- Barber H. G. 1914_a. New Hemiptera-Heteroptera with comments upon the distribution of certain known species. J. New York Entomol. Soc. 22(2): 164-171.
- Barber H. G. 1914_b. Insects of Florida II. Hemiptera. Bull. Am. Mus. Nat. Hist. 33(31): 495-535.
- Barber H. G. 1923_a. Report on certain families of Hemiptera-Heteroptera collected by the Barbados-Antigua expedition from the University of Iowa in 1918. Stud. Nat. Hist. Iowa. Univ. 10: 17-29.
- Barber H. G. 1923_b. A preliminary report on the Hemiptera-Heteroptera of Porto Rico collected by the American Museum of Natural History. Amer. Mus. Novitates 75: 1-13.
- Barber H. G. 1924. Corrections & comments on Hemiptera-Heteroptera. J. New York Entomol. Soc. 32: 133-137.
- Barber H. G. 1925. Hemiptera-Heteroptera from the Williams Galapagos expeditions. Zoologica. N. Y. 5(21): 241-254.
- Barber H. G. 1934. The Norwegian zoological expedition to the Galapagos Islands 1925, conducted by Alf Wollebaek XI. Hemiptera-Heteroptera. Medd. Zool. Mus. Oslo 42: 281-289.

- Barber H. G. 1939. Scientific survey of Porto Rico & the Virgin Islands: Hemiptera-Heteroptera (excepting the Miridae & Corixidae). Sci. Surv. P. Rico 14(3): 263-441.
- Barber H. G. 1953. The genus *Pachybrachius* in the United States & Canada with the description of two new species (Hemiptera: Lygaeidae). J. New York Entomol. Soc. 60: 211-220.
- Barber H. G. 1954_a. A report on the Hemiptera Heteroptera from the Bimini Islands, Bahamas, British West Indies. Am. Mus. Novit. 1682: 1-18.
- Barber H. G. 1954_b. The family Lygaeidae (Hemiptera: Heteroptera) of the Island of Cuba & the Isle of Pines - Part II. Mem. Soc. Cubana Hist. Nat. 22: 335-353.
- Barber H. G. & P. D. Ashlock. 1960. The Lygaeidae of the Van Voast - American Museum of Natural History expedition to the Bahama Islands, 1953 (Hemiptera: Heteroptera). Proc. Entomol. Soc. Wash. 62: 117-124.
- Beatty H. A. 1944. Fauna of St. Croix, V. I. The insects of St. Croix. J. Dep. Agric. P.R. 28(3-4): 114-172.
- Berg, C.1878. Hemiptera Argentina: Ensayo de una monografía de los Hemípteros Heterópteros y Homópteros de la República Argentina. An. Soc. Cient. Arg. 6(5): 223-233; 6(6): 261-284.
- Berg, C.1880. Hemiptera Argentina: Ensayo de una monografía de los Hemípteros Heterópteros y Homópteros de la República Argentina. An. Soc. Cient. Arg. 9(1): 5-25.
- Berg, C. 1883. Addenda et emendanda ad Hemiptera Argentina. An. Soc. Cient. Arg. 15(6): 241-269.

- Berg, C. 1884. Addenda et emendanda ad Hemiptera Argentina. An. Soc. Cient. Arg. 17(2): 97-118.
- Berg C. 1892. Nova Hemiptera faunarum Argentinae et Uruguayensis. Lygaeidae. An. Soc. Cient. Argent. 33: 151-165. (reimpreso Bonariae: Pauli E. Coni et Filiorum pp 1-104)
- Berg C. 1894. Descripciones de algunos Hemipteros Heteropteros nuevos o poco conocidos. An. Mus. Nac. Montevideo 1: 13-27.
- Berg C. 1895. Hemípteros de la Tierra del Fuego. An. Mus. Nac. B. Aires 4: 195-206.
- Berg C. 1896. Contribución al estudio de los Hemípteros de Tierra del Fuego. An. Mus. Nac. B. Aires 5: 131-137.
- Bergroth E. 1894. Liste de quelques Hémiptères de La Plata. Rev. Ent., Caën 13: 164-167.
- Bergroth E. 1906. Systematische & synonymische Bemerkungen über Hemipteren. Wien. Ent. Ztg. 25: 1-12.
- Bergroth E. 1914. Four new American Hemiptera. Psyche, Camb., Mass. 21: 73-75.
- Blatchley W. S. 1926. Heteroptera or true bugs of eastern North America, with especial reference to the faunas of Indiana & Florida. Indianapolis: Nature Publishing Co. 1116 pp.
- Bonhag P. F. & J. R. Wick. 1953. The functional anatomy of the male and female reproductive systems of the milkweed bug, *Oncopeltus fasciatus* (Dallas) (Heteroptera, Lygaeidae). J. Morph. 93(2): 177-283.

- Brailovsky H. 1981_a. Hemiptera-Heteroptera de México XXI. Notas acerca de *Cholula* Distant y descripción de nuevas especies (Lygaeidae: Rhyparochrominae-Myodochini). Folia Entomol. Mexicana 47: 51-68.
- Brailovsky H. 1981_b. El género *Bubaces* Distant y descripción de dos nuevas especies (Hemiptera-Heteroptera-Lygaeidae-Rhyparochrominae). An. Inst. Biol. Univ. Nac. Auton. de Mex. 51.(1981) Ser. Zool. 1: 205-216.
- Bredden G. 1897. Hemipteren: Hamburger Magalhaensische Sammelreise. Hamburg: L. Friederichsen & Co. 36 pp.
- Bredden G. 1901. Neue Lygaeiden & Pyrrhocoriden der Malayisch-australischen Region. Soc. Ent. 16: 59-60.
- Brimley C. S. 1938. The insects of North Carolina, being a list of the insects of North Carolina and their close relatives. N. Car. Dept. Agr. Div. Ent. 560 pp.
- Brooks A. N. & E. G. Kelsheimer. 1951. Strawberries in Florida: Culture, diseases & insects. Agric. Ext. Serv. Bull. Fla. 148: 1-32.
- Brooks A. N., Watson, J. R & E. G. Kelsheimer. 1929. Strawberries in Florida. Rep. Fla. Exp. Sta. 204: 517.
- Burmeister H. 1835. Handbuch der Entomologie. Zweiter Band: II Ordnung Rhynchota. Berlin: Theod. Ehr. Friedr. Enslin. iv + 400 pp.
- Campos F. 1925. Nueva contribución al estudio de los Rincotos Heteropteros del Ecuador. Rev. Colegio Rocafuerte N° 19-20: 43-67.
- Coscarón M. C. 1997. Los ejemplares tipo de Aradoidea, Lygaeoidea y Pyrrhocoroidea (Heteroptera) depositados en la colección del Museo de La Plata. Ser. Téc. Didác. Museo de La Plata (40):43-48.

- Coscarón M. C. 2003. Anexo I. Biodiversidad de chinches terrestres (Insecta: Heteroptera) en los Esteros del Iberá: Inventario faunístico en la provincia de Corrientes. pp 359-367. *En* Fauna del Iberá. (ed.) Blanca B. Alvarez. EUDENE. Corrientes, Argentina. 375 pp.
- Costa Lima A. da 1940. Insetos do Brasil II. Hemipteros. Rio de Janeiro. Escola Nacional de Agronomia. 351 pp.
- Costello S. L., Pratt P. D., Rayamajhi M. B. & T. D. Center. 2003. Arthropods associated with above-ground portions of the invasive tree, *Melaleuca quinquenervia*, in south Florida, USA. *Florida Entomol.* 86(3): 300-322.
- Dallas W. S. 1852. List of the specimens of Hemipterous insects in the collection of the British Museum. Part II. Taylor & Francis Inc. London. 369-592.
- Dellapé P. M. 2003. A new species of *Ashlockobius* (Heteroptera: Rhyparochromidae: Myodochini) from Venezuela. *Zootaxa* 289: 1-6.
- Dellapé P. M. & M. C. Coscarón. 2004. New combination and new synonymy in the tribes Megalonotini and Lethaeini (Hemiptera: Rhyparochromidae). *Rev. Soc. Entomol. Arg.* 63(1-2): 17-18.
- Dellapé P. M. & M. C. Coscarón^(a). Revision of the genus *Pseudoparomius* Harrington (Heteroptera: Rhyparochromidae), with the description of three new species. *Trans. Amer. Ent. Soc.* (en evaluación)
- Dellapé P. M. & M. C. Coscarón^(b). Revision of the genus *Orthaea* Dallas (Rhyparochromidae: Heteroptera), and *Neomyocoris*: a new genus for *O. arnaudi* Brailovsky. *Zootaxa* (en evaluación)

- Dellapé P. M. & M. C. Coscarón^(c). A new genus and redescription for neotropical species previously placed in *Cnemodus* (Heteroptera: Lygaeoidea: Rhyparochromidae). *Deutsche Entomol. Zeitschrift* (en evaluación)
- Dellapé P. M. & M. C. Melo. 2004. A new species of *Erlacda* Signoret (Heteroptera: Lygaeoidea: Rhyparochromidae) from Argentina. *Stud. Neotrop. Fauna Environ.* (en prensa).
- Distant W. L. 1882-1893. *Insecta. Rhynchota. Hemiptera-Heteroptera. Vol I. Biol. Cent-Amer. London* (v)-xx + 462 pp. (Lygaeidae 1882: 173-220 & 1893 Suppl. 378-472).
- Distant W. L. 1901. Rhynchotal notes. IX. Heteroptera: Fam. Lygaeidae. *Ann. Mag. Nat. Hist.* 7 (7):464-486, 497-519.
- Dohrn F. A. 1859. *Catalogus Hemipterorum. Herrcke und Lebeling. Stettin.* 112 pp.
- Dupuis C. 1955. Les génitalia des Hémiptères Hétéroptères (génitalia externes des deux sexes: voies ectodermiques femelles). *Mém. Mus. Hist. Nat., Paris, (A) (n.s.)* 6: 183-278.
- Estévez A. L., Balseiro E. G., Schnack J. A. & G. R. Spinelli. 1987. Ciclo anual, aspectos de la ecología reproductiva y disposición espacial de una población de *Lipostemmata humeralis* Berg (Hemiptera Lygaeidae). *Limnobiós* 2: 661-666.
- Fabricius J. C. 1803. *Systema Rhyngotorum secundum ordines, genera, species, adjectis synonymis, locis observationibus, descriptionibus. Brunsvigae. Apud Carolum Reichard.* vi + 314 pp.

- Fieber F. X. 1860-1861. Die europäischen Hemiptera. Halbflügler (Rhynchota Heteroptera). Nach der analytischen Methode bearbeitet. Gerold, Wien. 1860, i-vi + 1-112; 1861, 113-444.
- Fife L. C. 1939. Insects & a mite found on cotton in Puerto Rico with notes on their economic importance & natural enemies. Bull. Puerto Rico (fed) Agric. Exp. Sta. N° 39: 1-14.
- Florence J. and D.H. Lorence. 1997 Introduction to the flora and vegetation of the Marquesas Islands. Allertonia 7:226-237.
- Fontes E. M. G., Habeck D. H. & F. Slansky Jr. 1994. Phytophagous insects associated with goldenrods (*Solidago* spp.) in Gainesville, Florida. Florida Entomol. 77(2): 209-221.
- Froeschner R. C. 1944. Contributions to a synopsis of the Hemiptera of Missouri, Pt. III. Amer. Midl. Nat. 31(3): 638-83.
- Froeschner R. C. 1981. Heteroptera or true bugs of Ecuador: A partial catalog. Smiths. Contr. Zool. (322). Smithsonian Institution press. Washington. 147 pp.
- Froeschner R. C. 1985. Synopsis of the Heteroptera or true bugs of the Galápagos islands. Smiths. Contr. Zool. (407). Smithsonian Institution press. Washington. 122 pp.
- Froeschner R. C. 1999. True bugs (Heteroptera) of Panamá: a synoptic catalog as a contribution to the study of panamanian biodiversity. Mus. Am. Entomol. Inst. 61: 393 pp.
- Gaines J. C. 1933. Trap collections of insects in cotton in 1932. Bull. Brooklyn ent. Soc. 28: 47-54.

- Gibson W. W. & J. L. Carrillo. 1959. Lista de insectos en la colección entomológica de la oficina de estudios especiales, S. A. G. México. Folleto miscelaneo N. 9: XVIII + 254 pp.
- Glick P. A. 1939. The distribution of insects, spiders & mites in the air. Tech. Bull. U. S. Dep. Agric. N° 673: 1-150.
- Glover T. 1876. Manuscript notes from my journal or illustrations of insects, nativa & foreing. Order Hemiptera, suborder Heteroptera or plant bugs. Washington: J. C. Entwisle. 132 pp.
- Goloboff P. A. 1993. Estimating character weight during tree search. Cladistics 9: 83-91.
- Goloboff P. A. 1998_a. Pee-Wee versión 3.0 para Windows. Programa y documentación distribuido por el autor. Sitio Web de la Willi Hennig Society: <http://www.cladistics.org/education.html>.
- Goloboff P. A. 1998_b. NONA versión 2.0 para Windows. Programa y documentación distribuido por el autor. Sitio Web de la Willi Hennig Society: <http://www.cladistics.org/education.html>.
- Gowdey C. C. 1926. Catalogus insectorum Jamaicensis. Ent. Bull. Jamaica 4(1-2): 1-114.
- Guérin-Méneville E. E.. 1857. In Sagra, Histoire physique, politique & naturelle de l'Isle de Cuba. Animaux articulés à pieds articulés. Paris: Arthus Bertrand. 399 pp.
- Gulde J. 1936. Die Dorsaldrüsen der Larven der Hemiptera-Heteroptera. Ver. Senkenb. Nat. Ges. 1902: 85-136.

- Haglund C. J. E. 1899. Die Hemipteren der Schwedischen Expedition nach den Magellansländern 1895-1897. Svenska Exped. Till Magellanslanderna 2(9): 173-178.
- Hargreaves H. 1948. List of recorded cotton insects of the world. London: Commonwealth Institute of Entomology. 50 pp.
- Harrington J. 1980. A generic level revision and cladistic analysis of the Myodochini of the world (Hemiptera, Lygaeidae, Rhyparochrominae). Bull. Amer. Mus. Nat. Hist. 167: 49-116.
- Harrington J. 1987. A revision of the genus *Dushinckanus* with descriptions of two new species (Hemiptera: Lygaeidae). J. New York Entomol. Soc. 95: 81-90.
- Henry T. J. 1997. Phylogenetic analysis of family groups within the infraorder Pentatomomorpha (Hemiptera: Heteroptera), with emphasis on the Lygaeoidea. Ann. Entomol. Soc. Am. 90: 275-301.
- Herrera M. 1917. Insectos homocrómicos y miméticos mexicanos. Bol. Direcc. Estud. Biol. 2: 83-91.
- Herrich-Schaeffer G. H. W. 1850. Die Wanzenartigen Insekten. Nurnberg. C. H. Zeh'schen Buchhandlung 9: 188-217.
- Hijmans R. J, Guarino L., Bussink C., Mathur P., Cruz M., Barrentes I. & E. Rojas. 2004. DIVA-GIS, version 4: A geographic information system for the analysis of biodiversity data. Manual. International Potato Center, Lima, Perú.
- Hussey R. F. 1960. A lygaeid new to the United States list (Hemiptera). Florida Entomol. 43(2): 93.

- Johnson C. W. & W. J. Fox. 1892. List of Hemiptera collected in Jamaica. W. I. Entomol. News 3: 59-60.
- Kirkaldy G. W. 1907. Quelques mots sur les Hémiptères polynesiens du voyage de l'Eugenie. Ann. Soc. Ent. Bel. 51: 120-122.
- Kirkaldy G. W. 1909. Hemiptera: new & old, N° 1. Canad. Ent. 41: 30-32.
- Lethierry L. & G. Severin. 1894. General catalogue of the Hemiptera. Vol. II. Heteroptera. Brussels. F. Hayez, Imprimeur de l'Academie Royale de Belgique. 277 pp.
- Linsley E. G. 1977. Insects of the Galápagos (Supplement). Occasional Papers Calif. Acad. Sci. 125: 1-50.
- Linsley E. G. & R. L. Usinger. 1966. Insects of the Galápagos Islands. Proc. Calif. Acad. Sci., ser. 4, 33(7): 113-196.
- López Ruf M. L. & S. A. Mazzucconi. 1998. Las larvas de *Lipostemmata humeralis* Berg (Insecta: Heteroptera: Lygaeidae). Physis 56: 11-15.
- López Ruf M. L., Mazzucconi S. A. & A. O. Bachmann. 2003. Heteroptera acuáticos y semiacuáticos del Parque Nacional Mburucuyá (provincia de Corrientes, Argentina). Rev. Soc. Entomol. Arg. 62(1-2): 65-71.
- Malipatil, M. B. 1978. Revision of the Myodochini (Hemiptera: Lygaeidae: Rhyparochrominae) of the Australian region. Aust. J. Zool. Supp. Ser. N° 56: 1-178.
- Martorell L. F. & A. E. Salas. 1939. Additional insect records from Venezuela. J. Dep. Agric. Puerto Rico 23(4): 233-255.

- Mazzucconi S. A. & M. L. López Ruf. 1999. Las larvas de *Lipostemmata major* Ashlock (Insecta: Heteroptera: Lygaeidae). *Neotrópica* 45: 45-50.
- McAtee W. L. 1927. Notes on "Heteroptera or true bugs of eastern North America". *Bull. Brooklyn Entomol. Soc.* 22: 267-281.
- Melo M. C, Dellapé P. M., Carpintero D. L & M. C. Coscarón. 2004. Reduviidae, Miridae y Lygaeoidea (Hemiptera) recolectados en colonia Carlos Pellegrini (Esteros de Iberá, Corrientes, Argentina). *Rev. Soc. Entomol. Arg.* 63(1-2): 59-67.
- Morrone J. J. 2001. Biogeografía de América Latina y el Caribe. M & T - Manuales & Tesis SEA, Zaragoza, España 3: 148 pp.
- O'Donnell J. E. 1991. A new coleopteroid Lethaeine from southern South America (Hemiptera: Lygaeidae: Rhyparochrominae). *J. New York Entomol. Soc.* 99: 87-96.
- O'Donnell J. E. 2001. A new genus and five new species of Neotropical Lethaeini (Heteroptera: Lygaeoidea: Rhyparochromidae). *Florida Entomol.* 84(1): 133-146.
- Ogilvie L. 1928. The insects of Bermuda. Bermuda Dept. Agr. 52 pp.
- Osborn H. 1904. Notes on South American Hemiptera-Heteroptera. *Ohio Nat.* 5(1): 195-204.
- Osborn H. & C. J. Drake. 1915. Records of Guatemala Hemiptera-Heteroptera with descriptions of a new specie. *Ohio Nat.* 15: 529-541.
- Pennington M. 1921. Lista de los Hemípteros Heterópteros de la República Argentina. Buenos Aires. 2: 17-28.

- Peña J. E. & F. D. Bennett. 1995. Arthropods associated with *Annona* spp. in the Neotropics. *Florida Entomol.* 78(2): 329-349.
- Puton J. P. A. 1887. Hémiptères nouveaux ou peu connus de la faune Paléarctique. *Rev. Entomol. Caen.* 6: 96-105.
- Quaintance A. L. 1897. Some strawberry insects. *Bull. Agric. Expt. Sta. Fla.* 42: 551-600.
- Quintanilla R. H., Margheritis A. E. & H. F. Rizzo. 1976. Catálogo de Hemípteros hallados en la provincia de Corrientes (Argentina). *Rev. Soc. Entomol. Arg.* 35(1-4): 115-133.
- Quintanilla R. H., Rizzo H. F. & A. S. de Núñez. 1981. Catálogo preliminar de Hemípteros hallados en la provincia de Misiones (Argentina). *Rev. Fac. Agron.* 2(3): 145-161.
- Rainwater C. J. 1941. Insects and spiders found in Spanish moss, gin trash, and woods trash, and on wild cotton. *USDA Bull. Ent. Pl. Quarant. E.* 528: 1-20.
- Rambur J. P. 1839. Faune entomologique de l'Andalousie. Tome II. Arthus Bertrand. Paris. 336 pp.
- Ramos J. A. 1946. The insects of Mona Island (West Indies). *J. Agric. Univ. Puerto Rico, Rio Piedras.* 30: 1-74.
- Rathvon S. S. 1869. Entomology pp 521-572. *En: Mombert, J. I. An Authentic History of Lancaster County in the State of Pennsylvania.* Lancaster. Pennsylvania. J. E. Barr & Co. 521-572.
- Rodríguez Sevilla R. L. 1996. Anotaciones sobre la historia natural de *Neopamera bilobata* Say (Heteroptera: Lygaeidae) en Costa Rica. 154-

168. en Biología sexual de dos abejones (Coleoptera: Cicindelidae) y tres chinches (Heteroptera: Lygaeidae). Tesis. Mag. Sc. Universidad de Costa Rica, Programa de Estudios de Posgrado en Biología, San José (Costa Rica). San José. Universidad de Costa Rica. CR. 1996. 168 pp.
- Rodríguez Sevilla R. L. 1998. Copulation, fighting behavior and life cycle of *Neopamera bilobata* (Heteroptera: Lygaeidae). Rev. Biol. Trop. 46(3): 837-840.
- Ruffinelli A. & A. A. Pirán. 1959. Hemipteros Heteropteros del Uruguay. Bol. Fac. Agr. Montevideo 51: 1-60.
- Say T. 1831. Descriptions of new species of heteropterous Hemiptera of North America. New Harmony. Indiana. 310-368
- Schaefer, C. W., Vagvolgyi, J. & P. D. Ashlock. 1980. On a collection of Heteroptera (Hemiptera) from the Galapagos Islands. Pan Pacific Entomol. 56(1): 43-50.
- Schnack, J. A. 1972. El complejo pleuston de las lagunas bonaerenses. Ensayo de una problemática general de la mesofauna arthropoda. Rev. Museo de La Plata 11, serie zoología n° 105: 233-263.
- Schnack, J. A. 1973. Variación espacial y temporal del mesopleuston en la laguna Yalca (Provincia de Buenos Aires). Physis 32(84): 1-12.
- Schuh R. T. & J. A. Slater. 1995. True Bugs of the World (Hemiptera: Heteroptera): Classification and Natural History. Ithaca and London, Cornell University Press. i-xii + 337 pp.
- Scudder G. G. E. 1957. The higher classification of the Rhyparochrominae (Hem., Lygaeidae). Entomol. Mon. Mag. 93: 152-156.

- Scudder G. G. E. 1958. Results of the Oxford University Caiman Island biological expedition of 1938: Lygaeidae (Hemiptera: Heteroptera). *Ent. Mon. Mag.* 94: 145-150.
- Scudder G. G. E. 1962. Results of the Royal Society expedition to Southern Chile, 1958-59: Lygaeidae (Hemiptera), with the description of a new subfamily. *Can. Entomol.* 94: 1064-1075.
- Scudder G. G. E. 1967. Rhyparochrominae types in the British Museum (Natural History) (Hemiptera: Lygaeidae). *Bull. Brit. Mus. (Nat. Hist.) Entomol.* 20: 253-285.
- Scudder G. G. E. 1970. The world Rhyparochrominae (Hemiptera: Lygaeidae) X. Further systematic changes. *Canad. Entomol.* 102: 98-104.
- Signoret V. 1863. Révision des Hémiptères du Chili. *Ann. Soc. Entomol. Fr.* 4: 541- 588.
- Slater J. A. 1952. An annotated list of the Lygaeidae of Iowa and Illinois. (Hemiptera: Heteroptera). *Proc. Iowa Acad. Sci.* 59: 521-540.
- Slater J. A. 1957. Nomenclatorial considerations in the family Lygaeidae (Hemiptera: Heteroptera). *Bull. Brooklyn Ent. Soc.* 52: 35-38.
- Slater J. A. 1964. A catalogue of the Lygaeidae of the world. University of Connecticut, Storrs. 2 vols. 1668 pp.
- Slater J. A. 1977. The incidence and evolutionary significance of wing polymorphism in lygaeid bugs with particular reference to those of South Africa. *Biotropica* 9(4): 217-229.

- Slater, J. A. 1979. On the identity of two new species of Rhyparochrominae from Argentina (Hemiptera: Lygaeidae). *J. New York Entomol. Soc.* 87: 160-166.
- Slater J. A. 1980. Systematic relationships of the Antillocorini of the Western Hemisphere (Hemiptera: Lygaeidae). *Systematic Entomol.* 5: 199-226.
- Slater J. A. 1986. A synopsis of the zoogeography of the Rhyparochrominae (Heteroptera: Lygaeidae). *J. New York Entomol. Soc.* 94(2): 262-280.
- Slater J. A. 1995. Fifteen new species of *Ozophora* from Central and South America with a key to mainland Neotropical species (Hemiptera: Lygaeidae). *Amer. Mus. Novitates* N° 3135: 1-31.
- Slater J. A. & R. M. Baranowsky. 1990. Lygaeidae of Florida (Hemiptera: Heteroptera). *Arthropods of Florida and neighboring land areas* 14. Bureau of Entomology Contribution N° 725. 211 pp.
- Slater J. A. & R. M. Baranowsky. 1995. The first occurrence of *Ozophora heydoni* in Florida with the description of a new species of *Ozophora* from the Neotropics (Lygaeidae: Hemiptera). *Florida Entomol.* 78: 314-318.
- Slater J. A. & H. Brailovsky. 2000. Lygaeidae (Hemiptera). pp 319-333. *En Biodiversidad, Taxonomía y Biogeografía de Artrópodos de México: Hacia una síntesis de su conocimiento Volumen II.* (ed.)Bousquets, Soriano & Papavero. Facultad de Ciencias, UNAM, CONABIO y BAYER. México.
- Slater J. A. & J. E. O'Donnell. 1995. A catalogue of the Lygaeidae of the world (1960-1994). *New York Entomol. Soc.* xv + 410 pp.

- Slater J. A. & M. H. Sweet. 1961. A contribution to the higher classification of the Megalonotinae (Hemiptera: Lygaeidae). *Ann. Entomol. Soc. Am.* 54: 203-209.
- Slater J. A. & T. E. Woodward. 1982. Lilliputocorini, a new tribe with six new species of *Lilliputocoris*, and a cladistic analysis of the Rhyparochrominae (Hemiptera: Lygaeidae). *Am. Mus. Novit.* 2754: 1-23.
- Spinola M. J. 1852. Hemipteros. *En Gay, Historia Física y Política de Chile Zoología* 7: 113-320. Paris: Imprenta de Maulde y Renou.
- Stål C. 1858. Bidrag till Rio Janeiro-Traktens Hemiptera fauna. *Svenska VetenskAkad Handl.* 2(7): 1-84.
- Stål C. 1859. Hemiptera species novas descriptis. *Konglika Svenska Fregattens Eugenies resa omkring jorden. III (Zoologi, Insecter) 1859:* 219-298.
- Stål C. 1862. Hemiptera Mexicana enumeravit speciesque novas descriptis. *Stettin. Ent. Ztg.* 23: 289-325.
- Stål C. 1865. Hemiptera nova vel minus cognita. *Ann. Soc. Entomol. Fr.* 4(5): 163-188.
- Stål C. 1868. Hemiptera Fabriciana I. K. *Svenska VetenskAkad. Handl.* 7(11): 1-148.
- Stål C. 1872. *Enumeratio Hemipterorum pt. 2.* Kongl. Svenska VetenskAkad. *Handl.* 10(4): 1-159.
- Stål C. 1874. *Enumeratio Hemipterorum pt. 4* Kongl. Svenska VetenskAkad. *Handl.* 12(1): 1-186.

- Sweet M. H. 1960. The seed bugs: a contribution of the feeding habits of the Lygaeidae (Hemiptera-Heteroptera). *Ann. Entomol. Soc. Am.* 53: 317-321.
- Sweet M. H. 1964. The biology and ecology of the Rhyparochrominae of New England (Het.: Lygaeidae). Pts. 1 and 2. *Entomol. Am.* 43: 1-124; 44: 1-201.
- Sweet M. H. 1967. The tribal classification of the Rhyparochrominae (Heteroptera: Lygaeidae). *Ann. Entomol. Soc. Am.* 60(1): 208-226.
- Torre-Bueno J. R. de la 1914. Phototropism in Heteroptera. *Bull. Brooklyn Ent. Soc.* 9: 90-96.
- Torre-Bueno J. R. de la 1931. Heteroptera collected by G. P. Englehardt in the South and West II. *Bull. Brooklyn Ent. Soc.* 26: 135-139.
- Torre-Bueno J. R. de la 1946. A synopsis of the Hemiptera-Heteroptera of America north of Mexico. III. Family XI. Lygaeidae. *Ent. Amer.* 26: 1-141.
- Uhler P. R. 1860. Hemiptera of the North Pacific exploring expedition under Comr.'s Rodgers and Ringgold. *Proc. Acad. Nat. Sci. Phil.* 12: 221-231.
- Uhler P. R. 1871. Notices of some Heteroptera in the collection of Dr. T. W. Harris. *Proc. Boston Soc. Nat. Hist.* 14: 93-109.
- Uhler P. R. 1876. List of Hemiptera of the region west of the Mississippi River, including those collected during the Hayden explorations of 1873. *Bull. U. S. Geol. Geog. Surv. Terr.* 1: 269-361.
- Uhler P. R. 1878. Notices of the Hemiptera Heteroptera in the collection of the late T. W. Harris, M. D. *Proc. Boston Soc. Nat. Hist.* 19: 365-446.

- Uhler P. R. 1886. Check list of the Hemiptera Heteroptera of North America. Brooklyn Entomological Society, Brooklyn, New York. iv + 32 pp.
- Uhler P. R. 1893_a. Summary of the collection of Hemiptera secured by Mr. E. A. Schwarz in Utah. Proc. Ent. Soc. Wash. 2: 366-385.
- Uhler P. R. 1893_b. A list of the Hemiptera-Heteroptera collected in the Island of St. Vincent by Mr. Herbert H. Smith; with descriptions of new genera and species. Proc. Zool.Soc. Lond. 1893: 705-719.
- Uhler P. R. 1894_a. On the Hemiptera-Heteroptera of the island of Grenada, West Indies. Proc. Zool. Soc. Lond. 1894:167-224.
- Uhler P. R. 1894_b. Observations upon the Heteropterous Hemiptera of Lower California, with descriptions of a new species. Proc. Calif. Acad. Sci. 2(4): 223-295.
- Van Duzee E. P. 1901. Notes on some Hemiptera from British Guiana. Trans. Amer. Ent. Soc. 27: 343-352.
- Van Duzee E. P. 1907. Notes on Jamaican Hemiptera. Bull. Buffalo Soc. Nat. Sci. 8(5):1-79.
- Van Duzee E. P. 1909_a. Notes on some Hemiptera taken in the Bermudas by W. J. Palmer. Canad. Ent. 41: 126-128.
- Van Duzee E. P. 1909_b. Observations on some Hemiptera taken in Florida in the spring of 1908. Bull. Buffalo Soc. Nat. Sci. 9: 149-230.
- Van Duzee E. P. 1916. Checklist of the Hemiptera (excepting the Aphididae, Aleurodidae and Coccidae) of America, north of Mexico. New York Ent. Soc. 111 pp.

- Van Duzee E. P. 1917. Catalogue of the Hemiptera of America north of Mexico. Berkeley: Univ. Calif. Press. 902 pp.
- Van Duzee E. P. 1932. New Hemiptera-Heteroptera from the Marquesas. Bull. Bishop Mus. 98: 177-191.
- Van Duzee E. P. 1935. Note on *Ptochiomera caeca* Van Duzee. Pan-Pacif. Ent. 11: 174.
- Walker F. 1872. Catalogue of the specimens of Hemiptera Heteroptera in the collection of the British Museum. 8 parts. British Museum. London 5: 202 pp.
- Walker F. 1873. Catalogue of the specimens of Hemiptera Heteroptera in the British Museum. Supplement. E. W. Janson. London. 63 pp.
- Watson J. R. 1919. [sin título]. Bull. 151: 182, 204.
- Watson J. R. 1931. Florida truck and garden insects. Bull. Fla. Univ. Agric. Exp. Sta. 232: 1-112.
- Watson J. R. 1939. BEPQ. Bull. Ins. Pest Surv. 19: 85.
- Watson J. R. & A. N. Tissot. 1942. Insects and other pest of Florida vegetables. Bull. Fla. Univ. Agric. Exp. Sta. 1942: 1-118.
- White F. B. 1879. Descriptions of new Hemiptera. J. Linn. Soc. (Zool) 14: 482-489.
- Wilson J. W. 1938. Notes on *Pamera* populations on various types of plant communities in the vicinity of the city. Florida Entomol. 21(2): 28-30.

- Wolcott G. W. 1936. "Insectae Borinquenses". J. Dep. Agric. Puerto Rico 20(1): 1-627.
- Wolcott G. W. 1941. A supplement to "Insectae Borinquenses". J. Dep. Agric. Puerto Rico 25(2): 33-158.
- Wolcott G. W. 1950. The insects of Puerto Rico. J. Dep. Agric. Puerto Rico 32: 1-224.
- Wray D. L. & C. S. Brimley. 1943. The insects inquilines and victims of pitcher plants in North Carolina. Ann. Entomol. Soc. Am. 36: 128-137.
- Zheng L. Y. & J. A. Slater. 1984. A revision of the lygaeid genus *Pseudopachybrachius* (Hemiptera). Systematic Entomol. 9: 95-115.

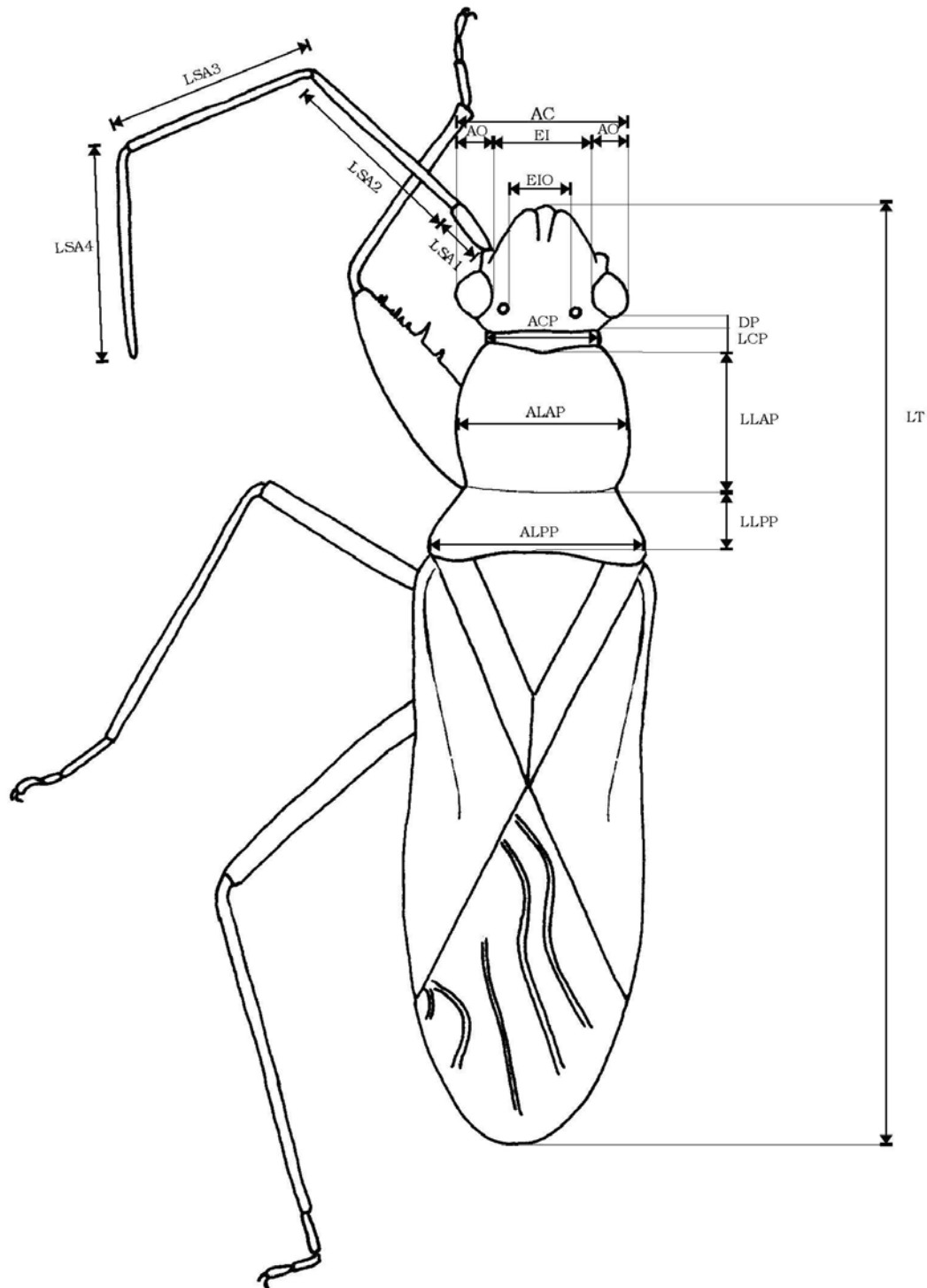


Lámina A.- esquema dorsal, medidas (AC: ancho de la cabeza. ACP: ancho del collar pronotal. ALAP: ancho del lóbulo anterior del pronoto. ALPP: ancho del lóbulo posterior del pronoto. AO: ancho del ojo. DP: distancia postocular. EI: espacio interocular. EIO: espacio interocelar. LCP: longitud del collar pronotal. LLAP: longitud del lóbulo anterior del pronoto. LLPP: longitud del lóbulo posterior del pronoto. LSA1, LSA2, LSA3, LSA4: longitud de los segmentos antenales I-IV. LT: longitud total)

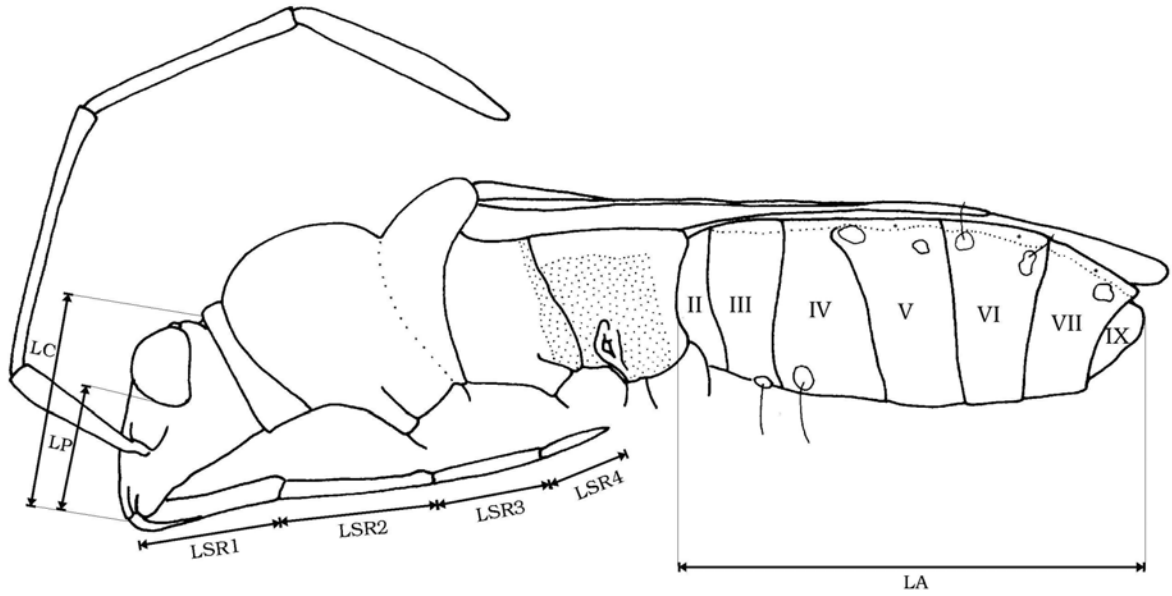


Lámina B.- esquema lateral, medidas (LA: Longitud abdominal. LC: Longitud de la cabeza. LP: Longitud preocular de la cabeza. LSR1, LSR2, LSR3, LSR4: longitud de los segmentos I-IV del rostro.)

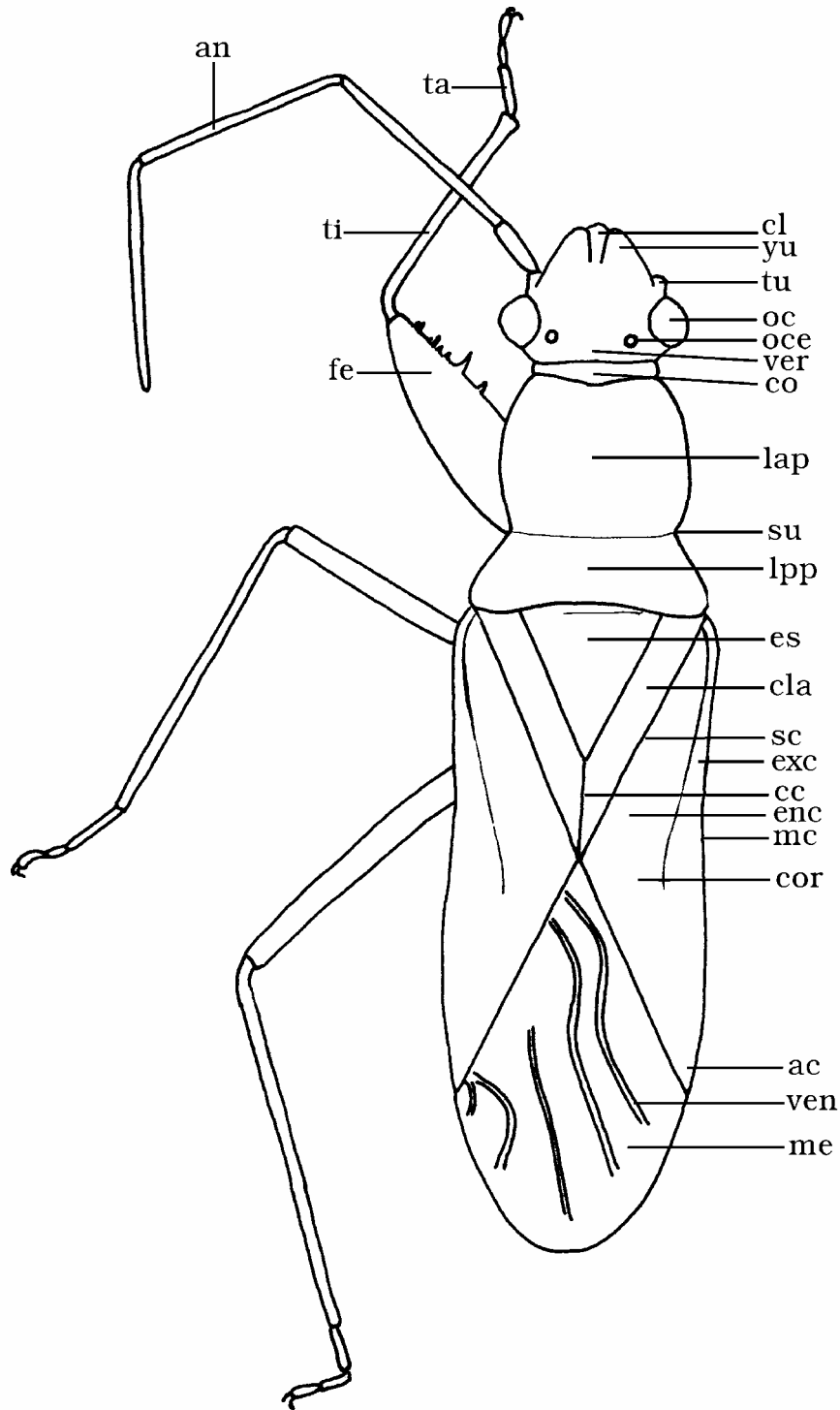


Lámina C.- esquema dorsal (ac: ápice corial. an: antena. cc: comisura claval. cl: clipeo. cla: clavo. co: collar. cor: corio. enc: endocorio. es: escutelo. exc: exocorio. fe: fémur. lap: lóbulo anterior del pronoto. lpp: lóbulo posterior del pronoto. mc: margen corial. me: membrana hemielitral. oc: ojo compuesto. oce: ocelo. sc: sutura claval. su: surco pronotal. ta: tarso. ti: tibia. tu: tubérculo antenífero. ven: vena. ver: vertex. yu: yugo)

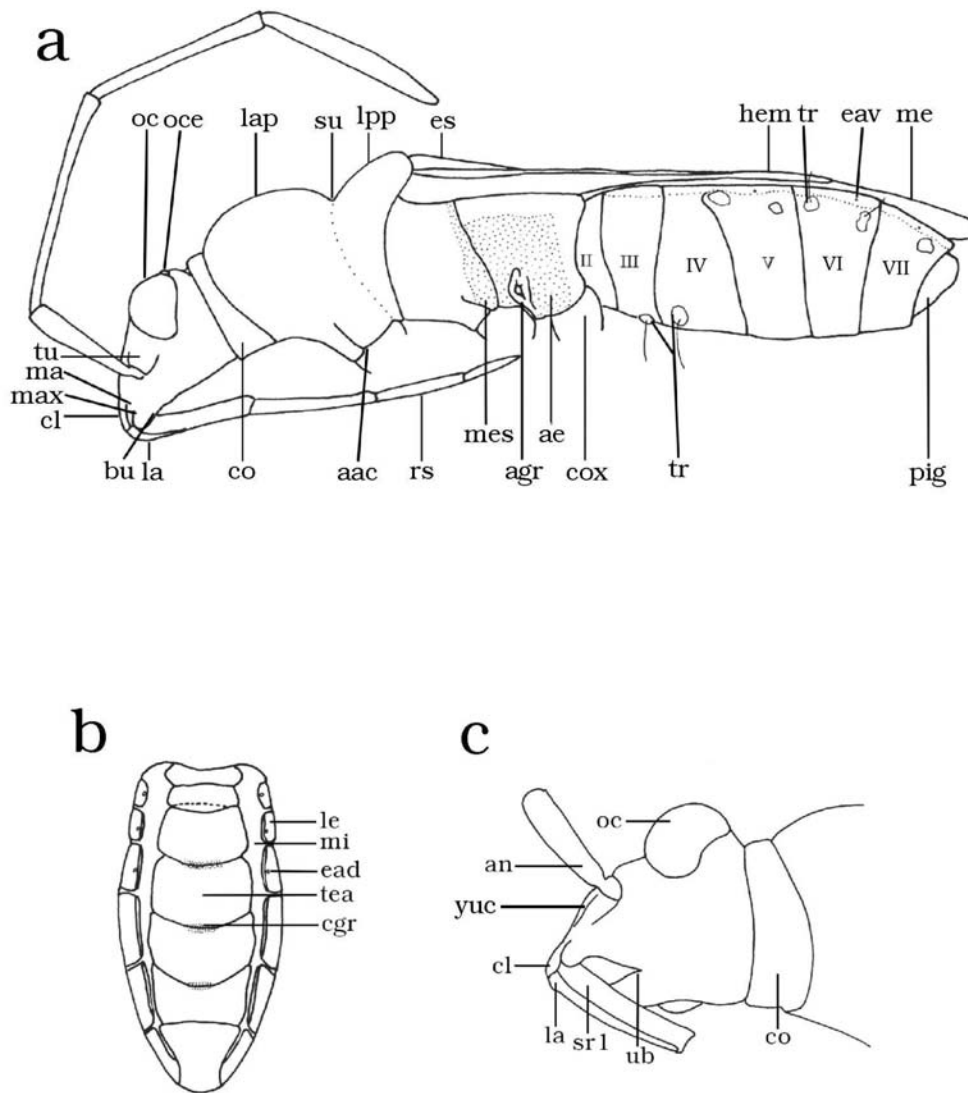


Lámina D a-c.- a- esquema lateral (aac: área acetabular. ae: área evaporatoria. agr: apertura de la glándula repugnatoria. bu: búcula. cl: clipeo. co: collar. cox: coxa. eav: espiráculo abdominal ventral. es: escutelo. hem: hemielitro. la: labro. lap: lóbulo anterior del pronoto. lpp: lóbulo posterior del pronoto. ma: mandíbula. max: maxila. me: membrana hemielitral. mes: mesoepímero. oc: ojo compuesto. oce: ocelo. rs: rostro. su: surco pronotal. pig: pigóforo. tr: tricobotrio. tu: tubérculo antenífero. II-IX: segmentos abdominales II-IX); b- esquema del abdomen, vista dorsal (ead: espiráculo abdominal dorsal. cgr: cicatriz de la glándula repugnatoria. mi: membrana intersegmental. le: laterotergito externo. tea: tergo abdominal); c- esquema de la cabeza, vista látero-ventral (an: antena. cl: clipeo. co: collar. la: labro. oc: ojo compuesto. sr1: segmento rostral 1. ub: unión de las búculas. yuc: reborde del yugo).

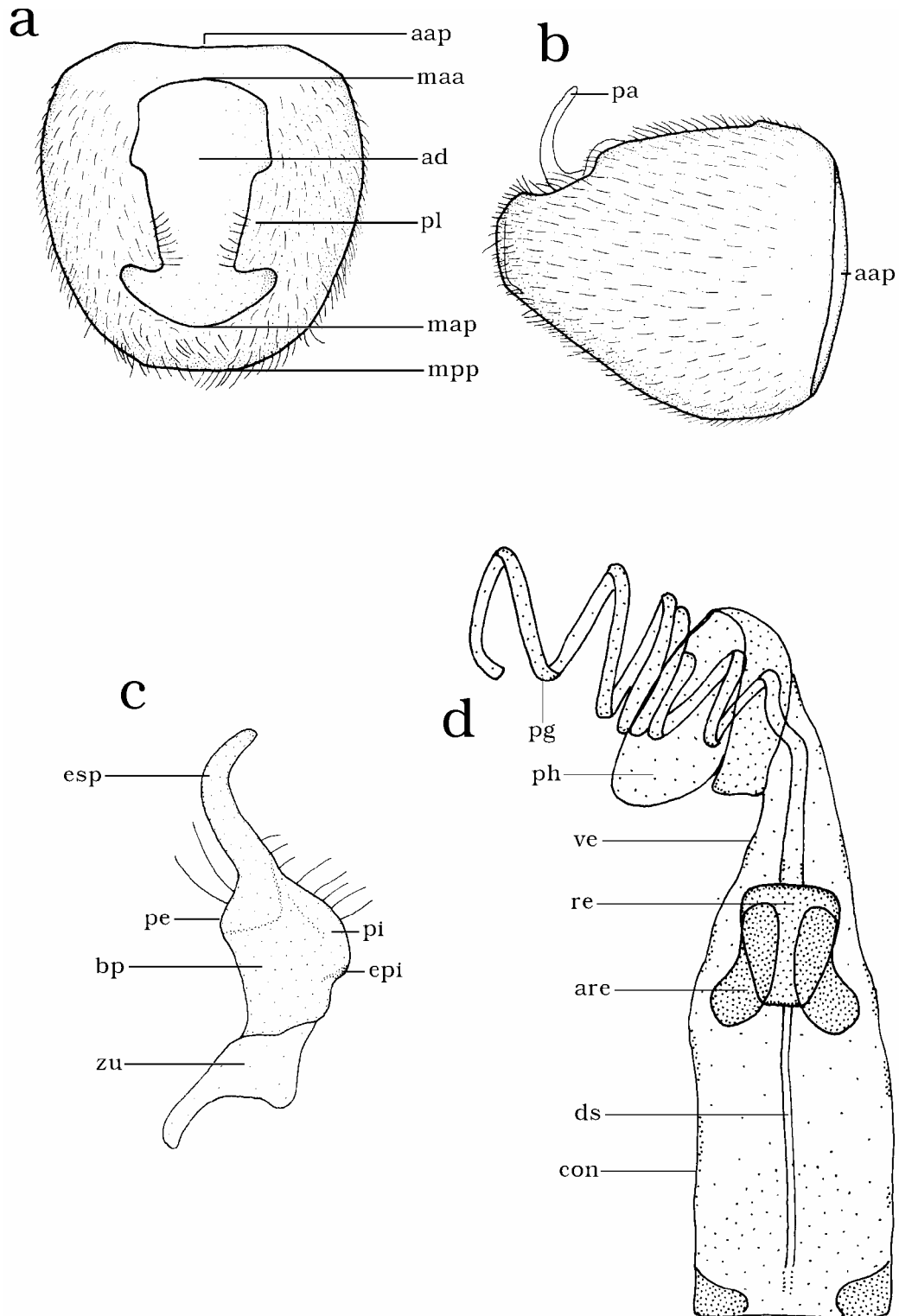


Lámina E a-d.- a-b, pigóforo: a- vista dorsal (aap: apertura anterior del pigóforo. ad: apertura dorsal del pigóforo. maa: margen anterior de la abertura dorsal del pigóforo. map: margen posterior de la abertura dorsal del pigóforo. mpp: margen posterior del pigóforo. pl: proyecciones laterales (Parandria)); b- vista lateral (aap: apertura anterior del pigóforo. pa: parámero). c- parámero (bp: base del parámero. epi: espina de la proyección interna. esp: espada. pe: proyección externa. pi: proyección interna. zu: zona de unión). d- edeago (are: ala del reservorio eyaculatorio. con: conjuntiva. ds: ducto seminal. pg: *processus gonopori*. ph: proceso helicoidal. re: reservorio eyaculatorio. ve: vejiga).

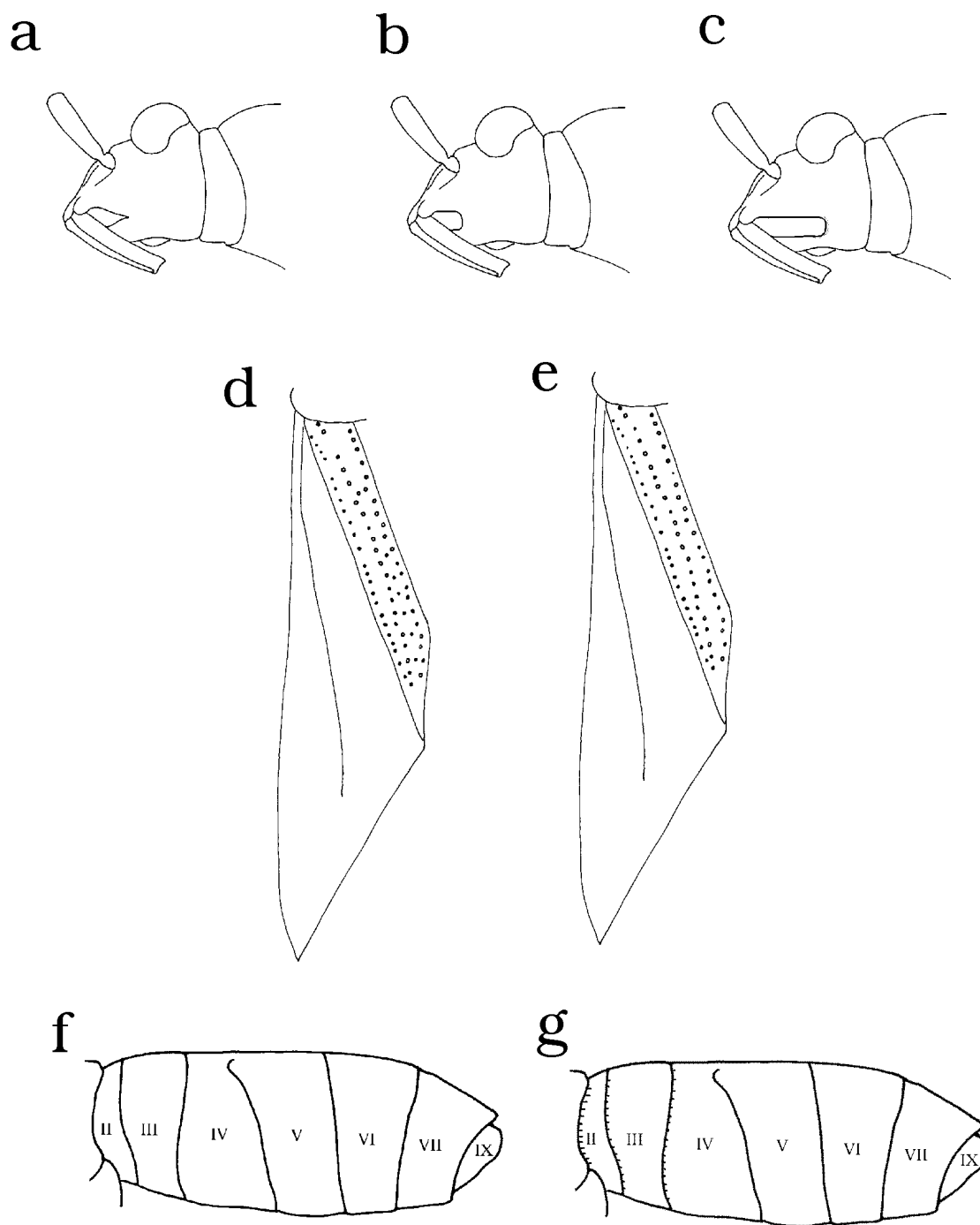
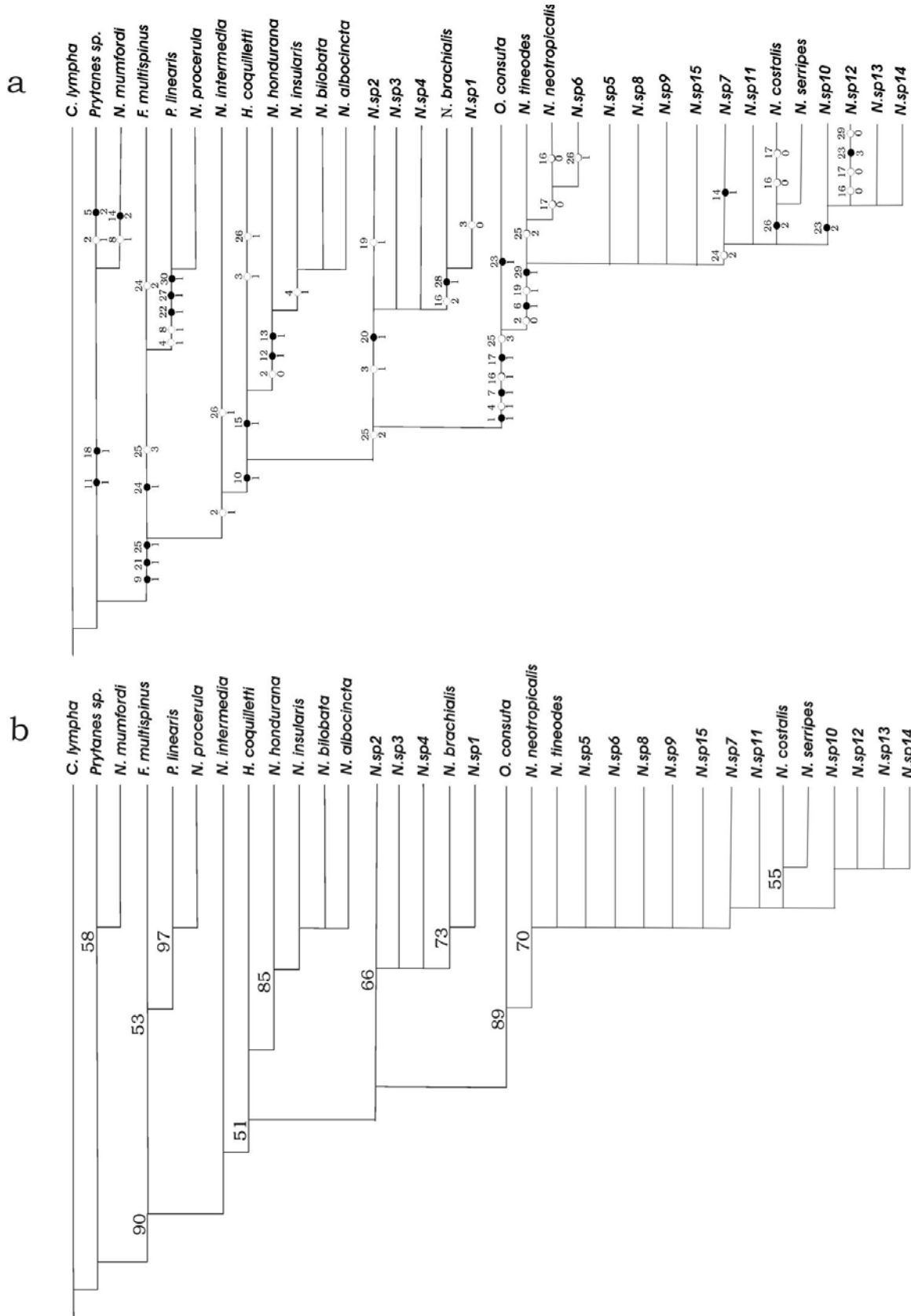


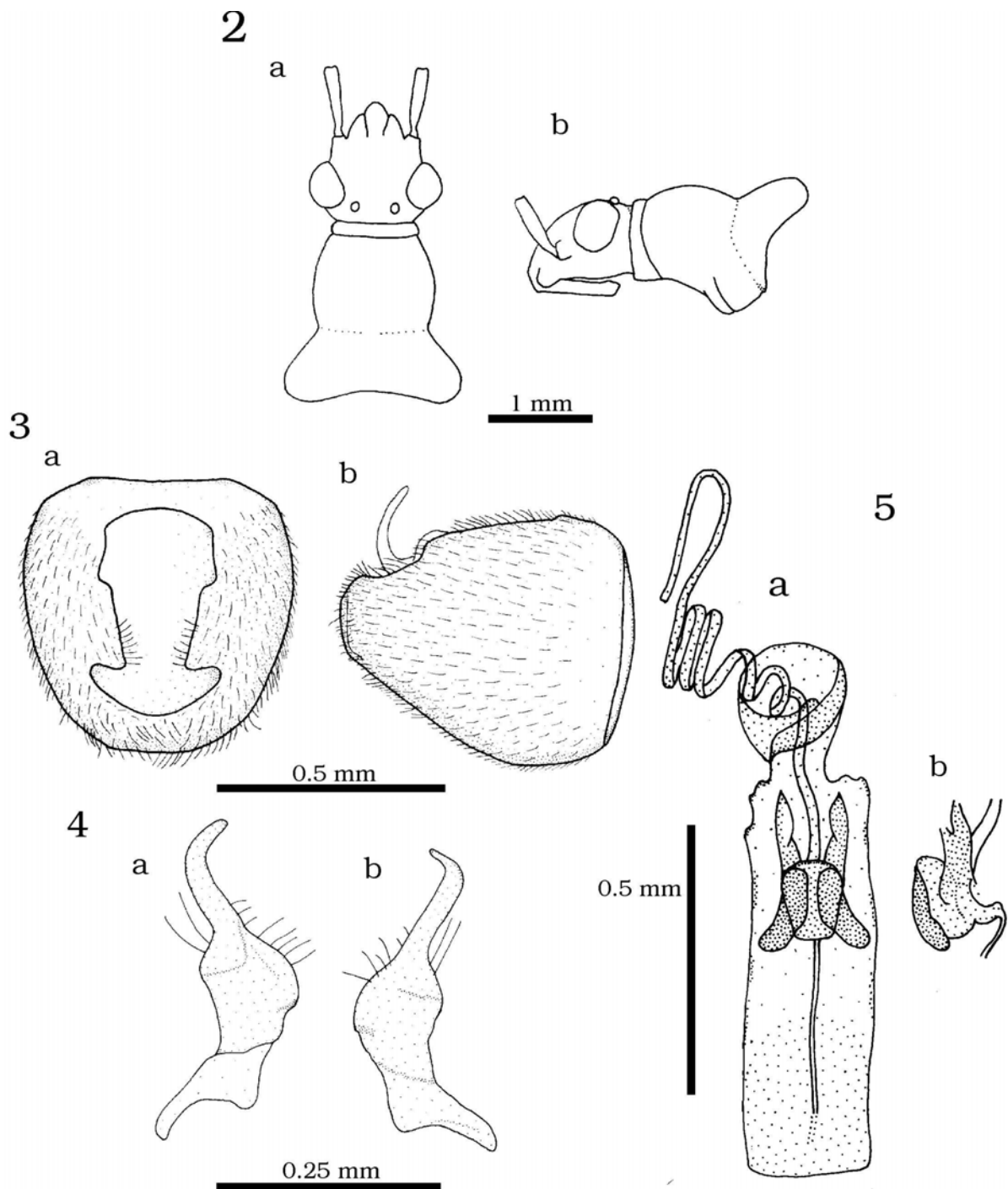
Lámina F a-g. a-c, unión de las búculas: a- forma de “V”; b- forma de “U”; c- forma de “U”, lejos de la inserción del labio. d-e, punteado del clavo: d- con más de 3 hileras de puntos; e- con 3 hileras de puntos. f-g, estriación abdominal: f- ausente; g- presente.

	12345	67891	11111	11112	22222	22223
	0	12345	67890	12345	67890	
<i>C.lympa</i>	00000	00000	00000	00000	00000	00000
<i>Prytanus</i> sp.	01002	00000	10000	20100	00000	00000
<i>P. linearis</i>	00011	00110	00000	00000	11013	01001
<i>F. multispinus</i>	00001	00010	00000	00000	10023	00000
<i>H. coquilletti</i>	01101	00011	00001	00000	10001	10000
<i>O. consuta</i>	11011	01011	00000	11000	10103	00000
<i>N. albocincta</i>	00011	00011	01101	00000	10001	00000
<i>N. bilobata</i>	00011	00011	01101	00000	10001	00000
<i>N. brachialis</i>	01101	00011	00000	20001	10002	00100
<i>N. costalis</i>	10011	11011	00000	00010	10023	20010
<i>N. hondurana</i>	00001	00011	01101	00000	10001	00000
<i>N. insularis</i>	00011	00011	01101	00000	10001	00000
<i>N. intermedia</i>	01001	00010	00000	00000	10001	10000
<i>N. mumfordi</i>	00000	00100	1002?	??100	0????	?????
<i>N. neotropicalis</i>	10011	11011	00000	00010	10002	00010
<i>N. procerula</i>	00011	00110	00000	00000	11013	01001
<i>N. serripes</i>	10011	11011	0000?	11010	10023	20010
<i>N. tineodes</i>	10011	11011	00000	11010	10002	00010
<i>n.sp1</i>	01001	00011	00000	20001	10002	00100
<i>n.sp2</i>	01101	00011	00000	00011	10002	00000
<i>n.sp3</i>	01101	00011	00000	00001	10002	00000
<i>n.sp4</i>	01101	00011	0000?	00001	10002	00000
<i>n.sp5</i>	10011	11011	00000	11010	10003	00010
<i>n.sp6</i>	10011	11011	00000	10010	10002	10010
<i>n.sp7</i>	10011	11011	0001?	11010	10023	00010
<i>n.sp8</i>	10011	11011	00000	11010	10003	00010
<i>n.sp9</i>	10011	11011	0000?	11010	10003	00010
<i>n.sp10</i>	10011	11011	0000?	11010	10223	00010
<i>n.sp11</i>	10011	11011	0000?	11010	10023	00010
<i>n.sp12</i>	10011	11011	0000?	00010	10323	00000
<i>n.sp13</i>	10011	11011	00000	11010	10223	00010
<i>n.sp14</i>	10011	11011	0000?	11010	10223	00010
<i>n.sp15</i>	10011	11011	0000?	11010	10003	00010

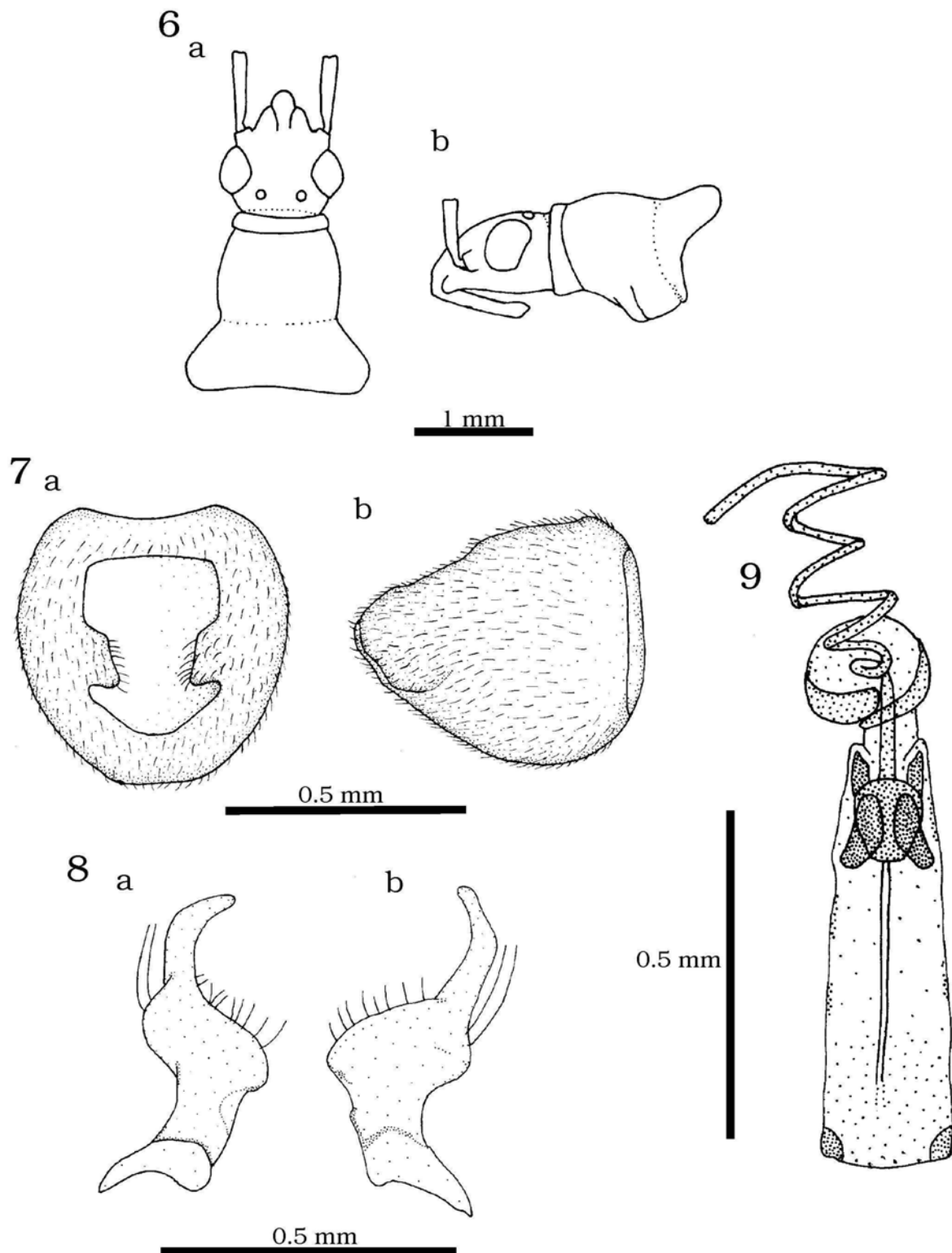
Tabla 1- Matriz básica de datos



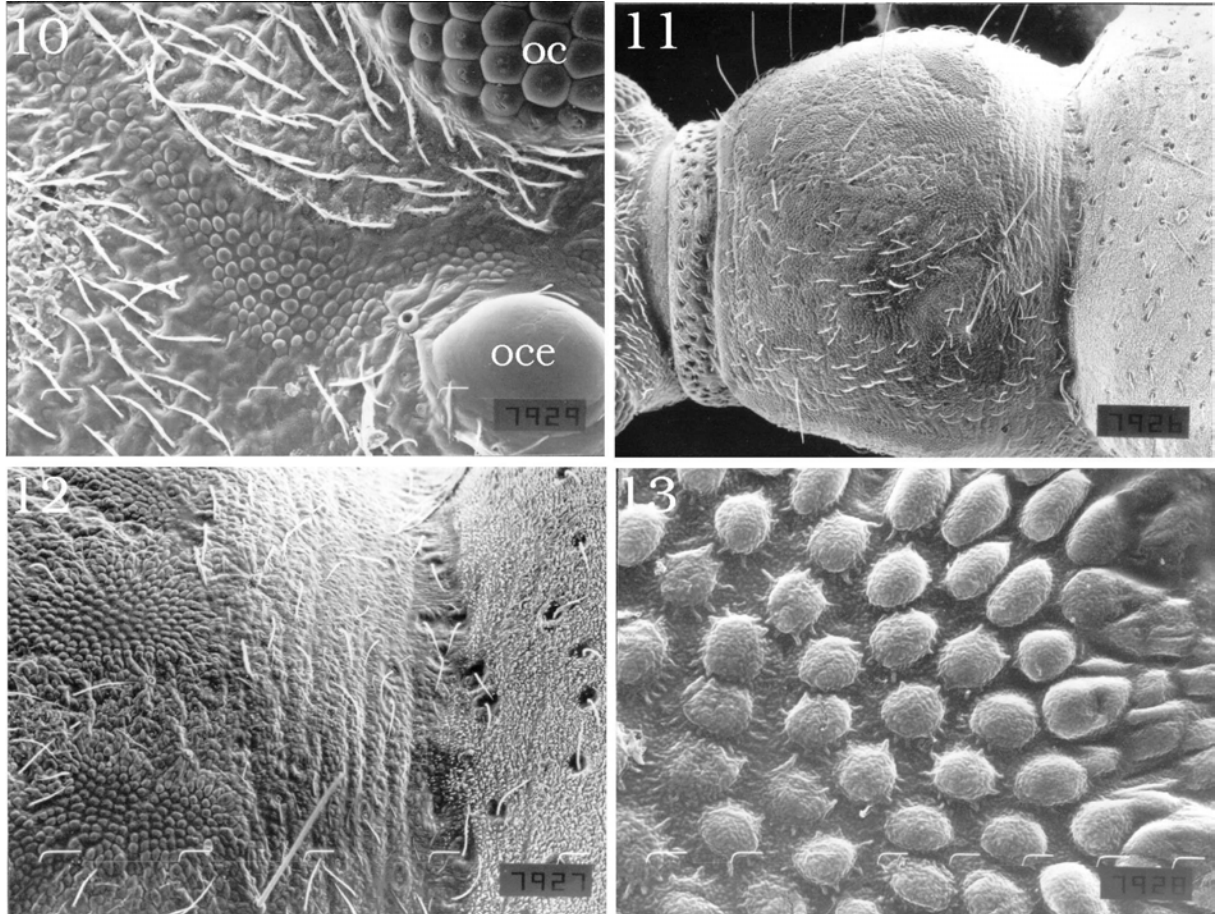
Figs. 1a-b. 1a, uno de los cinco cladogramas. 1b, cladograma de consenso estricto con los valores de Jackknife mayores que 50 %.



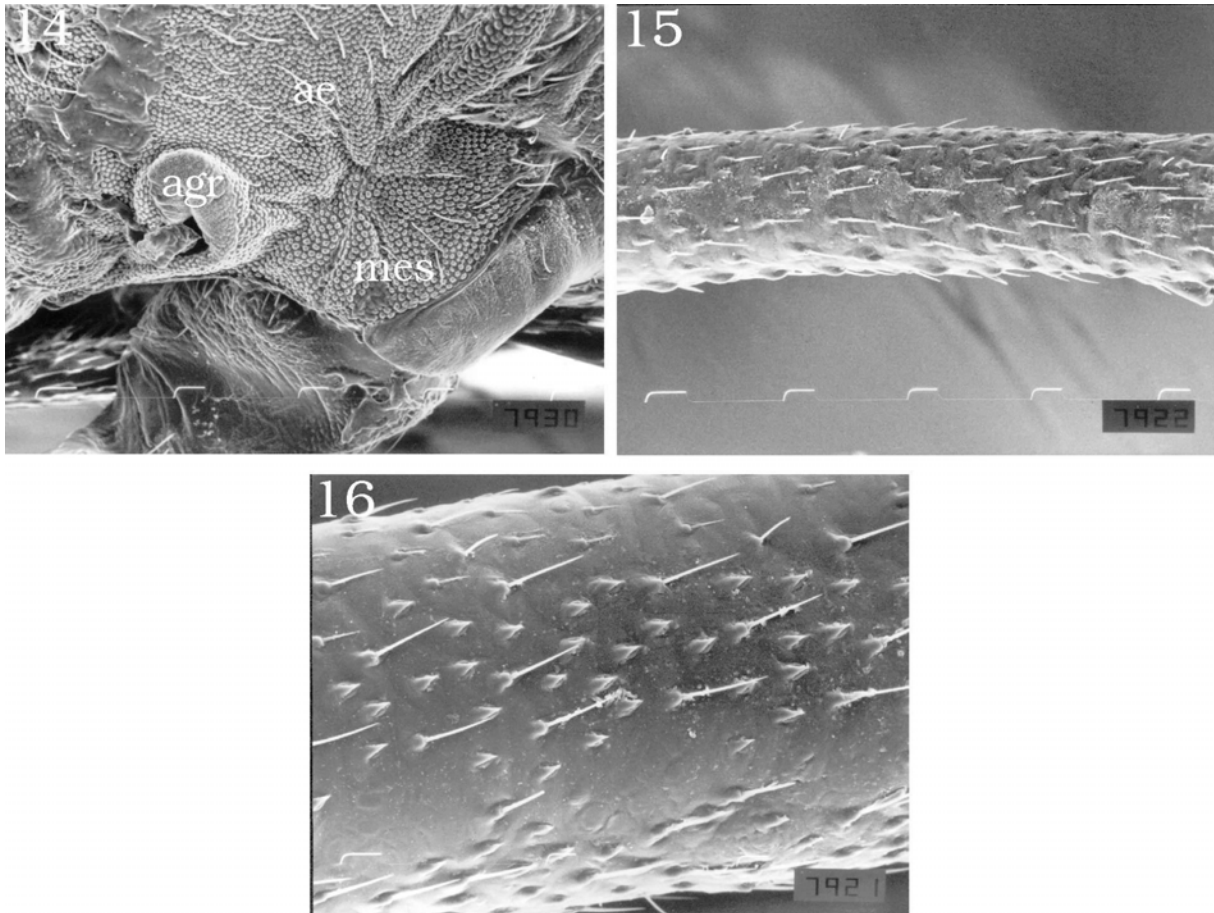
Figs. 2-5 *Neopamera bilobata* (Say).- 2 a-b, cabeza y pronoto: a- ♂, vista dorsal; b- ♂, vista lateral. 3 a-b, pigóforo: a- vista dorsal; b- vista lateral. 4 a-b, parámetro derecho: a- vista interna; b- vista externa. 5 a-b, edeago: a- vista anterior; b- detalle del reservorio eyaculatorio y de los escleritos de sujeción.



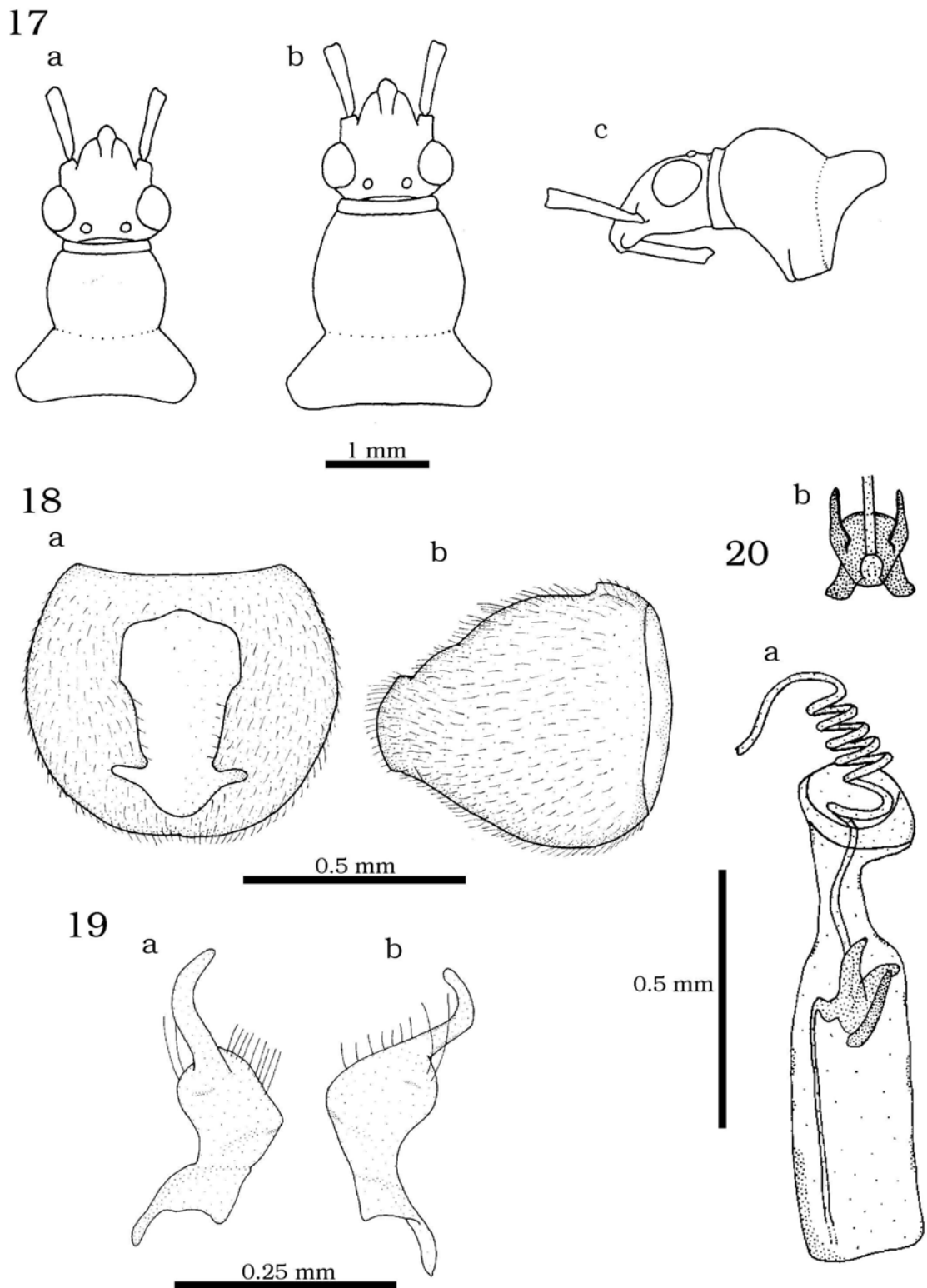
Figs. 6-9 *Neopamera albocincta* (Barber).- 6 a-b, cabeza y pronoto: a- ♂, vista dorsal; b- ♀, vista dorsal. 7 a-b, pigóforo: a- vista dorsal; b- vista lateral. 8 a-b, parámetro derecho: a- vista interna; b- vista externa. 9, edeago, vista anterior.



Figs. 10-13 *Neopamera insularis* (Barber).- 10, área entre ojo y ocelo (oc: ojo compuesto. oce: ocelo) (x 350). 11, lóbulo anterior del pronoto (x 75). 12, detalle del surco transverso (x 200). 13, área granulada del lóbulo anterior del pronoto (x 1500).

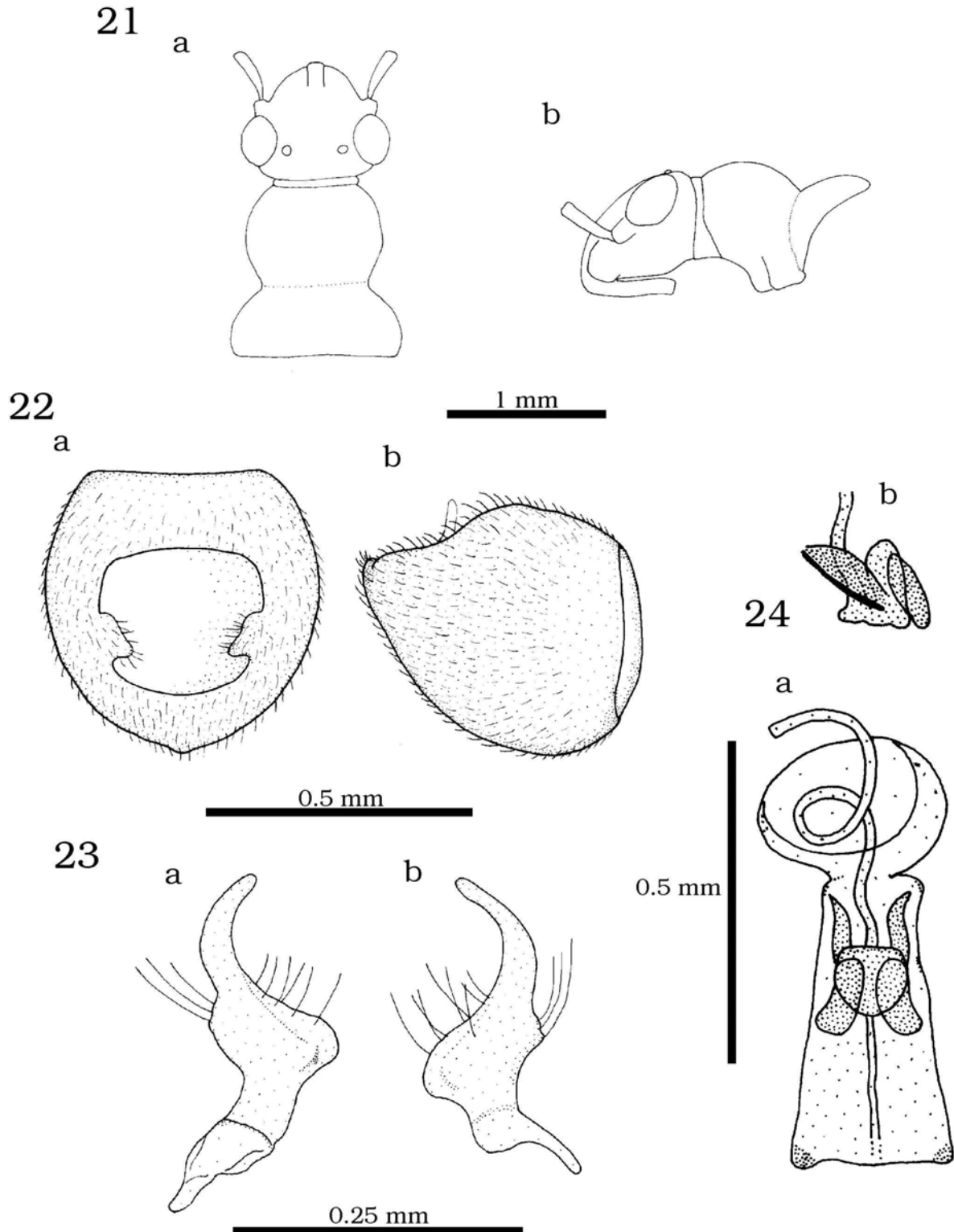


Figs. 14-16 *Neopamera insularis* (Barber).- 14, area evaporatoria metapleural (ae: área evaporatoria. agr: apertura de la glándula repugnatoria. mes: mesoepímero) (x 350). 15, protibia del ♂ (x 200). 16, detalle del metafemur (x 350).



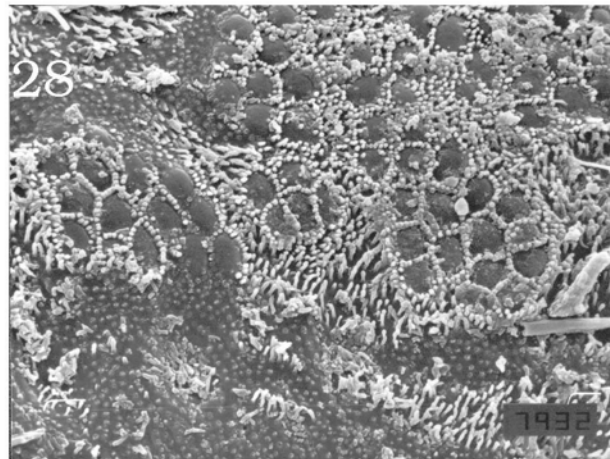
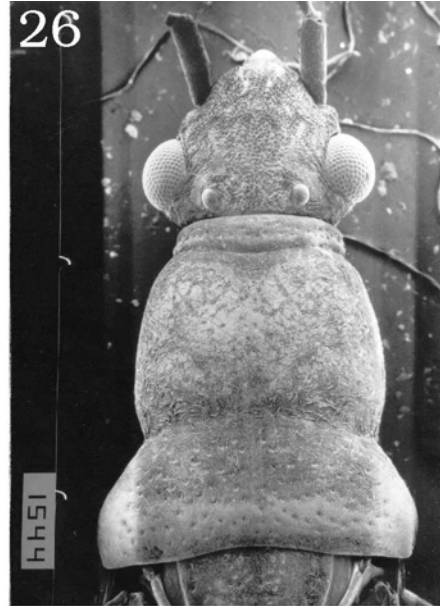
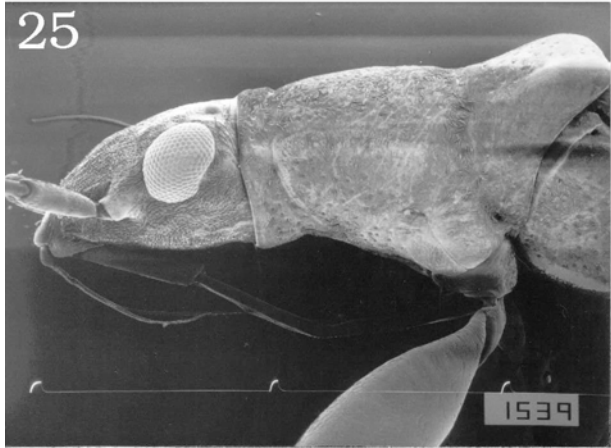
Figs. 17-20 *Neopamera insularis* (Barber).- 17 a-c, cabeza y pronoto: a- ♀, vista dorsal; b- ♂, vista dorsal; c- ♂, vista lateral. 18 a-b, pigóforo: a- vista dorsal; b- vista lateral. 19 a-b, parámetro derecho: a- vista interna; b- vista

externa. 20 a-b, a- edeago, vista anterior; b- reservorio eyaculatorio y escleritos de sujeción, vista posterior.

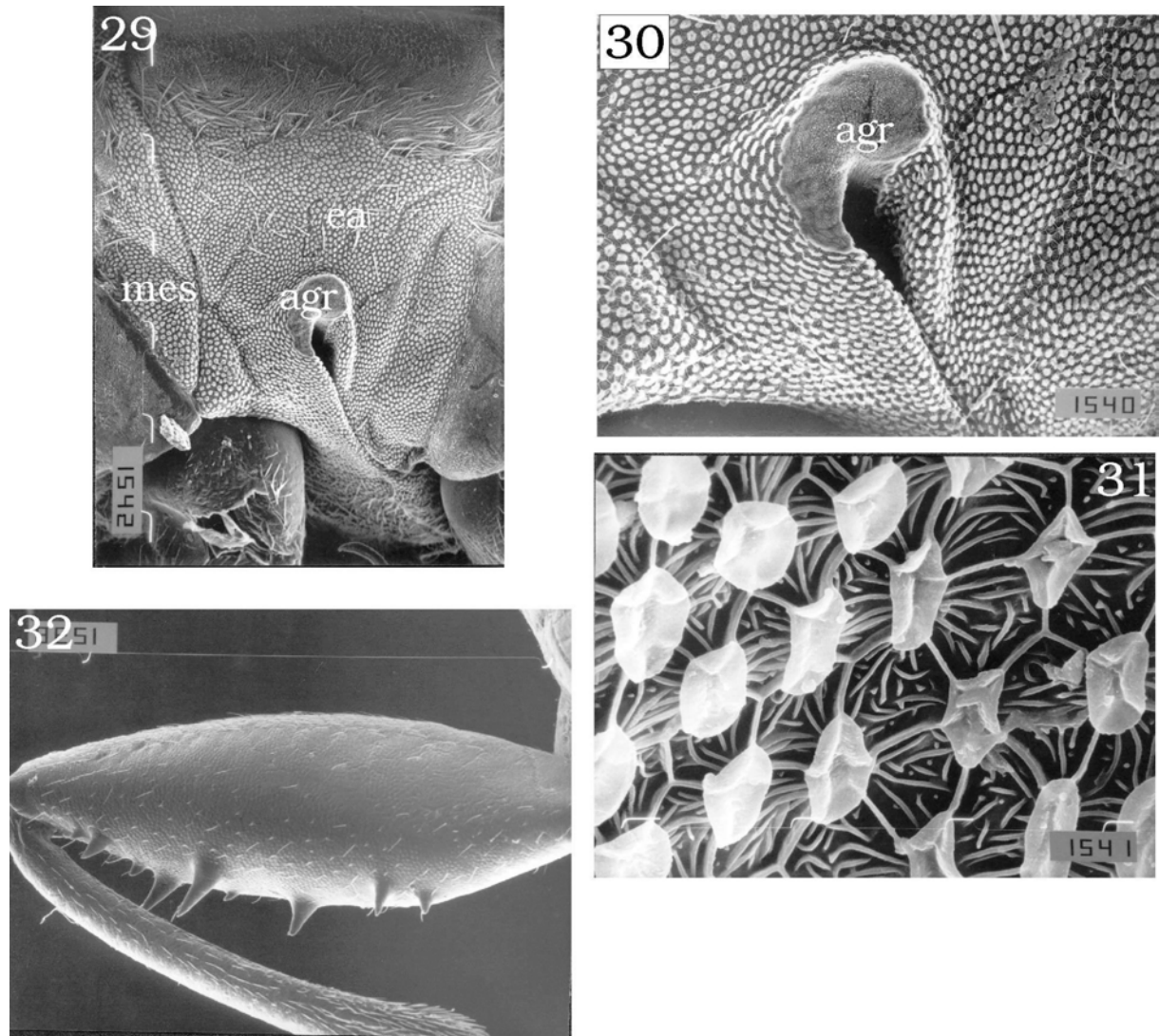


Figs. 21-24 *Neopamera hondurana* (Bergroth).- 21 a-b, cabeza y pronoto: a- ♂, vista dorsal; b- ♂, vista lateral. 22 a-b, pigóforo: a- vista dorsal; b- vista lateral. 23 a-b, parámetro derecho: a- vista interna; b- vista externa. 24 a-b,

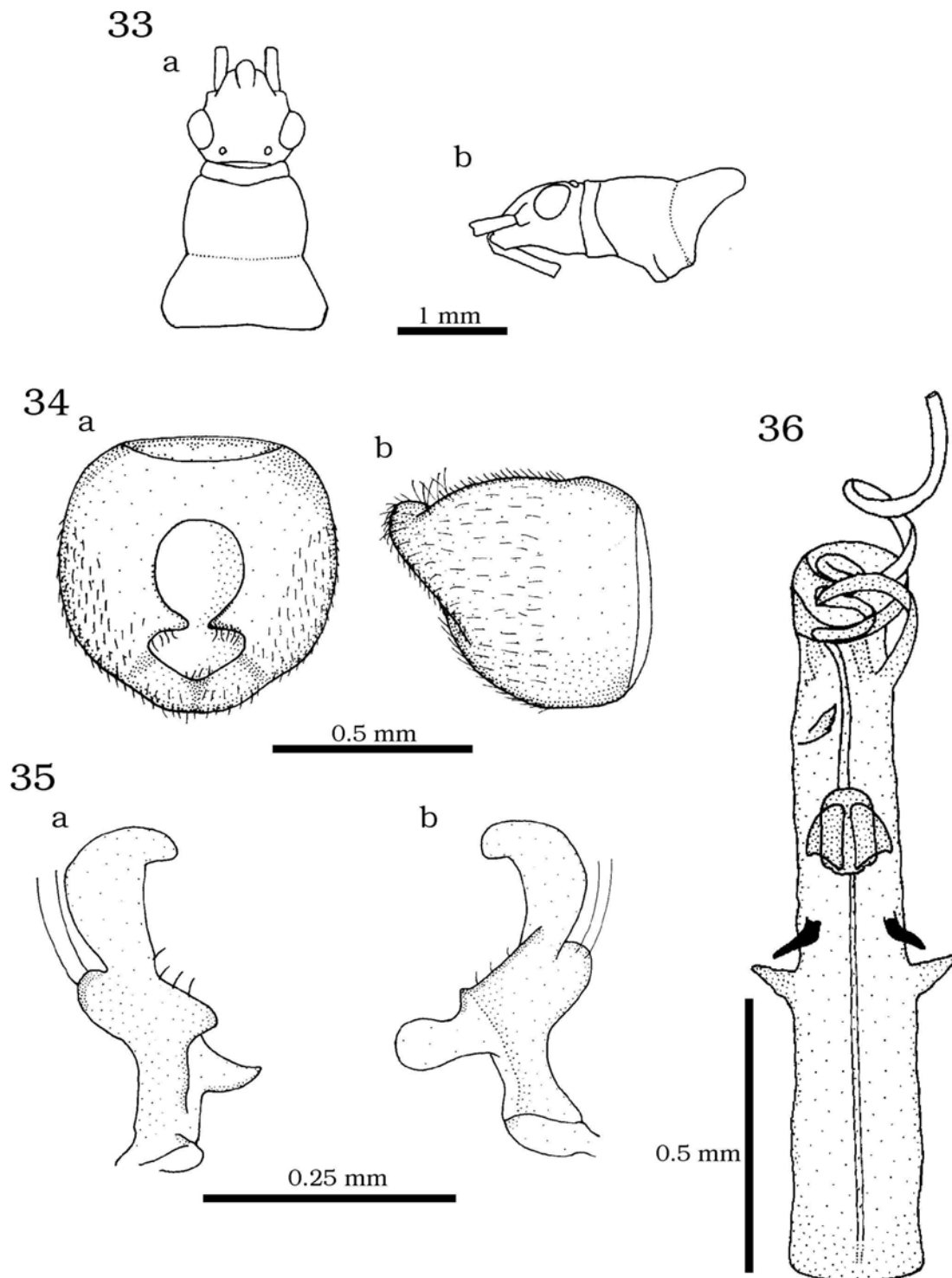
a- edeago, vista anterior; b- reservorio eyaculatorio y escleritos de sujeción, vista lateral.



Figs. 25-28 *Paromius procerulus* (Berg) nueva combinación.- 25, cabeza y pronoto, vista lateral (x 50). 26, cabeza y pronoto, vista dorsal (x 50). 27, detalle del lóbulo posterior del pronoto (x 350). 28, detalle del lóbulo anterior del pronoto (x 200).

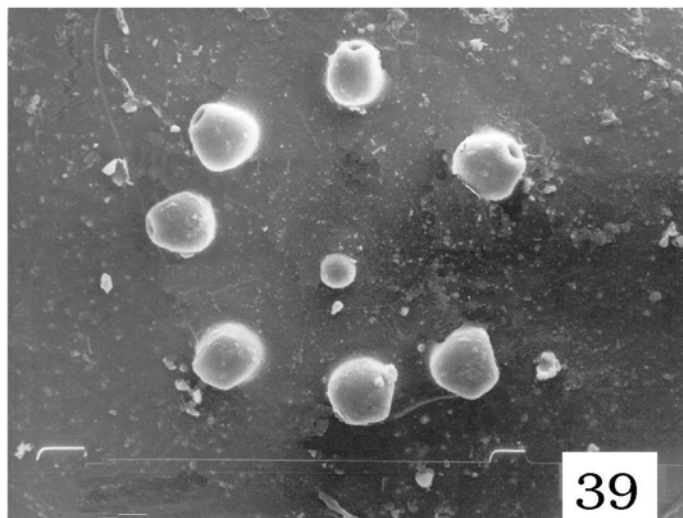
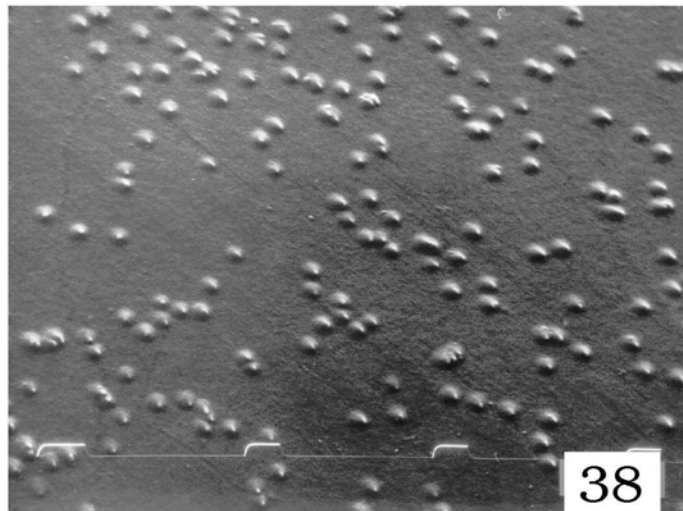
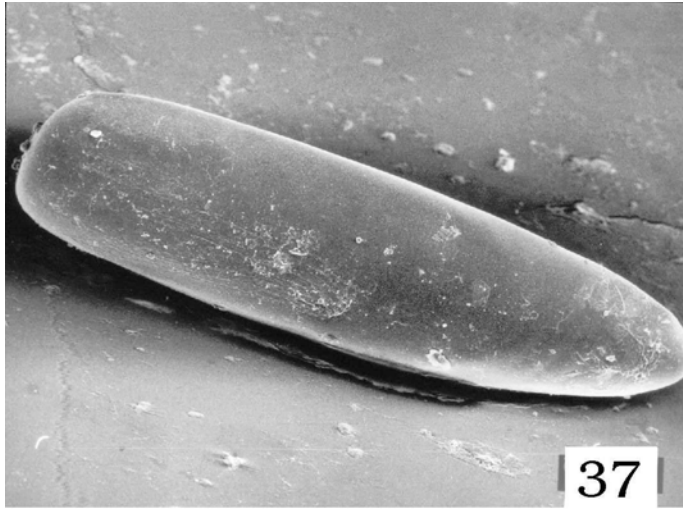


Figs. 29-32 *Paromius procerulus* (Berg) nueva combinación.- 29, abertura de la glándula evaporatoria metapleural y área evaporatoria (ae: área evaporatoria. agr: apertura de la glándula repugnatoria. mes: mesoepímero) (x 200). 30, detalle de la abertura de la glándula evaporatoria metapleural (agr: apertura de la glándula repugnatoria) (x 750). 31, detalle del área evaporatoria (x 1500). 32, fémur y tibia anterior (x 50).

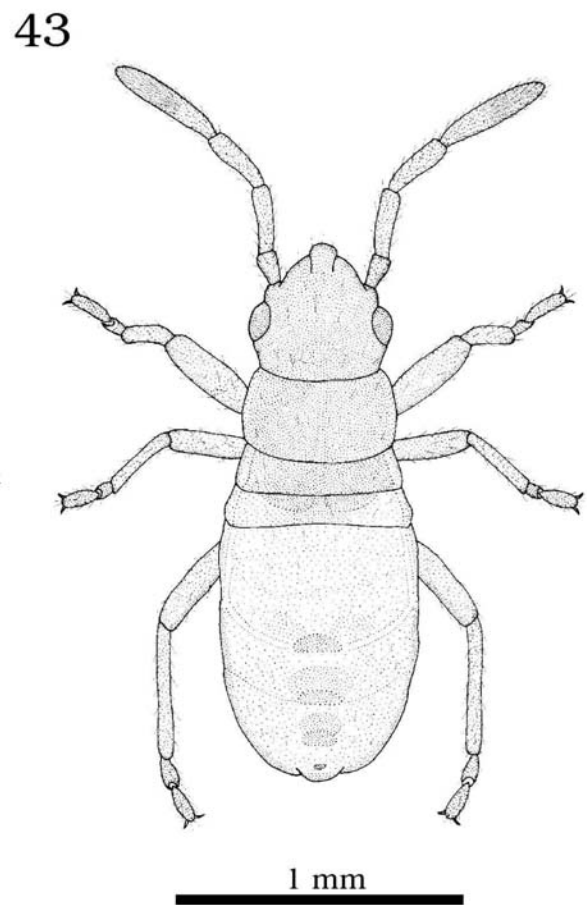
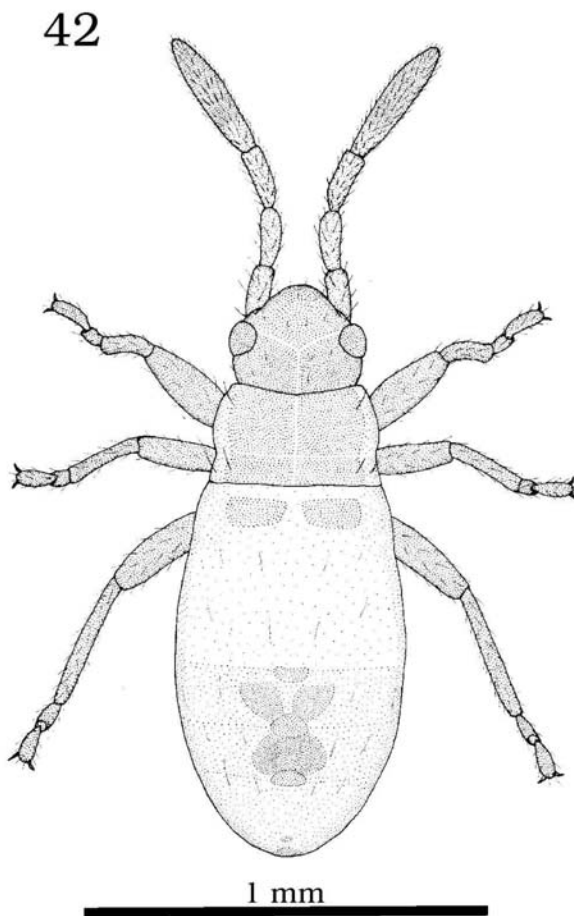
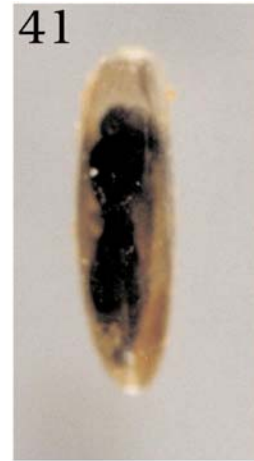


Figs. 33-36 *Paromius procerulus* (Berg) nueva combinación.- 33 a-b, ♂, cabeza y pronoto: a- vista dorsal; b- vista lateral. 34 a-b, pigóforo: a- vista

dorsal; b- vista lateral. 35 a-b, parámetro derecho: a- vista interna; b- vista externa. 36, edeago, vista anterior.

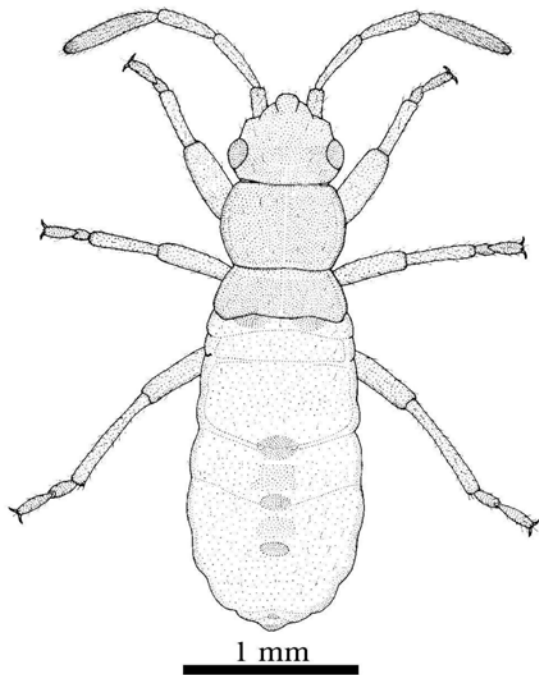


Figs. 37-39 *Paromius procerulus* (Berg) nueva combinación.- 37, Vista general del huevo (x 1500). 38, detalle de la esculturación del corion (x 3500). 39, procesos micropilares en el polo cefálico (x 3500).

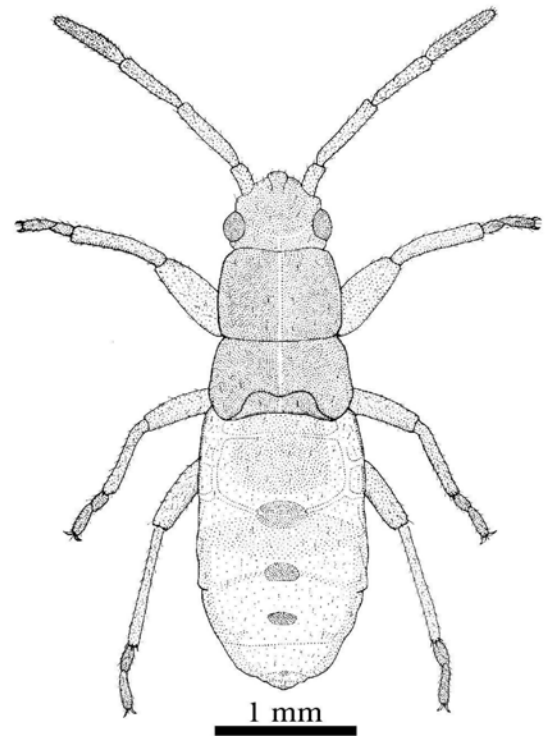


Figs. 40-43 *Paromius procerulus* (Berg) nueva combinación.- 40, huevo sano y huevo parasitoidizado. 41, huevo parasitoidizado (el microhimenóptero se nota por transparencia). 42, ninfa I. 43, ninfa II.

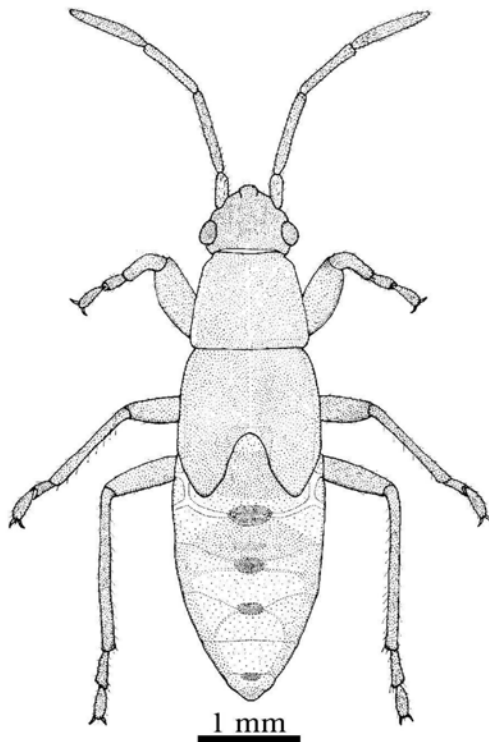
44



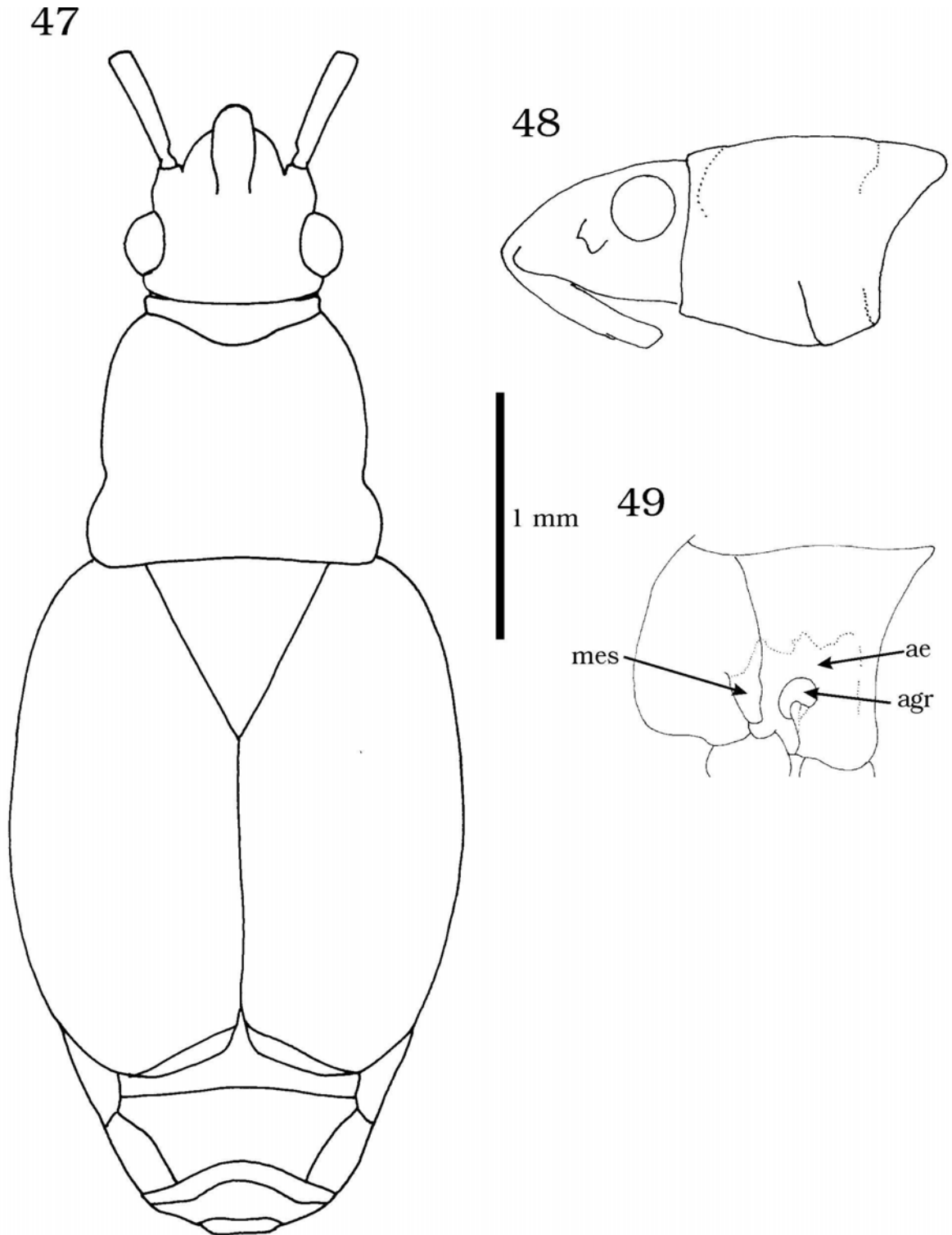
45



46

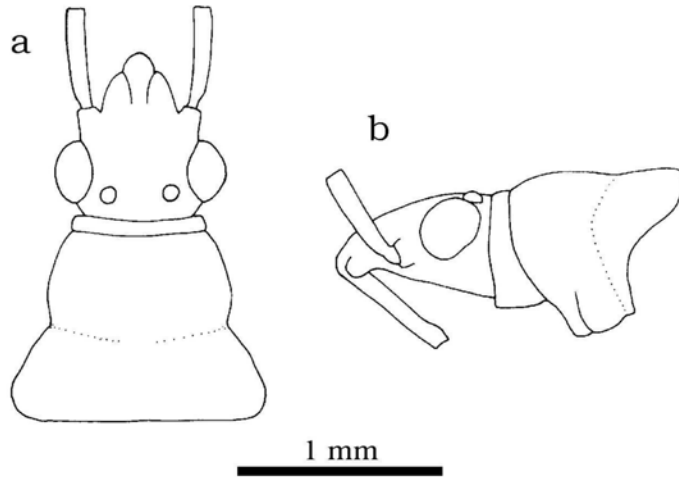


Figs. 44-46 *Paromius procerulus* (Berg) nueva combinación.- 44, Ninfa III. 45, ninfa IV. 46, ninfa V.

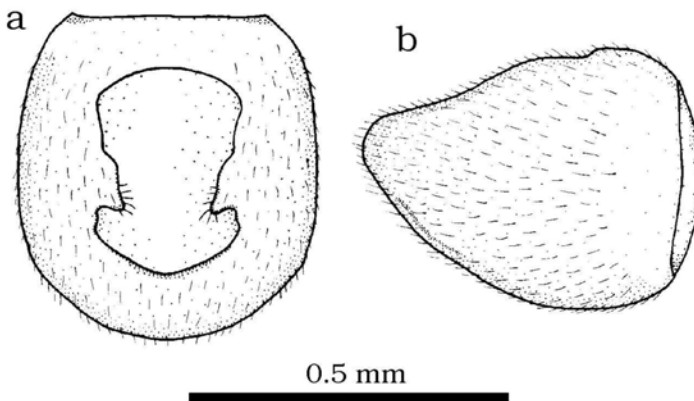


Figs. 47-49 *Gen.A mumfordi* (Van Duzee) nueva combinación.- 47, vista dorsal. 48, cabeza y pronoto, vista lateral. 49, esquema de la abertura de la glándula repugnatoria y área evaporatoria reducida (ae: área evaporatoria. agr: apertura de la glándula repugnatoria. mes: mesoepímero).

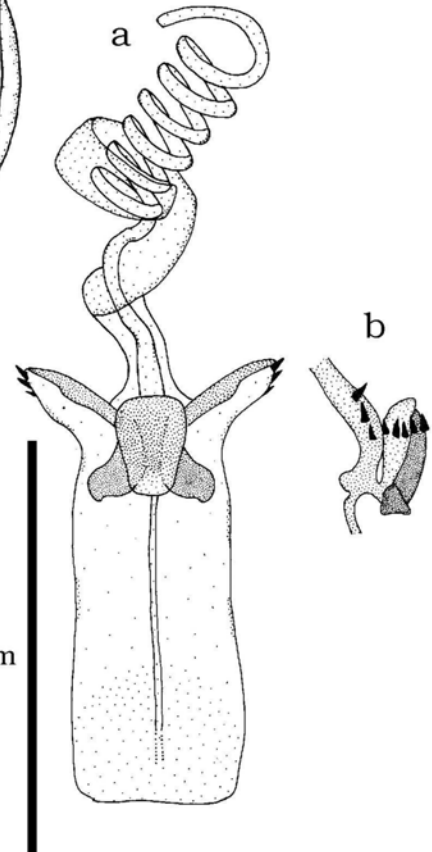
50



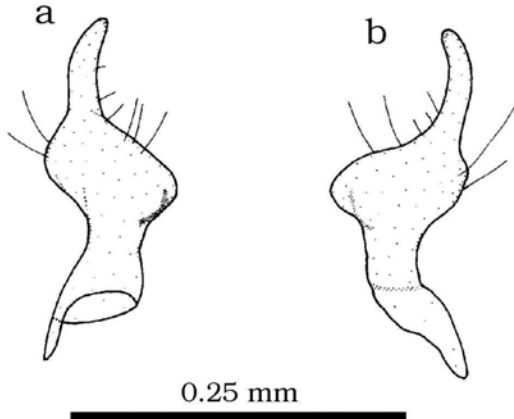
51



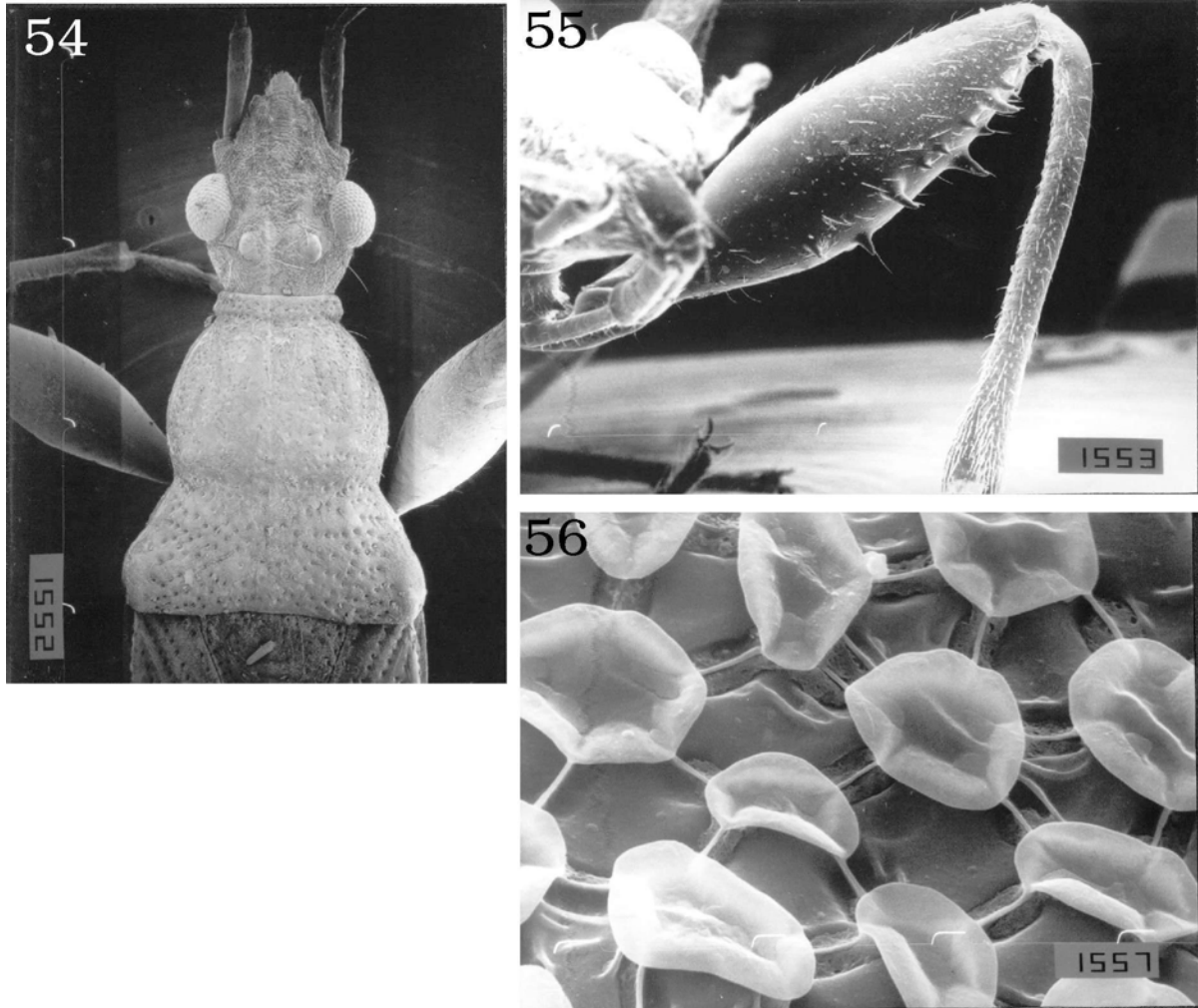
53



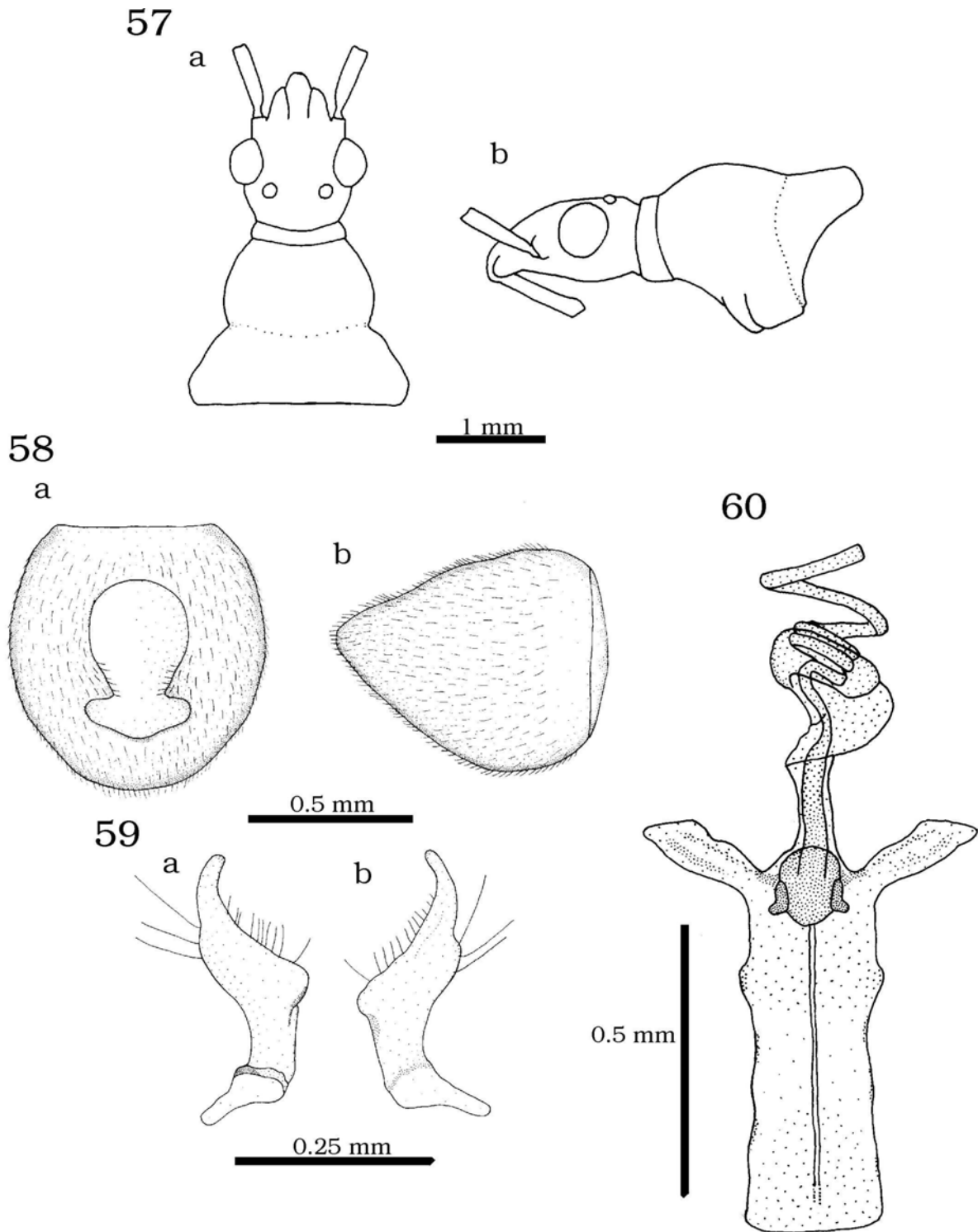
52



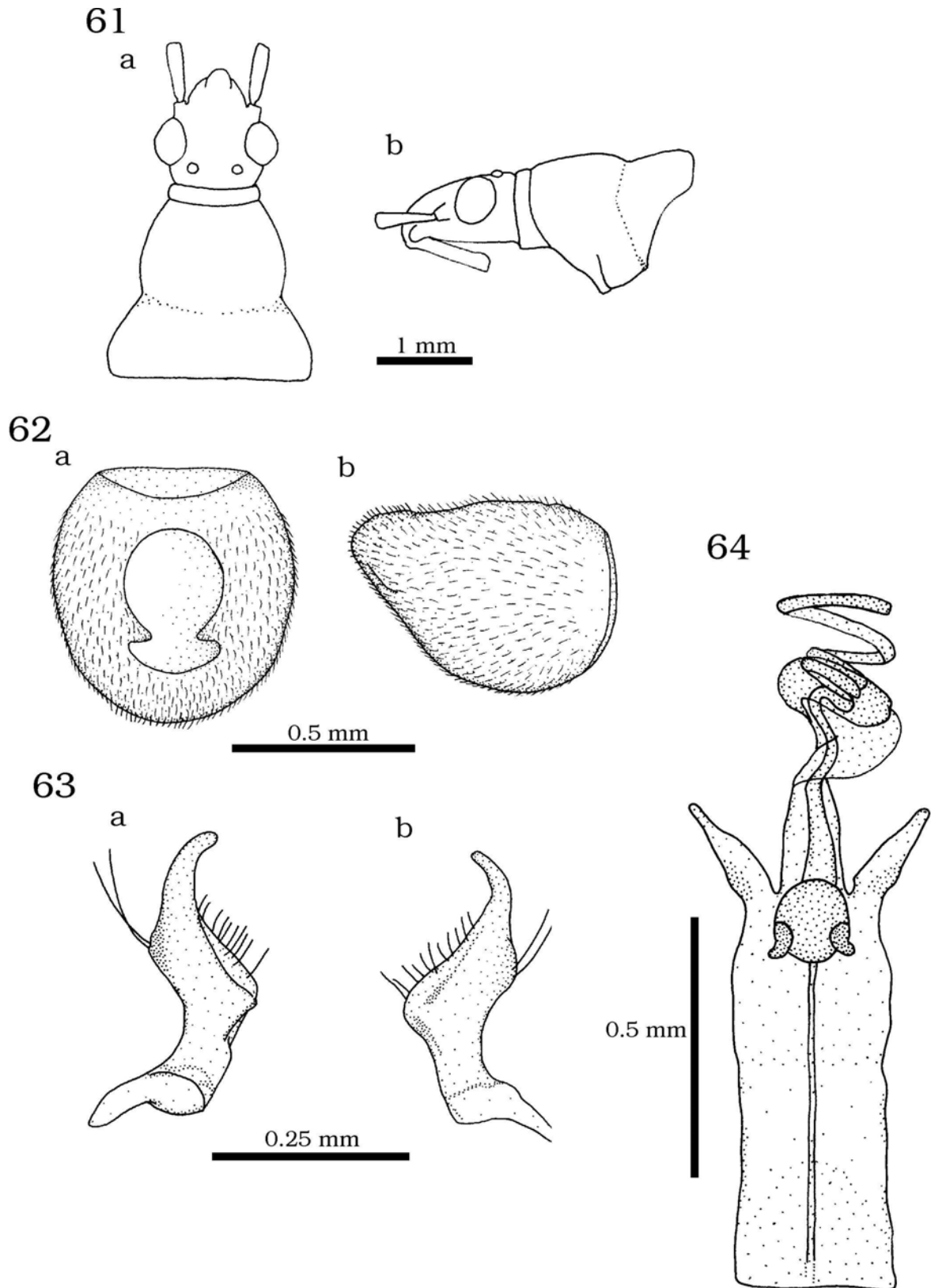
Figs. 50-53 *Gen.B intermedia* (Barber) nueva combinación.- 50 a-b, ♂, cabeza y pronoto: a- vista dorsal; b- vista dorsal. 51 a-b, pigóforo: a- vista dorsal; b- vista lateral. 52 a-b, parámero derecho: a- vista interna; b- vista externa. 53 a-b, edeago: a- vista anterior; b- detalle del reservorio eyaculatorio y las espinas sobre la conjuntiva, vista lateral.



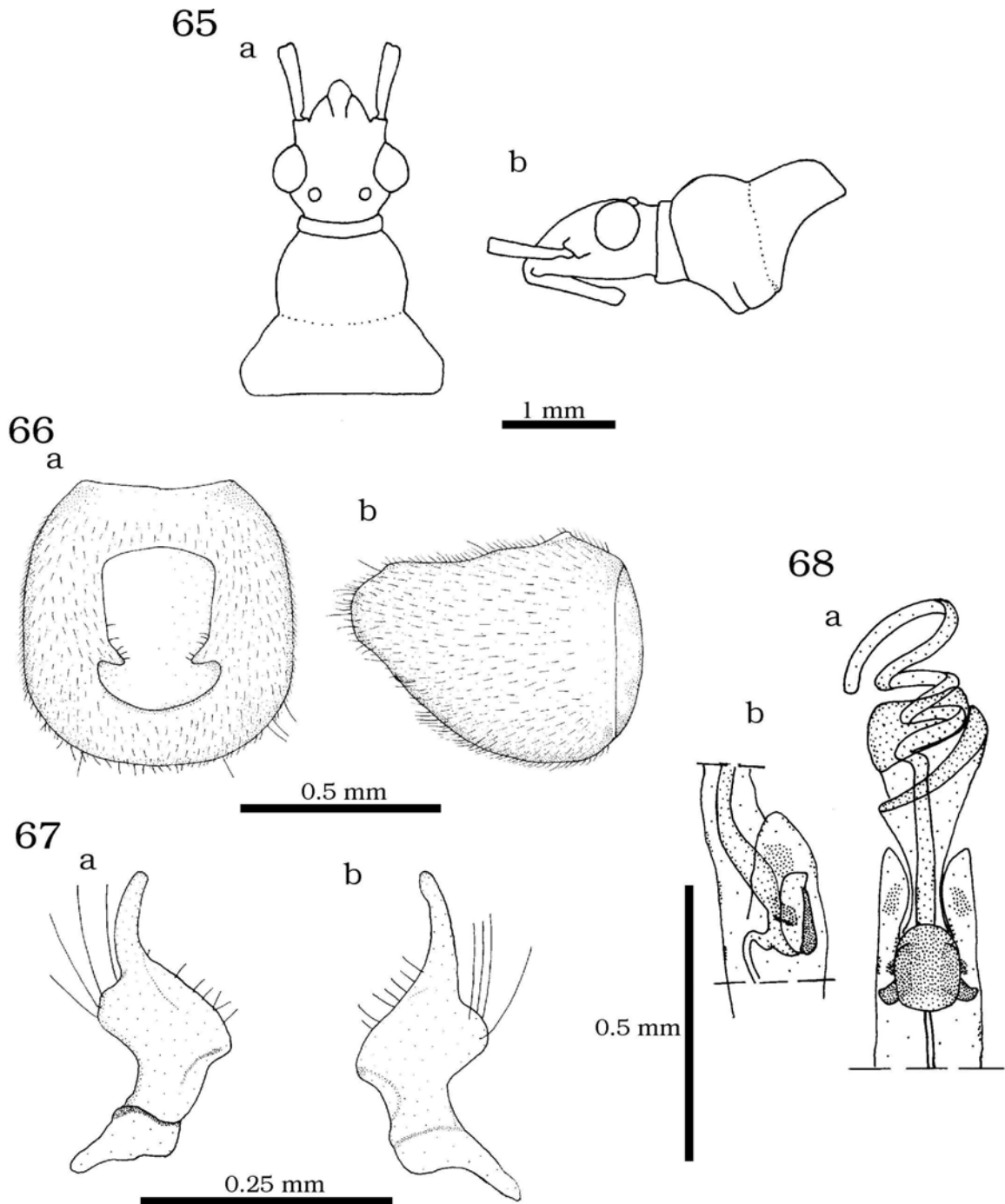
Figs. 54-56 *Gen.C brachialis* (Stål) nueva combinación.- 54, cabeza y pronoto, vista dorsal (x 50). 55, profémur y protibia (x 75). 56, detalle del área evaporatoria (x 1500).



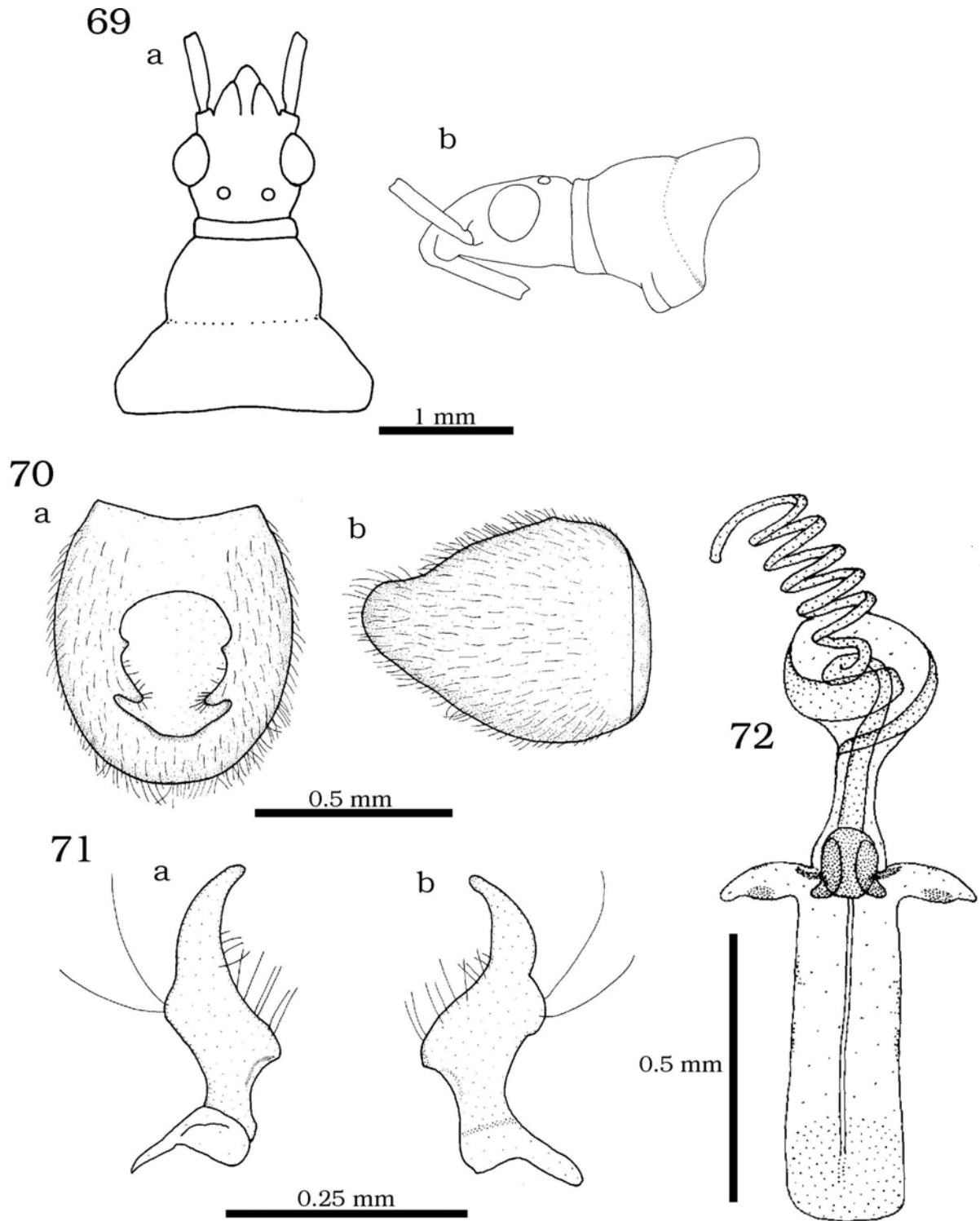
Figs. 57-60 *Gen. C brachialis* (Stål) nueva combinación.- 57 a-b, ♂, cabeza y pronoto: a- vista dorsal; b- vista lateral. 58 a-b, pigóforo: a- vista dorsal; b- vista lateral. 59 a-b, parámero derecho: a- vista interna; b- vista externa. 60, edeago, vista anterior.



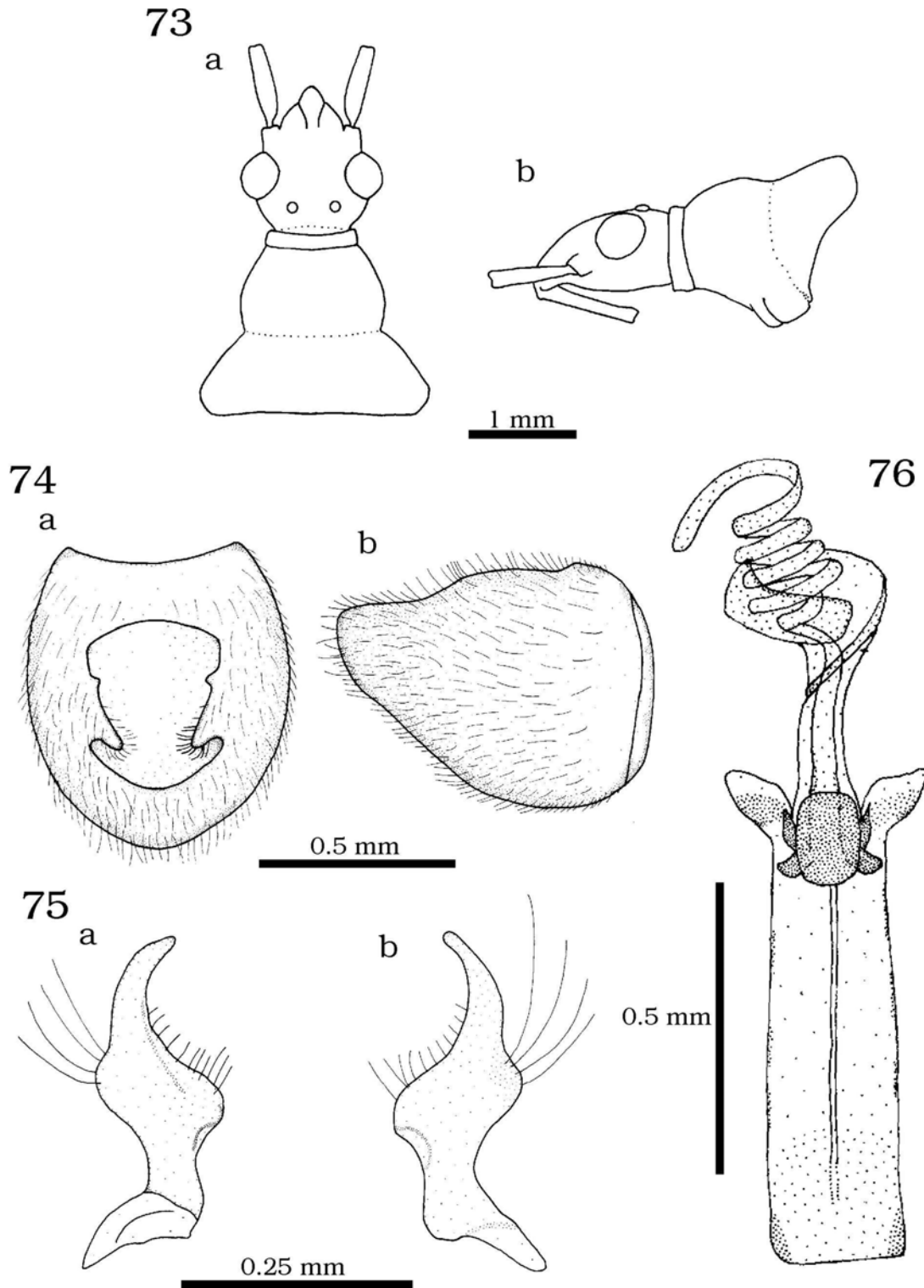
Figs. 61-64 *Gen.C n.sp1* nueva especie.- 61 a-b, ♂, cabeza y pronoto: a- vista dorsal; b- vista lateral. 62 a-b, pigóforo: a- vista dorsal; b- vista lateral. 63 a- b, parámetro derecho: a- vista interna; b- vista externa. 64, edeago, vista anterior.



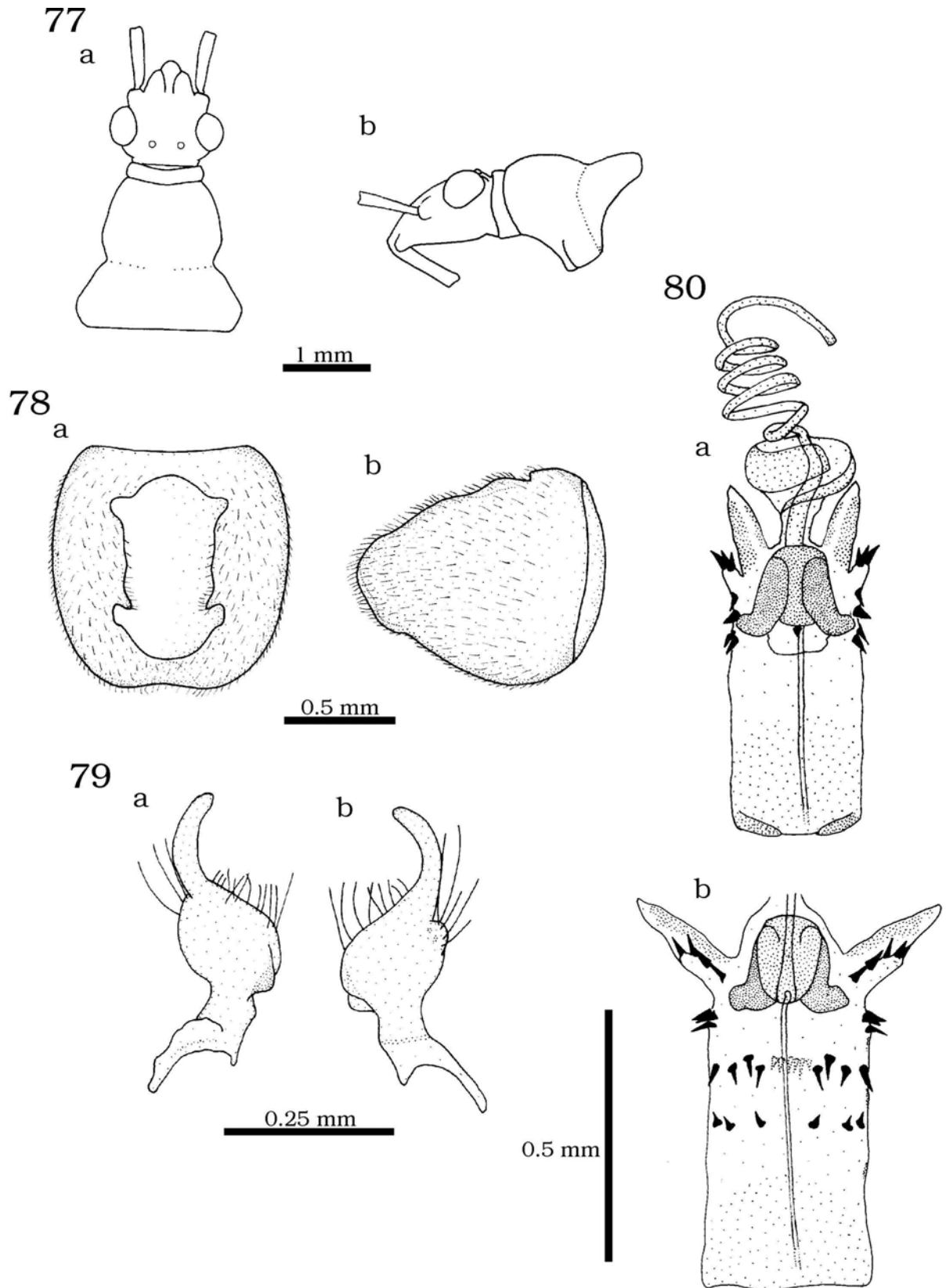
Figs. 65-68 *Gen. C n.sp2* nueva especie.- 65 a-b, ♂, cabeza y pronoto: a- vista dorsal; b- vista lateral. 66 a-b, pigóforo: a- vista dorsal; b- vista lateral. 67 a-b, parámetro derecho: a- vista interna; b- vista externa. 68 a-b, edeago: a- vista anterior; b- reservorio eyaculatorio y lóbulo, vista lateral.



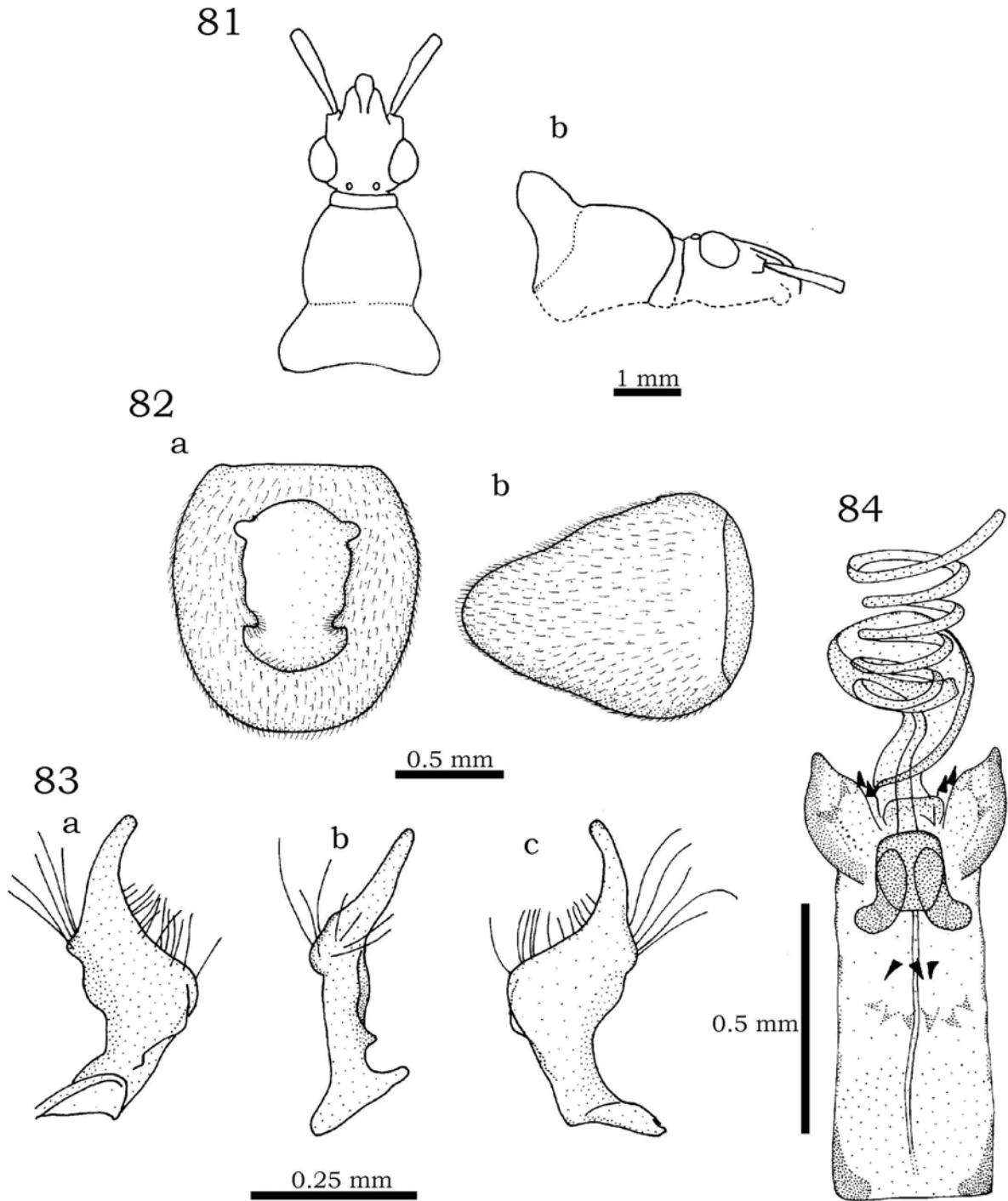
Figs. 69-72 *Gen.C n.sp3* nueva especie.- 69 a-b, ♂, cabeza y pronoto: a- vista dorsal; b- vista lateral. 70 a-b, pigóforo: a- vista dorsal; b- vista lateral. 71 a- b, parámetro derecho: a- vista interna; b- vista externa. 72, edeago, vista anterior.



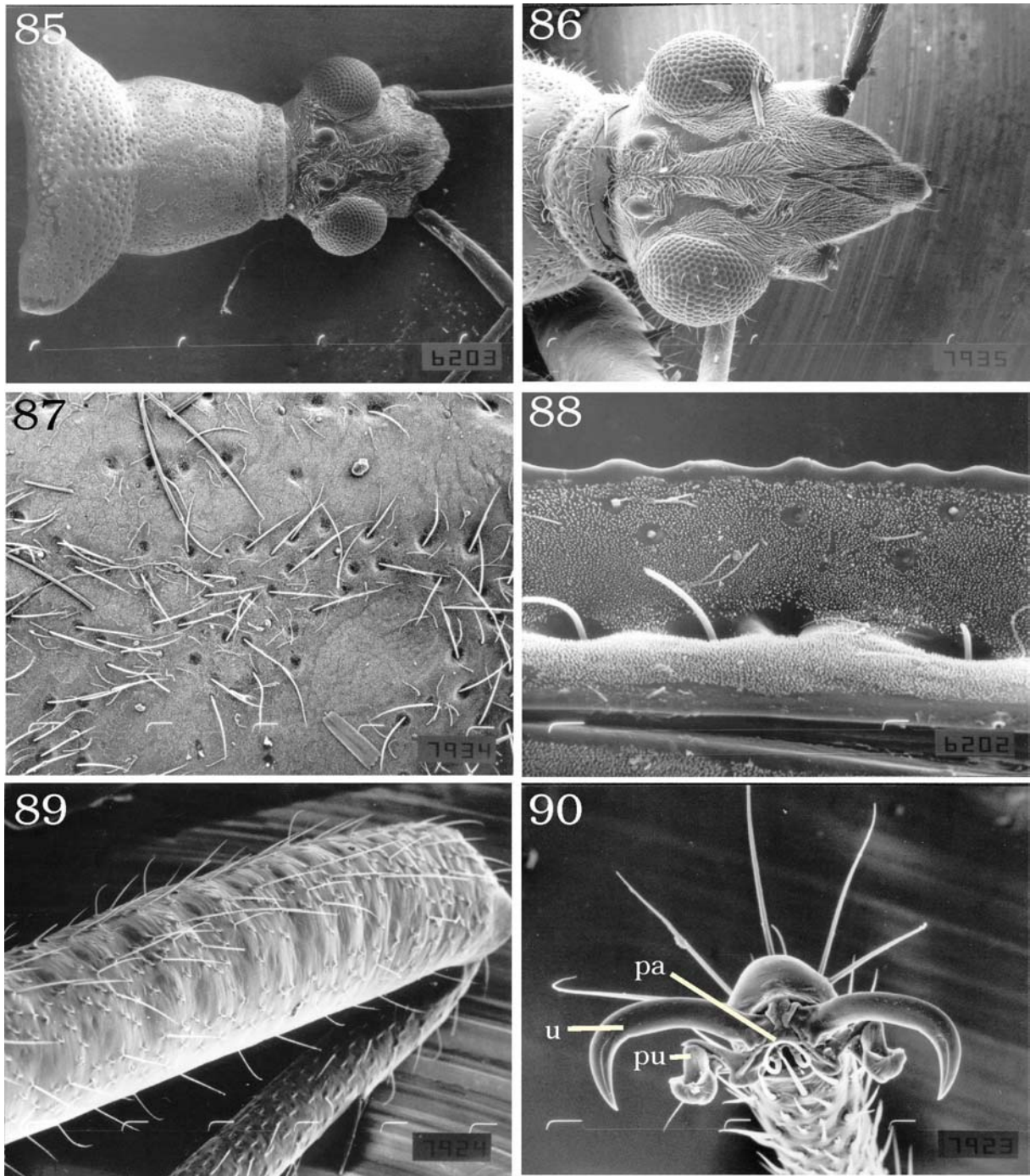
Figs. 73-76 *Gen.C n.sp4* nueva especie.- 73 a-b, ♂, cabeza y pronoto: a- vista dorsal; b- vista lateral. 74 a-b, pigóforo: a- vista dorsal; b- vista lateral. 75 a- b, parámetro derecho: a- vista interna; b- vista externa. 76, edeago, vista anterior.



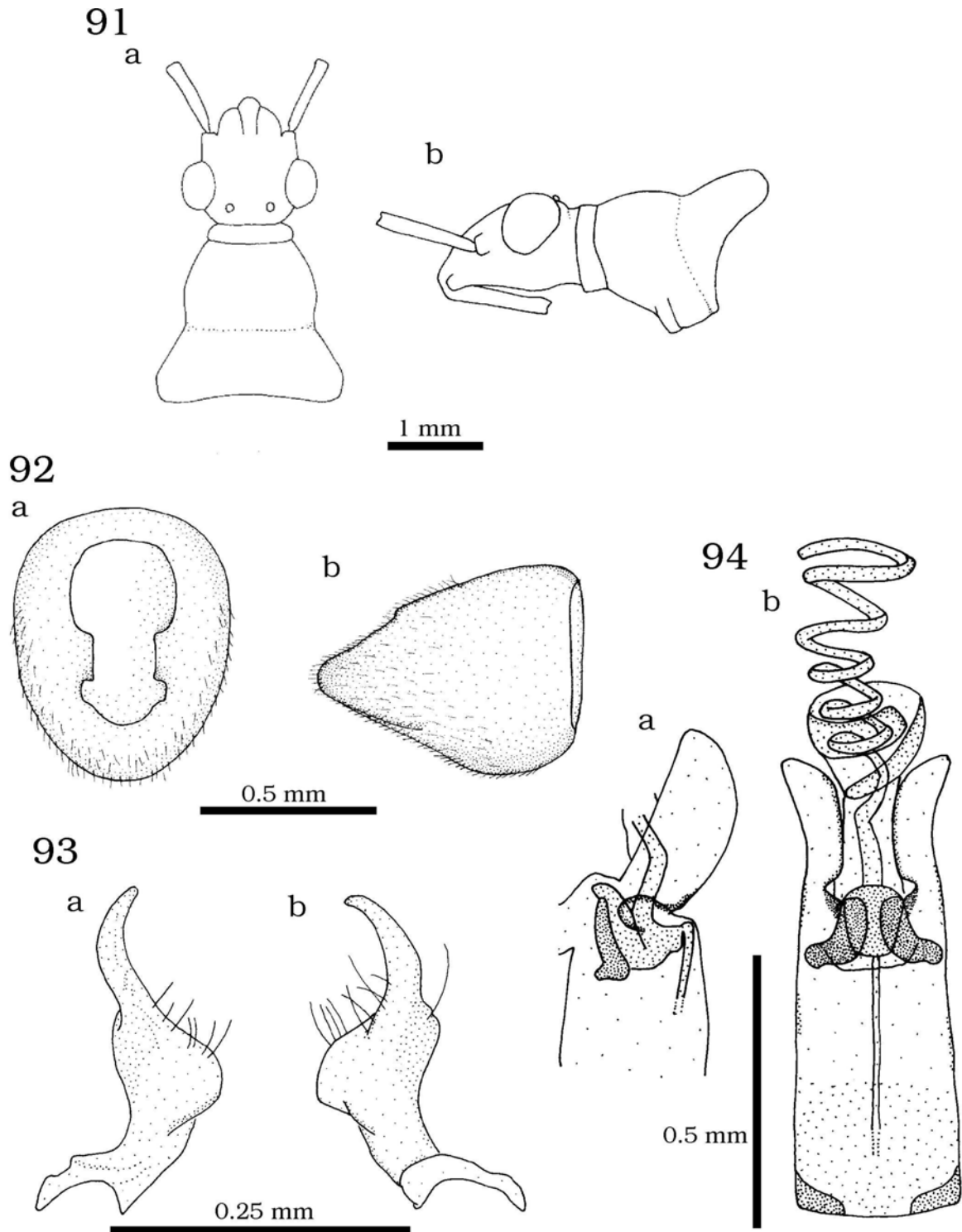
Figs. 77-80 *Gen.D costalis* (Stål) nueva combinación.- 77 a-b, ♂, cabeza y pronoto: a- vista dorsal; b- vista lateral. 78 a-b, pigóforo: a- vista dorsal; b- vista lateral. 79 a-b, parámetro derecho: a- vista interna; b- vista externa. 80 a-b, edeago: a- vista anterior; b- vista posterior (conjuntiva con espinas).



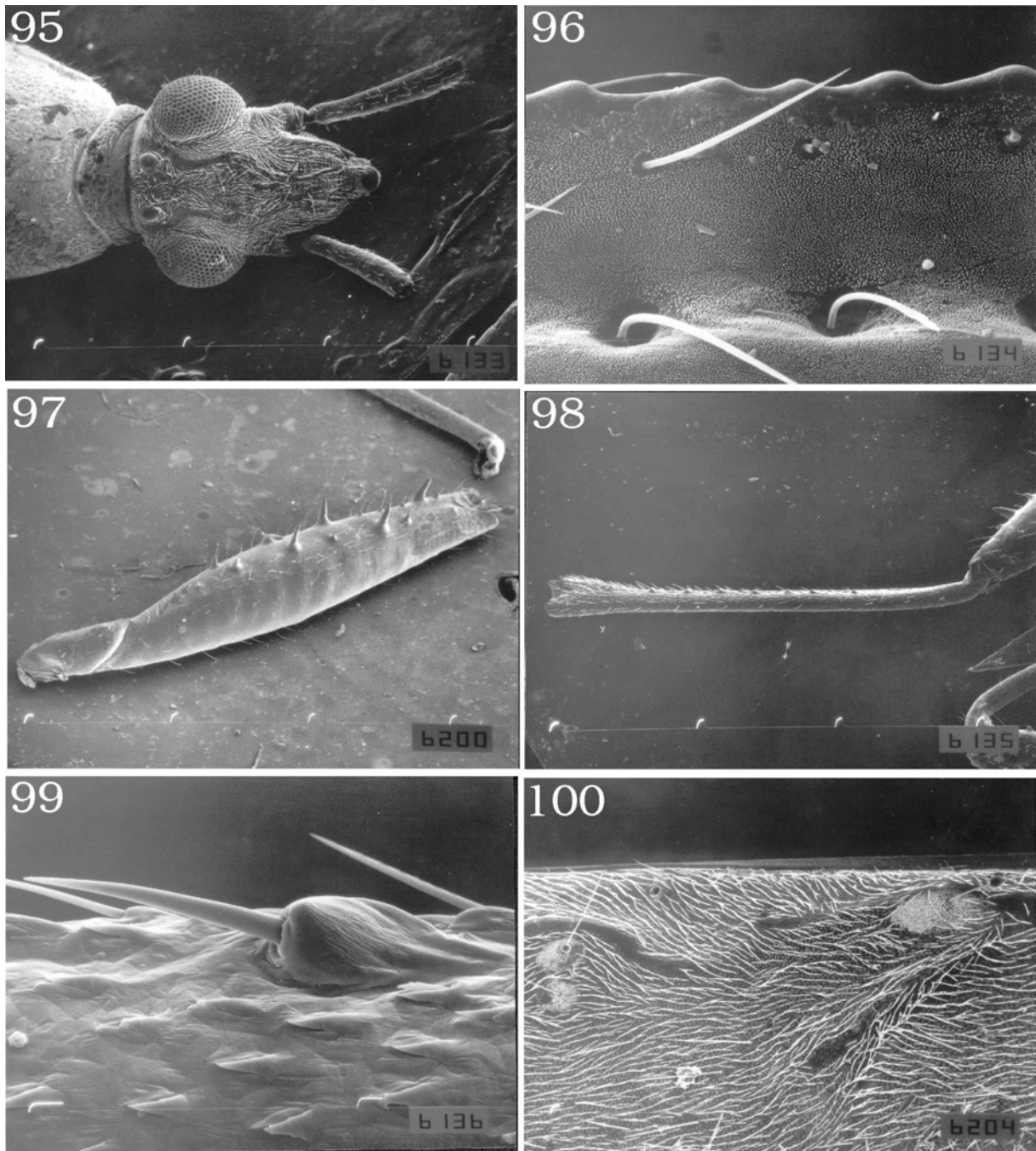
Figs. 81-84 *Gen.D serripes* (Walker) nueva combinación.- 81 a-b, ♂, cabeza y pronoto: a- vista dorsal; b- vista lateral. 82 a-b, pigóforo: a- vista dorsal; b- vista lateral. 83 a-c, parámero derecho: a- vista interna; b- vista lateral; c- vista externa. 84, edeago, vista anterior.



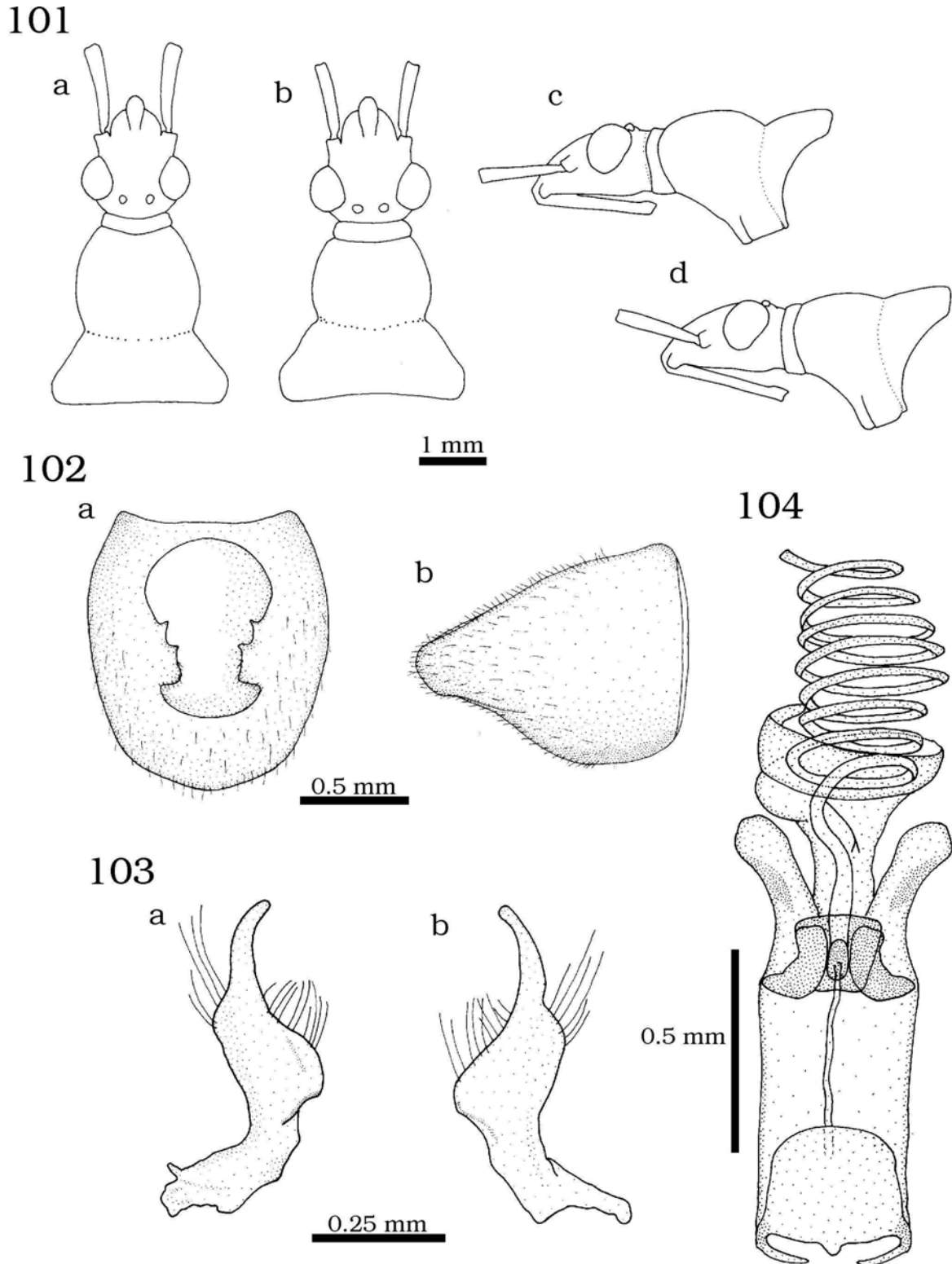
Figs. 85-90 *Gen.D neotropicalis* (Kirkaldy) nueva combinación.- 85, ♂, cabeza y pronoto, vista dorsal (x 35). 86, cabeza (x 50). 87, detalle de la pruinosis del pronoto (x 200). 88, detalle del hemiélitro, margen corial aserrado y textura pruinosa (x 750). 89, cara interna del metafémur (x 150). 90, pretarso (x 350) (pa: paraempodia. pu: pulvillo. u: uña).



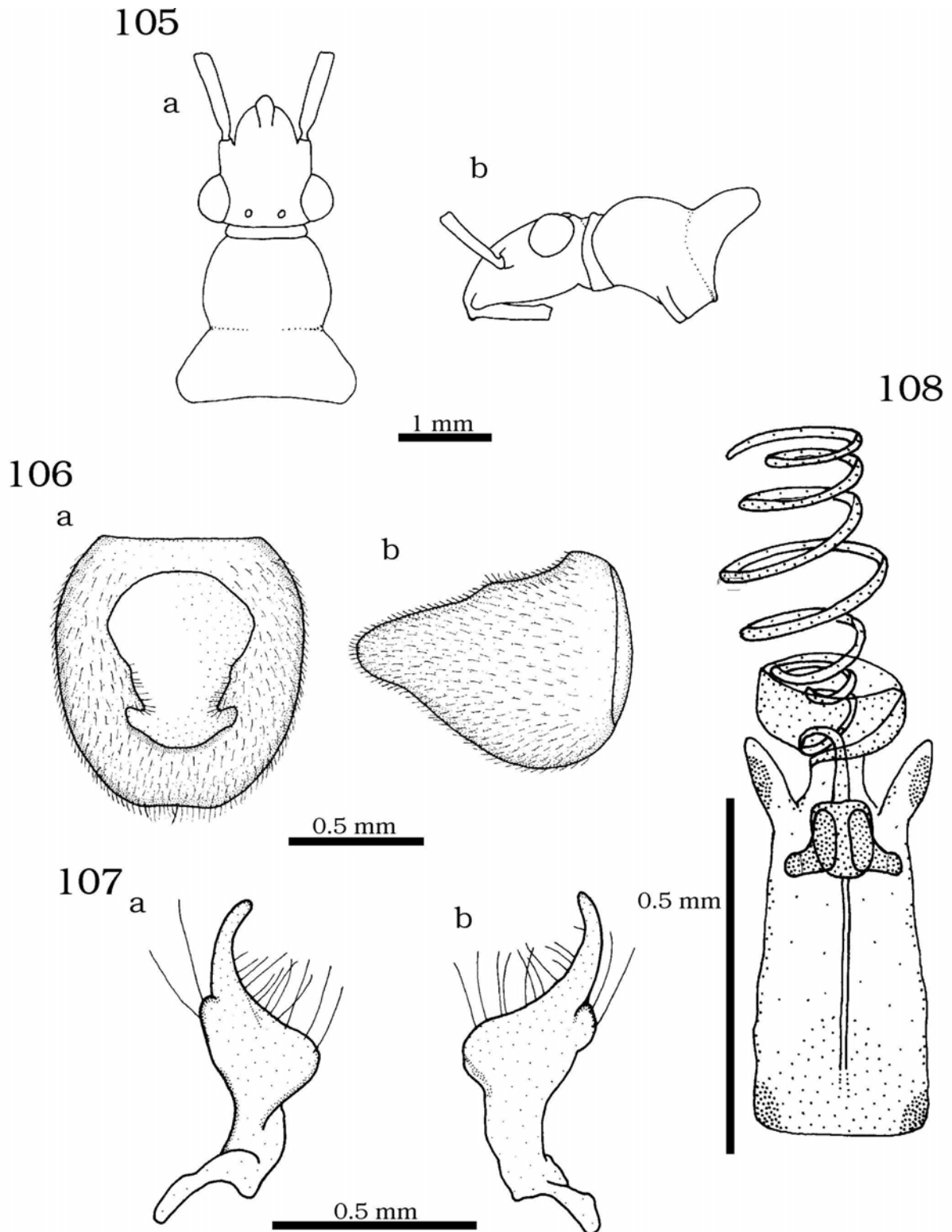
Figs. 91-94 *Gen.D neotropicalis* (Kirkaldy) nueva combinación.- 91 a-b, ♂, cabeza y pronoto: a- vista dorsal; b- vista lateral. 92 a-b, pigóforo: a- vista dorsal; b- vista lateral. 93 a-b, parámetro derecho: a- vista interna; b- vista externa. 94 a-b, edeago: a- vista anterior; b- reservorio eyaculatorio y lóbulos, vista lateral.



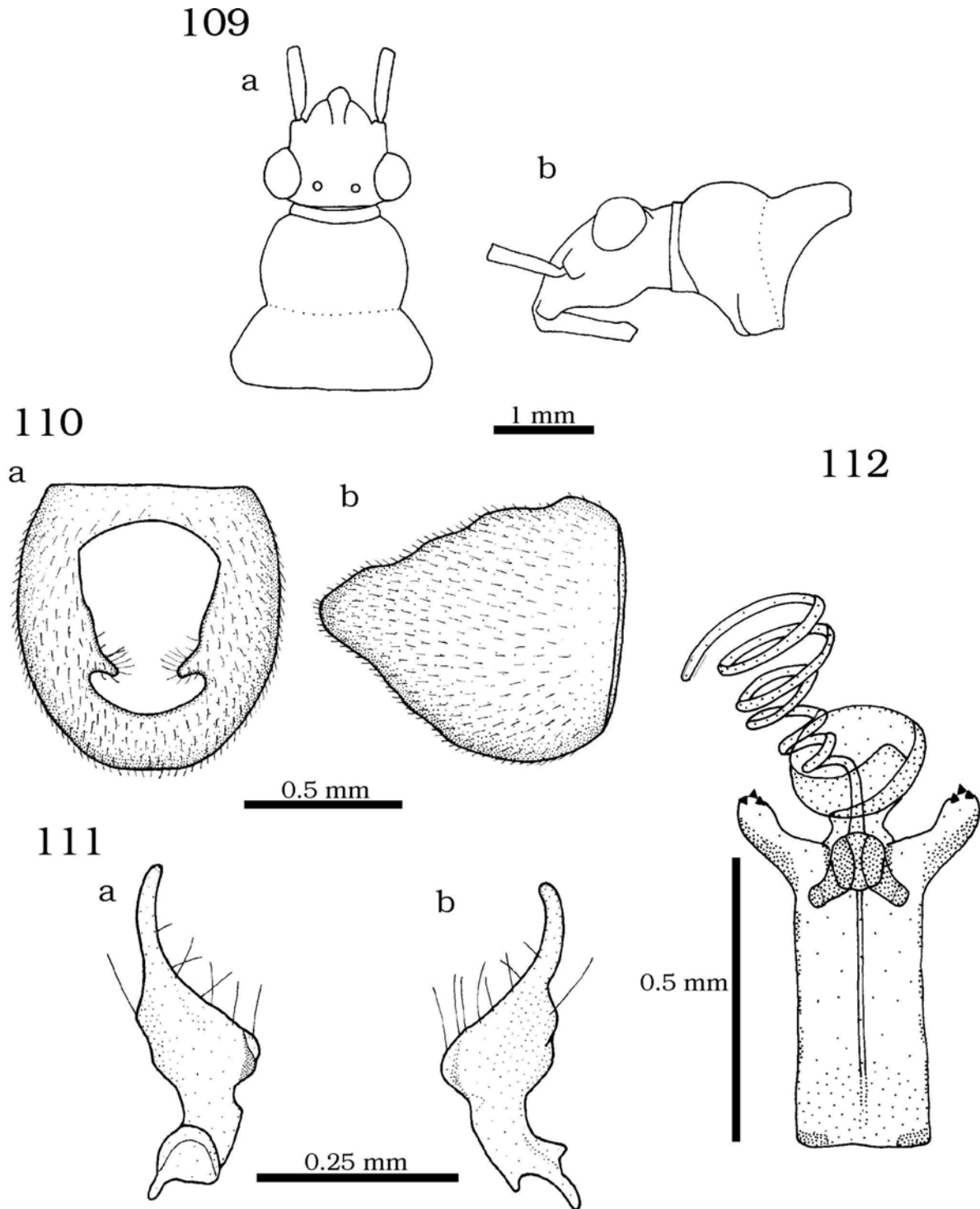
Figs. 95-100 *Gen.D tineodes* (Burmeister) nueva combinación.- 95, ♂, cabeza y lóbulo anterior del pronoto, vista dorsal (x 35). 96, detalle del hemiélitro, margen corial aserrado y textura pruinosa (x 750). 97, profémur (x 35). 98, protibia (x 35). 99, detalle de las espinas de la protibia (x 750). 100, abdomen (x 100).



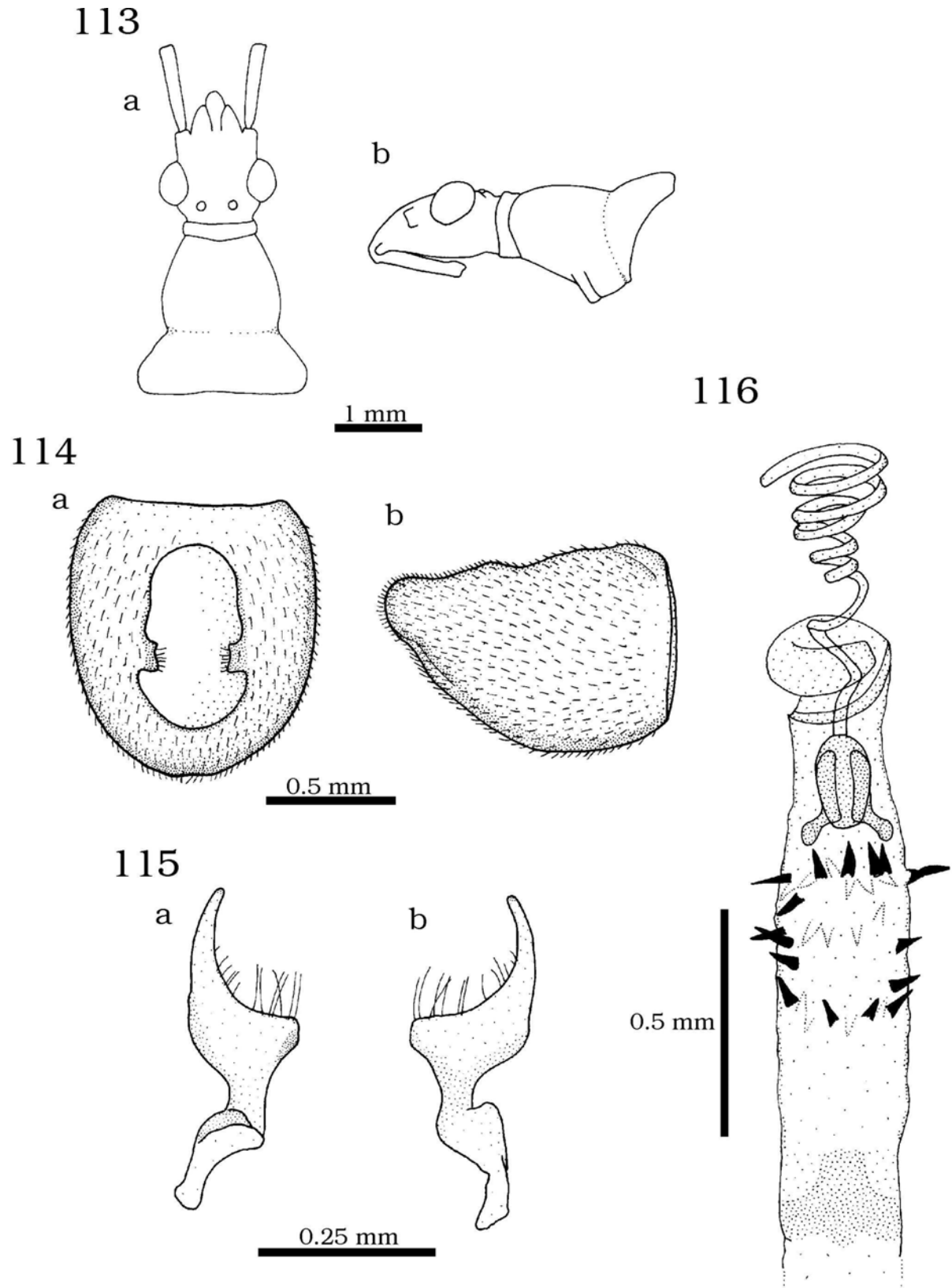
Figs. 101-104 *Gen.D tineodes* (Burmeister) nueva combinación.- 101, a-d, cabeza y pronoto: a- ♂, vista dorsal; b- ♀, vista dorsal; c- ♂, vista lateral; d- ♀, vista lateral. 102 a-b, pigóforo: a- vista dorsal; b- vista lateral. 103 a-b, parámetro derecho: a- vista interna; b- vista externa. 104, edeago, vista anterior.



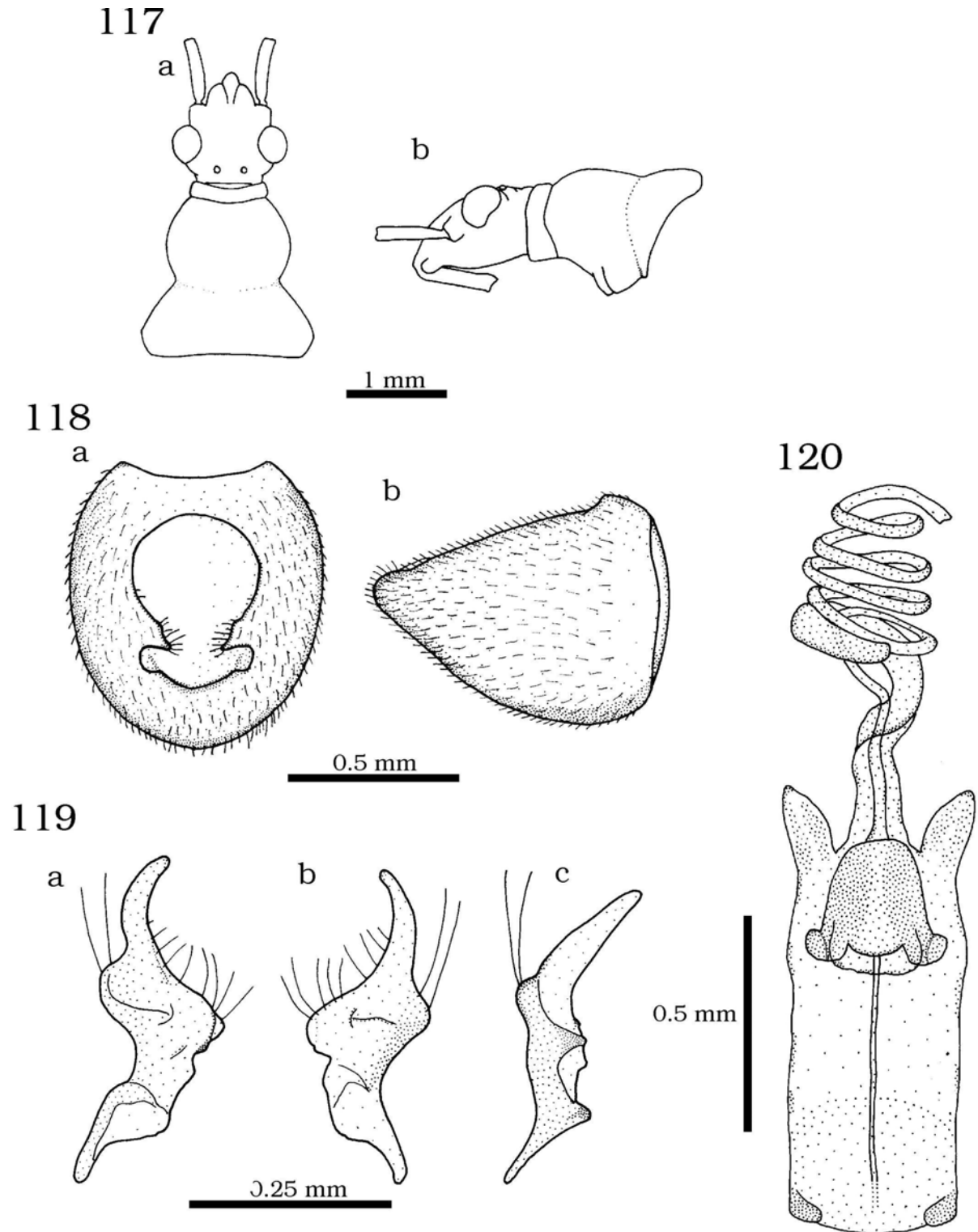
Figs. 105-108 *Gen.D n.sp.5* nueva especie.- 105 a-b, ♂, cabeza y pronoto: a- vista dorsal; b- vista lateral. 106 a-b, pigóforo: a- vista dorsal; b- vista lateral. 107 a-b, parámero derecho: a- vista interna; b- vista externa. 108, eedeago, vista anterior.



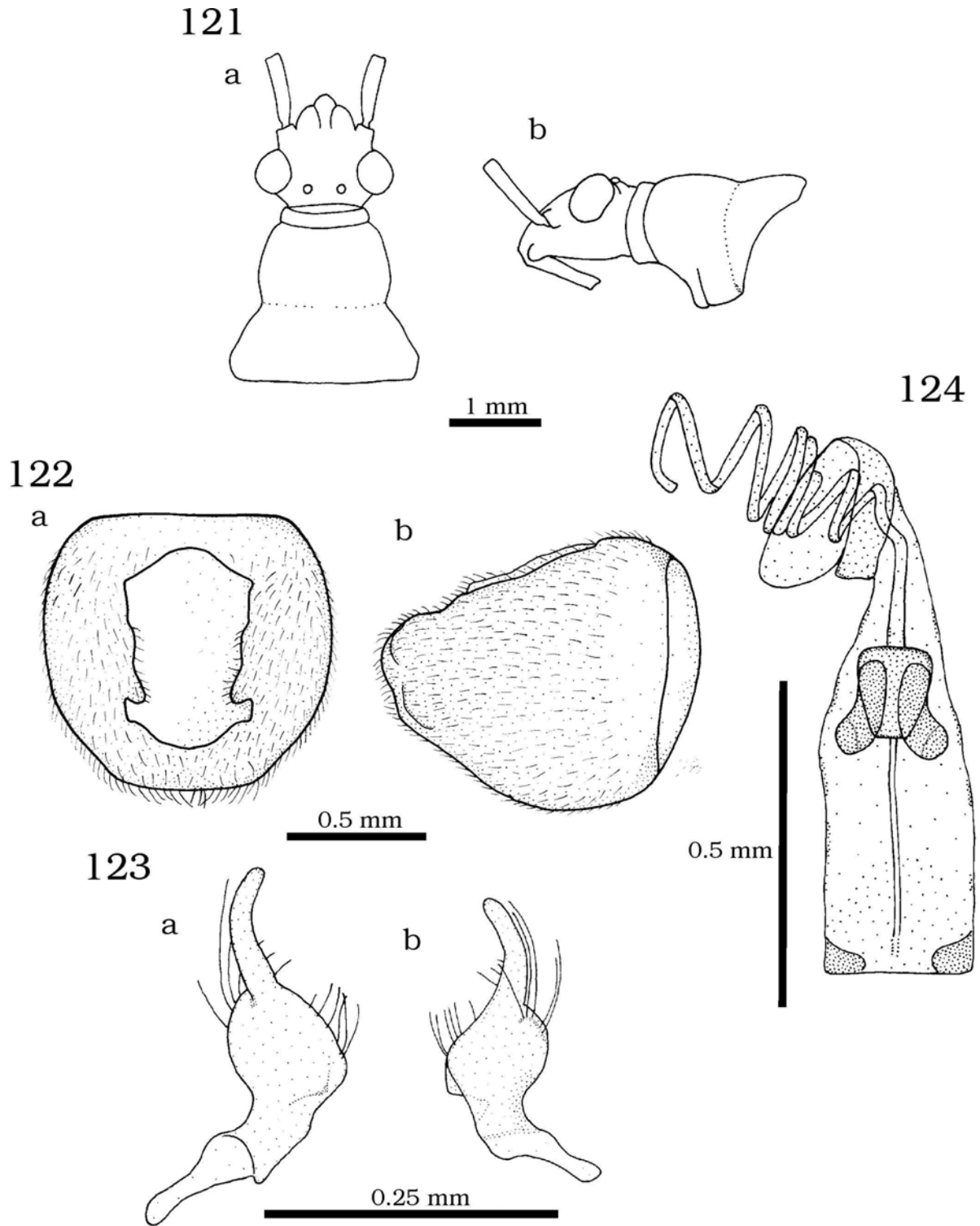
Figs. 109-112 *Gen.D n.sp.6* nueva especie.- 109 a-b, ♂, cabeza y pronoto: a- vista dorsal; b- vista lateral. 110 a-b, pigóforo: a- vista dorsal; b- vista lateral. 111 a-b, parámetro derecho: a- vista interna; b- vista externa. 112, edeago, vista anterior.



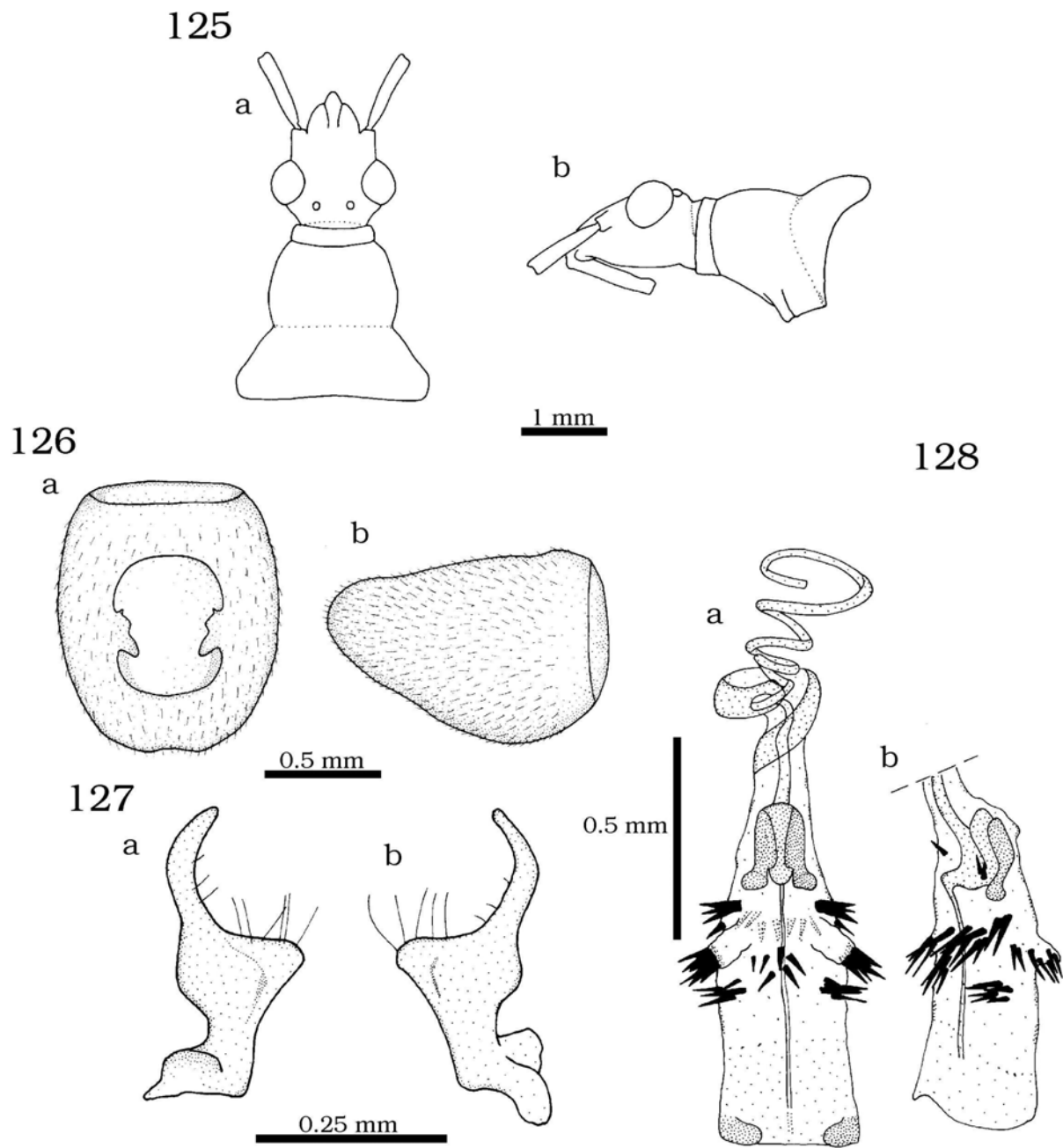
Figs. 113-116 *Gen.D n.sp.7* nueva especie.- 113 a-b, ♂, cabeza y pronoto: a- vista dorsal; b- vista lateral. 114 a-b, pigóforo: a- vista dorsal; b- vista lateral. 115 a-b, parámetro derecho: a- vista interna; b- vista externa. 116, edeago, vista anterior.



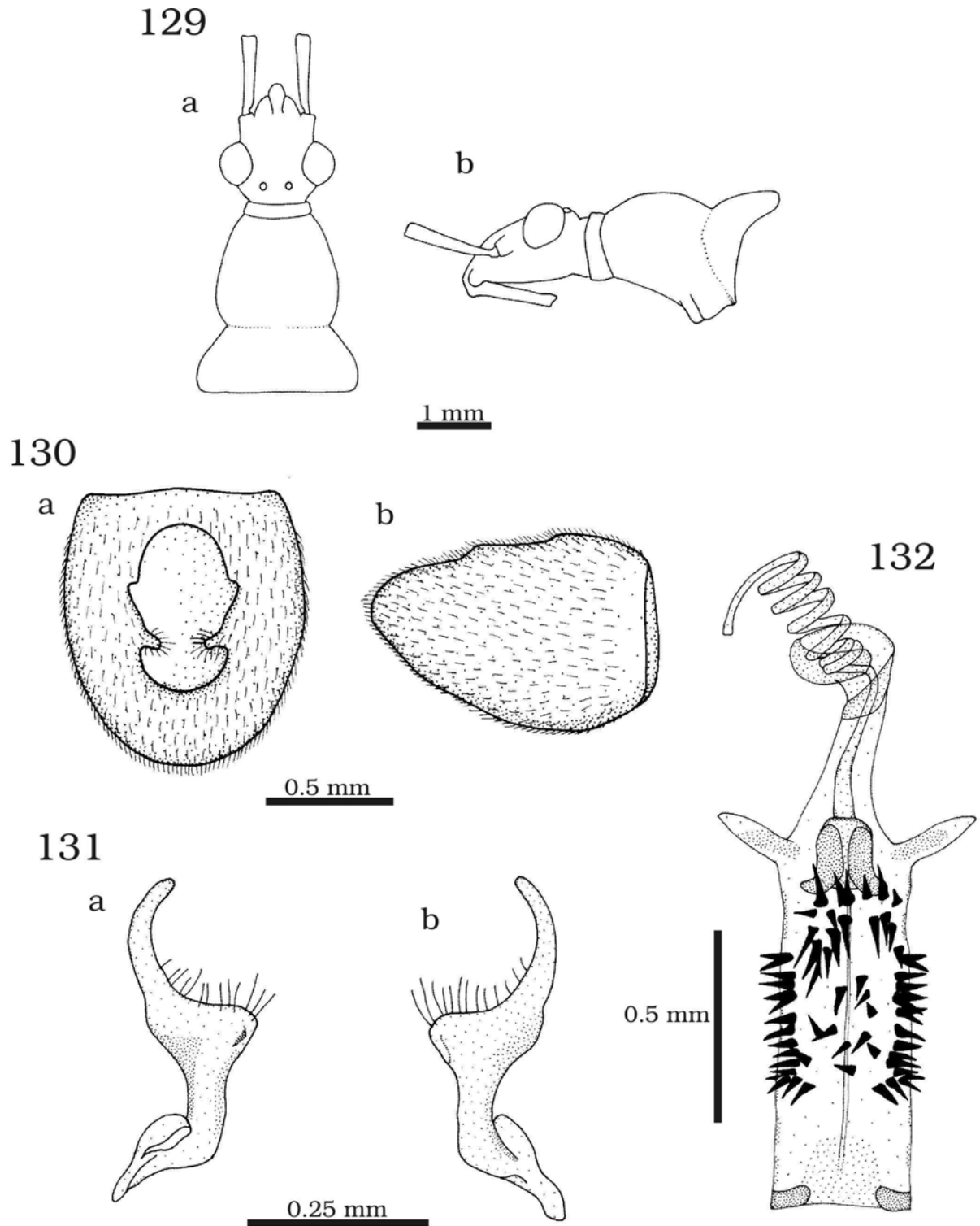
Figs. 117-120 *Gen.D n.sp.8* nueva especie.- 117 a-b, ♂, cabeza y pronoto: a- vista dorsal; b- vista lateral. 118 a-b, pigóforo: a- vista dorsal; b- vista lateral. 119 a-c, parámetro derecho: a- vista interna; b- vista externa; c- vista lateral. 120, edeago, vista anterior.



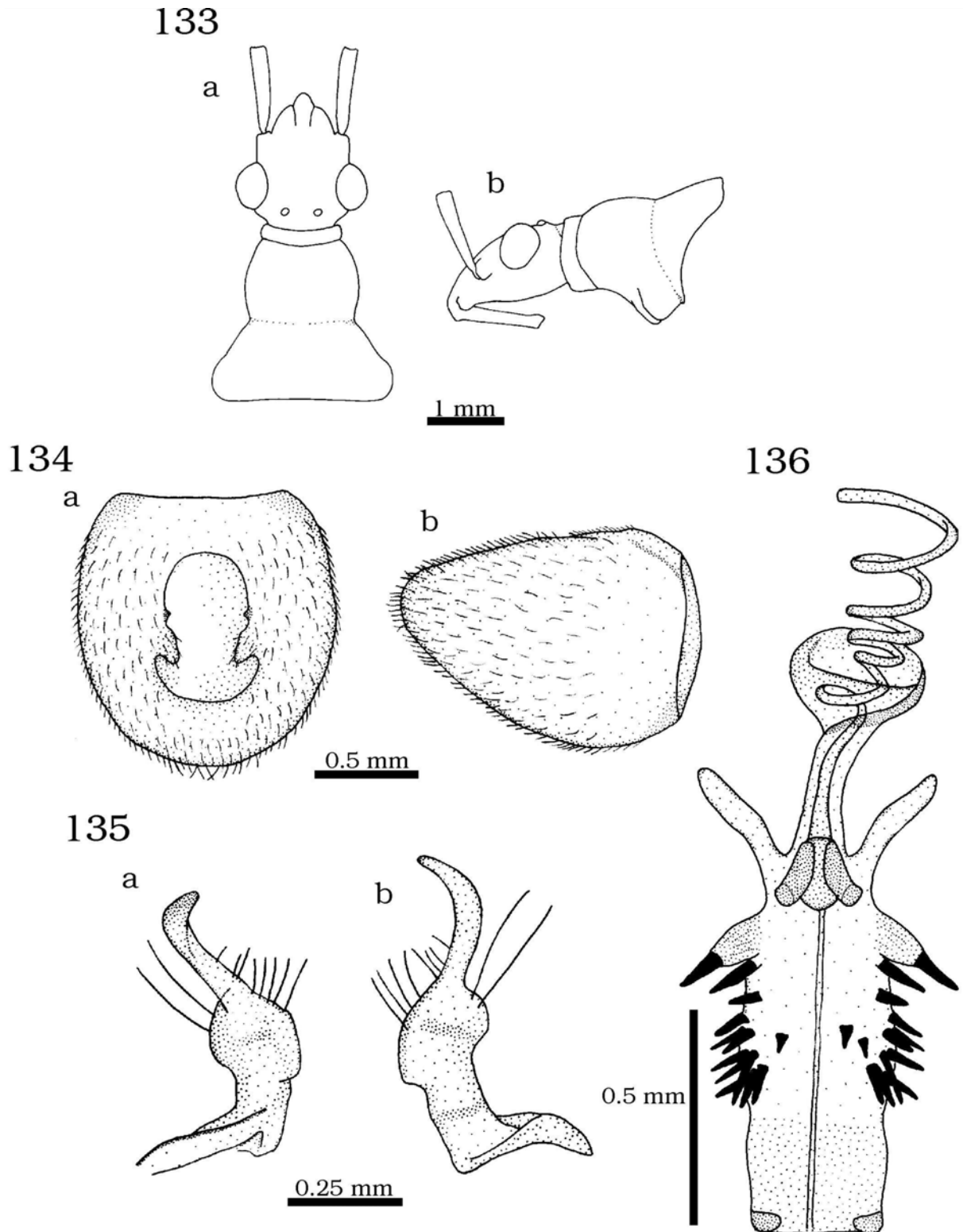
Figs. 121-124 *Gen.D n.sp.9* nueva especie.- 121 a-b, ♂, cabeza y pronoto: a- vista dorsal; b- vista lateral. 122 a-b, pigóforo: a- vista dorsal; b- vista lateral. 123 a-b, parámetro derecho: a- vista interna; b- vista externa. 124, edeago, vista anterior.



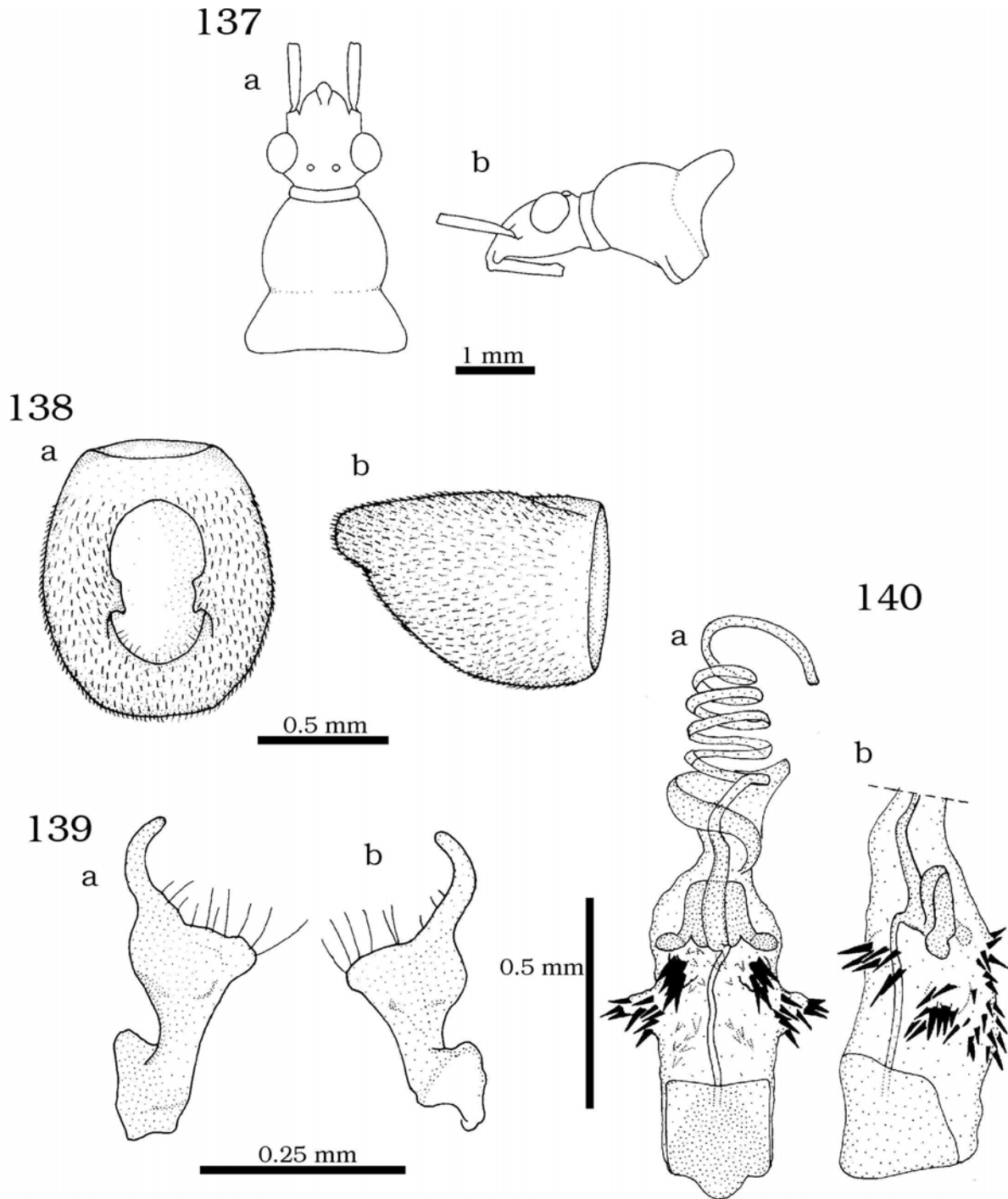
Figs. 125-128 *Gen.D n.sp.10* nueva especie.- 125 a-b, ♂, cabeza y pronoto: a- vista dorsal; b- vista lateral. 126 a-b, pigóforo: a- vista dorsal; b- vista lateral. 127 a-b, parámero derecho: a- vista interna; b- vista externa. 128 a-b, edeago: a- vista anterior; b- vista lateral.



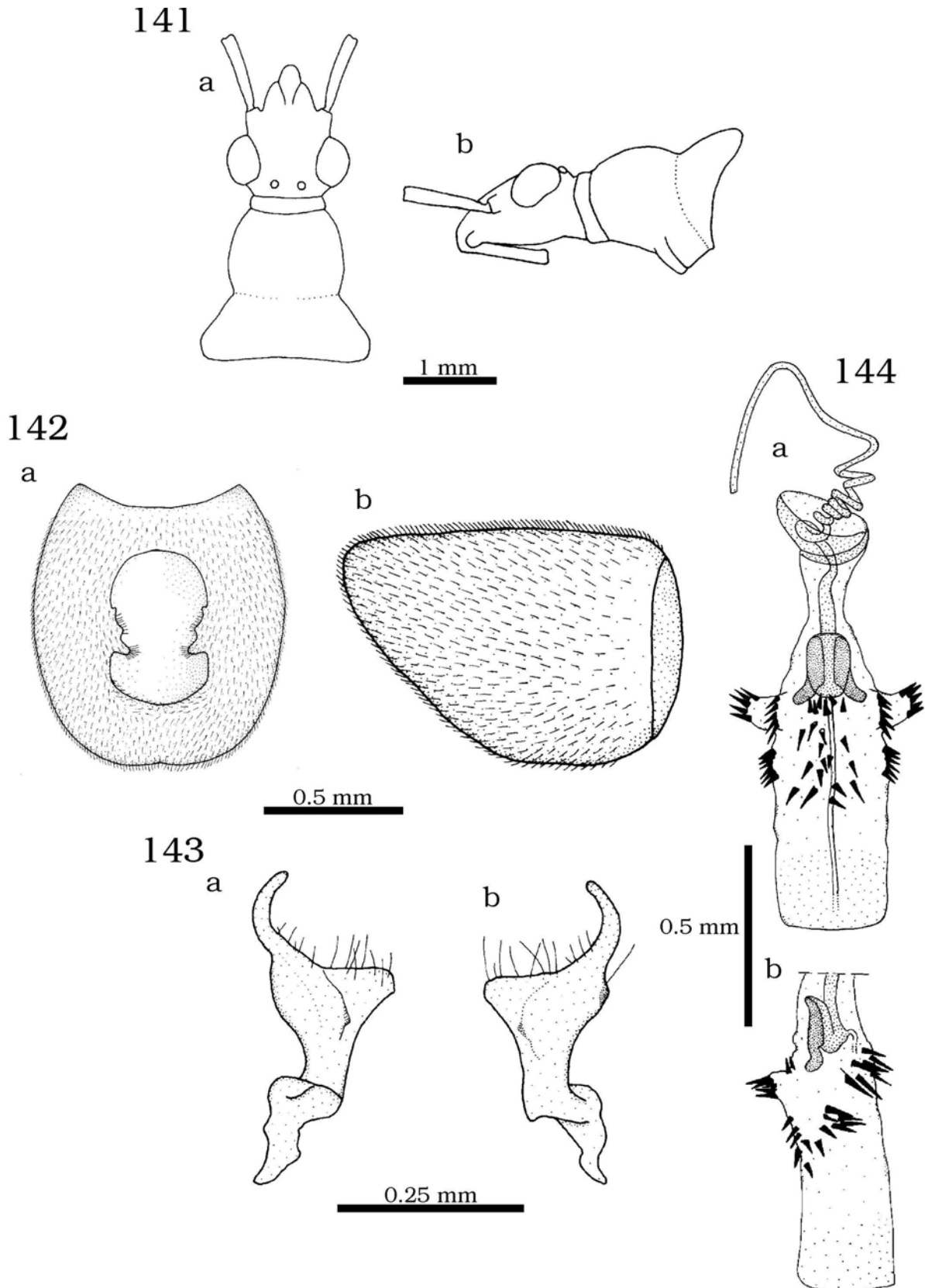
Figs. 129-132 *Gen.D n.sp.11* nueva especie.- 129 a-b, ♂, cabeza y pronoto: a- vista dorsal; b- vista lateral. 130 a-b, pigóforo: a- vista dorsal; b- vista lateral. 131 a-b, parámetro derecho: a- vista interna; b- vista externa. 132, edeago, vista anterior.



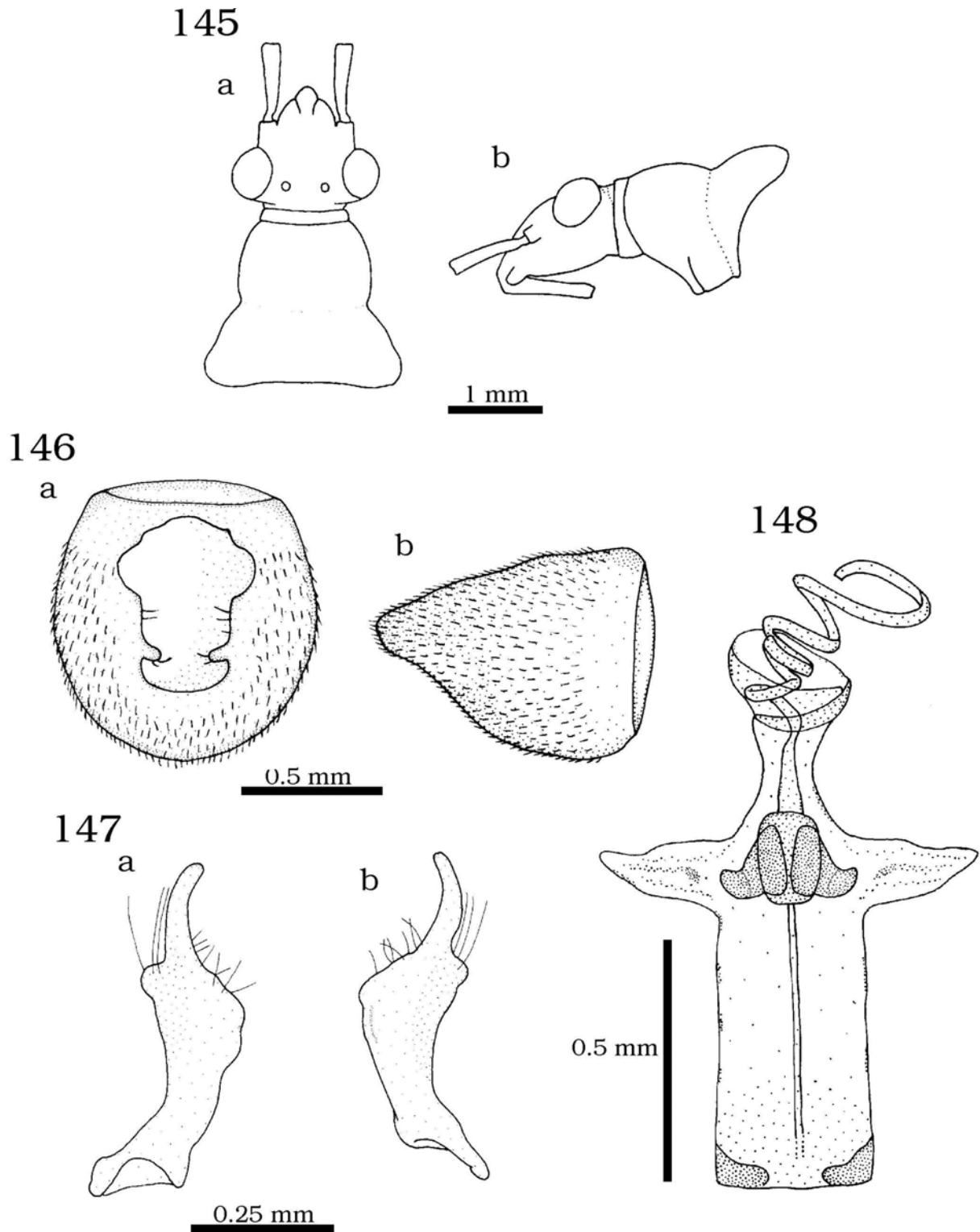
Figs. 133-136 *Gen.D n.sp.12* nueva especie.- 133 a-b, ♂, cabeza y pronoto: a- vista dorsal; b- vista lateral. 134 a-b, pigóforo: a- vista dorsal; b- vista lateral. 135 a-b, parámero derecho: a- vista interna; b- vista externa. 136, edeago, vista anterior.



Figs. 137-140 *Gen.D n.sp.13* nueva especie.- 137 a-b, ♂, cabeza y pronoto: a- vista dorsal; b- vista lateral. 138 a-b, pigóforo: a- vista dorsal; b- vista lateral. 139 a-b, parámetro derecho: a- vista interna; b- vista externa. 140 a- b, edeago: a- vista anterior; b- vista lateral.

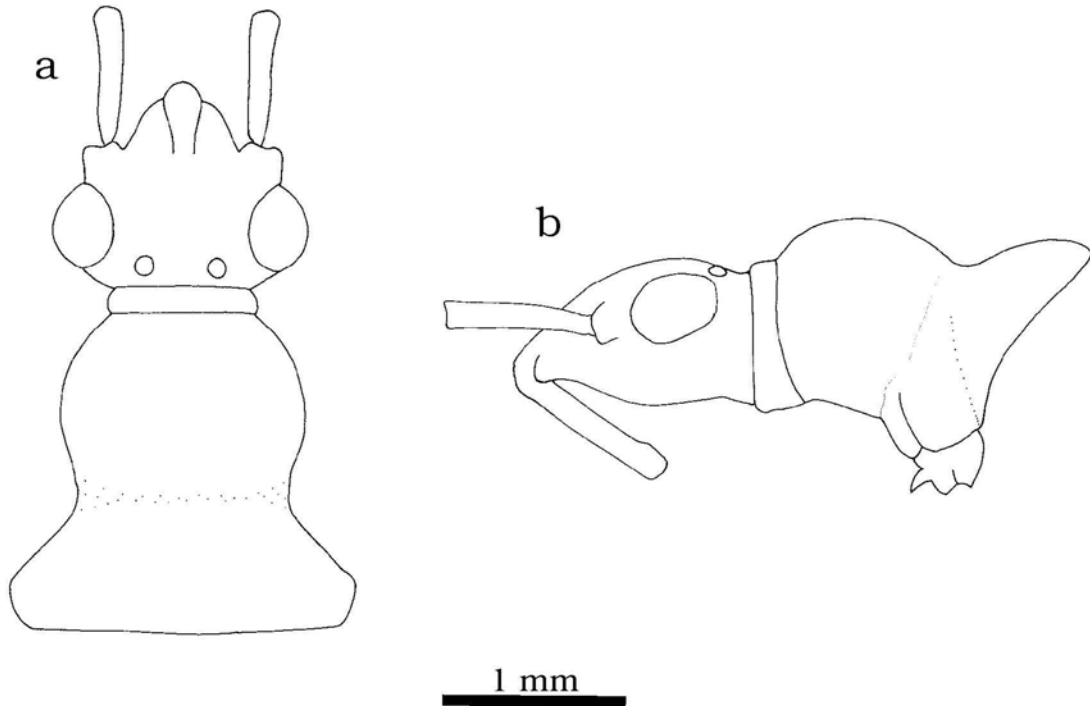


Figs. 141-144 *Gen.D n.sp.14* nueva especie.- 141 a-b, ♂, cabeza y pronoto: a- vista dorsal; b- vista lateral. 142 a-b, pigóforo: a- vista dorsal; b- vista lateral. 143 a-b, parámetro derecho: a- vista interna; b- vista externa. 144 a- b, edeago: a- vista anterior; b- vista lateral.

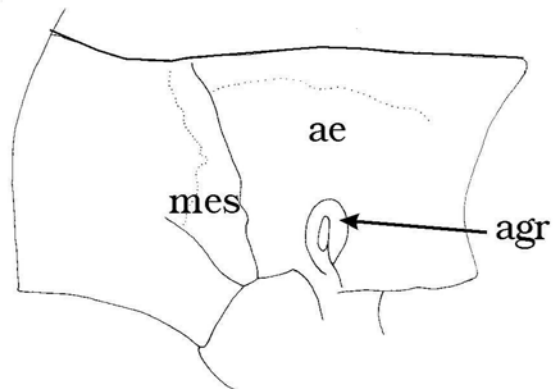


Figs. 145-148 *Gen.D n.sp.15* nueva especie.- 145 a-b, ♂, cabeza y pronoto: a- vista dorsal; b- vista lateral. 146 a-b, pigóforo: a- vista dorsal; b- vista lateral. 147 a-b, parámetro derecho: a- vista interna; b- vista externa. 148, edeago, vista anterior.

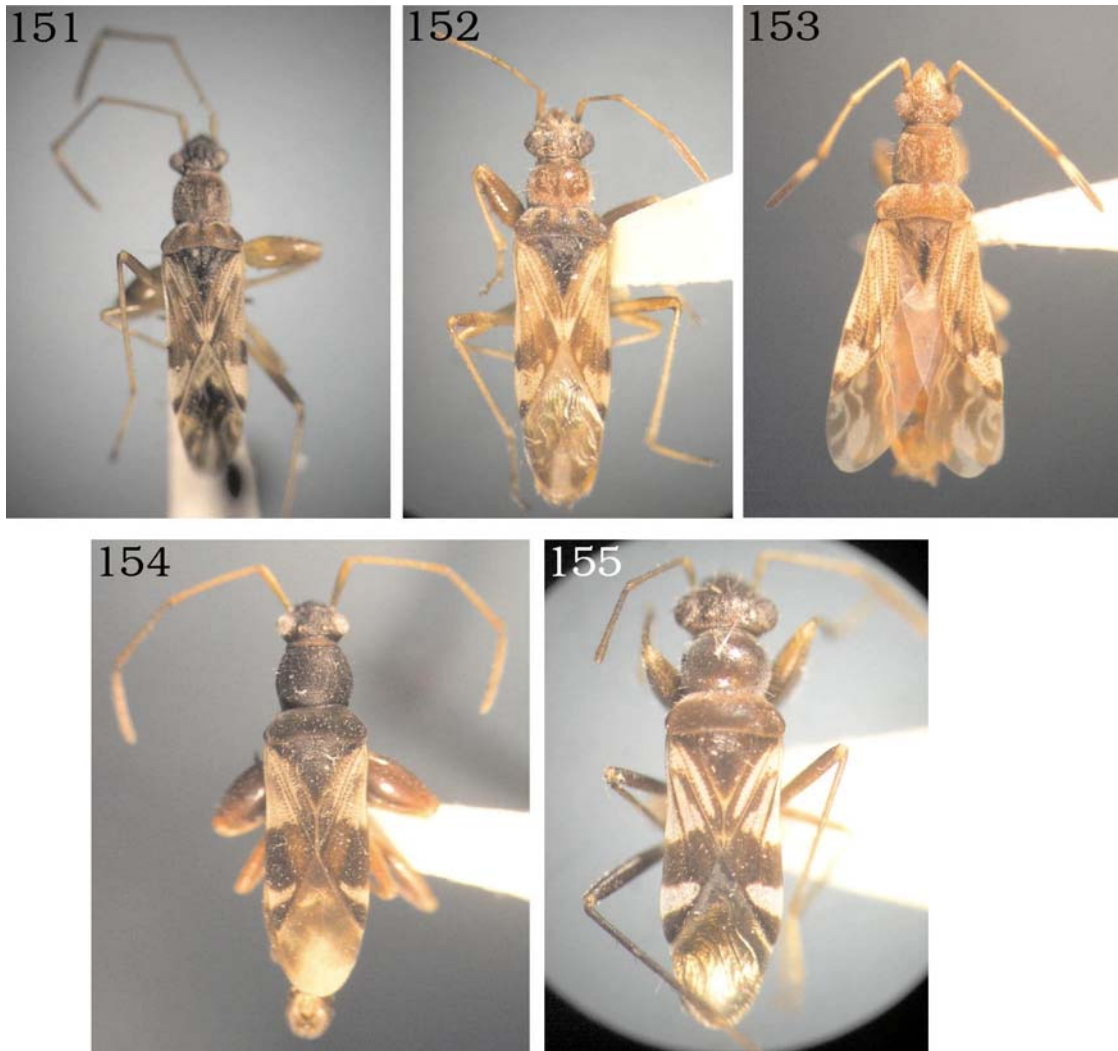
149



150



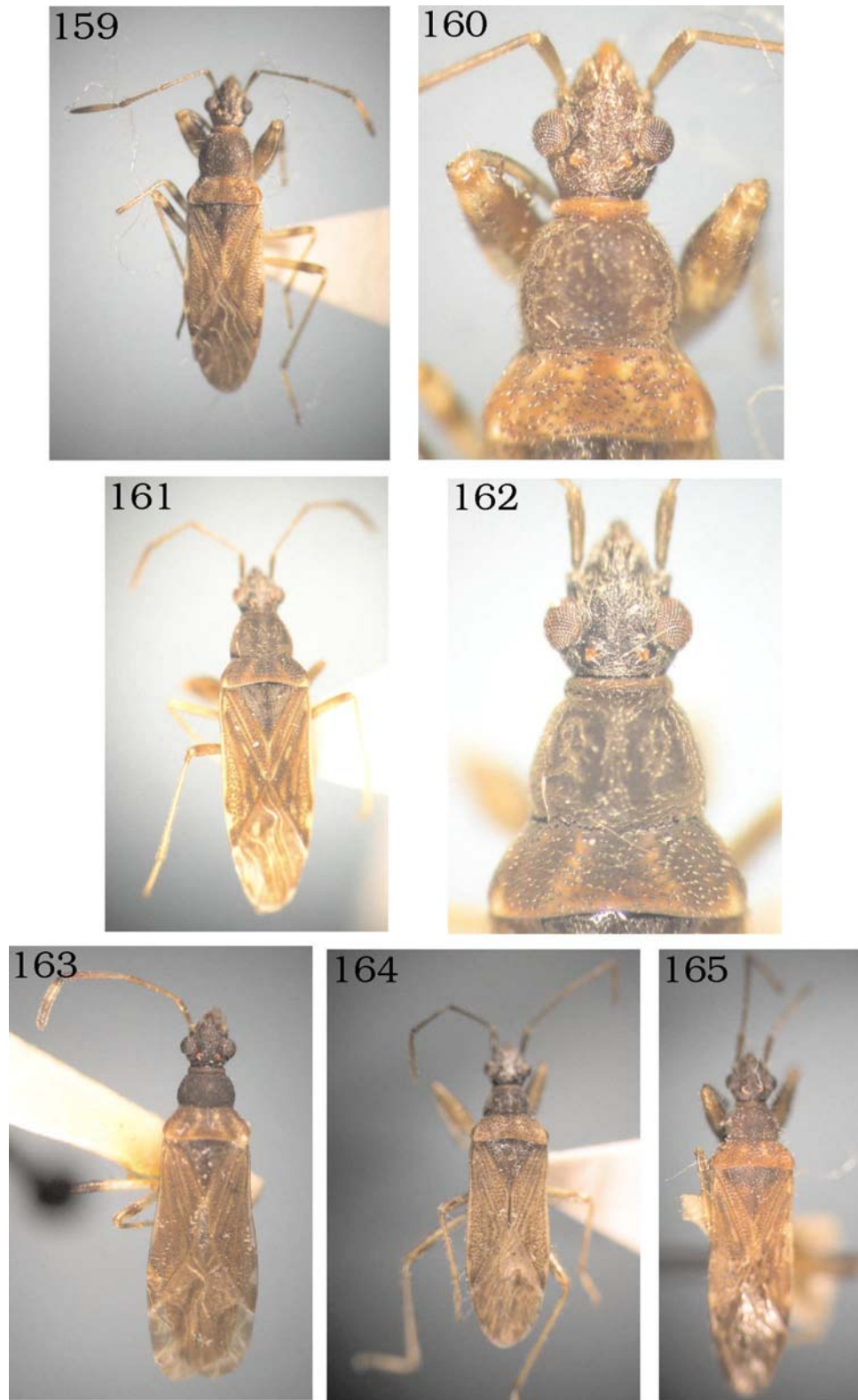
Figs. 149-150 *Gen.D crassicornis* (Stål) nueva combinación.- 149 a-b, ♂, cabeza y pronoto: a- vista dorsal; b- vista lateral. 150, esquema de la meso y metapleura, área evaporatoria extensa y mesoepimero emergente.



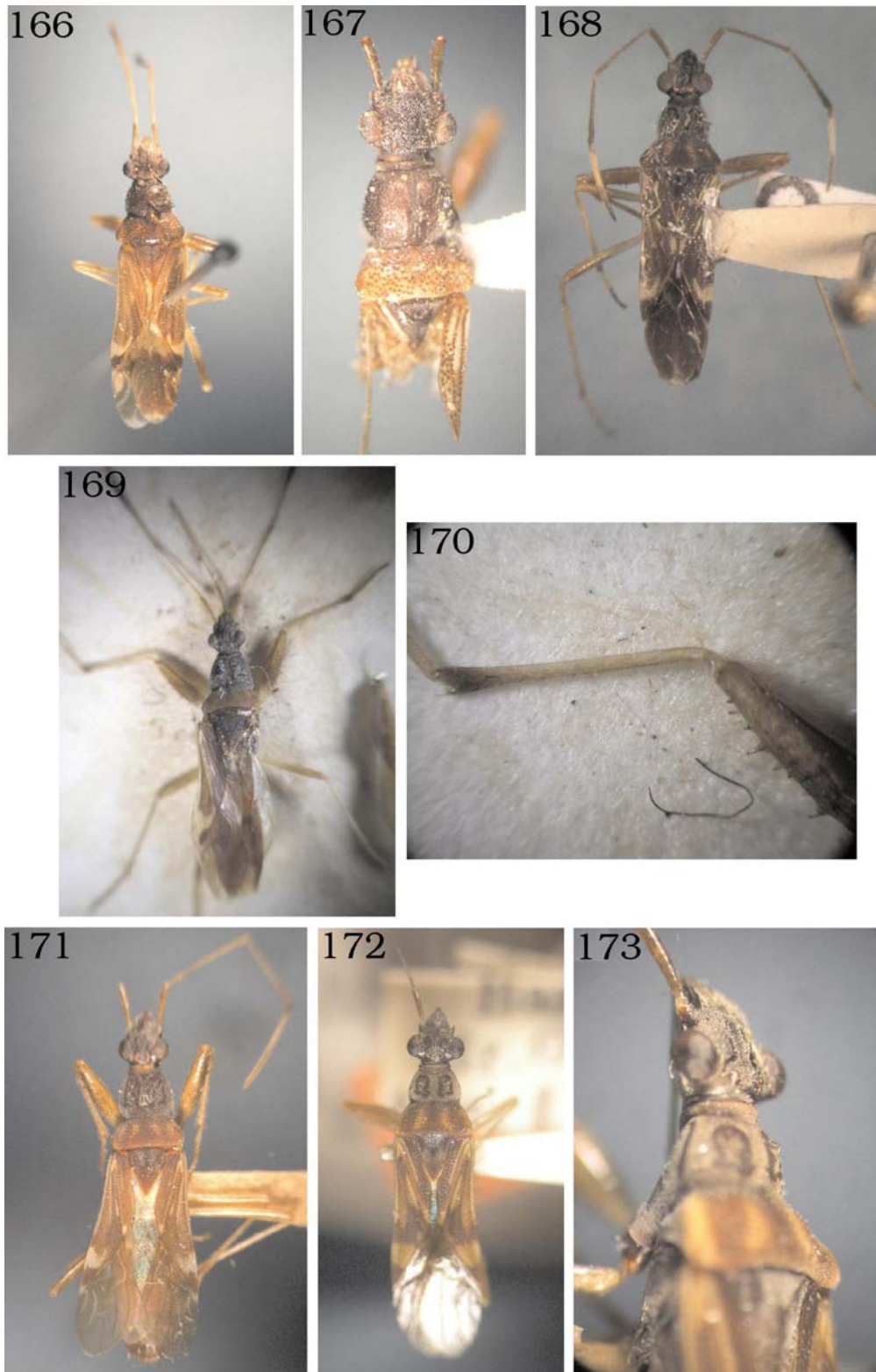
Figs. 151-155.- 151, ♂ y 152, ♀, *Neopamera bilobata* (Say). 153, ♂, *Neopamera albocincta* (Barber). 154, ♂, *Neopamera insularis* (Barber). 155, ♂, *Neopamera hondurana* (Bergroth).



Figs. 156-158. 156, ♂, *Paromius procerulus* (Berg) nueva combinación. 157, ♀, *Gen.A mumfordi* (Van Duzee) nueva combinación. 158, ♂, *Gen.B intermedia* (Barber) nueva combinación.



Figs. 159-165.- 159-160, ♂, *Gen.C brachialis* (Stål) nueva combinación. 161-162, ♂, *Gen.C n.sp1* nueva especie. 163, ♂, *Gen.C n.sp2* nueva especie. 164, ♂, *Gen.C n.sp3* nueva especie. 165, ♂, *Gen.C n.sp4* nueva especie.



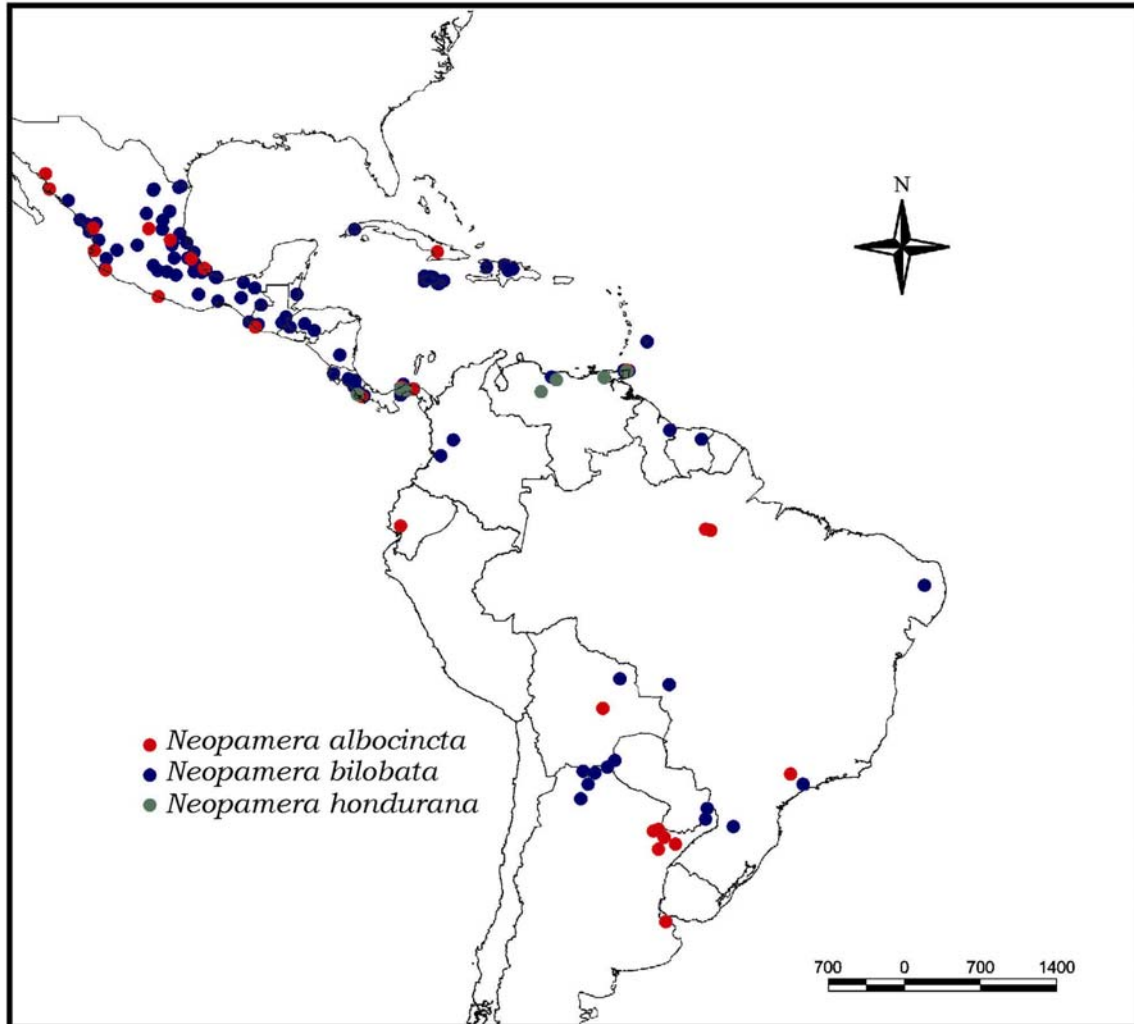
Figs. 166-173.- 166, ♂, *Gen.D costalis* (Stål) nueva combinación. 167, *Gen.D crassicornis* (Stål) nueva combinación. 168, ♂, *Gen.D neotropicalis* (Kirkaldy) nueva combinación. 169-170, ♂, *Gen.D serripes* (Walker) nueva combinación: 169, vista general; 170, profémur y protibia. 171, ♂, *Gen.D tineodes* (Burmeister) nueva combinación. 172-173, ♀, *Gen.D tuberculata* (Osborn) nueva combinación: 172, vista general; 173, detalle cabeza y pronoto.



Figs. 174-178.- 174, ♂, *Gen.D n.sp5* nueva especie. 175, ♂, *Gen.D n.sp6* nueva especie. 176, ♂, *Gen.D n.sp7* nueva especie. 177, ♂, *Gen.D n.sp8* nueva especie. 178, ♂, *Gen.D n.sp9* nueva especie.

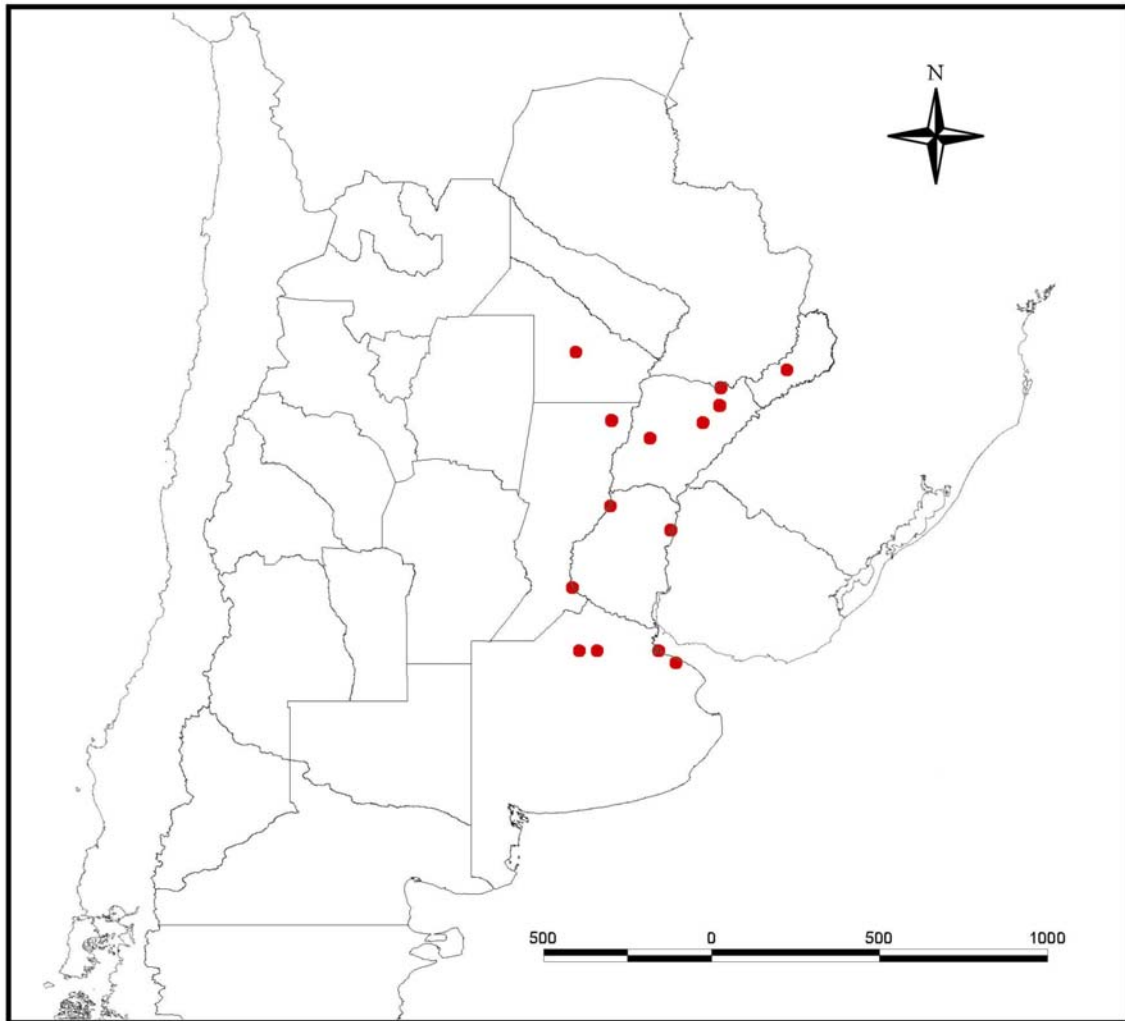


Figs. 179-184.- 179, ♂, *Gen.D n.sp10* nueva especie. 180, ♂, *Gen.D n.sp11* nueva especie. 181, ♂, *Gen.D n.sp12* nueva especie. 182, ♂, *Gen.D n.sp13* nueva especie. 183, ♂, *Gen.D n.sp14* nueva especie. 184, ♂, *Gen.D n.sp15* nueva especie.

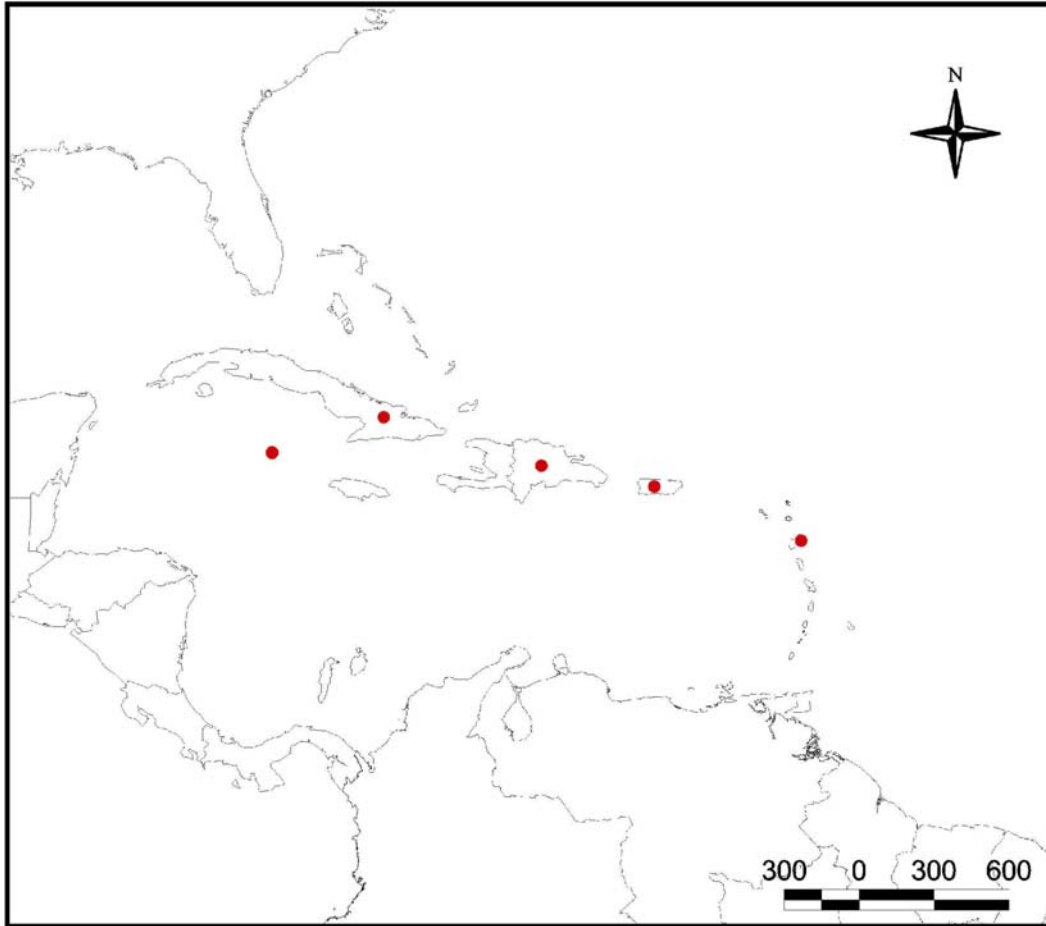


MAPA 1.- Distribución de *Neopamera albocincta* (Barber), *N. bilobata* (Say) y *N. hondurana* (Bergroth)

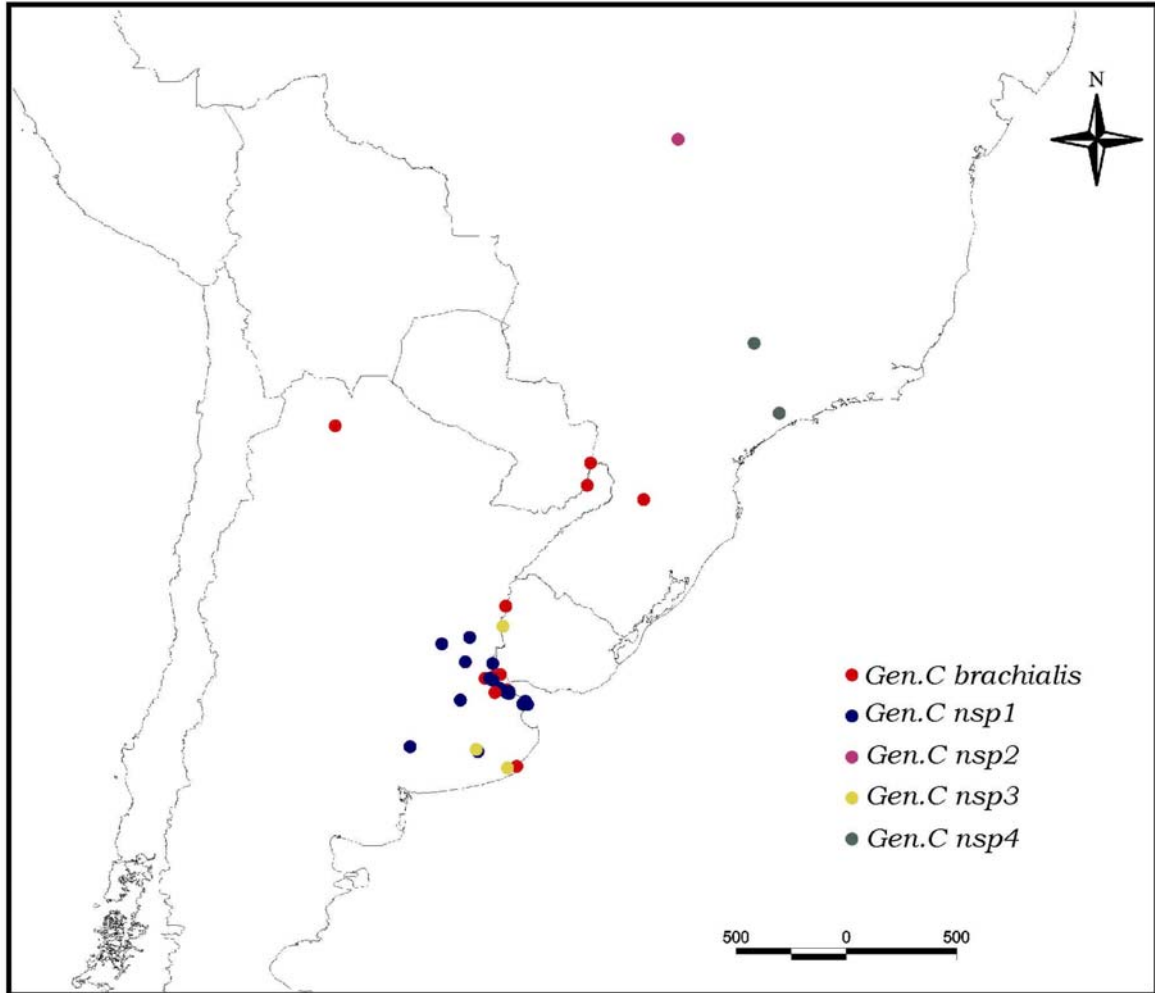
MAPA 2.- Distribución de *Neopamera insularis* (Barber). Líneas diagonales: distribución conocida. Cuadrículado: material estudiado



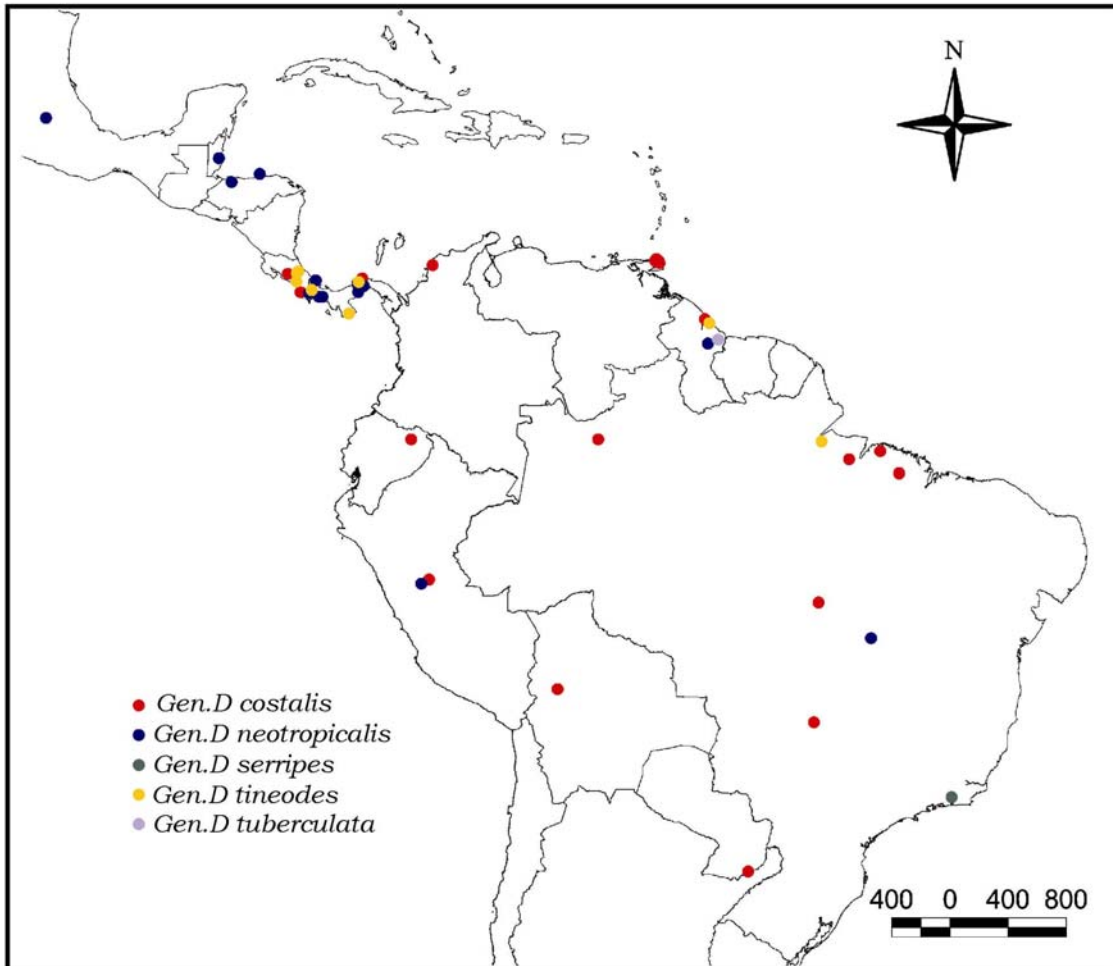
MAPA 3.- Distribución de *Paromius procerulus* (Berg) nueva combinación



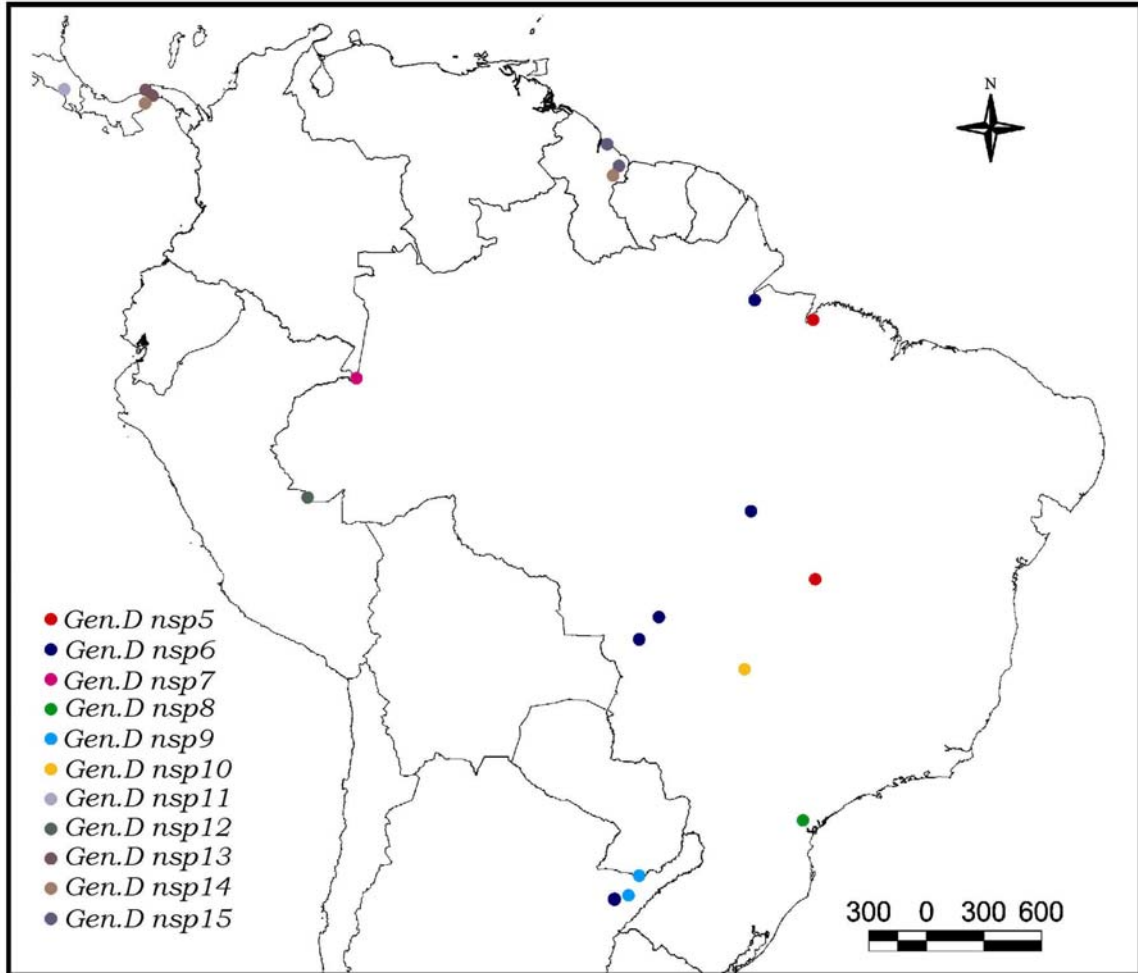
MAPA 4.- Distribución de *Gen.A intermedia* (Barber) nueva combinación



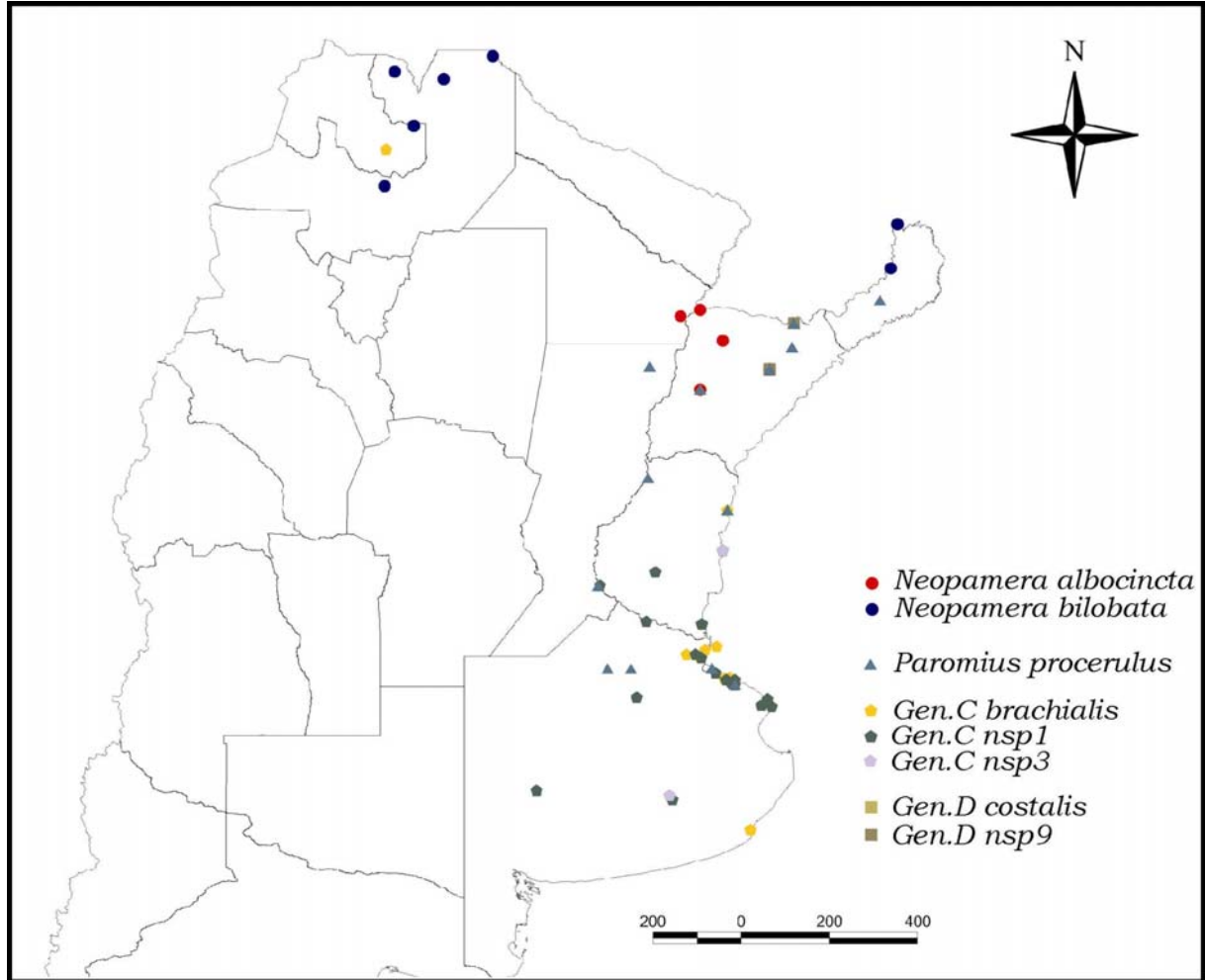
MAPA 5.- Distribución de las especies de *Gen.C* nuevo género



MAPA 6.- Distribución de las especies de *Gen.D* nuevo género, antes ubicadas en *Neopamera* Harrington



MAPA 7.- Distribución de las nuevas especies ubicadas en *Gen.D* nuevo género



MAPA 8.- Distribución en la Argentina de las especies estudiadas